

⑥

Del M-39.7 al M-43.3

MODELOS CORPÓREOS



UNIVERSIDAD DE SEVILLA



601280239

UNIVERSIDAD DE SEVILLA
Facultad de Matemáticas
Biblioteca

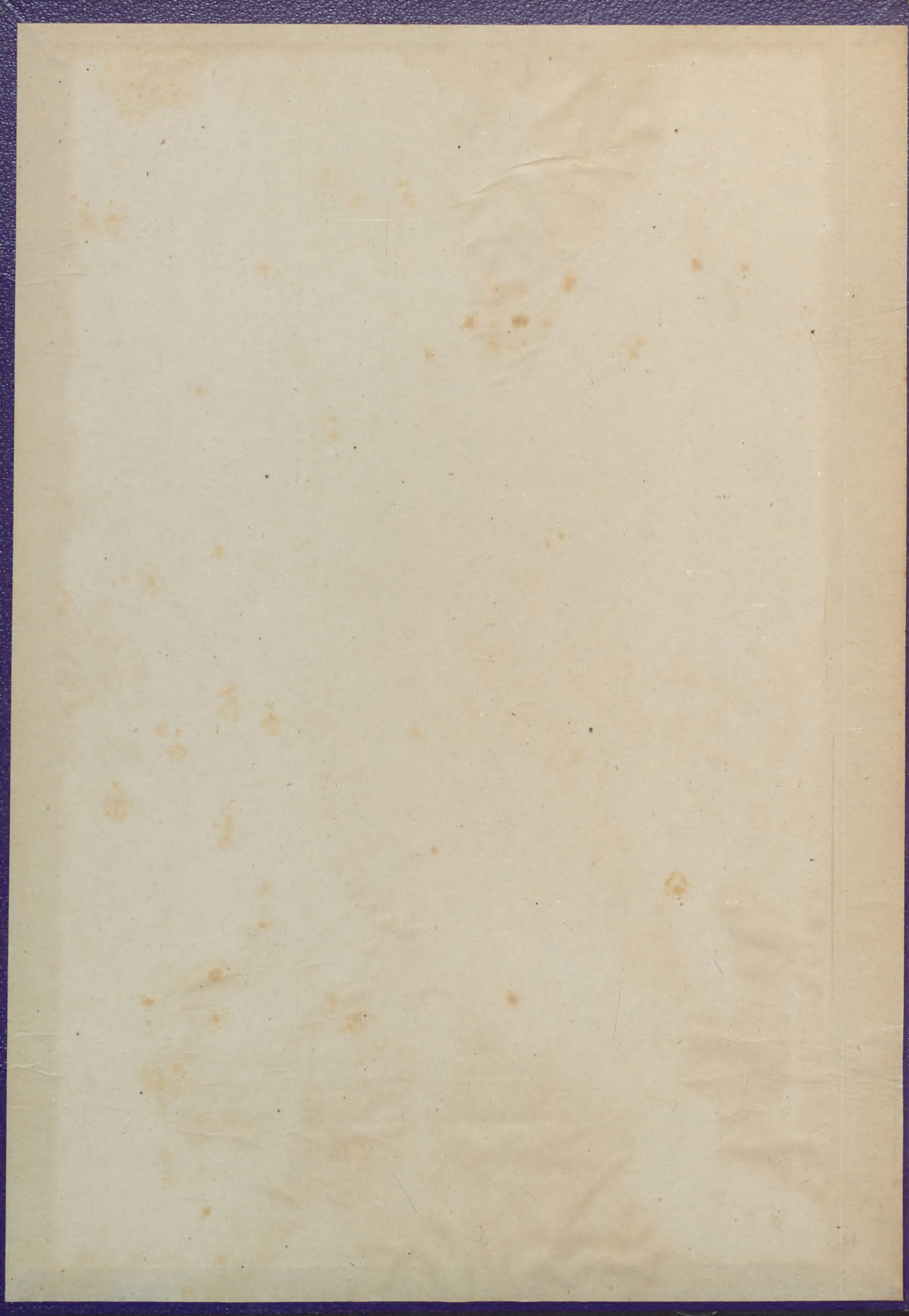
o. PED-127382

i. 31210908

-bib.-

C

TAP/008



INTRODUCCIÓN A LOS MODELOS SOBRE

POLIEDROS SEMI-REGULARES CONVEXOS, O

"POLIEDROS ARQUIMEDIANOS"

CONTINUACIÓN DEL ESTUDIO PREVIO A

LA CONSTRUCCIÓN DE LOS MISMOS.- PRO-

CESO DE TRUNCADURA DE VÉRTICES EN LOS

POLIEDROS REGULARES CONVEXOS (LÁMINAS

1 A 5)

ENUNCIADO: Continuación del estudio previo a la construcción de los poliedros Arquimedianos.- Proceso de obtención por el procedimiento de TRUNCADURA DE VÉRTICES de los poliedros regulares convexos.

Perseguendo el estudio iniciado en el modelo M-39.5, en el que hemos analizado ya las posiciones sucesivas del plano secante Π a las distancias:

$$\underline{1^{\text{a}} \text{ POSICIÓN}} \quad 0 < x < \frac{1}{3} d_4 \quad (1)$$

$$\underline{2^{\text{a}} \text{ POSICIÓN}} \quad x = \frac{1}{3} d_4 \quad (2)$$

en cuyas posiciones se estudiaron principalmente las características geométricas del poliedro núcleo resultante de la truncadura de todos los vértices de un tetraedro regular convexo a la distancia variable " x ", estudiamos seguidamente la nueva posición n° 3.

3.3 3^a POSICIÓN

POLIEDRO NÚCLEO RESULTANTE DE LA TRUNCADURA DE TODOS LOS VÉRTICES DE UN TETRAEDRO REGULAR CONVEXO, A LA DISTANCIA

$$\frac{1}{3} d_4 < x < \frac{1}{2} d_4 \quad (3)$$

Refiriéndonos a la figura 3, en la que se detalla la posición π_2 del plano secante en una cara del tetraedro generador, supongamos un ligero desplazamiento del mismo entre los límites (3), cuyo resultado se expresa en la figura 4.

$$\frac{1}{3} d_4 < x < \frac{1}{2} d_4$$

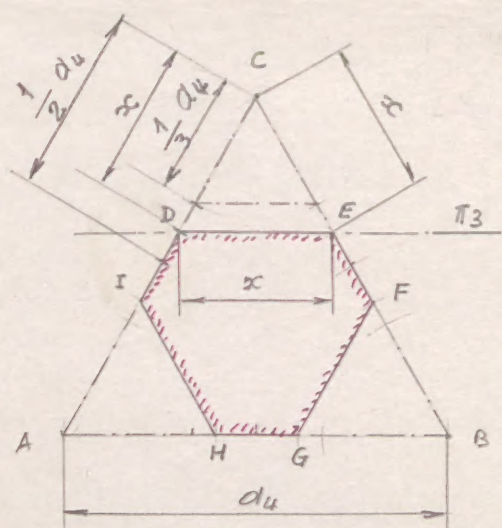


Figura 4

En esta posición, el plano secante π_3 corta a los ángulos sólidos del tetraedro generador, requiriendo triángulos equiláteros de lado $l_3 = x = \overline{DE}$, y en las caras del mencionado tetraedro se formarán exágonos equiángulos $DE...FGHID$ (ángulos de 120°)

y de lados alternativamente iguales $\overline{DE} = \overline{FG} = \overline{IH} = x$ y $\overline{EF} = \overline{GH} = \overline{ID} = d_4 - 2x$, siendo los primeros mayores que los segundos (exágonos no equiláteros y por lo tanto no regulares)

Como consecuencia de lo expuesto anteriormente, se deduce que el poliedro núcleo resultante, será un poliedro irregular convexo, de las siguientes características:

1) Cuatro caras triangulares equiláteras de lado $l_3 = x$, obtenidas sobre el plano secante π_3 en la truncadura de los cuatro ángulos sólidos del tetraedro generador.

2) Cuatro caras hexagonales equiángulas DEFGHI (fig. 4) sobre las caras del tetraedro generador, de lados $\overline{DE} = \overline{FG} = \overline{HI} = x$ y $\overline{EF} = \overline{GH} = \overline{ID} = d_4 - 2x$.

3) Número de vértices $V = \frac{4 \times 6 + 4 \times 3}{3} = 12$ vértices

4) Número de aristas $A = \frac{4 \times 6 + 4 \times 3}{2} = 18$ aristas

Como resumen de lo expuesto en este párrafo 3.3, tendremos:

RESUMEN

El poliedro mides resultante de la truncadura de todos los vértices de un tetraedro regular convexo, a la distancia

$$\frac{1}{3} d_4 < x < \frac{1}{2} d_4 \quad 3^a \text{ POSICIÓN}$$

es un poliedro irregular convexo de las siguientes características:

1) Número de caras triangulares regulares = 4

2) Número de caras hexagonales equiángulas = 4

Total caras = 8

3) Número de vértices $V = 12$

4) Número de aristas $A = 18$

MODELO DE ESTA TERCERA POSICIÓN

EN PLANO

3.4 CUARTA POSICIÓN

POLIEDRO NÚCLEO RESULTANTE DE LA TRUNCADURA
DE TODOS LOS VÉRTICES DE UN TETRAEDRO REGU-
LAR CONVEXO, A LA DISTANCIA

$$x = \frac{1}{2} d_4 \quad (4)$$

Refiriéndonos a la figura 4, observemos que al alejarse el plano secante π_3 del vértice C, o sea al aumentar progresivamente la distancia x , se conservan todas las características del poliedro irregular convexo del núcleo, pero al mismo tiempo van aumentando

Alfonso

Mayo 1980

las longitudes de los lados mayores \overline{DE} , \overline{EF} e \overline{IH} del exágono equiángulo, y disminuyendo las longitudes de sus lados menores \overline{EF} , \overline{HG} , \overline{ID} .

Aí pues, existirá una posición tal en que se anulen los lados menores (longitud cero).

Ello ocurrirá cuando el plano secante π_4 (figura 5), pase por los centros de las aristas α_4 a la distancia

$$x = \frac{1}{2} d_4$$

En consecuencia, el plano secante π_4 corta a los ángulos sólidos del tetraedro generador, según triángulos equiláteros de lado $l_3 = x = \frac{1}{2} d_4$, y los exágonos equiángulos $DEFGHI$ formados en las caras (fig. 4)

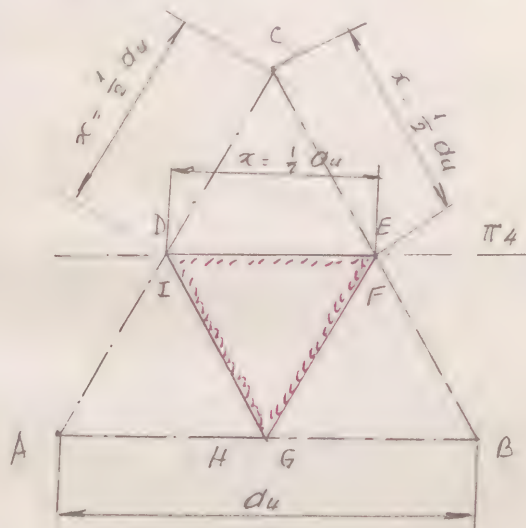


Figura 5

se transformarán en triángulos equiláteros regulares al reducirse a un punto los lados menores \overline{EF} , \overline{GH} , \overline{ID} , situados sobre las aristas \overline{CB} , \overline{AB} , \overline{AC} (dichos lados son de longitud cero).

Los triángulos equiláteros de las caras tienen como lado l_3 la magnitud $x = \frac{1}{2} d_4$, y son por tanto iguales a los producidos por el plano secante en los ángulos sólidos.

De esta última propiedad deducimos que el poliedro

Calvares Mayo 1980

núcleo resultante de la truncadura de vértices en esta posición 4^a, es un "OCTAEDRO REGULAR CONVEXO" de arista

$$a_6 = \frac{1}{2} a_4$$

Como resumen de lo expuesto en el párrafo 3.4,
 tenemos:

RESUMEN

El poliedro núcleo resultante de la truncadura de todos los vértices de un tetraedro regular convexo, a la distancia

$$x = \frac{1}{2} a_4$$

4^a POSICIÓN

es:

UN OCTAEDRO REGULAR CONVEXO DE ARISTA $a_6 = \frac{1}{2} a_4$

En consecuencia, se deduce la siguiente proposición:

EL OCTAEDRO REGULAR CONVEXO puede ser engendrado por truncadura de vértices de un tetraedro regular convexo, a la distancia $x = \frac{1}{2} a_4$, siendo la longitud de su arista $a_6 = \frac{1}{2} a_4$

Esta propiedad ya ha sido puesta de manifiesto en el modelo M-1.3

Alfonso

Mayo 1980

3.5 QUINTA POSICIÓN

POLIEDRO NÚCLEO RESULTANTE DE LA TRUNCADURA DE TODOS LOS VÉRTICES DE UN TETRAEDRO REGULAR CONVEXO, A LA DISTANCIA

$$\frac{1}{2} d_4 < x < \frac{3}{5} d_4 \quad (5)$$

Partiendo de la posición 4^a (figura 5) del plano secante π_4 , observaremos que al alejarse el plano secante π_4 del vértice C, dentro de los límites (5), se obtendrán las siguientes secciones en el poliedro generador.

- 10) La truncadura del plano secante produce en las caras del tetraedro generador (figura 6) el triángulo equilátero TUV de lado

$$l_3 = \overline{TU}$$

El mismo plano secante π_4 corta a los ángulos sólidos del tetraedro generador, según triángulos equiláteros de lado "x", cuyos vértices quedan truncados, según se representa en la figura 8.

a la distancia $\overline{TU} = l_3$.

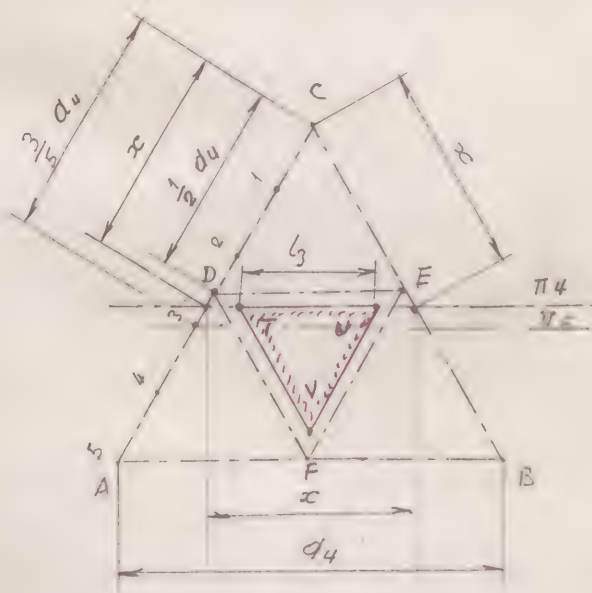


Figura 6

Para determinar la longitud del lado $\overline{TU} = l_3$, consideremos en la figura 8 (ampliada) la cara ABC

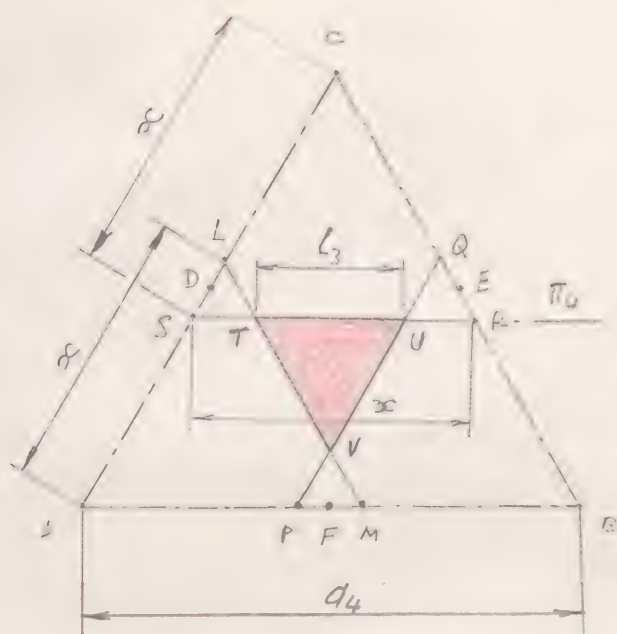


figura 7

Sean \underline{D} , \underline{E} y \underline{F} los centros de los lados \underline{AC} , \underline{CB} y \underline{BA} respectivamente. Comencemos, a partir de \underline{A} , \underline{B} y \underline{C} los segmentos $\underline{AL} = \underline{AM} = x$; $\underline{BP} = \underline{BQ} = x$ y $\underline{CR} = \underline{CS} = x$. Uniendo entre los puntos \underline{L} , \underline{M} , \underline{P} , \underline{Q} , \underline{R} , \underline{S} , como se indica en la figura

Recordemos que $x > \frac{1}{2} d_4$ sin llegar al valor $x < \frac{3}{5} d_4$

según la condición (5)

De la figura se deducen las relaciones siguientes entre segmentos:

$$\boxed{\overline{SL}} = \overline{AL} - \overline{AS} = \overline{AL} - (\overline{AC} - \overline{SC}) = x - (d_4 - x) = \boxed{2x - d_4} \quad (6)$$

y también

$$\boxed{\overline{TU}} = \overline{SR} - (\overline{ST} + \overline{UR}) = \overline{SR} - (2 \overline{SL}) = x - 2(2x - d_4) = \boxed{2d_4 - 3x}$$

y siendo $\overline{TU} = l_3$, de donde se obtiene finalmente

$$\boxed{l_3 = 2d_4 - 3x} \quad (7)$$

Como consecuencia de lo expuesto anteriormente, deducimos que:

- 10 La truncadura de vértices de un tetraedro regular convexo, a la distancia $\frac{1}{2} d_4 < x < \frac{3}{5} d_4$ (condición

Alcorno

Mayo 1980

(5) de la 5ª POSICIÓN), da lugar a la formación, en las cuatro caras del tetraedro generador, de cuatro triángulos equiláteros TUV (figuras 6 y 7) siendo su lado $l_3 = 2a_4 - 3x$ (fórmula 6)

2º El mismo plano secante π_4 corta a los ángulos sólidos del tetraedro generador, según triángulos equiláteros de lado "x" (figura 8) cuyos vértices quedan truncados a las distancias $\overline{ST} = \overline{UR} = \overline{SL} = 2x - a_4$ (6), formándose en el plano secante π_4 cuatro caras

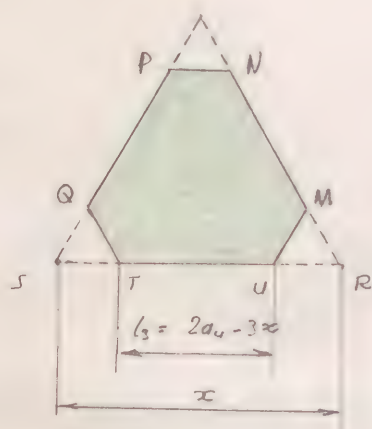


Figura 8

exagonales equiángulas, $TUMNPQ$ cuyos lados mayores \overline{TU} , \overline{MN} , \overline{PQ} , son los lados l_3 de los triángulos TUV formados en las caras del tetraedro generador.

Las caras reseñadas en el párrafo 1º, juntamente con las reseñadas en el párrafo 2º, forman un poliedro irregular convexo, núcleo de la truncadura de vértices de un tetraedro regular convexo, de las siguientes características:

1) Cuatro caras triangulares regulares de lado $l_3 = 2a_4 - 3x$ obtenidas sobre las caras del tetraedro generador.

2) Cuatro caras exagonales equiángulas cuyos lados mayores de longitud $l_3 = 2a_4 - 3x$ son coincidentes con

(continúa en h 10)

los lados de las caras 1)

3) Número de vértices $V = \frac{4 \times 3 + 4 \times 6}{2} = 12 \text{ vértices}$

4) Número de aristas $A = \frac{4 \times 3 + 4 \times 6}{2} = 18 \text{ aristas}$

Como resumen de lo expuesto en este párrafo 3.5, tenemos:

RESUMEN

El poliedro núcleo resultante de la truncadura de todos los vértices de un tetraedro regular convexo, a la distancia

$$\frac{1}{2} d_4 < x < \frac{3}{5} d_4 \quad 5^{\text{a}} \text{ POSICIÓN}$$

es un poliedro irregular convexo de las siguientes características, iguales a las de la 3^{ra} POSICIÓN: (ver hoja 4)

- 1) Número de caras triangulares = 4
- 2) Número de caras exagonales equiángulas = 4
- Total caras = 8
- 3) Número de vértices $V = 12$
- 4) Número de aristas $A = 18$

MODELO DE ESTA QUINTA POSICIÓN

EN PROYECTO

3.6 . SEXTA POSICIÓN

POLIEDRO NÚCLEO RESULTANTE DE LA TRUNCADU-
RA DE TODOS LOS VÉRTICES DE UN TETRAEDRO
REGULAR CONVEXO, A LA DISTANCIA

$$x = \frac{3}{5} d_4 \quad (6)$$

Partiendo de la posición 5ª (figura 6) del plano re-
cante π_4 , observemos que al alejarse el plano secante π_4 del
vértice C, dentro de los límites (5), se verificará pues:

1º Los lados $l_3 = \overline{TU}$ (fig. 6) de los triángulos equilate-

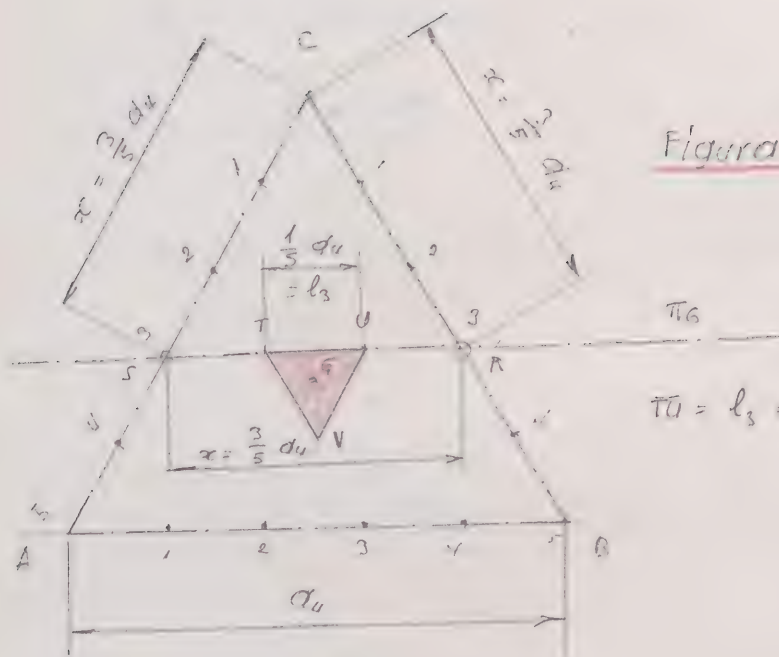


Figura 9

$$\overline{TU} = l_3 = \frac{1}{5} d_4$$

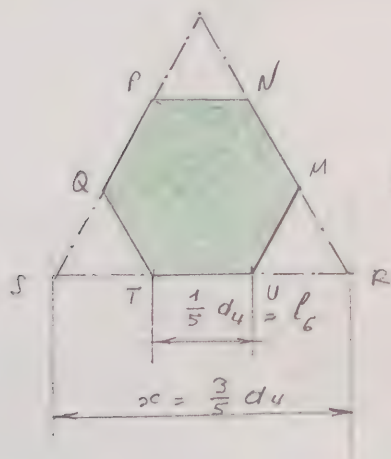


Figura 10

$$\overline{TU} = l_6 = \frac{1}{5} d_4$$

en TUV , que se producen en las caras del tetraedro generador. Van disminuyendo de longitud.

2º En consecuencia, los lados menores de los octágonos equiangulos de la figura 8, que se producen en el plano secante π_4 , van aumentando de longitud.

Por consiguiente, el plano secante tomará una posición tal (figuras 7 y 10), en el que el octágono equiángulo de la fig 8 sea un octágono regular. Esto ocurrirá cuando el lado

$l_3 = \overline{TU}$ (fig. 8) sea $\frac{1}{3} \overline{SR} = \frac{1}{3} x$ (en estudio de la 3ª POSICIÓN para $x = \frac{1}{3} d_4$).

Substituyendo en (7) el valor de $l_3 = \frac{1}{3} x$, tendremos

$$\frac{1}{3} x = 2a_4 - 3x \quad \text{de aquí:} \quad 3x + \frac{1}{3} x = 2a_4 ;$$

$$\frac{10}{3} x = 2a_4 ; \quad \boxed{x = 2a_4 : \frac{10}{3} = \frac{6}{10} d_4 = \frac{3}{5} d_4}$$

de donde se obtiene finalmente

$$\boxed{x = \frac{3}{5} d_4} \quad (8)$$

La ecuación (8) nos demuestra que:

" La truncadura de vértices de un tetraedro regular con plano, a la distancia $x = \frac{3}{5} d_4$, produce en los planos secantes

los cuatro hexágonos regulares convuertos, y en las caras del tetraedro generados cuatro triángulos equiláteros, todos de lados iguales.

El poliedro resultante, después de efectuada dicha truncadura, tendrá pues las siguientes características:

- | | | | |
|----|---|-------|----------|
| 1) | Número de caras triangulares regulares | = | 4 |
| 2) | Número de caras hexagonales regulares con-
vexas | = | 4 |
| | <u>Total caras</u> | = | <u>8</u> |
| 3) | Número de vértices | $V =$ | 12 |
| 4) | Número de aristas | $A =$ | 18 |

éstas son las características del poliedro semi-regular "ARQUIMEDIANO VII", estudiado en el ejercicio G.E. n.º...-Lám 39

La longitud de la arista de este arquimedeano, en el que $a_{VII} = l_3$ (fig. 7 y 8), se obtiene sustituyendo en la ecuación (7), el valor de x de la ecuación (8).

Así pues, tendremos

$$\begin{aligned} a_{VII} &= 2a_4 - 3x = 2a_4 - 3 \times \frac{3}{5} a_4 = 2a_4 - \frac{9}{5} a_4 = \left(2 - \frac{9}{5}\right) a_4 = \\ &= \frac{1}{5} a_4 \end{aligned} \quad \text{de donde se obtiene finalmente:}$$

Alvarez Mayo 1980

$$a_{VII} = \frac{1}{5} a_4$$

(9)

La fórmula (9) nos demuestra que la longitud de la arista a_{VII} de este ARQUIMEDIANO VII, en la posición 6ª ($x = \frac{3}{5} a_4$), del plano secante en la truncadura de vértices de un tetraedro regular convexo, tiene por longitud un quinto de la longitud de la arista del tetraedro generador.

Así pues, podemos establecer la siguiente proposición:

" El ARQUIMEDIANO VII puede ser engendrado por la "
 " truncadura de vértices de un tetraedro regular conve- "
 " xo a la distancia $x = \frac{3}{5} a_4$, siendo la longitud de "
 " la arista $a_{VII} = \frac{1}{5} a_4$ "

Como resumen de lo expuesto en este párrafo 3.6, (6ª posición), tendremos:

RESUMEN

El poliedro núcleo resultante de la truncadura de todos los vértices de un tetraedro regular convexo, a la distancia

$$x = \frac{3}{5} a_4 \quad 6^{\text{a}} \text{ POSICIÓN}$$

(6)

es el poliedro semi-regular ARQUIMEDIANO VII^o
 cuya arista a_{VII} es $\frac{1}{5} d_4$, siendo d_4 la arista del
 tetraedro generador.

Los conceptos establecidos en el párrafo 3.6, y resu-
 midos a su final, nos permiten la construcción
 del modelo M-39.7 que a continuación estudiamos.





MODELO CORPÓREO DEL "ARQUIMEDIANO VII", OBTENIDO POR TRUNCADURA DE VÉRTICES DE UN TETRAEDRO REGULAR CONVEXO, DE ARISTA " α_4 ", AL TOMAR SOBRE CADA ARISTA, Y DESDE SU VÉRTICE, LA DISTANCIA $\frac{3}{5} \alpha_4$. - EL ARQUIMEDIANO GENERADO, SE CONSTRUIRÁ CON LAS CARAS MA- CIZAS, Y EL TETRAEDRO REGULAR CONVEXO GENERADOR, CON LAS CARAS VACIADAS EN LOS VÉRTICES TRUNCADOS.

Radio de la esfera circunscrita al tetraedro ge- nerador:

$$r_{ec}^u = 110 \text{ mm}$$

ENUNCIADO: Construir el modelo corpóreo del "ARQUIMEDIANO NO VII" obtenido por truncadura de vértices de un tetraedro regular convexo, de arista " a_4 ", a la distancia $x = \frac{3}{5} a_4$. - El Arquimedeiano generado se construirá con las caras macizas, y el el tetraedro regular convexo generador, con las caras vaciadas.

DATO ÚNICO DE ESTE EJERCICIO: r_e^4 = radio de la esfera circunscrita al tetraedro regular generador.

$$r_e^4 = 110 \text{ mm}$$

El ESTUDIO PREVIO sobre el proceso de TRUNCADURA DE VÉRTICES del tetraedro regular convexo, iniciado en el modelo M-39.1, y continuado en los modelos M-39.5 y en el actual M-39.7, llegamos, en el desarrollo del párrafo 3.6 de este último, en el que estudiamos la POSICIÓN 6ª, cuando es $x = \frac{3}{5} a_4$, a la siguiente conclusión:

" EL ARQUIMEDIANO VII puede ser engendrado por la truncadura de vértices de un tetraedro regular convexo, a la distancia $x = \frac{3}{5} a_4$, siendo la longitud de su

"arista la de $d_{VII} = \frac{1}{5} d_4$ "

El enunciado anterior no permite la construcción del modelo M-39.7 que estudiamos, cuyo enunciado explícito se incluye al comienzo de este estudio.

Pero en esta construcción, el Arquimedeano VII, ha de realizarse con las caras macizas, y el tetraedro generador, con sus caras vaciadas, a fin de poder situar en su posición correcta este último, construiremos sobre las cuatro caras hexagonales del Arquimedeano, otras tantas pirámides rectas regulares, auxiliares, de caras vaciadas, cuyos vértices servirán de apoyo a los cuatro del tetraedro generador. Previamente efectuaremos los cálculos de longitudes siguientes:

1) Arista " d_{VII} " del Arquimedeano VII engendrado

su valor es, en función de la arista d_4 del tetraedro generador:

$$d_{VII} = \frac{1}{5} d_4 \quad (1)$$

El valor de d_4 en función del radio r_{ec}^4 de la esfera circunscrita al tetraedro generador (dato del ejercicio), se obtiene de la fórmula deducida en el ejercicio G.E. nº.... - Lámina 1)

$$r_{ec}^4 = \frac{\sqrt{6}}{4} d_4$$

en la que despejando d_4 , tendremos:

$$\boxed{a_u} = r_{ec}^4 : \frac{\sqrt{6}}{4} = r_{ec}^4 \times \frac{4}{\sqrt{6}} = \frac{4\sqrt{6}}{6} r_{ec}^4 = \boxed{\frac{2\sqrt{6}}{3} r_{ec}^4} \quad (2)$$

valor que sustituido en (1), nos dará:

$$\boxed{a_{VII}} = \frac{1}{5} a_u = \frac{1}{5} \times \frac{2\sqrt{6}}{3} r_{ec}^4 = \boxed{\frac{2\sqrt{6}}{15} r_{ec}^4} \quad (3)$$

Para el caso particular de este modelo, tendremos:

$$\boxed{a_{VII}} = \frac{2\sqrt{6}}{15} r_{ec}^4 = 0.326598632 \dots \times 110 = \boxed{35.9 \text{ mm}}$$

2) Arista lateral "a₆" de la pirámide recta exagonal, auxiliar

La altura "h₆" de dicha pirámide, se obtiene como diferencia del radio "r_{ec}⁴" de la esfera circunscrita al tetraedro regular generador, y del radio "r_{ei}^{VII-6}" de la esfera inscrita tangente a las caras exagonales del Arquimedeano generado. Así pues tendremos:

$$\boxed{h_6 = r_{ec}^4 - r_{ei}^{VII-6}} \quad (4)$$

El radio r_{ec}⁴ se obtuvo en el ejercicio G.E. n°... Lámina 1, en función de la arista a₄ del tetraedro generador. Su valor es:

$$\boxed{r_{ec}^4 = \frac{\sqrt{6}}{4} a_4} \quad (5)$$

El radio " r_{ei}^{VII-6} " de la esfera tangente a las caras hexagonales del Arquimediario VII, se obtuvo en el ejercicio G.E. n° 15 - mina 39. Su valor, en función de la arista " a_{VII} " de dicho Arquimediario, es:

$$r_{ei}^{VII-6} = \frac{\sqrt{6}}{4} a_{VII} \quad (6)$$

y sustituyendo a_{VII} por su valor $a_{VII} = \frac{1}{5} a_4$ (ver fórm. 4) tendremos:

$$r_{ei}^{VII-6} = \frac{\sqrt{6}}{4} a_{VII} = \frac{\sqrt{6}}{4} \times \frac{1}{5} a_4 = \frac{\sqrt{6}}{20} a_4 \quad (7)$$

Sustituyendo en (4) los valores (6) y (7) tendremos:

$$\begin{aligned} h_6 &= r_{ec}^4 - r_{ei}^{VII-6} = \frac{\sqrt{6}}{4} a_4 - \frac{\sqrt{6}}{20} a_4 = \left(\frac{\sqrt{6}}{4} - \frac{\sqrt{6}}{20} \right) a_4 = \\ &= \frac{5\sqrt{6} - \sqrt{6}}{20} a_4 = \frac{\sqrt{6}}{5} a_4 \end{aligned} \quad (8)$$

y finalmente, sustituyendo en (8) el valor de a_4 obtenido en (2), tendremos finalmente:

$$h_6 = \frac{\sqrt{6}}{5} a_4 = \frac{\sqrt{6}}{5} \times \frac{2\sqrt{6}}{3} r_{ec}^4 = \frac{12}{15} r_{ec}^4 = \frac{4}{5} r_{ec}^4 \quad (9)$$

Para obtener la longitud de la arista " a_6 " de las caras laterales de las pirámides hexagonales, tendremos en cuenta que " a_6 " es la hipotenusa de un triángulo rectángulo, de catetos

$h_6 = r_{ec}$, y otro igual al radio de la circunferencia circunscrita a la cara exagonal del Aquimediario VII, cuyo radio es igual a la arista " a_{VII} " del mismo.

Por consiguiente, tendremos:

$$a_6 = \sqrt{(h_6)^2 + (a_{VII})^2} \quad (10)$$

Substituyendo en (10) el valor de $h_6 = \frac{4}{5} r_{ec}^4$ (ver fórm. 15), y $a_{VII} = \frac{1}{5} a_4$ (ver fórm. 7), y después a_4 por $\frac{2\sqrt{6}}{3} r_{ec}^4$ (ver fórm. 8), tendremos:

$$\begin{aligned} a_6 &= \sqrt{\left(\frac{4}{5} r_{ec}^4\right)^2 + \left(\frac{1}{5} a_4\right)^2} = \sqrt{\left(\frac{4}{5} r_{ec}^4\right)^2 + \left(\frac{1}{5} \times \frac{2\sqrt{6}}{3} \times r_{ec}^4\right)^2} = \\ &= \sqrt{\frac{16}{25} + \left(\frac{2\sqrt{6}}{15}\right)^2} \times r_{ec}^4 = \sqrt{\frac{16}{5^2} + \frac{24}{15^2}} r_{ec}^4 = \sqrt{\frac{16 \times 3^2 + 24}{15^2}} r_{ec}^4 = \\ &= \sqrt{\frac{144 + 24}{15^2}} r_{ec}^4 = \sqrt{\frac{168}{15^2}} r_{ec}^4 = \sqrt{\frac{2^2 \times 42}{15^2}} r_{ec}^4 = \boxed{\frac{2\sqrt{42}}{15} r_{ec}^4} \quad (11) \end{aligned}$$

Para el caso particular de este modelo, tendremos:

$$a_6 = \frac{2\sqrt{42}}{15} \times 110 \approx 0.864098760... \times 110 \approx \boxed{95 \text{ m m}}$$

Con las medidas calculadas de $a_{VII} = 35.9 \text{ m m}$ y $a_6 = 95 \text{ m m}$, vamos a desarrollar seguidamente la construcción del modelo estudiado, para el cual son necesarias las siguientes piezas:

A) ARQUIMEDIANO VII DE CARAS MACIZAS, DEL NÚCLEO,
DESPUES DE LA TRUNCADURA DE VÉRTICES

PIEZA N° 1 CARAS SUPERFICIALES EXAGONALES.- 4 unidades

La forma y dimensiones se detallan en la figura 3



Figura 3

PIEZA N° 1 4 (u)

Figura 3

PIEZA N° 2 CARAS SUPERFICIALES TRIANGULARES

4 unidades

La forma y dimensiones se detallan en la figura 4

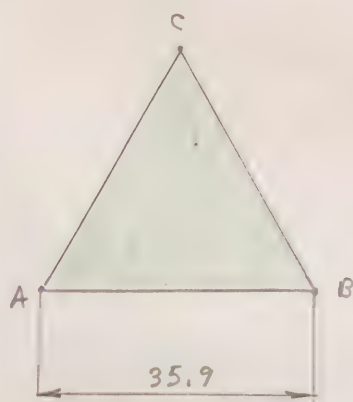


Figura 4

PIEZA N° 2 4 (u)

Figura 4

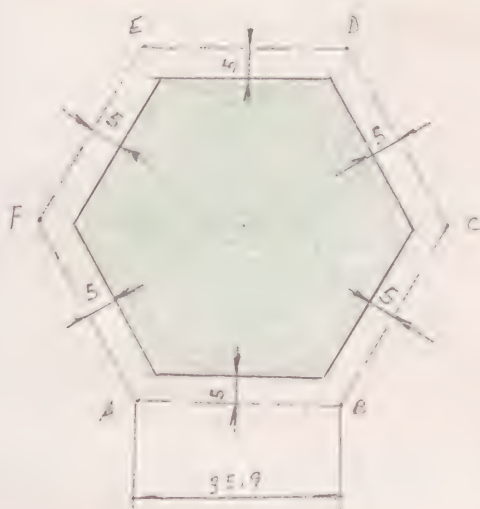
PIEZA N° 3 REFUERZO NORMAL EN CARAS EXAGONALES4 unidades

Figura 5

La forma y dimensiones se deducen de las del esdagono A.B.C.D.E.F de la figura 3, y se detallan en la figura 5

PIEZA N° 3 4 (u)

Figura 5

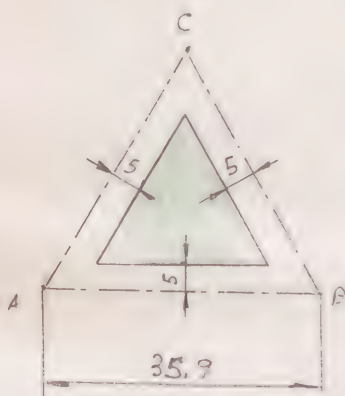
PIEZA N° 4 REFUERZO NORMAL EN CARAS TRIANGULARES4 unidades

Figura 6

La forma y dimensiones se deducen de las del triángulo A.B.C de la figura 4, y se detallan en la figura 6

PIEZA N° 4 4 (u)

Figura 6

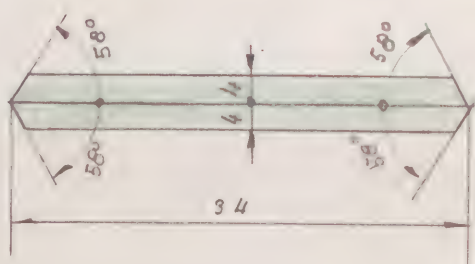
PIEZA N° 5 UNIONES ARISTAS DE DOS CARAS EXAGONALESCONTIGUAS6 unidades

Figura 7

La forma y dimensiones se detallan en la figura 7

PIEZA N° 5 6 (u)

Figura 7

UNIONES ARISTAS DE UNA CARA EXAGONAL Y OTRA TRIANGULAR 12 unidades

12 unidades

La forma y dimensiones se detallan en la figura 3

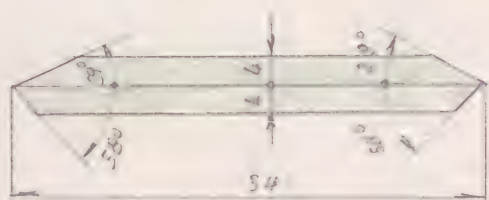


Figura 8

PIEZA N° 6 6 (u)

Figure 8

FORRO COLOREADO EN CARAS EXAGONALES

4 unidades

La forma y dimensiones se deducen de las del hexágono $ABCDEF$ de la figura 3, y se detallan en la figura 9

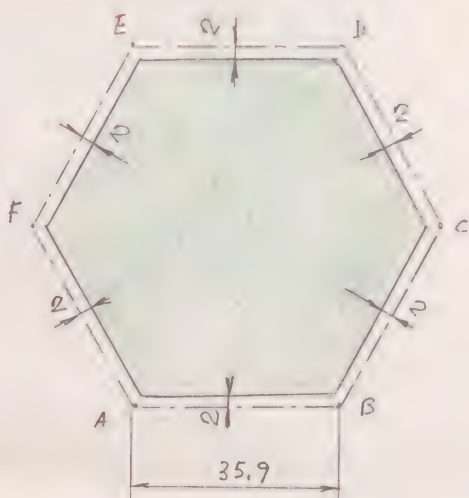


Figura 9

PIEZA N° 7 4 (6)

Figura 9

FORRO COLOREADO EN CARAS TRIANGULARES

4 unidades

La forma y dimensiones se deducen de las del triángulo ABC de la figura 4, y se detallan en la figura 10

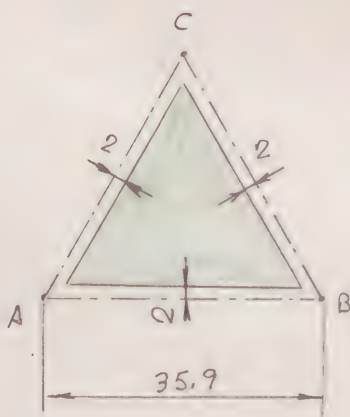


Figura 10

PIEZA N° 8 4 (11)

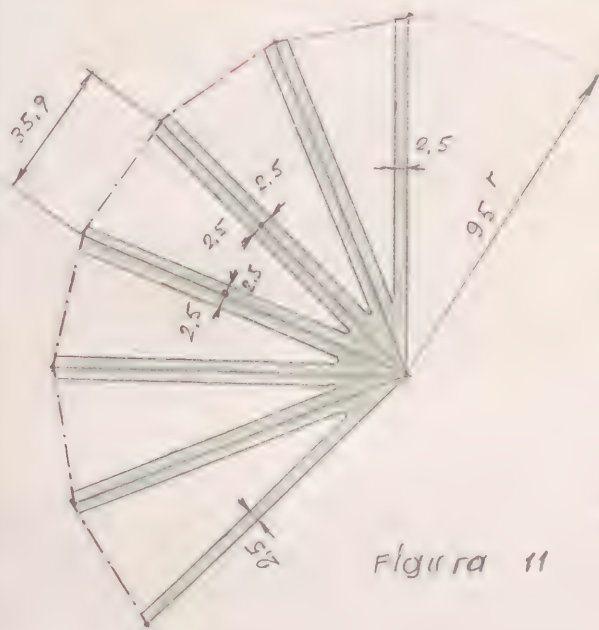
Figura 10

B) FIGURAS ESAGONALES DE CARAS VACIAS PARA FIJACION DEL TETRAEDRO GENERADOR

PIEZA N° 9

DESARROLLO LATERAL

4 unidades



PIEZA N° 9 4 (u)

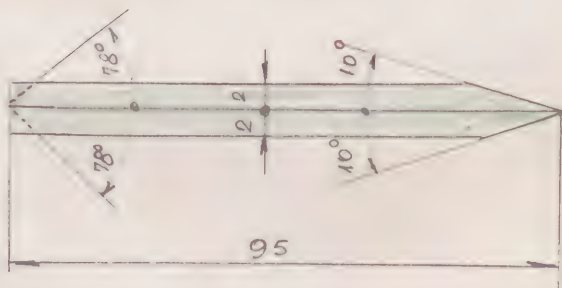
Figura 11

Figura 11

PIEZA N° 10

UNIONES ARISTAS

24 unidades



La forma y dimensiones se detallan en la figura 12

PIEZA N° 10 24 (u)

Figura 12

C) TETRAEDRO GENERADOR REGULAR CONVEXO DE CARAS VACIAS.

PIEZA N° 11

CARAS SUPERFICIALES

4 unidades

Igual a la pieza n° 2 del modelo M-1.102

PIEZA N° 12

UNIONES ARISTAS

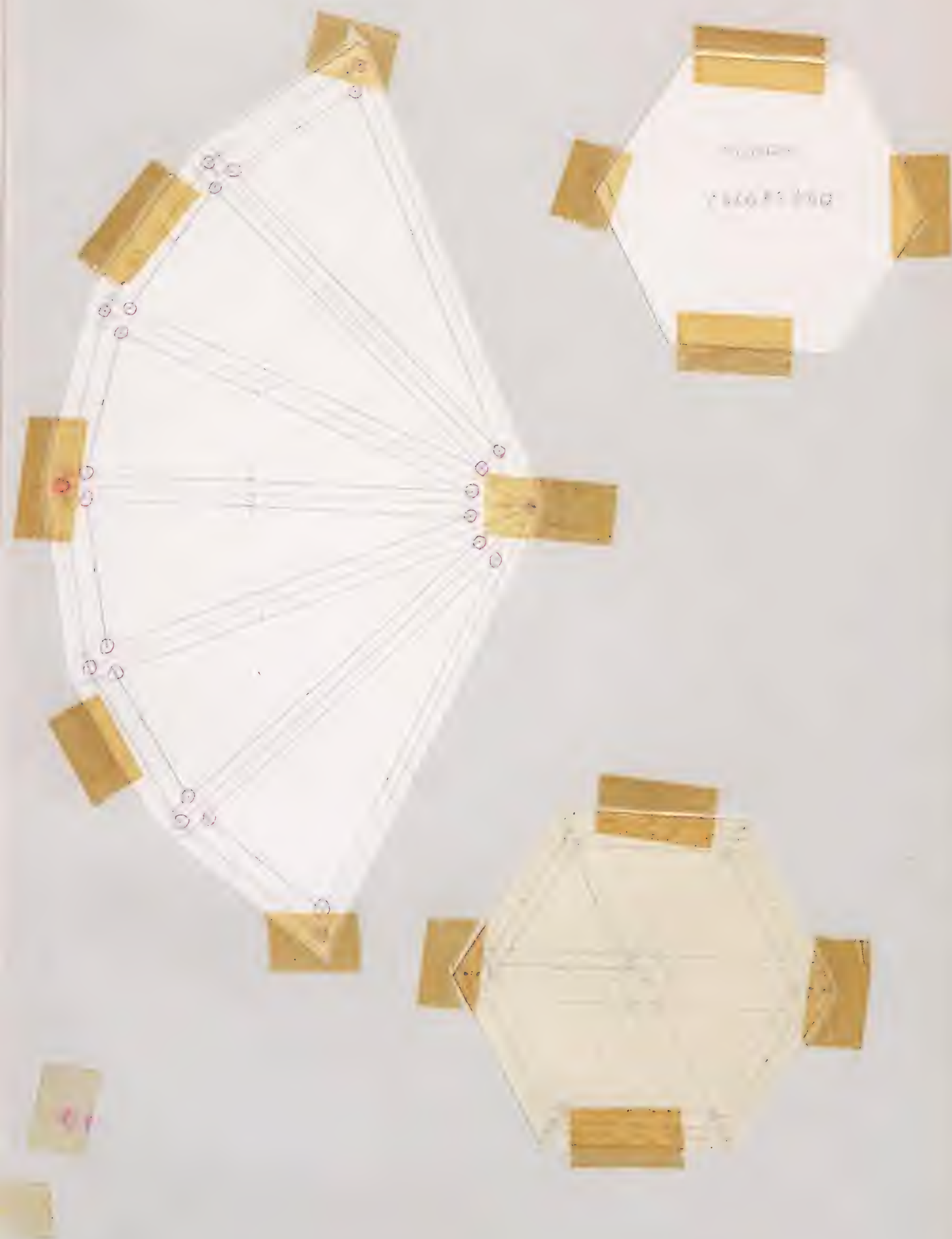
5 unidades

Igual a la pieza n° 2 del modelo M-1.102.



MODELO M-39.7

PATROWER



MODELO CORPÓREO DEL POLIEDRO CON-
VEXO DE CARAS MACIZAS "ARQUIME-
DIANO VIII", FORMADO POR OCHO CA-
RAS TRIANGULARES REGULARES (C_3),
Y SEIS CARAS OCTOGONALES REGULA-
RES CONVEXAS (C_8), CONCURRIENDO
EN CADA VÉRTICE $1C_3 + 2C_8$.

Radio de la esfera circunscrita

$$r' = 110 \text{ m m.}$$

ENUNCIADO: Construir el modelo corpóreo del poliedro convexo de caras onicidas, "ARQUIMEDIANO VIII", formado por ocho caras triangulares regulares (C_3) y seis caras octogonales regulares convexas (C_8), concurrendo en cada vértice $1 C_3 + 2 C_8$.

Este poliedro ha sido estudiado analíticamente en el ejercicio G.E. n° Lámina 40, y representado en sus vistas principal, superior y lateral izquierda en la mencionada Lámina 40, a escala 1:1, con el radio r_{ec}^{VIII} de su esfera circunscrita de $r_{ec}^{VIII} = 55 \text{ mm}$.

DATO ÚNICO DE ESTE EJERCICIO: Radio de la esfera circunscrita:

$$r_{ec}^{VIII} = 110 \text{ mm}$$

Las características geométricas del ARQUIMEDIANO VIII, son las siguientes:

Número de caras triangulares $C_3 = 8$

Número de caras octogonales $C_8 = 6$

Número de vértices $V = 24$

Número de aristas $A = 36$

Número de caras de un ángulo

sólido: $1 C_3 + 2 C_8$



Para poder obtener el desarrollo de este poliedro, calculemos previamente la longitud a_{VIII} de la arista del mismo, en función del radio r_{ec}^{VIII} de su esfera circunscrita. Para ello utilizaremos la fórmula

$$r_{ec}^{VIII} = \frac{\sqrt{7 + 4\sqrt{2}}}{2} a_{VIII} \quad (1)$$

deducida en el mencionado ejercicio G.E. n°... - Lámina 40 que nos da el valor del radio r_{ec}^{VIII} en función de a_{VIII} . Despejando en (1) a_{VIII} , tendremos:

$$a_{VIII} = \left[1 : \frac{\sqrt{7 + 4\sqrt{2}}}{2} \right] r_{ec}^{VIII} = \frac{2}{\sqrt{7 + 4\sqrt{2}}} \cdot r_{ec}^{VIII} = 2 \times \sqrt{\frac{1}{7 + 4\sqrt{2}}} r_{ec}^{VIII}$$

$$= 2 \times \sqrt{\frac{7 - 4\sqrt{2}}{49 - 32}} r_{ec}^{VIII} = \boxed{2 \times \sqrt{\frac{7 - 4\sqrt{2}}{17}} r_{ec}^{VIII}}$$

de donde se obtiene finalmente:

$$a_{VIII} = 2 \times \sqrt{\frac{7 - 4\sqrt{2}}{17}} r_{ec}^{VIII} \quad (2)$$

Fórmula que aplicada al caso estudiado nos da

$$\boxed{a_{VIII}} = 2 \times \sqrt{\frac{7 - 4\sqrt{2}}{17}} r_{ec}^{VIII} \approx 0,562169276... \times 110 = \boxed{61,8 \text{ mm}}$$

Para la construcción de este poliedro, son necesarias las siguientes piezas:

PIEZA N° 1 CARAS LATERALES TRIANGULARES 8 unidades

Son triángulos equiláteros, cuya forma y dimensiones se detallan en la figura 1

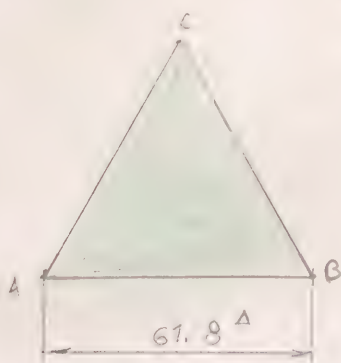


Figura 1

PIEZA N° 1 8 (u)

Figura 1

PIEZA N° 2 CARAS LATERALES OCTOGONALES 6 unidades

Son octógonos regulares convexos de lado $l_8 = a_{VIII} = 61.8 \text{ mm}$. Su forma y dimensiones se detallan en la figura 2.

Para dibujar más fácilmente el octógono, calcularemos previamente el radio r_{c-8} de su circunferencia circunscrita, por la fórmula $r_{c-8} = \sqrt{\frac{2 + \sqrt{2}}{2}} l_8$, obtenida en G.P. 1.400-46; su valor será:

$$r_{c-8} = \sqrt{\frac{2 + \sqrt{2}}{2}} \times 61.8 = 80.8 \text{ mm}$$

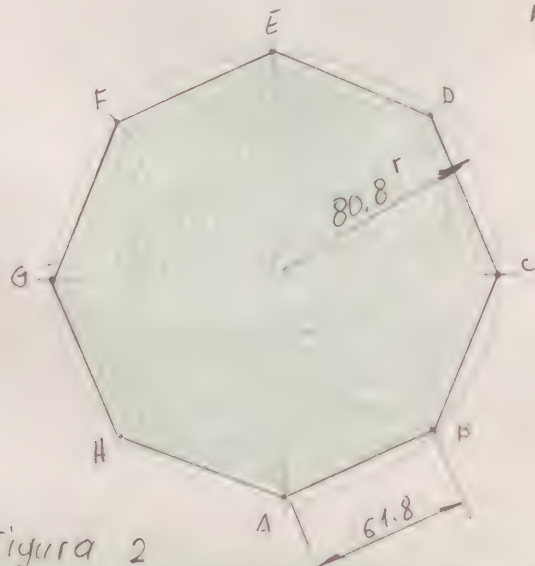


Figura 2

PIEZA N° 2

6 (u)

Figura 2

PIEZA N° 3 REFUERZO NORMAL INTERIOR DE LAS CARAS
LATERALES TRIANGULARES 8 unidades

La forma y dimensiones se deducen de las del triángulo ABC de la figura 1, y se detallan en la figura 3

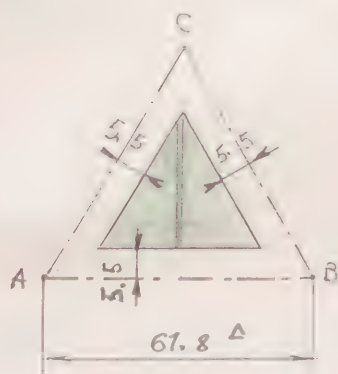


figura 3

PIEZA N° 3 8 (u)

Figura 3

PIEZA N° 4 REFUERZO NORMAL INTERIOR DE LAS CARAS
LATERALES OCTOGONALES 6 unidades

La forma y dimensiones se deducen de las del octógono regular convexo A,B.. G,H, de la figura 2, y se detallan en la figura 4

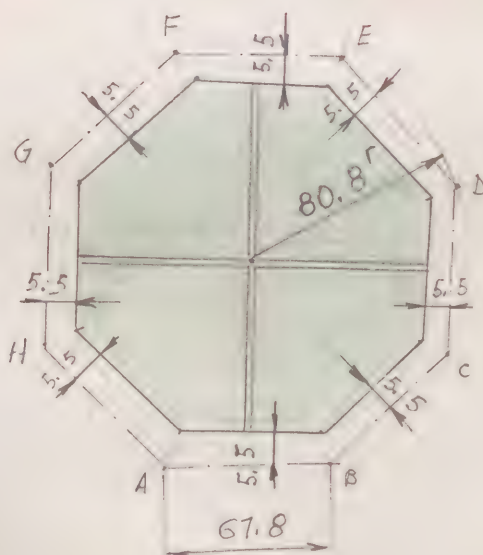


Figura 4

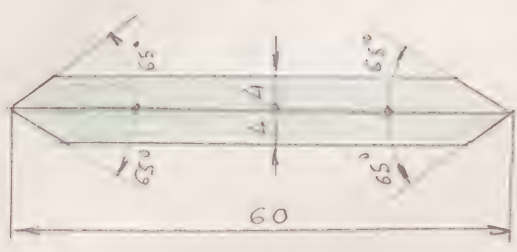
PIEZA N° 4

6 (u)

Figura 4

PIEZA N° 5 UNIONES ADISTAS EN DOS CARAS OCTOGONALES
CONTIGUAS 12 unidades

La forma y dimensiones se detallan en la figura 5

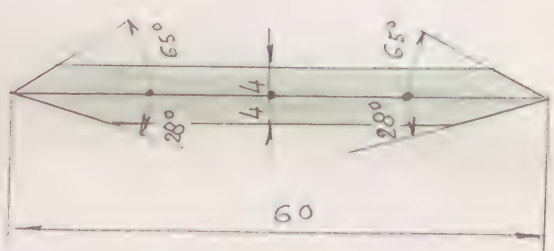


PIEZA N° 5 12 (u)

Figura 5

PIEZA N° 6 UNIONES ADISTAS EN UNA CARA TRIANGULAR
CON OTRA OCTOGONAL CONTIGUAS 24 unidades

La forma y dimensiones se detallan en la figura 6.

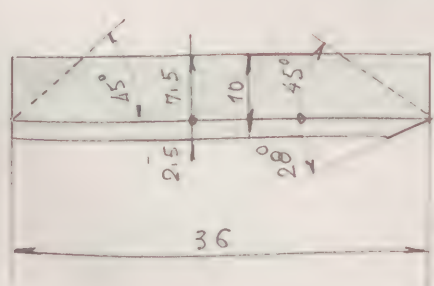


PIEZA N° 6 24 (u)

Figura 6

PIEZA N° 7 REFUERZO TRANSVERSAL INTERIOR DE LAS
CARAS TRIANGULARES 16 unidades
(simétricas dos a dos)

La forma y dimensiones se detallan en la figura 7; su colocación en la figura 3



PIEZA N° 7 16 (u)

Figura 7

PIEZA N° 8 REFUERZO TRANSVERSAL INTERIOR DE LAS CA-
RAS OCTOGONALES 24 unidades

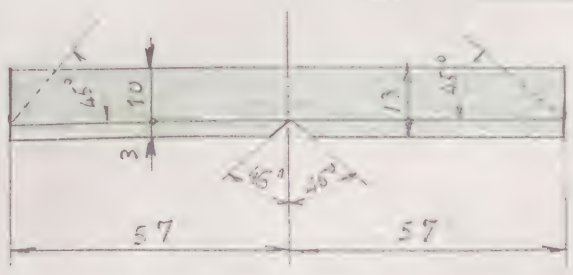


Figura 8

La forma y dimensiones se detallan en la figura 8: su colocación en la figura 4.

PIEZA N° 8 24 (u)
Figura 8

PIEZA N° 9 FORRO COLOREADO EN CARAS OCTOGONALES
6 unidades

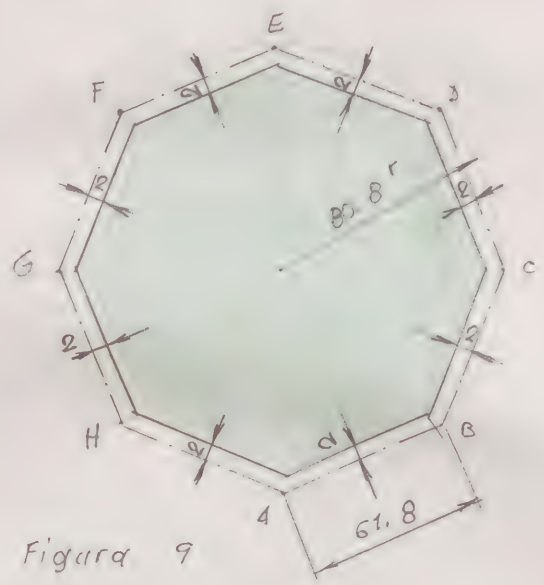


Figura 9

La forma y dimensiones se detallan en la figura 9, y se deducen de las del octógono A, B...H, de la figura 2

PIEZA N° 9 6 (u)
Figura 9

PIEZA N° 10 FORRO COLOREADO EN CARAS TRIANGULARES
8 unidades

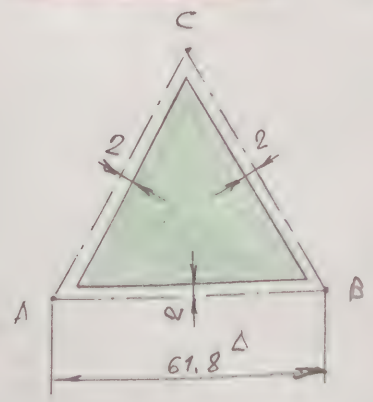


Figura 10

La forma y dimensiones se detallan en la figura 9, y se deducen de las del triángulo ABC de la figura 1.

PIEZA N° 10 8 (u)
Figura 10

MODELO CORPÓREO DEL POLIEDRO CONVEXO

DE CARAS VACIADAS, "ARQUIMEDIANO VIII",

FORMADO POR OCHO CARAS TRIANGULARES, RE-

GULARES (C_3), Y SEIS CARAS OCTOGONALES,

REGULARES CONVEXAS (C_8), CONCURRIENDO EN

CADA VÉRTICE $1 C_3 + 2 C_8$.

Radio de la esfera circunscrita:

$$r' = 110 \text{ mm}$$

ENUNCIADO: Construir el modelo corpóreo del poliedro convexo de caras vaciadas, ARQUIMEDIANO VIII, formado por ocho caras triangulares regulares (C_3), y seis caras octogonales regulares convexas (C_8), concurrendo en cada vértice $1 C_3 + 2 C_8$.

Este modelo, puede considerarse como una variante del M-40.1, de igual forma y dimensiones, pero con sus caras vaciadas.

Las propiedades de este poliedro, así como sus dimensiones, son las enunciadas y calculadas en el mencionado modelo M-40.1.

DATO ÚNICO DE ESTE EJERCICIO: $r_c^{VIII} =$ radio de la esfera circunscrita:

$$r_c^{VIII} = 110 \text{ mm}$$

Para la construcción de este poliedro, son necesarias las siguientes piezas:

PIEZA N° 1 CARAS LATERALES TRIANGULARES, REGULARES 8 unidades

La forma y dimensiones se detallan en la figura 1.

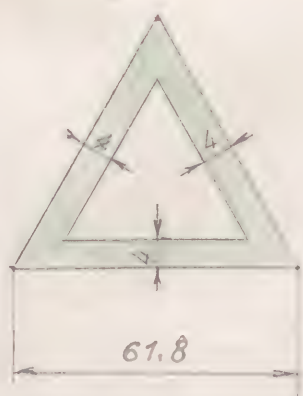


Figura 1

PIEZA N° 1

8 (u)

Figura 1

PIEZA N° 2 CARAS LATERALES OCTOGONALES, REGULARES
CONVEXAS 6 unidades

La forma y dimensiones se detallan en la figura 2

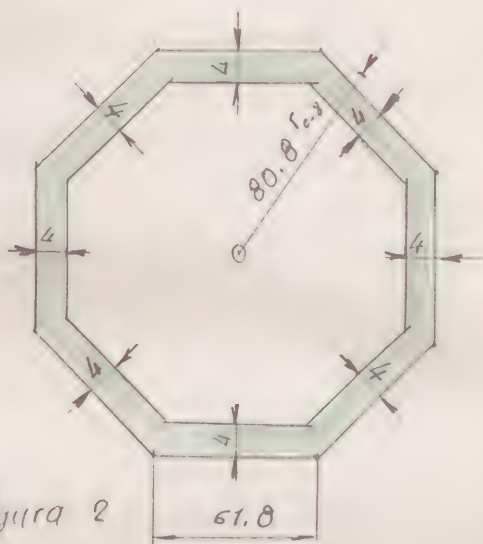


Figura 2

PIEZA N° 2

6 (u)

Figura 2

PIEZA N° 3 UNIONES ARISTAS EN DOS CARAS OCTOGONALES CONTIGUAS 12 unidades

La forma y dimensiones se detallan en la figura 3

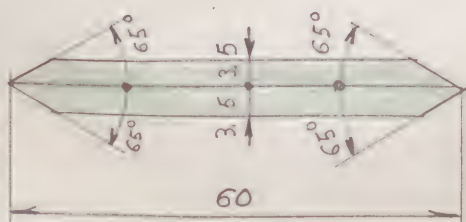


Figura 3

PIEZA N° 3

12 (u)

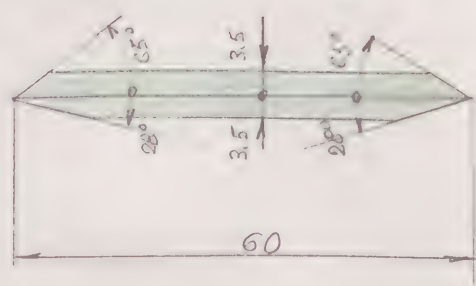
Figura 3

Calvario

Mayo 1980

PIEZA N° 4 UNIDADES ADISTAS EN UNA CADA TRIANGULAR
CON OTRA OCTOGONAL CONTIGUAS 24 unidades

La forma y dimensiones se detallan en la figura 4



PIEZA N° 4

24 (u)

Figura 4

Figura 4

EJEMPLO

VARIANTE DEL MODELO M-40,1,

DE IGUAL FORMA QUE ÉSTE, SIEN-

DO MÁS PEQUEÑO EL RADIO DE SU

ESFERA CIRCUNSCRITA.

Radio de la esfera circunscrita:

$$r' = 76,1 \text{ mm}$$

Ejercicio de construcción de poliedros
 MODELOS CORPÓREOS

Modelo M-40.3

ENUNCIADO: Construir el modelo corpóreo del poliedro convexo de caras macizas "ARQUIMEDIANO VIII", formado por ocho caras triangulares regulares (C_3) y seis caras octogonales, regulares, convexas (C_8), concuiriendo en cada vértice $1 C_3 + 2 C_8$.

Este modelo puede considerarse como una variante del modelo M-40.1, de igual forma, pero siendo menor el radio de su esfera circunscrita ($r_{ec} = 76.1 \text{ mm}$).

Para obtener el desarrollo de este modelo, utilizaremos el mismo estudio analítico, hecho en el modelo M-40.1, determinando previamente el coeficiente "k" de reducción, $k = 76.1 : 110$, o relación entre los radios correspondientes de sus respectivas esferas circunscritas:

DATO ÚNICO DEL EJERCICIO

$$\frac{\text{VIII}}{r_{ec}} = 76.1 \text{ mm}$$

COEFICIENTE DE REDUCCIÓN

$$k = \frac{76.1}{110} = 0.6918$$

A continuación presentamos diversas tablas de longitudes y ángulos, cuyas dimensiones han sido resenadas en las distintas figuras del modelo M-40.1, y de los valores correspondientes a aplicar en la construcción de este nuevo modelo M-40.3, en el que son necesarias las siguientes piezas:

PIEZA N° 1 CARAS LATERALES TRIANGULARES REGULA-

RES

8 unidades

La figura 1, ha de construirse con las siguientes cotas modificadas:

<u>FIGURA 1</u>	Longitudes m m	Cotas modificadas m m
<u>PIEZA N° 1</u> 8 (u)	61.8	42.8

PIEZA N° 2 CARAS LATERALES OCTOGONALES REGULARES

6 unidades

La figura 2, ha de construirse con las siguientes cotas modificadas:

<u>FIGURA 2</u>	Longitudes m m	Cotas modificadas m m
<u>PIEZA N° 2</u> 6 (u)	61.8	42.8
	80.8	55.9

PIEZA N° 3 REFUERZO NORMAL INTERIOR DE LAS CARAS LATE-
RALES TRIANGULARES

8 unidades



La figura 3, ha de construirse con las siguientes cotas modificadas:

<u>FIGURA 3</u>	Longitudes m m	Cotas modificadas m m
<u>PIEZA N° 3</u>	61.8	42.8
8 (4)	5.5	5

PIEZA N° 4 REFUERZO NORMAL INTERIOR DE LAS CARAS LATERALES OCTOGONALES 6 unidades

La figura 4, ha de construirse con las siguientes cotas modificadas:

<u>FIGURA 4</u>	Longitudes m m	Cotas modificadas m m
<u>PIEZA N° 4</u>	61.8	42.8
6 (4)	80.8	55.9
	5.5	5

PIEZA N° 5 UNIONES ARISTAS EN DOS CARAS OCTOGONALES CONTIGUAS 12 unidades

La figura 5, ha de construirse con las siguientes cotas modificadas:

FIGURA 5	Longitudes m m	Cotas modificadas m m
PIEZA N° 5	60	41
12(u)	4	4
	65°	65°

PIEZA N° 6 UNIONES ADISTAS EN UNA CARA TRIANGULAR
CON OTRA OCTOGONAL CONTIGUAS 24 unidades

La figura 6, ha de construirse con las siguientes cotas modificadas:

FIGURA 6	Longitudes m m	Cotas modificadas m m
PIEZA N° 6	60	41
24(u)	4	4
	28°	28°
	65°	65°

PIEZA N° 7 REFUERZO TRANSVERSAL INTERIOR DE LAS
CARAS TRIANGULARES 16 unidades

Debido al pequeño tamaño de estas caras no es necesario su refuerzo transversal, por lo que se suprime.

PIEZA N° 8 REFUERZO TRANSVERSAL INTERIOR DE LAS CARAS
OCTOGONALES 24 unidades

La figura 8, ha de construirse con las siguientes cotas modificadas:

FIGURA 8	Longitudes m m	Cotas modificadas m m
PIEZA N° 8	57	47
24 (u)	13	10
	10	7.5
	3	2.5
	46°	46°

PIEZA N° 9 FORRO COLOREADO EN CARAS OCTOGONALES
6 unidades

La figura 9, ha de construirse con las siguientes cotas modificadas:

FIGURA 9	Longitudes m m	Cotas modificadas m m
PIEZA N° 9	61.8	42.8
6 (u)	80.8	55.9
	2	2

PIEZA N° 10 FORRO COLOREADO EN CARAS TRIANGULARES 8 (u)

La figura 10, ha de construirse con las siguientes cotas modificadas:

FIGURA 10	Longitudes m m	Cotas modificadas m m
PIEZA N° 10	61.8	42.8
8 (u)	2	2

VARIANTE DEL MODELO M- 40.2,

DE IGUAL FORMA QUE ÉSTE, SIEN-

DO MÃY PEQUEÑO EL RADIO DE

SU ESFERA CIRCUNSCRITA.

Radio de la esfera circunscrita:

$$r' = 76.1 \text{ m m.}$$

ENUNCIADO: Construir el modelo corpóreo del poliedro convexo de caras vaciadas "ARQUIMEDIANO VIII", formado por ocho caras triangulares regulares (C_3), y seis caras octogonales, regulares y convexas (C_8) concavificando en cada vértice $-1C_3 + 2C_8$.

Este modelo puede considerarse como una variante del modelo M-40.2, de igual forma, siendo de mayor tamaño el radio de su esfera circunscrita ($r_{ec} = 76.1 \text{ mm}$).

A continuación presentamos diversas tablas de longitudes y ángulos, cuyas dimensiones han sido reseñadas en las distintas figuras del modelo M-40.2 en el que son necesarias las siguientes piezas:

PIEZA N° 1 CARAS LATERALES TRIANGULARES, REGULARES 8 unidades

La figura 1, ha de construirse con las siguientes cotas modificadas:

<u>FIGURA 1</u>	Longitudes mm	Cotas modificadas mm
<u>PIEZA N° 1</u>	61.8	42.8
8(u)	4	3

PIEZA N° 2 CARAS LATERALES OCTOGONALES, REGULARES Y
CONVEXAS 6 unidades

La figura 2, ha de constuirse con las siguientes cotas modificadas.

<u>FIGURA 2</u>	Longitudes m m	Cotas modificadas m m
<u>PIEZA N° 2</u>	61.8	42.8
6 (u)	80.8	55.9
	4	3

PIEZA N° 3 UNIONES ARISTAS EN DOS CARAS OCTOGONA-
LES CONTIGUAS 12 unidades

La figura 3, ha de constuirse con las siguientes cotas modificadas:

<u>FIGURA 3</u>	Longitudes m m	Cotas modificadas m m
<u>PIEZA N° 3</u>	60	41
6 (u)	9.5	2.5
	65°	65°

PIEZA N° 4 UNIONES ARISTAS EN UNA CARA TRIANGULAR
CON OTRA CARA OCTOGONAL CONTIGUAS. - 24 (u)

Calware Mayo 1980

La figura 4. ha de contenerse con las siguientes cotas (modificadas):

FIGURA 4	Longitudes m m	Cotas modificadas m m
<u>PIEZA N° 4</u>	60	41
24 (u)	3,5	2,5
	28°	28°
	65°	65°

MODELO CORPÓREO DEL "ARQUIMEDIANO VIII" OBTENIDO POR TRUNCADURA DE VÉRTICES DE UN EXAEDRO REGULAR CONVEXO, DE ARISTA " a_6 ", AL TOMAR SOBRE CADA ARISTA, Y DESDE SU VÉRTICE, LA DISTANCIA $\frac{2 - \sqrt{2}}{2} a_6$. EL ARQUIMEDIANO OBTENIDO, SE CONSTRUIRÁ CON LAS CARAS MACIZAS, Y EL EXAEDRO REGULAR CONVEXO GENERADOR, CON LAS CARAS VACIADAS EN LOS VÉRTICES TRUNCADOS

Radio de la esfera circunscrita al exaedro generador

$$r_{ec}^6 = 110 \text{ mm}$$

ENUNCIADO: Construir el modelo corpóreo del "ARQUIMEDIANO VIII" obtenido por truncadura de vértices de un escaedro regular convexo, de arista " a_6 ", a la distancia $x = \frac{2-\sqrt{2}}{2} a_6$. - El Arquimedio no generado se construirá con las caras macizas, y el escaedro regular convexo generado, con las caras vaciadas en los vértices truncados.

DATO ÚNICO DE ESTE EJERCICIO: r_e^6 = radio de la esfera circunscrita al escaedro generador:

$$r_e^6 = 110 \text{ mm}$$

1. CONSIDERACIONES PREVIAS

En el ESTUDIO PREVIO a la construcción de los poliedros Arquimedianos, iniciado el ejercicio M-39.1; continuado en los M-39.5; M-39.7; y terminado en el M-6.2, hemos estudiado profundamente el proceso geométrico denominado de TRUNCADURA DE VÉRTICES de los poliedros regulares convexos, por el que se obtienen muchos de los POLIEDROS ARQUIMEDIANOS y también los propios poliedros regulares convexos.

Dicho proceso fue aplicado en el mencionado ESTUDIO

PREVIO al conocimiento de la forma y propiedades geométricas del poliedro convexo resultante de la aplicación del mencionado proceso de TRUNCADURA DE VÉRTICES al caso particular del TETRAEDRO REGULAR CONVEXO, tomado como primer poliedro generador entre los cinco poliedros regulares convexos.

Las diversas posiciones del plano secante dan lugar a la obtención de un poliedro núcleo de muy variadas formas, dependientes de la posición del plano secante con respecto al tetraedro generador, y fueron resumidas al final del mencionado estudio previo, que a continuación volvemos a exponer.

Estas posiciones están dadas en función de la distancia " x " que sitúa al plano secante con respecto al poliedro generador. Dicho plano es el que pasa por punto tomado a la distancia " x " sobre las aristas que concurren en cada vértice del tetraedro generador, y a partir de dicho vértice. Las posiciones estudiadas, son las siguientes:

$$\underline{1^{\text{a}} \text{ POSICIÓN}} \quad 0 < x < \frac{1}{3} d_4 \quad (M-39,5) \quad (1)$$

$$\underline{2^{\text{a}} \text{ POSICIÓN}} \quad x = \frac{1}{3} d_4 \quad (M-39,5) \quad (2)$$

$$\underline{3^{\text{a}} \text{ POSICIÓN}} \quad \frac{1}{3} d_4 < x < \frac{1}{2} d_4 \quad (M-39,7) \quad (3)$$

4ª POSICIÓN

$$x = \frac{1}{2} d_4$$

(M-39.7)

(4)

5ª POSICIÓN

$$\frac{1}{2} d_4 < x < \frac{3}{5} d_4$$

(M-39.7)

(5)

6ª POSICIÓN

$$x = \frac{3}{5} d_4$$

(M-39.7)

(6)

7ª POSICIÓN

$$\frac{3}{5} d_4 < x < \frac{2}{3} d_4$$

(M-6.2)

(7)

8ª POSICIÓN

$$x = \frac{2}{3} d_4$$

(M-6.2)

(8)

9ª POSICIÓN

$$\frac{2}{3} d_4 < x \leq d_4$$

(M-6.2)

(9)

Con el fin de generalizar a los cuatro poliedros P_n ($n = 6, 8, 12, 20$) regulares convexos (tetraedro, octaedro, dodecaedro e icosaedro), los resultados obtenidos en el tetraedro, vamos a elegir entre las nueve posiciones del plano recorte, aquellas soluciones en las que la truncadura de vértices del tetraedro regular convexo, dan lugar a la formación de un poliedro recortado que sea un poliedro Arquimedeano, o un poliedro regular convexo, que son las de especial interés, y poder aplicar estos resultados a su vez a los cuatro poliedros regulares restantes P_n ($n = 6, 8, 12$ y 20).

En efecto, en la 9ª POSICIÓN, $x = \frac{1}{3} d_4$, estudiada.

en el modelo M-39.5, el poliedro núcleo demostramos era un "ARQUIMEDIANO VII" obtenido por la truncadura de vértices del tetraedro regular convexo a la distancia $x = \frac{1}{3} d_4$. El valor de "x" se obtiene por la condición geométrica de que el plano secante produzca:

- a) En las caras del poliedro generador, polígonos regulares de doble número de lados que los de las mencionadas caras, cuyos lados son alternativamente coincidentes con los de las mismas y cuyo número será, por consiguiente, el de caras del mencionado poliedro generador.
- b) En los ángulos sólidos de los vértices, del poliedro generador, se producen, por el plano secante de la truncadura, triángulos regulares de igual lado que los de los polígonos a), y cuyo número será, por lo tanto, igual al de vértices de dicho poliedro generador.

Las condiciones a) y b) pueden servirnos para poder determinar previamente: 1º Las características geométricas del poliedro engendrado; y 2º la posición del plano secante, función de la magnitud "x", que satisface la condición a).

Aplicando estos conceptos nuevamente al caso planteado en

la 2ª POSICIÓN, ya resuelto en el modelo M-39.5, en el que el poliedro generador es un tetraedro regular convexo, y el poliedro convexo del núcleo, resultante de la truncadura de sus vértices, podemos deducir previamente que tendría:

- 1) Por cumplir la condición a cuatro caras hexagonales regulares convexas, y
- 2) Por cumplir la condición b), cuatro caras triangulares regulares, y además tendría:

$$\frac{4 \times 6 + 4 \times 3}{3} = \underline{12 \text{ vértices}}; \quad \text{y} \quad \frac{4 \times 6 + 4 \times 3}{2} = \underline{18 \text{ aristas.}}$$

$$\text{Siendo el número de caras de un ángulo sólido} = \\ = \underline{1 C_3 + 2 C_6.}$$

Finalmente, para obtener en un triángulo equilátero, un hexágono regular convexo de lados alternativos, coincidentes con los de los mencionados triángulos, bastará truncar los vértices de éstos, a las distancias $x = \frac{1}{3} d_4$ (La demostración geométrica de esta propiedad, es inmediata).

En consecuencia, y a la vista de los resultados anteriores, deducimos que el poliedro núcleo convexo, resultante de la truncadura de vértices de un tetraedro regular convexo, a la distancia $x = \frac{1}{3} d_4$, es un ARQUIMEDIANO VII de arista $d_{VII} = \frac{1}{3} d_4$.

2. DETERMINACIÓN DE LAS CARACTERÍSTICAS GEOMÉTRICAS DEL POLIEDRO ESTUDIADO.

Teniendo presente los conceptos expresados en las "consideraciones previas" del párrafo 1), podemos deducir de antemano, que el poliedro convexo núcleo, resultado de la truncadura de vértices de un escaetro regular convexo, a la distancia "x" tal, que el plano secante en la POSICION 2°, produzca en el escaetro generado:

- 1º) En las caras del mismo, seis octógonos regulares C_8 (por cumplir la condición a)); 6
- 2º) En el plano secante, ocho triángulos regulares C_3 de igual lado que los anteriores (por cumplir la condición b)).

Por consiguiente, el poliedro resultante tendrá las siguientes características geométricas:

- 1) Número de caras octogonales regulares = $6 C_8$
- 2) Número de caras triangulares regulares = $8 C_3$
- 3) Número de vértices = $\frac{6 \times 8 + 8 \times 3}{3} = 24$ vértices
- 4) Número de aristas = $\frac{6 \times 8 + 8 \times 3}{2} = 36$ aristas
- 5) Número de caras en cada vértice = $1 C_3 + 2 C_8$



Estas características son las mismas que la del poliedro semi-regular denominado "ARQUIMEDIANO VIII" estudiado y representado en el ejercicio G.E. n°.....- Lámina 40.

3. CÁLCULO ANALÍTICO DE LONGITUDES

3.1 Arista " a_6 " del exaedro regular convexo generador

Se obtiene de la fórmula $r_{ec}^6 = \frac{\sqrt{3}}{2} a_6$ deducida en el ejercicio G.E. n°.....- Lámina 2. Despejando en ella a_6 , tenemos:

$$a_6 = r_{ec}^6 : \frac{\sqrt{3}}{2} = \frac{2}{\sqrt{3}} \times r_{ec}^6 = \frac{2\sqrt{3}}{3} r_{ec}^6 \quad (1)$$

3.2 Arista " a_{VIII} " del Arquimediano VIII

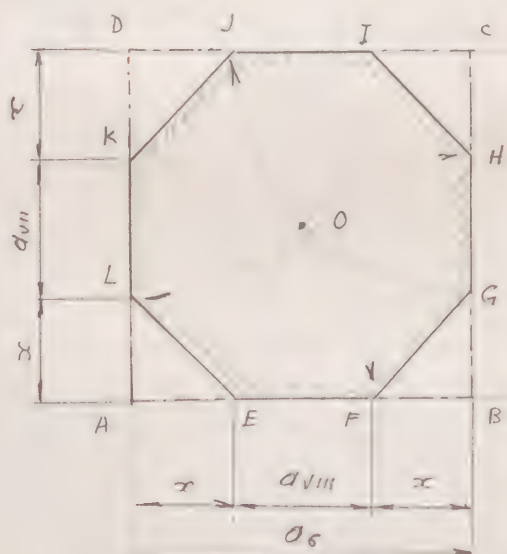


Figura 1

En la figura 1, ABCD es un cuadrado de lado a_6 , en el cual se halla inscrito el octógono regular convexo E,F...K,L, al tomar desde sus vértices las distancias " x ".

Los lados del cuadrado son las aristas " a_6 " del exaedro generador. El centro del mismo es el punto O.

(Clase)

Junio 1980

Los lados del octógono regular convexo, son las aristas a_{VIII} del Arquimedeano VIII.

Del triángulo rectángulo AEL en el que $\overline{AE} = \overline{AL} = x$ y $\overline{LE} = a_{VIII}$, tendremos:

$$\overline{LE} = \sqrt{\overline{AL}^2 + \overline{AE}^2} \quad \text{y sustituyendo valores, será}$$

$$\boxed{a_{VIII}} = \sqrt{x^2 + x^2} = \boxed{x\sqrt{2}} \quad \text{y de aquí:} \quad x = \frac{1}{\sqrt{2}} a_{VIII}$$

$$\overline{AB} = \overline{AE} + \overline{EF} + \overline{FB} \quad \text{de donde}$$

$$a_6 = x + a_{VIII} + x = 2x + a_{VIII} \quad \text{y sustituyendo } x,$$

$$a_6 = 2 \times \frac{1}{\sqrt{2}} a_{VIII} + a_{VIII} = \left(\frac{2\sqrt{2}}{2} + 1 \right) a_{VIII} = (\sqrt{2} + 1) a_{VIII}$$

y despejando a_{VIII} , tendremos:

$$\boxed{a_{VIII}} = a_6 : (\sqrt{2} + 1) = \frac{1}{\sqrt{2} + 1} \times a_6 = \frac{\sqrt{2} - 1}{1} a_6 = \boxed{(\sqrt{2} - 1) a_6} \quad (3)$$

3.3 Distancia "x" en que la truncadura de vértices del exaedro regular convexo produce el Arquimedeano VIII

Anteriormente deducimos que $a_{VIII} = x\sqrt{2}$ que sustituido en (3), nos dará

$$a_{VIII} = x\sqrt{2} = (\sqrt{2} - 1) a_6 \quad \text{en la que despejando "x"}$$

tendremos:

$$\boxed{x} = (\sqrt{2}-1) a_6 : \sqrt{2} = \frac{\sqrt{2}-1}{\sqrt{2}} a_6 = \frac{\sqrt{2}(\sqrt{2}-1)}{2} a_6 = \boxed{\frac{2-\sqrt{2}}{2} a_6} \quad (4)$$

La fórmula (4) y las características geométricas del poliedro estudiado, determinadas en el párrafo 2, justifican el enunciado de este modelo.

3.4. CONSTRUCCION DEL MODELO

Para poder efectuar la construcción de este modelo, determinemos previamente los valores numéricos siguientes, en función del dato $r_{ec}^6 = 110 \text{ mm}$.

Arista " a_6 " del escaño regular generador (aplicar fórmula (1))

$$\boxed{a_6} = \frac{2\sqrt{3}}{3} \times 110 \approx 1,154700539... \times 110 \approx 127,0170593 \approx \boxed{127 \text{ mm}}$$

Arista " a_{VIII} " del Arquimediario VIII (aplicar fórm. 3).

$$\boxed{a_{VIII}} = (\sqrt{2}-1) \times a_6 = \frac{\sqrt{2}-1}{3} \times 2\sqrt{3} \times 110 \approx 0,478292623... \times 110 = \boxed{52,6 \text{ mm}}$$

Distancia " x " de la truncadura (aplicar fórm. (4))

$$\boxed{x} = \frac{2-\sqrt{2}}{2} a_6 = \frac{2-\sqrt{2}}{2} \times \frac{2\sqrt{3}}{3} a_6 = 0,338203958... \times 110 \approx \boxed{37,2 \text{ mm}}$$

Para la construcción de este modelo, son necesarias las siguientes piezas:

A) ADQUIMEDIANO NÚCLEO VIII DE CARAS MACIZAS

PIEZA N° 1 CARAS SUPERFICIALES OCTOGONALES REGU-
LARES 6 unidades

La forma y dimensiones se detallan en la figura 2.
en correspondencia con la
figura 1,

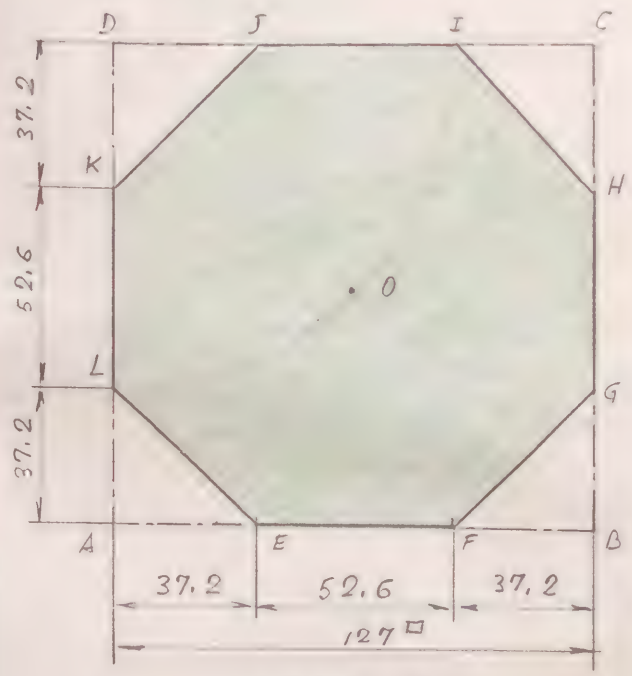


Figura 2

PIEZA N° 1

6 (u)

Figura 1

PIEZA N° 2 CARAS SUPERFICIALES TRIANGULARES REGU-
LARES 8 unidades

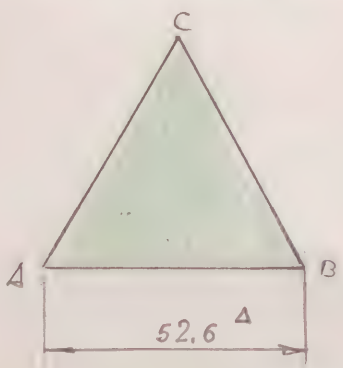


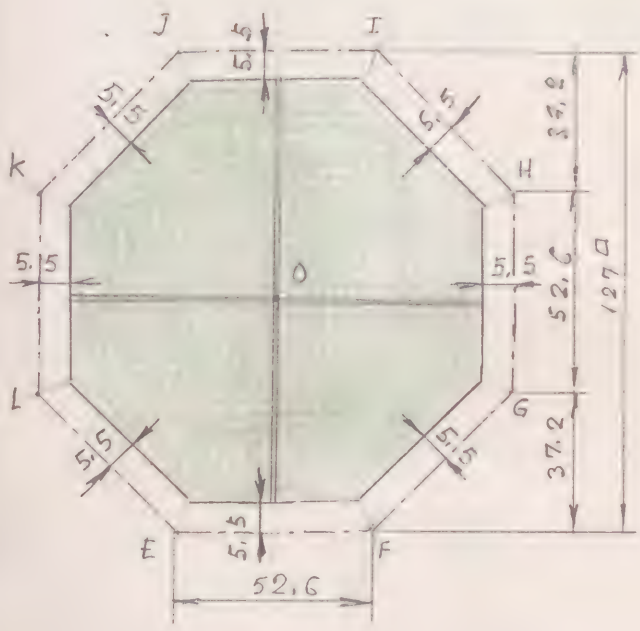
Figura 3

La forma y dimensiones se detallan
en la figura 3

PIEZA N° 2 8 (u)

Figura 3

PIEZA N° 4 REFUERZO NORMAL EN CARAS SUPERFICIA-
LES, OCTOGONALES REGULARES 6 unidades



La forma y dimensiones se deducen de las del octógono regular convexo E, F, ... K, L, de la figura 2, y sus dimensiones de la figura 4

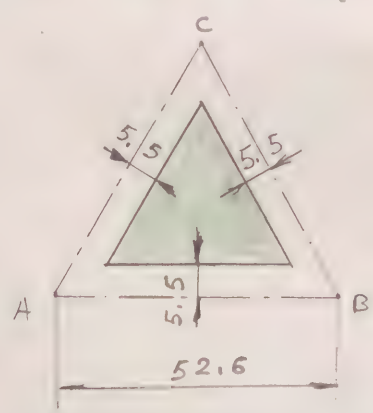
PIEZA N° 4 6 (u)

Figura 4

Figura 4

PIEZA N° 5 REFUERZO NORMAL EN CARAS SUPERFICIA-
LES, TRIANGULARES, REGULARES 8 unidades.

La forma y dimensiones se deducen de las del triángulo ABC de la figura 3, y se detallan en la figura 5



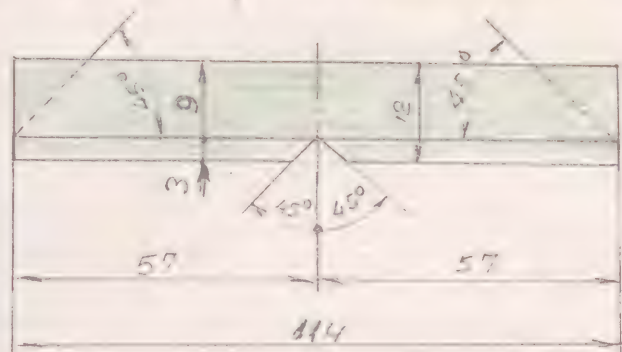
PIEZA N° 5 8 (u)

Figura 5

Figura 5

PIEZA N° 6 REFUERZO TRANSVERSAL EN CARAS SUPER-
FICIALES, OCTOGONALES, REGULARES 24 unidades

La forma y dimensiones se detallan en la figura 6;
su colocación en la fig. 4.



PIEZA N° 6

24 (u)

Figura 7

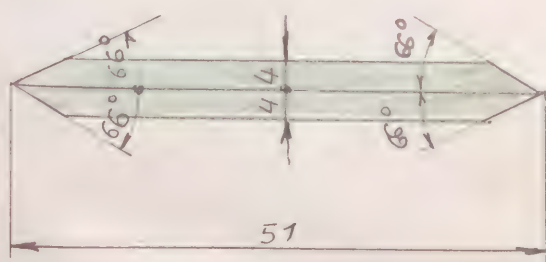
Figura 7

PIEZA N° 7

UNIONES ARISTAS EN DOS CARAS CONTIGUAS

OCTOGONALES12 unidades

La forma y dimensiones se detallan en la figura 8



PIEZA N° 7 12 (u)

Figura 8

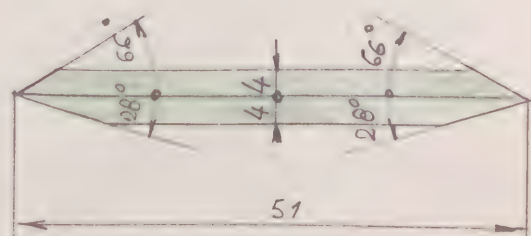
Figura 8

PIEZA N° 8

UNIONES ARISTAS DE UNA CARA OCTOGONAL

CON OTRA TRIANGULAR24 unidades

La forma y dimensiones se detallan en la figura
n° 9.



PIEZA N° 8

24 (u)

Figura 9

Figura 9

PIEZA N° 9

FORDO COLOREADO EN CARAS OCTOGONALES
REGULARES

6 unidades

La forma y dimensiones se deducen de las del octógono regular convexo E, F, ... K, L de la figura 1, y se detallan en la figura 10

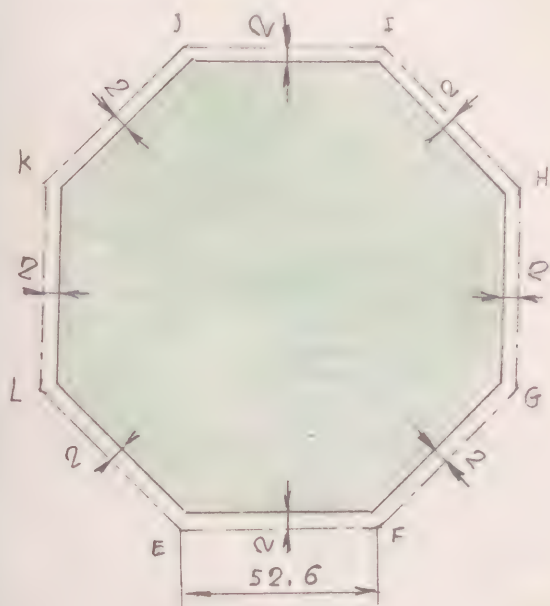


Figura 10

PIEZA N° 9

6(u)

Figura 10

PIEZA N° 10

FORDO COLOREADO EN CARAS TRIANGULARES
REGULARES

8 unidades

La forma y dimensiones se deducen de las del triángulo regular ABC de la figura 3, y se detallan en la figura 11.

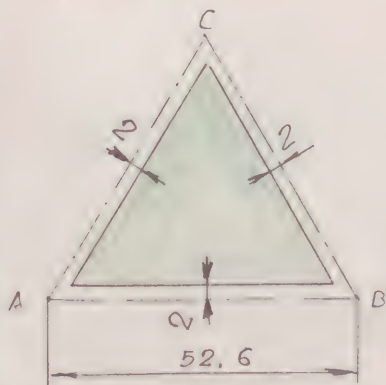


Figura 11

PIEZA N° 10

8 (u)

Figura 11

B) EXAEDRO GENERADOR DE CARAS VACIAS

Bueda reducido a ocho pirámides triangulares, rectas, regulares, cuyo desarrollo lateral es el siguiente:

PIEZA N° 11 DESARROLLO LATERAL DE LAS OCHO PIRÁ-
MIDES TRUNCADAS 8 unidades

La forma y dimensiones se detallan en la figura 12

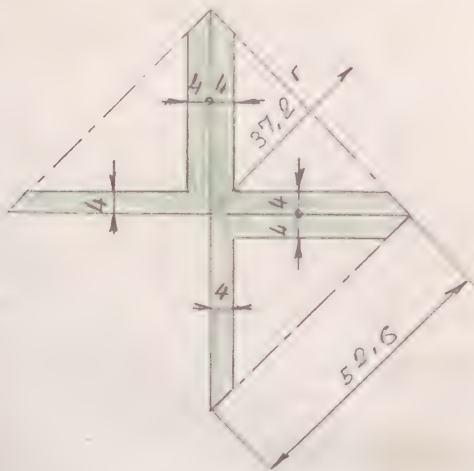


Figura 12

PIEZA N° 11

8 (u)

Figura 12

PIEZA N° 12 UNIONES ARISTAS 24 unidades

La forma y dimensiones se detallan en la figura 13

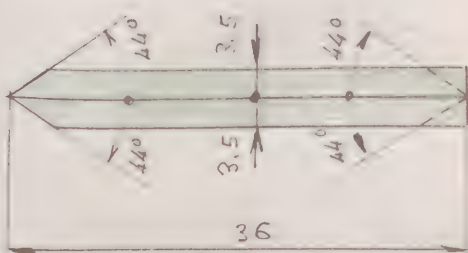


Figura 13

PIEZA N° 12 24 (u)

Figura 13

MODELO M-40.5

PATRONES



FIGURAS

VARIANTE DEL MODELO CORPÓREO M-40.5, CONSISTENTE EN ADICIONAR AL MISMO, SEIS PIRÁMIDES RECTAS, REGULARES, OCTOGONALES, DE CARAS VACIADAS, QUE TENGAN POR BASES LAS CARAS OCTOGONALES DEL ARQUIMEDIANO VIII GENERADO, Y POR VÉRTICES, LAS PROYECCIONES, SOBRE LA ESFERA CIRCUNSCRITA AL EXAEDRO GENERADOR, DE LOS CENTROS DE LAS CARAS OCTOGONALES, DESDE EL CENTRO "O" DEL POLIEDRO GENERADOR.

Radio de la esfera circunscrita:

$$r_{ec}^6 = 110 \text{ m m.}$$

ENUNCIADO: Construir el modelo corpóreo obtenido al adicionar al modelo M-40.5, seis pirámides rectas, regulares, octogonales, de caras vaciadas, que tengan por bases las caras octogonales del Arquimedio VIII generado, y por vértices, las proyecciones, sobre la esfera circunscrita al escaedro regular convexo generador, de los centros de dichas caras octogonales, desde el centro "O" del poliedro generador.

Como se deduce del enunciado, ha de construirse precisamente un modelo igual al M-40.5, al cual ha de añadirse seis pirámides de caras vaciadas, cuyo desarrollo y dimensiones estudiamos a continuación.

La altura " h_8 " de dichas pirámides, se obtiene como diferencia del radio " r_{ec}^6 " de la esfera circunscrita al escaedro regular convexo generador, y del radio " r_{ei}^{VIII-8} " de la esfera tangente a las caras octogonales del Arquimedio VIII generado. Así, pues, será:

$$h_8 = r_{ec}^6 - r_{ei}^{VIII-8} \quad (1)$$

El radio r_{ec}^6 , se obtuvo en el ejercicio G.E. n.º... - Lámina 2, en función de la arista a_6 del escaedro generador. En va-



Por lo es

$$r_{ec}^6 = \frac{\sqrt{3}}{2} a_6 \quad (2)$$

El radio " r_{ei}^{VIII-8} " de la esfera tangente a las caras octogonales del Arquimediario VIII, no obtiene en el ejercicio G, E: n° ----.- Lámينا 40. Su valor, en función de la arista " a_{VIII} " de dicho Arquimediario, es:

$$r_{ei}^{VIII-8} = \frac{1+\sqrt{2}}{2} a_{VIII} \quad (3)$$

y sustituyendo a_{VIII} por su valor $a_{VIII} = (\sqrt{2}-1) a_6$ (ver fórmula (3) del ejercicio M-40.5, tendremos:

$$r_{ei}^{VIII-8} = \frac{1+\sqrt{2}}{2} \times (\sqrt{2}-1) a_6 = \frac{(\sqrt{2}+1)(\sqrt{2}-1)}{2} a_6 = \frac{1}{2} a_6 \quad (4)$$

Sustituyendo en (1) los valores (2) y (4), tendremos:

$$h_8 = \frac{\sqrt{3}}{2} a_6 - \frac{1}{2} a_6 = \frac{\sqrt{3}-1}{2} a_6 \quad (5)$$

Sustituyendo en (5) el valor de $a_6 = \frac{2\sqrt{3}}{3} r_{ec}^6$, en función del radio r_{ec}^6 de la esfera circunscrita al exaedro generador (ver fórmula (1) del modelo M-40.5), tendremos:

$$h_8 = \frac{\sqrt{3}-1}{2} \times \frac{2\sqrt{3}}{3} r_{ec}^6 = \frac{2\sqrt{3}(\sqrt{3}-1)}{6} r_{ec}^6 = \frac{6-2\sqrt{3}}{6} r_{ec}^6 = \frac{3-\sqrt{3}}{3} r_{ec}^6 \quad (6)$$

Para obtener la longitud de la arista " a_8 " de las caras laterales de las pirámides octogonales, tendremos en cuenta que " a_8 " es la hipotenusa de un triángulo rectángulo, uno de cuyos catetos es h_8 , y el otro es el radio r_{c-8} de la circunferencia circunscrita a la cara octogonal del Aquimediario VIII. Así pues será:

$$a_8 = \sqrt{(h_8)^2 + (r_{c-8})^2} \quad (7)$$

El radio r_{c-8} de la circunferencia circunscrita a un octógono regular convexo, en función de su lado l_8 , es

$$r_{c-8} = \sqrt{\frac{2 + \sqrt{2}}{2}} l_8 \quad (8)$$

(ver fórmula (1) del ejercicio G.P. 1.400-46)

La fórmula (8) aplicada a este estudio, en el que es $l_8 = a_{VIII}$, siendo a su vez

$$a_{VIII} = (\sqrt{2} - 1) a_6 \quad (\text{ver fórmula (3), modelo M-40.5), y}$$

$$a_6 = \frac{2\sqrt{3}}{3} r_{ec}^6 \quad (\text{ver fórmula (1), modelo M-40.5})$$

por lo que tendremos que

$$l_8 = a_{VIII} = (\sqrt{2} - 1) a_6 = (\sqrt{2} - 1) \times \frac{2\sqrt{3}}{3} \cdot r_{ec}^c \quad (9)$$

valor que sustituido en (8), nos dará:

$$\begin{aligned}
 \boxed{r_{c-8}} &= \sqrt{\frac{2 + \sqrt{2}}{2}} \quad l_8 = \sqrt{\frac{2 + \sqrt{2}}{2}} \times (\sqrt{2} - 1) \times \frac{2\sqrt{3}}{3} \times r_{ec}^6 = \\
 &= \sqrt{\frac{2 + \sqrt{2}}{2}} \times \frac{2\sqrt{3} \times (\sqrt{2} - 1)}{3} r_{ec}^6 = \sqrt{\frac{2 + \sqrt{2}}{2} \times \frac{(2\sqrt{3})^2 \times (\sqrt{2} - 1)^2}{9}} r_{ec}^6 = \\
 &= \sqrt{\frac{2 + \sqrt{2}}{2} \times \frac{12 \times (2 + 1 - 2\sqrt{2})}{9}} r_{ec}^6 = \sqrt{\frac{2 + \sqrt{2}}{2} \times \frac{4 \times (3 - 2\sqrt{2})}{3}} r_{ec}^6 = \\
 &= \sqrt{\frac{(2 + \sqrt{2}) \times 2 \times (3 - 2\sqrt{2})}{3}} r_{ec}^6 = \sqrt{\frac{2 \times (6 + 3\sqrt{2} - 4\sqrt{2} - 4)}{3}} r_{ec}^6 = \\
 &= \boxed{\sqrt{\frac{2 \times (2 - \sqrt{2})}{3}}} r_{ec}^6 \quad (10)
 \end{aligned}$$

Substituyendo en (7) los valores (6) y (10), tendremos:

$$\begin{aligned}
 \boxed{d_8} &= \sqrt{(h_8)^2 + (r_{c-8})^2} = \sqrt{\left(\frac{3 - \sqrt{3}}{3} r_{ec}^6\right)^2 + \left[\sqrt{\frac{2(2 - \sqrt{2})}{3}} r_{ec}^6\right]^2} = \\
 &= \sqrt{\left(\frac{3 - \sqrt{3}}{3}\right)^2 + \frac{2(2 - \sqrt{2})}{3}} r_{ec}^6 = \sqrt{\frac{(3 - \sqrt{3})^2}{9} + \frac{2(2 - \sqrt{2})}{3}} r_{ec}^6 = \\
 &= \sqrt{\frac{9 + 3 - 6\sqrt{3}}{9} + \frac{4 - 2\sqrt{2}}{3}} r_{ec}^6 = \sqrt{\frac{12 - 6\sqrt{3}}{9} + \frac{4 - 2\sqrt{2}}{3}} r_{ec}^6 = \\
 &= \sqrt{\frac{4 - 2\sqrt{3}}{3} + \frac{4 - 2\sqrt{2}}{3}} r_{ec}^6 = \sqrt{\frac{4 - 2\sqrt{3} + 4 - 2\sqrt{2}}{3}} r_{ec}^6 = \\
 &= \boxed{\sqrt{\frac{8 - 2\sqrt{3} - 2\sqrt{2}}{3}}} r_{ec}^6 \quad (11)
 \end{aligned}$$

Las fórmulas (9) y (11) nos permiten calcular los di-

mentos necesarios para el desarrollo lateral de las pirámides octogonales, rectas, regulares que se adicionan al modelo M-40.5, para obtener el que se estudia.

Para este caso particular de $r_{ec}^u = 110 \text{ mm}$, sera:

$$d_{vIII} = (\sqrt{2} - 1) \times \frac{2\sqrt{3}}{3} \times r_{ec}^6 \approx 0.478292523... \times 110 \approx 52.6 \text{ mm}$$

Y

$$d_8 = \sqrt{\frac{8 - 2\sqrt{3} - 2\sqrt{2}}{3}} \times r_{ec}^6 \approx 0.754425004... \times 110 \approx 83 \text{ mm}$$

Para la construcción de este modelo, se precisan las siguientes piezas:

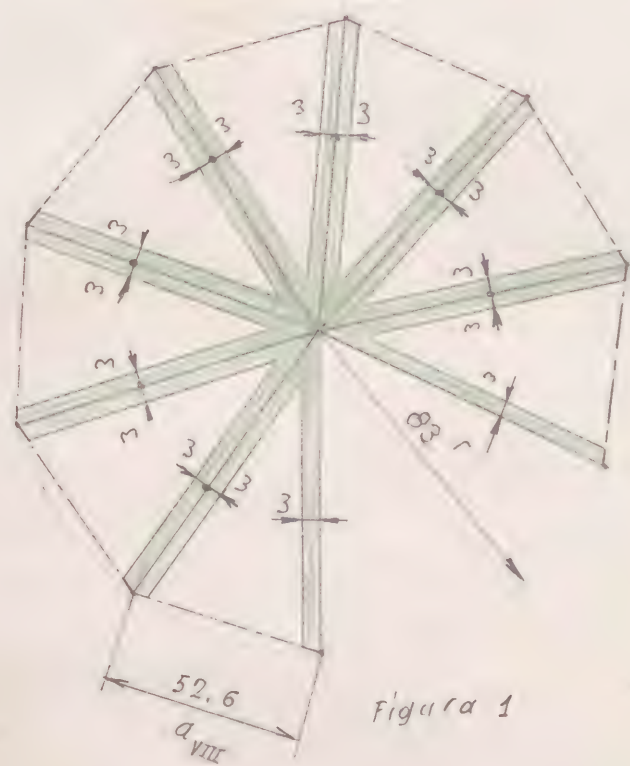
A) MODELO CORPÓREO DEL ARQUIMEDIANO VIII, OBTENIDO POR TRUNCADURA DE VÉRTICES DE UN EXAEDRO REGULAR CONVEXO, A LA DISTANCIA $\frac{2 - \sqrt{2}}{2} d_6$

Piezas 1 al 12, iguales a las del modelo M-40.5

B) PIRÁMIDES OCTOGONALES, REGULARES, RECTAS, DE CARAS VACIADAS, QUE SE ADICIONAN AL MODELO M-40.5

PIEZA N° 13 DESARROLLO LATERAL DE LAS PIRÁMIDES ADICIONADAS. 6 unidades

La forma y dimensiones se detallan en la figura 2



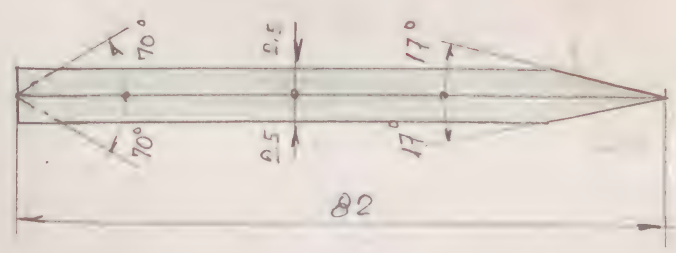
PIEZA N° 13

6 (u)

Figura 1

PIEZA N° 14 UNIONES ADISTAS 48 unidades

La forma y dimensiones se detallan en la figura 2



PIEZA N° 14

48 (u)

Figura 2

Figura 2

MODELO

M-40.6

PATRONES



MODELO CORPÓREO DEL "ARQUIMEDIANO VIII" OBTENIDO POR TRUNCADURA DE VÉRTICES DE UN OCTAEDRO REGULAR CONVEXO, DE ARISTA " α_8 ", AL TOMAR SOBRE CADA ARISTA, Y DESDE SU VÉRTICE, LA DISTANCIA $(2 - \sqrt{2})\alpha_8$. - EL ARQUIMEDIANO OBTENIDO, SE CONSTRUIRÁ CON LAS CARAS MACIZAS, Y EL OCTAEDRO REGULAR CONVEXO GENERADOR, CON LAS CARAS VACIADAS EN LOS VÉRTICES TRUNCADOS.

Radio de la esfera circunscrita al octaedro generador:

$$r_{cc}^8 = 110 \text{ m m.}$$



ENUNCIADO: Construir el modelo corpóreo del "ARQUIME-
DIANO VIII", obtenido por truncadura de vérti-
ces de un octaedro regular convexo, de aris-
ta " a_8 ", al tomar sobre cada arista, y desde
su vértice, la distancia $x = (2 - \sqrt{2}) a_8$. El
Arquimediано obtenido, se construirá con las
caras onacizas, y el octaedro regular convexo
generador, con las caras vaciadas en los
vértices truncados.

DATO ÚNICO DE ESTE EJERCICIO: Γ_{ec}^8 = Radio de la esfera
circunscrita al octaedro generador:

$$\Gamma_{ec}^8 = 110 \text{ mm}$$

1) CONSIDERACIONES PREVIAS

El proceso geométrico denominado de TRUNCADURA
DE VÉRTICES de los poliedros regulares convexos, por
el cual se obtienen varios de los POLIEDROS SEMIREGULARES
CONVEXOS, denominados también POLIEDROS ARQUIMEDIA-
NOS, obteniéndose también por dicho proceso los propios
poliedros regulares convexos, fue estudiado sistemática-
mente y aplicado al TETRAEDRO REGULAR CONVEXO
en los ejercicios M-39.1; M-39.5; M-39.7 y M-6.2



En dicho estudio se aprecia que las distintas posiciones del plano secante dan lugar a la obtención de un poliedro núcleo, de muy variadas formas, dependientes de la posición del plano secante con respecto al tetraedro generador. La posición de dicho plano secante se fija por la condición de pasar por puntos situados a la distancia variable " x ", sobre las aristas que concurren en cada vértice del mencionado tetraedro generador.

Entre las diversas posiciones del plano secante, existen algunas notables en que el poliedro núcleo resultante, es un POLIEDRO ARQUIMEDIANO, o también un POLIEDRO REGULAR CONVEXO.

Dichas posiciones notables, estudiadas en el TETRAEDRO REGULAR CONVEXO, se detallan resumidamente en el ejercicio M-40.5. El proceso de obtención, aplicado en el tetraedro regular convexo, puede hacerse extensivo a los restantes poliedros regulares convexos (cubo, octaedro, dodecaedro e icosaedro), obteniéndose también en ellos un poliedro núcleo que puede ser POLIEDRO ARQUIMEDIANO, o también POLIEDRO REGULAR CONVEXO.

El modelo que estudiamos en este ejercicio, puede obtenerse del modelo M-35.7, en el cual el poliedro núcleo obtenido por la TRUNCADURA DE VÉRTICES de un OCTAEDRO REGULAR CONVEXO, a la distancia $x = \frac{1}{2} a_8$, es el ARQUIMEDIANO III de arista $a_{III} = \frac{1}{2} a_8$.

(Alvaros)

Octubre 1980



Por consiguiente, si suponemos que el plano secante varía de la posición $x = \frac{1}{2} a_8$, alejándose del vértice correspondiente, dicho plano secante dará lugar a la formación de un poliedro núcleo irregular de las siguientes características:

a) El plano secante produce en las caras del octaedro generador, triángulos equiláteros, cuyos lados van disminuyendo de longitud a medida que crece la distancia " $x > \frac{1}{2} a_8$ ".

En efecto, sea (fig. 1), ABC una cara del octaedro gene-

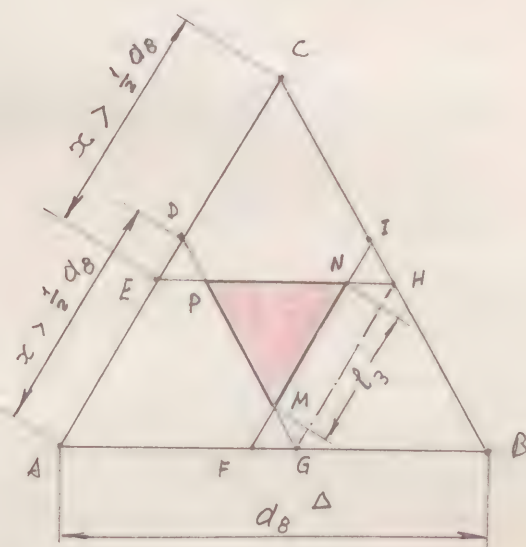


Figura 1

rador de arista a_8 ; tomando, a partir de los vértices, distancias $x > \frac{1}{2} a_8$, obtendremos los puntos D, E, F, G, H, I, que nos sitúan las rectas (o trazas) de intersección de los tres planos secantes con la considerada cara ABC. Las intersecciones de dichas trazas dan lugar a la

formación del triángulo equilátero MNP, cara del poliedro núcleo de lado $MN = l_3$.

De la figura 1, se deducen las siguientes relaciones métricas:

$$\overline{AE} = \overline{DC} = \overline{AC} - \overline{EC} = a_8 - x$$

y también de esta:

$$\overline{ED} = \overline{EC} - \overline{DC} = x - (a_8 - x) = \boxed{2x - a_8} \quad \text{mientras siendo}$$

$$\overline{MI} = \overline{DC} \quad \text{y} \quad \overline{NI} = \overline{ED} \quad \text{y también:}$$

$$\overline{MN} = \overline{MI} - \overline{NI} = \overline{DC} - \overline{ED} = \overline{EC} - \overline{ED} - \overline{ED} = \overline{EC} - 2\overline{ED} \quad \text{por lo que sea:}$$

$$\overline{MN} = \boxed{l_3} = x - 2(2x - a_8) = x - 4x + 2a_8 = \boxed{2a_8 - 3x}$$

de donde se obtiene finalmente:

$$\boxed{l_3 = 2a_8 - 3x} \quad (1)$$

fórmula que nos determina la longitud del lado " l_3 " del triángulo equilátero MNP , en función de la distancia " x " (variable) de la truncadura de vértices del octaedro generador, y de la arista " a_8 " de este.

b) Por otra parte, el plano secante de dicha truncadura, produce en los ángulos sólidos de los vértices del octaedro generador, cuadrados de lado $\overline{EH} = x$ (fig.1) sobre los que se forman octógonos equiángulos $PNQRSTUV$ (figura 2)

cuyos lados alternativos \overline{PN} , \overline{QR} , \overline{ST} , \overline{UV} , son coincidentes con los lados de dichos cuadrados.

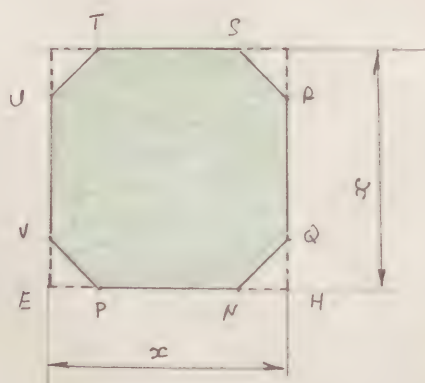


Figura 2

los ocho triángulos equiláteros PNM (figura 1) y los ocho octógonos equiángulos $PNQRSTUV$ (figura 2) son los con-

torno de las caras que limitan al poliedro núcleo que se obtiene por truncadura de vértices del octaedro regular convexo generador, a la distancia $x > \frac{1}{2} a_8$.

El octógono PNQRSTUV (fig. 2), no es, en general, un octógono regular, salvo en una posición "x" del plano secante en la cual esto se produzca, en cuyo caso se verificará que: (ver fórmula (1) del ejercicio G.P. 1.400-461)

$$l_8 = (\sqrt{2} - 1) l_4 = (\sqrt{2} - 1) x \quad (2)$$

siendo en esta fórmula " l_8 " el lado del octógono regular inscrito en el cuadrado de lado " $l_4 = x$ "

Iguando los valores de (1) y (2), lo que equivale a suponer sea " $l_3 = l_8$ ", y despejando después x , obtendremos la posición del plano secante en la que se obtienen simultáneamente octógono regular en dicho plano y triángulos equiláteros en las caras del octaedro generador. Así pues tendremos:

$$2 a_8 - 3x = (\sqrt{2} - 1)x \quad " \quad 2 a_8 - 3x = \sqrt{2}x - x \quad "$$

$$2 a_8 = \sqrt{2}x - x + 3x = (2 + \sqrt{2})x \quad " \quad x = \frac{2 a_8}{2 + \sqrt{2}} =$$

$$= \frac{2 a_8 (2 - \sqrt{2})}{4 - 2} = (2 - \sqrt{2}) a_8 \quad \text{de donde se tiene finalmente:}$$

$$x = (2 - \sqrt{2}) a_8 \quad (3)$$

La ecuación (5) nos demuestra que la truncadura de vértices de un octaedro regular convexo de arista " a_8 ", a la distancia $x = (2 - \sqrt{2}) a_8$, da lugar a la formación de un poliedro núcleo, semiregular convexo, compuesto de ocho caras triangulares regulares (ver características a)) y de seis caras octogonales regulares (ver características b)), o sea que dicho poliedro núcleo es un "ARQUIMEDIANO VIII", estudiado en el ejercicio G.E. n° ---- Lámina 40, de las características siguientes:

Número de caras triangulares _____ $C_3 = 8$

Número de caras octogonales _____ $C_8 = 6$

Número de vértices $= \frac{8 \times 3 + 6 \times 8}{3} = \text{_____}$ $V = 24$

Número de aristas $= \frac{8 \times 3 + 6 \times 8}{2} = \text{_____}$ $A = 36$

Número de caras en un ángulo sólido $= 1 C_3 + 2 C_8$

La longitud de la arista $a_{VIII} = l_3 = l_8$, se obtiene sustituyendo en (1) o en (2) el valor de (3). - Así pues, tendremos

$$\begin{aligned} a_{VIII} = l_3 &= 2 a_8 - 3 x = 2 a_8 - 3 \times (2 - \sqrt{2}) a_8 = (2 - 6 + 3\sqrt{2}) a_8 = \\ &= (3\sqrt{2} - 4) a_8 \end{aligned} \quad (4)$$

fórmula que nos da la magnitud de la arista " a_{viii} " del Arquimediano VIII generado, en función de la arista " a_8 " del octaedro generador.

Como resumen de lo expuesto anteriormente, establecimos la siguiente proposición, que justifica el enunciado del modelo estudiado.

"El poliedro obtenido por la TRUNCADURA DE VÉRTICES DE UN OCTAEDRO REGULAR CONVEXO, a la distancia " $x = (2 - \sqrt{2}) a_8$ ", es un ARQUIMEDIANO VIII, de arista igual a $a_{\text{viii}} = (3\sqrt{2} - 4) a_8$ "

2) CÁLCULO ANALÍTICO DE LONGITUDES

2.1) Arista " a_8 " del octaedro regular convexo generador.

Se obtiene de la fórmula " $r_{ec}^8 = \frac{\sqrt{2}}{2} a_8$ " deducida en el ejercicio G.E. n°.... - Lámina 3. Despejando en ella " a_8 ", tendremos

$$\boxed{a_8} = r_{ec}^8 : \frac{\sqrt{2}}{2} = \frac{2}{\sqrt{2}} r_{ec}^8 = \frac{2\sqrt{2}}{2} r_{ec}^8 = \boxed{\sqrt{2} r_{ec}^8} \quad (5)$$

2.2) Arista " a_{viii} " del Arquimediano generado

Se deduce de la fórmula (4) sustituyendo en ella el valor obtenido en (5).- Tendremos pues:

$$a_{\text{VIII}} = (3\sqrt{2} - 4) a_8 = (3\sqrt{2} - 4) \times \sqrt{2} r_{ec}^8 = \boxed{(6 - 4\sqrt{2}) r_{ec}^8} \quad (6)$$

2.3) Distancia "x" en la que la truncadura de vértices del octaedro regular convexo produce el Arquimedio VIII,

Se obtiene de la fórmula (3), sustituyendo en ella "a₈" por el valor obtenido en (5)

$$x = (2 - \sqrt{2}) a_8 = (2 - \sqrt{2}) \times \sqrt{2} r_{ec}^8 = \boxed{(2\sqrt{2} - 2) r_{ec}^8} \quad (7)$$

2.4) Radio "r_{c-8}" de la circunferencia circunscrita al octógono regular de una cara "C₈" del Arquimedio VIII, de arista "a_{VIII} = (6 - 4√2) r_{ec}⁸"

Se obtiene de la fórmula "r_{c-8} = √ $\frac{2 + \sqrt{2}}{2}$ l₈" obtenida en el ejercicio G.P. 1.400-46 (1), haciendo l₈ = a_{VIII} = (6 - 4√2) r_{ec}⁸.

$$\begin{aligned} r_{c-8} &= \sqrt{\frac{2 + \sqrt{2}}{2}} a_{\text{VIII}} = \sqrt{\frac{2 + \sqrt{2}}{2}} \times (6 - 4\sqrt{2}) r_{ec}^8 = \sqrt{\frac{(2 + \sqrt{2}) \times (2(3 - 2\sqrt{2}))^2}{2}} r_{ec}^8 = \\ &= \sqrt{\frac{(2 + \sqrt{2}) \times 4 \times (3 - 2\sqrt{2})^2}{2}} r_{ec}^8 = \sqrt{(2 + \sqrt{2}) \times (3 - 2\sqrt{2})^2 \times 2} r_{ec}^8 = \\ &= \sqrt{(2 + \sqrt{2})(9 + 8 - 12\sqrt{2}) \times 2} r_{ec}^8 = \sqrt{(2 + \sqrt{2})(17 - 12\sqrt{2}) \times 2} r_{ec}^8 = \\ &= \sqrt{(34 + 17\sqrt{2} - 24\sqrt{2} - 24) \times 2} r_{ec}^8 = \sqrt{(10 - 7\sqrt{2}) \times 2} r_{ec}^8 = \sqrt{20 - 14\sqrt{2}} r_{ec}^8 \end{aligned}$$

de donde se obtiene finalmente: $\boxed{r_{c-8} = \sqrt{20 - 14\sqrt{2}} r_{ec}^8} \quad (8)$

2.5) Radio " r_{ei}^{VIII-8} " de la esfera tangente a los caras octogonales del ARQUIMEDIANO VIII generado.

Dicho radio se obtiene, en función de su arista, en el ejercicio G.E. n° ---- - Lámina 40. Su valor es " $r_{ei}^{VIII-8} = \frac{\sqrt{2}+1}{2} a_{VIII}$ ".

Sustituyendo en ella a_{VIII} por su valor obtenido en (6), tendremos:

$$\begin{aligned} \boxed{r_{ei}^{VIII-8}} &= \frac{\sqrt{2}+1}{2} \cdot a_{VIII} = \frac{\sqrt{2}+1}{2} \cdot (6-4\sqrt{2}) r_{ec}^8 = (\sqrt{2}+1)(3-2\sqrt{2}) r_{ec}^8 = \\ &= (3\sqrt{2}+3-4-2\sqrt{2}) r_{ec}^8 = \boxed{(\sqrt{2}-1) r_{ec}^8} \quad (9) \end{aligned}$$

2.6) Altura " h_8 " de las pirámides auxiliares, rectas, octogonales regulares

Se obtiene como diferencia del radio " r_{ec}^8 " de la esfera circunscrita al octaedro generador (dato del ejercicio), y del radio " r_{ei}^{VIII-8} " (fórmula 9).- Así pues, será:

$$\begin{aligned} \boxed{h_8} &= r_{ec}^8 - r_{ei}^{VIII-8} = r_{ec}^8 - (\sqrt{2}-1) r_{ec}^8 = [1-(\sqrt{2}-1)] r_{ec}^8 = \\ &= (1-\sqrt{2}+1) r_{ec}^8 = \boxed{(2-\sqrt{2}) r_{ec}^8} \quad (10) \end{aligned}$$

2.7) Arista " a_8 " de las pirámides auxiliares, rectas, octogonales regulares.

Su valor es el de la hipotenusa de un triángulo rectángulo.

siendo sus catetos: Uno la altura " $h_8 = (2 - \sqrt{2}) r_{ec}^8$ " (ver fórmula (10)), y el otro, el radio " $r_{c-8} = \sqrt{20 - 14\sqrt{2}} r_{ec}^8$ " (ver fórmula (8)).- Así pues, tendremos:

$$\begin{aligned} a_8' &= \sqrt{(h_8)^2 + (r_{c-8})^2} = \sqrt{[(2 - \sqrt{2}) r_{ec}^8]^2 + [\sqrt{20 - 14\sqrt{2}} r_{ec}^8]^2} = \\ &= \sqrt{(2 - \sqrt{2})^2 + (20 - 14\sqrt{2})} r_{ec}^8 = \sqrt{4 + 2 - 4\sqrt{2} + 20 - 14\sqrt{2}} r_{ec}^8 = \\ &= \sqrt{26 - 18\sqrt{2}} r_{ec}^8 \end{aligned} \quad (11)$$

Las magnitudes necesarias para la construcción de este modelo, se deducen de las fórmulas (5), (6), (11) y (8). Para $r_{ec}^8 = 110$ mm sus valores numéricos son:

(a) Arista " a_8 " del octaedro generador (fórmula 5)

$$a_8 = \sqrt{2} r_{ec}^8 = \sqrt{2} \times 110 \approx 1,414213562... \times 110 \approx 155,6 \text{ mm}$$

(b) Arista " a_{VIII} " del Arquimediano VIII (fórmula 6)

$$a_{VIII} = (6 - 4\sqrt{2}) r_{ec}^8 = (6 - 4\sqrt{2}) \times 110 \approx 0,349145752... \times 110 \approx 37,7 \text{ mm}$$

(c) Arista " a_8' " de las pirámides auxiliares rectas, octogonales regulares (fórmula 11)

$$a_8' = \sqrt{26 - 18\sqrt{2}} r_{ec}^8 = \sqrt{26 - 18\sqrt{2}} \times 110 \approx 0,737669221... \times 110 \approx 81,1 \text{ mm}$$

(d) Radio r_{c-8} de la circunferencia circunscrita al octógono regular de una cara " C_8 " del Arquimédiano VIII, de arista

$$a_{VIII} = (6 - 4\sqrt{2}) r_{ec}^8 \quad (\text{fórmula 8})$$

$$r_{c-8} = \sqrt{20 - 14\sqrt{2}} r_{ec}^8 = \sqrt{20 - 14\sqrt{2}} \times 110 \approx 0.448341533 \dots \times 110 \approx 49.3 \text{ mm}$$

A la vista de los resultados numéricos anteriores, podemos proceder a la construcción de este modelo corpóreo, para el cual son necesarias las siguientes piezas:

A) OCTAEDRO REGULAR CONVEXO GENERADOR, DE CARAS VACÍAS.

PIEZA N° 1 CARAS SUPERFICIALES 8 unidades

Iguales a la pieza n° 1 del modelo M-3.102

PIEZA N° 2 UNIONES ADISTAS 12 unidades

Iguales a la pieza n° 2 del modelo M-3.102

B) ARQUIMEDIANO VIII GENERADO, DE CARAS MACIZAS.

PIEZA N° 3 CARAS SUPERFICIALES TRIANGULARES REGULARES 8 unidades

La forma y dimensiones se detallan en la figura 3

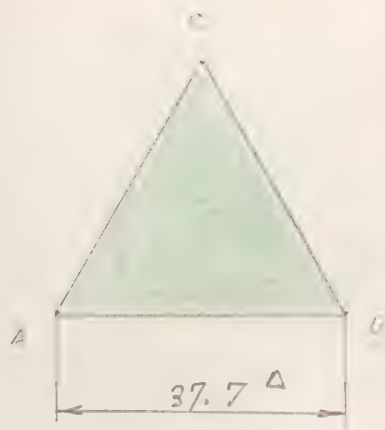


Figura 3

PIEZA N° 3 3(u)

Figura 3

PIEZA N° 4 CARAS SUPERFICIALES OCTOGONALES REGULARES

6 unidades

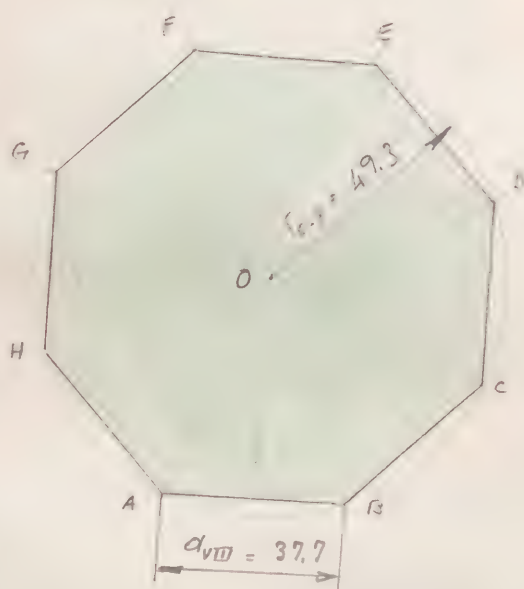


Figura 4

La forma y dimensiones se detallan en la figura 4

$$AB = BC = CD = DE = EF = FG = GH$$

$$L_s = 1.3065 \times 37.7 = 49.3 \text{ mm}$$

PIEZA N° 4

6(u)

Figura 4

PIEZA N° 5

REFUERZO NORMAL INTERIOR DE LAS CARAS SUPERFICIALES TRIANGULARES REGULARES

8 unidades

La forma y dimensiones se deducen de las del triángulo ABC de la figura 3, y se detallan en la figura n° 5

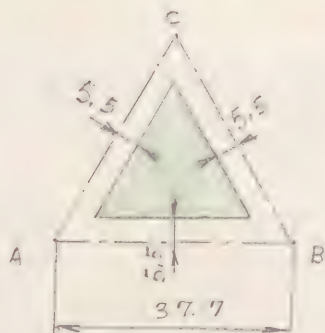


Figura 5

PIEZA N° 5

8(u)

Figura 5

PIEZA N° 6 REFUERZO NORMAL INTERIOR DE LAS CARAS
OCTOGONALES REGULARES 6 unidades

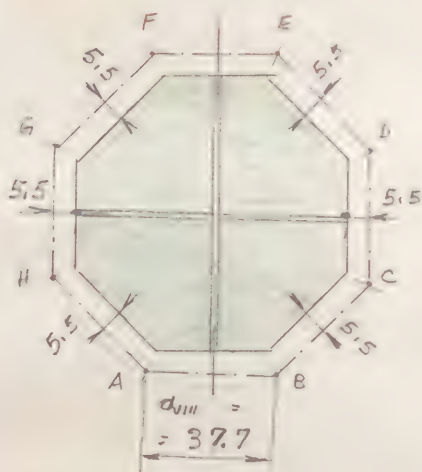


Figura 6

La forma y dimensiones se deducen de las del octógono regular convexo ABCDEFGH de la figura 4, y se detallan en la figura 6

PIEZA N° 6 6(u)

Figura 6

PIEZA N° 7 REFUERZO TRANSVERSAL INTERIOR DE LAS
CARAS OCTOGONALES 24 unidades

La forma y dimensiones se detallan en la figura 7

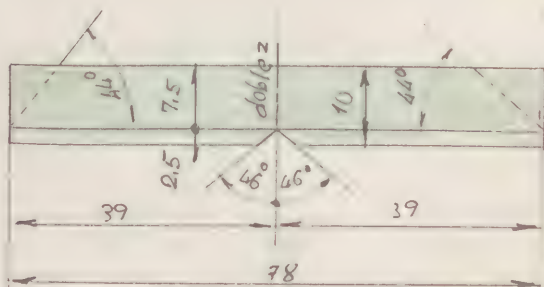


Figura 7

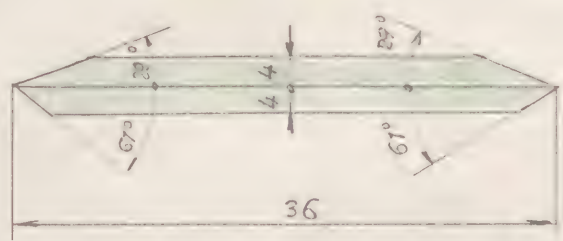
PIEZA N° 7

24(u)

Figura 7

PIEZA N° 8 UNIONES ADISTAS 36 unidades

La forma y dimensiones se detallan en la figura 8

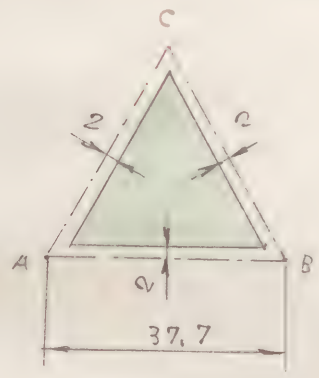


PIEZA N° 8 36 (u)

Figura 8

Figura 8

PIEZA N° 9 FORRO COLOREADO EN CARAS TRIANGULARES 8 unidades



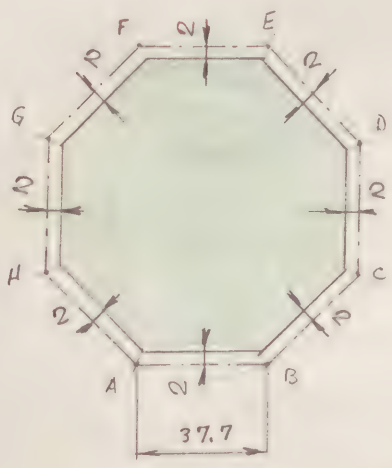
La forma y dimensiones se deducen de las del triángulo ABC de la figura 3, y se detallan en la figura 9

PIEZA N° 9 8(u)

Figura 9

Figura 9

PIEZA N° 10 FORRO COLOREADO EN CARAS OCTOGONALES 6 unidades



La forma y dimensiones se deducen de las del octógono ABCDEFGH de la figura 4, y se detallan en la fig. 10

PIEZA N° 10 6(u)

Figura 10

Figura 10

c) PIRÁMIDES AUXILIARES REGULARES, OCTOGONALES, DE CARAS VACIADAS

PIEZA N° 11

DESARROLLO LATERAL

6 unidades

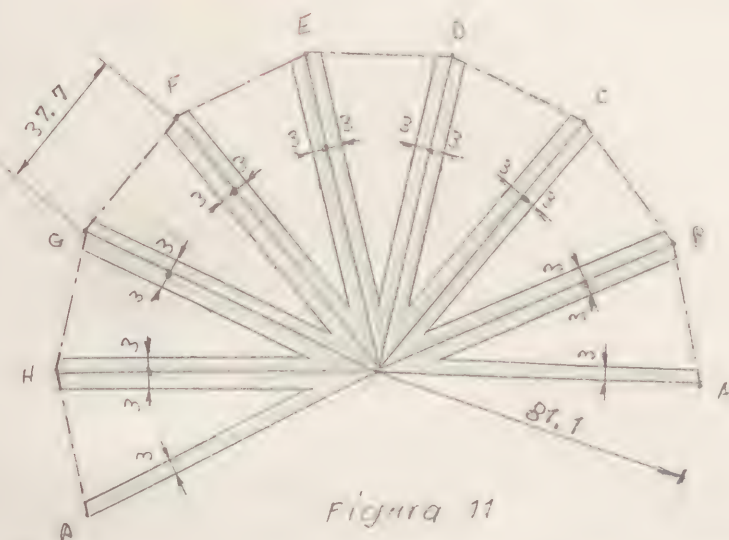


Figura 11

La forma y dimensiones se detallan en la figura 11

$$AB = BC = CD = DE = EF = FG = GH = HA.$$

PIEZA N° 11 6(u)

Figura 11

PIEZA N° 12

UNIONES ADISTAS

48 unidades

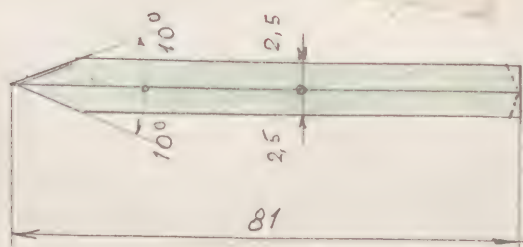


Figura 12

La forma y dimensiones se detallan en la figura 12

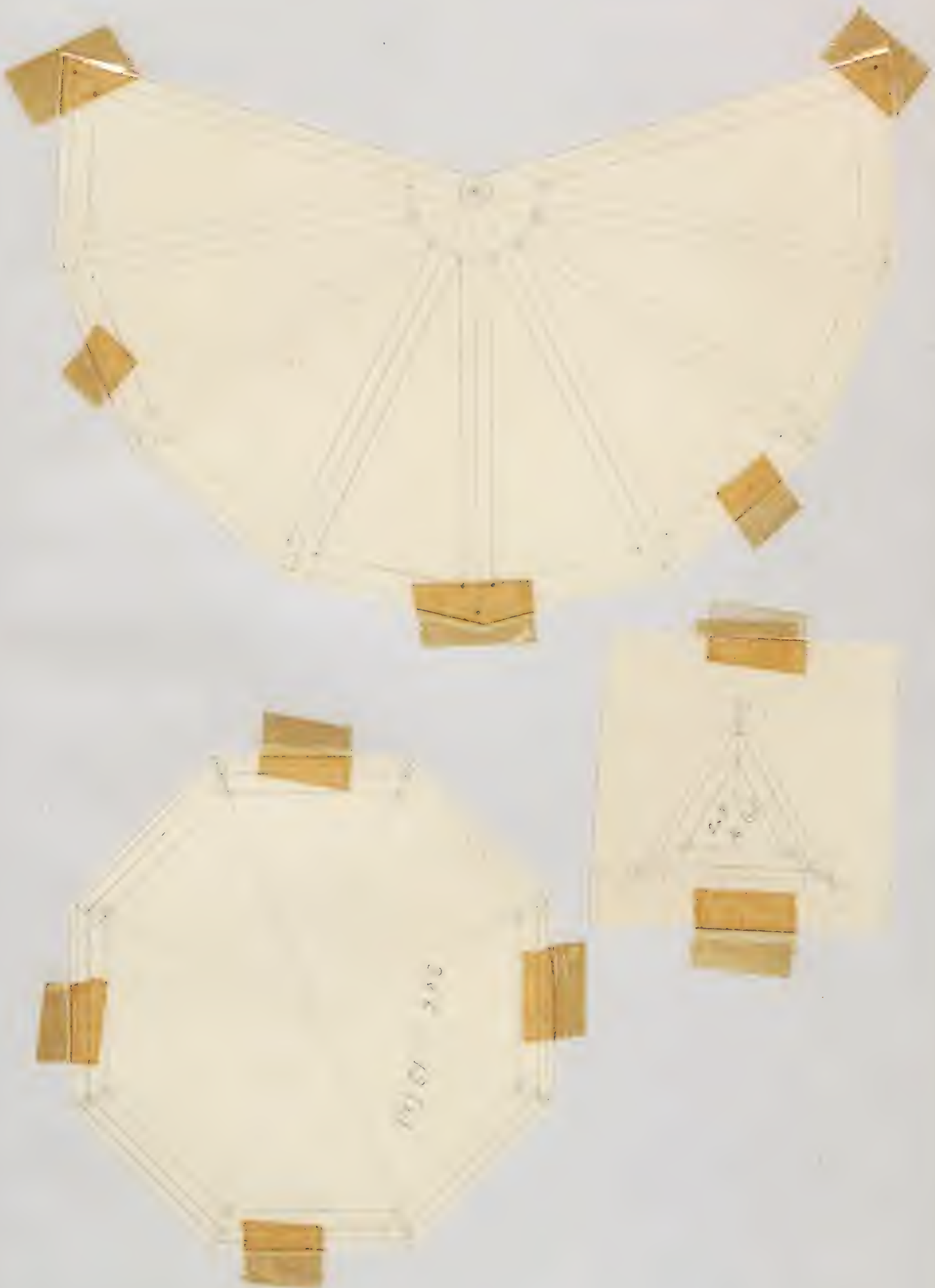
PIEZA N° 12 48(u)

Figura 12



MODELO M-40.8

PATRONES



ENUNCIADO

VARIANTE DEL MODELO CORPÓREO M-40.7, CONSISTENTE EN ADICIONAR AL MISMO, OCHO PIRÁMIDES RECTAS, TRIANGULARES, REGULARES, DE CARAS VACIADAS, QUE TENGAN POR BASES LAS CARAS TRIANGULARES DEL ARQUIMEDIANO VIII GENERADO, Y POR VÉRTICES, LAS PROYECCIONES, SOBRE LA ESFERA CIRCUNSCRITA AL OCTAEDRO GENERADOR, DE LOS CENTROS DE LAS CARAS TRIANGULARES, DESDE EL CENTRO "O" DEL POLIEDRO GENERADOR.

Radio de la esfera circunscrita:

$$r_{ec}^8 = 110 \text{ mm.}$$

ENUNCIADO:

Construir el modelo corpóreo referido al aditivo al modelo M-40.7, ocho pirámides rectas, triangulares, regulares, de caras vaciadas, que tengan por bases las caras triangulares del Arquimediano VIII generado, y por vértices, las proyecciones, sobre la esfera circunscrita al octaedro generador, de los centros de las caras triangulares, desde el centro "O" del poliedro generador.

Como se deduce del enunciado, ha de construirse previamente un modelo igual al M-40.7, al cual ha de añadirsele ocho pirámides de caras vaciadas, cuyo desarrollo y dimensiones estudiamos a continuación.

La altura " h_3 " de dichas pirámides, se obtiene como diferencia del radio " r_{ec}^8 " de la esfera circunscrita al octaedro regular convexo generador, y del radio " r_{ei}^{VIII-3} " de la esfera tangente a las caras del Arquimediano VIII generado. Así pues, será:

$$h_3 = r_{ec}^8 - r_{ei}^{VIII-3} \quad (1)$$

El radio r_{ec}^8 , se obtuvo en el ejercicio G.E. n.º... - Lámina 3 en función de la arista " a_8 " del octaedro generador. La va-

donde:

$$r_{ec}^8 = \frac{\sqrt{2}}{2} a_8 \quad (2)$$

El radio " r_{ei}^{VIII-3} " de la esfera tangente a las caras triangulares del Arquimedeano VIII, se obtuvo en el ejercicio G.E. hº... - Lámina 40. Su valor, en función de la arista " a_{VIII} " de dicho Arquimedeano, es:

$$r_{ei}^{VIII-3} = \frac{3\sqrt{3} + 2\sqrt{6}}{6} a_{VIII} \quad (3)$$

y sustituyendo en (3) el valor de $a_{VIII} = (3\sqrt{2} - 4)a_8$ (ver fórmula (4) del ejercicio M-40.7, tendremos:

$$\begin{aligned} r_{ei}^{VIII-3} &= \frac{3\sqrt{3} + 2\sqrt{6}}{6} a_{VIII} = \frac{3\sqrt{3} + 2\sqrt{6}}{6} \times (3\sqrt{2} - 4)a_8 = \\ &= \frac{(3\sqrt{3} + 2\sqrt{6})(3\sqrt{2} - 4)}{6} a_8 = \frac{9\sqrt{6} + 6\sqrt{12} - 12\sqrt{3} - 8\sqrt{6}}{6} a_8 = \\ &= \frac{\sqrt{6} + 6 \times 2\sqrt{3} - 12\sqrt{3}}{6} a_8 = \boxed{\frac{\sqrt{6}}{6} a_8} \quad (4) \end{aligned}$$

Sustituyendo ahora en (1) los valores (2) y (4), tendremos:

$$h_3 = r_{ec}^8 - r_{ei}^{VIII-3} = \frac{\sqrt{2}}{2} a_8 - \frac{\sqrt{6}}{6} a_8 = \boxed{\frac{3\sqrt{2} - \sqrt{6}}{6} a_8} \quad (5)$$

Sustituyendo en (5) el valor de $a_8 = \sqrt{2} r_{ec}^8$, en función del radio r_{ec}^8 de la esfera circunscrita al octaedro generador (ver fórmula (5) del modelo M-40.6, tendremos:

$$\begin{aligned}
 h_3 &= \frac{3\sqrt{2} - \sqrt{6}}{6} a_8 = \frac{3\sqrt{2} - \sqrt{6}}{6} \cdot \sqrt{2} r_{ec}^8 = \frac{(3\sqrt{2} - \sqrt{6}) \cdot \sqrt{2}}{6} r_{ec}^8 = \\
 &= \frac{3 \times 2 - \sqrt{12}}{6} r_{ec}^8 = \frac{6 - 2\sqrt{3}}{6} r_{ec}^8 = \frac{3 - \sqrt{3}}{3} r_{ec}^8 \quad (6)
 \end{aligned}$$

Para obtener la longitud de la arista " α_3 " de las caras laterales de las pirámides triangulares, tendremos en cuenta que " α_3 " es la hipotenusa de un triángulo rectángulo, uno de cuyos catetos es " h_3 ", y el otro es el radio r_{c-3} de la circunferencia circunscrita a la cara triangular del Aquimediario VIII. Así pues será:

$$\alpha_3 = \sqrt{(h_3)^2 + (r_{c-3})^2} \quad (7)$$

El radio r_{c-3} de la circunferencia circunscrita a un triángulo regular convexo (equilátero), en función de su lado l_3 , es

$$r_{c-3} = \frac{\sqrt{3}}{3} l_3 \quad (8)$$

(Ver fórmula (2) del ejercicio G.P. 1400-4)

La fórmula (8) aplicada a este estudio, es $l_3 = a_{VIII}$, siendo a en vez:

$$a_{VIII} = (3\sqrt{2} - 4) a_8 \quad (\text{ver fórmula (4), modelo M-40.7})$$

$$a_8 = \sqrt{2} r_{ec}^8 \quad (\text{ver fórmula (5), modelo M-40.7})$$

por lo que tendremos que:

$$l_3 = a_{VII} = (3\sqrt{2} - 4) a_8 = (3\sqrt{2} - 4) \sqrt{2} r_{ec}^8 = (3 \times 2 - 4\sqrt{2}) r_{ec}^8 =$$

$$= (6 - 4\sqrt{2}) r_{ec}^8 \quad (9)$$

valor que sustituido en (8), nos dará:

$$r_{c-3} = \frac{\sqrt{3}}{3} l_3 = \frac{\sqrt{3}}{3} \times (6 - 4\sqrt{2}) r_{ec}^8 = \left[\frac{6\sqrt{3} - 4\sqrt{6}}{3} r_{ec}^8 \right] \quad (10)$$

Sustituyendo en (7) los valores (6) y (10), tendremos:

$$a'_3 = \sqrt{(h_3)^2 + (r_{c-3})^2} = \sqrt{\left[\frac{3-\sqrt{3}}{3} r_{ec}^8 \right]^2 + \left[\frac{6\sqrt{3}-4\sqrt{6}}{3} r_{ec}^8 \right]^2} =$$

$$\sqrt{\left(\frac{3-\sqrt{3}}{3} \right)^2 + \left(\frac{6\sqrt{3}-4\sqrt{6}}{3} \right)^2} r_{ec}^8 = \sqrt{\frac{(3-\sqrt{3})^2 + (6\sqrt{3}-4\sqrt{6})^2}{9}} r_{ec}^8 =$$

$$= \sqrt{\frac{9 + 3 - 6\sqrt{3} + 36 \times 3 + 16 \times 6 - 48\sqrt{18}}{9}} r_{ec}^8 =$$

$$= \sqrt{\frac{12 - 6\sqrt{3} + 108 + 96 - 48 \times 3\sqrt{2}}{9}} r_{ec}^8 = \sqrt{\frac{216 - 6\sqrt{3} - 144\sqrt{2}}{9}} r_{ec}^8 =$$

$$= \left[\frac{\sqrt{216 - 6\sqrt{3} - 144\sqrt{2}}}{3} r_{ec}^8 \right] \quad (11)$$

Las fórmulas (9) y (11) nos permiten calcular los elementos necesarios para el desarrollo lateral de las pirámides triangulares regulares, que se adicionan al modelo M-40.7, para obtener el que se estudia.

Para este caso particular de $r_{ec}^8 = 110 \text{ mm}$, será:

$$a_{VIII} = (6 - 4\sqrt{2}) \cdot r_{ec}^8 \approx 0,343125752 \dots \times 110 \approx 37,8 \text{ mm}$$

~

$$a_3' = \frac{\sqrt{215 - 6\sqrt{2}} - 140\sqrt{2}}{3} r_{ec}^8 \approx 0,466778832 \dots \times 110 \approx 51,4 \text{ mm}$$

Para la construcción de este modelo, se precisan las siguientes piezas:

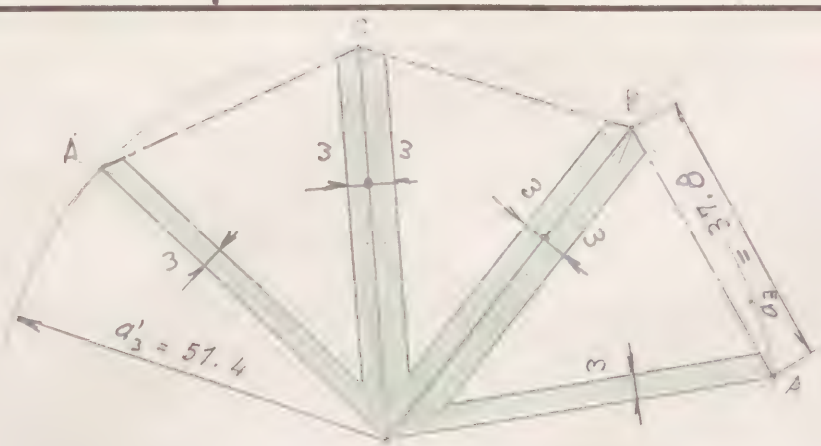
A) MODELO CORPÓREO DEL ARQUIMEDIANO VIII, OBTENIDO POR TRUNCADURA DE VÉRTICES DE UN OCTAEDRO REGULAR CONVEXO, A LA DISTANCIA " $x = (2 - \sqrt{2}) a_8$ "

Piezas 1 al 12, iguales a las del modelo M-40.7

B) PIRÁMIDES TRIANGULARES, RECTAS, REGULARES, DE CARAS VACIADAS, QUE SE ADICIONAN AL MODELO M-40.7

PIEZA Nº 13 DESARROLLO LATERAL DE LAS PIRÁMIDES ADICIONADAS
8 unidades

La forma y dimensiones, se detallan en la figura nº 1



PIEZA N° 13

8 (u)

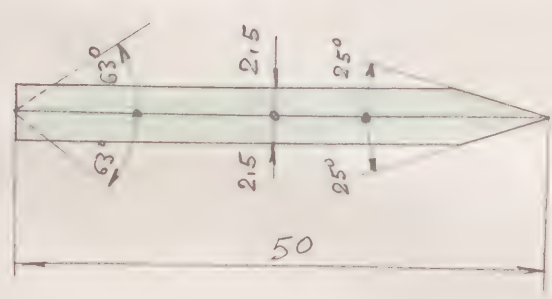
Figura 1

PIEZA N° 14

UNIONES ARISTAS

24 unidades

La forma y dimensiones se detallan en la figura 2



PIEZA N° 14

24 (u)

Figura 2

Figura 2

3

1

1

1

MODELO

M - 40.8

PATRONES



MODELO CORPÓREO DEL POLIEDRO CONVEXO

DE CARAS MACIZAS "ARQUIMEDIANO IX",

FORMADO POR VEINTE CARAS TRIANGULARES

REGULARES (C_3), Y DOCE CARAS DECAAGONA-

LES REGULARES, ^(C_{10}) CONCURRIENDO EN CADA VÉD-

TICE $1 C_3 + 2 C_{10}$

Radio de la esfera circunscrita:

$$r_{ec}^{\text{IX}} = 110 \text{ mm.}$$

ENUNCIADO: Construir el modelo corpóreo del poliedro convexo de caras macedicas "ARQUIMEDIANO IX", formado por veinte caras triangulares regulares (C_3) y doce caras decagonales regulares (C_{10}), concurrendo en cada vértice $1 C_3 + 2 C_{10}$.

Este poliedro ha sido estudiado analíticamente en el ejercicio G.E. n°.....- Lámina 41, y representado en sus vistas principal, superior y lateral izquierda en la mencionada lámina 41, a escala 1:1, con el radio r_{ec}^{IX} de su esfera circunscrita, de $r_{ec}^{IX} = 55 \text{ mm}$.

DATO ÚNICO DE ESTE EJERCICIO: Radio de la esfera circunscrita:

$$r_{ec}^{IX} = 110 \text{ mm}$$

Las características geométricas del ARQUIMEDIANO IX, son las siguientes:

Número de caras triangulares	$C_3 = 20$
Número de caras decagonales	$C_{10} = 12$
Número de vértices: $\frac{20 \times 3 + 12 \times 10}{3} =$	$V = 60$
Número de aristas: $\frac{20 \times 3 + 12 \times 10}{2} =$	$A = 90$
Número de caras de un ángulo sólido =	$1 C_3 + 2 C_{10}$

Para poder obtener el desarrollo de este poliedro, calculemos previamente la longitud " a_{IX} " de la arista del mismo, en función del radio " r_{ec}^{IX} " de su esfera circunscrita. Para ello utilizaremos la fórmula " $r_{ec}^{IX} = \sqrt{\frac{37 + 15\sqrt{5}}{8}} a_{IX}$ " deducida en el mencionado ejercicio G.E. n°... - Lámina 41" que nos da el valor del radio de la esfera circunscrita, en función de la arista a_{IX} del Arquimediano IX. Despejando en ella a_{IX} , tendremos:

$$a_{IX} = r_{ec}^{IX} : \sqrt{\frac{37 + 15\sqrt{5}}{8}} = \left(1 : \sqrt{\frac{37 + 15\sqrt{5}}{8}}\right) r_{ec}^{IX} = \sqrt{1 : \frac{37 + 15\sqrt{5}}{8}} r_{ec}^{IX} =$$

$$= \sqrt{\frac{8}{37 + 15\sqrt{5}}} r_{ec}^{IX} \quad (1)$$

Para el caso estudiado ($r_{ec}^{IX} = 110 \text{ mm}$), tendremos:

$$a_{IX} = \sqrt{\frac{8}{37 + 15\sqrt{5}}} r_{ec}^{IX} \approx 0,336762812... \times 110 \approx 37,0 \text{ mm}$$

Esta sola magnitud nos permite la construcción del poliedro estudiado, para lo cual son necesarias las siguientes piezas:

PIEZA N° 1

CARAS LATERALES TRIANGULARES REGULARES

20 unidades

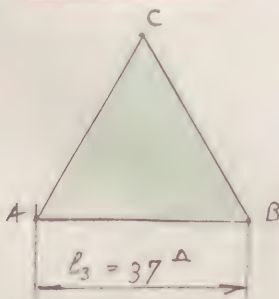


Figura 1

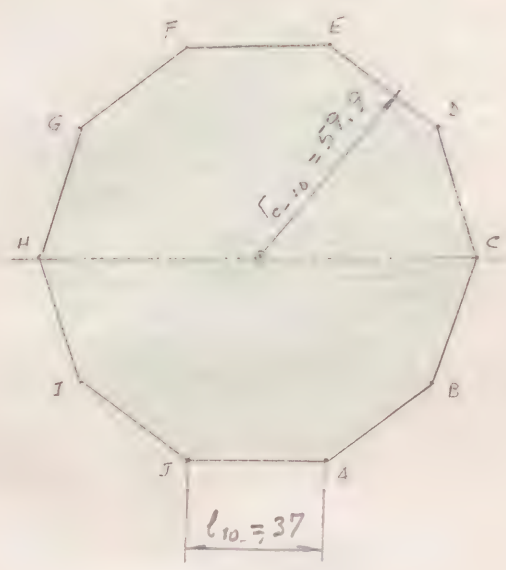
La forma y dimensiones se detallan en la figura 1

PIEZA N° 1 20 (u)

Figura 1

PIEZA N° 2 CARAS LATERALES DECAGONALES, REGULARES

12 unidades



La forma y dimensiones se detallan en la figura 2. Para su construcción, calculamos r_{c-10} , cuyo valor es el siguiente (ver G.P. 1.400-47)

$$r_{c-10} = \frac{\sqrt{5} + 1}{2} \times l_{10} = 1,618... \times 37 = \underline{59.9 \text{ mm}}$$

PIEZA N° 2

12 (u)

Figura 2

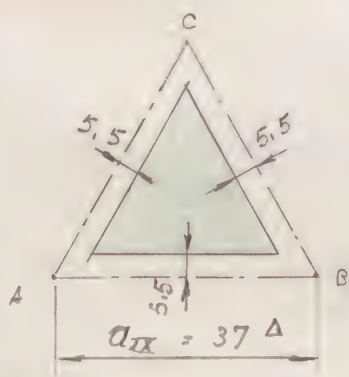
Figura 2

PIEZA N° 3 REFUERZO NORMAL INTERIOR DE LAS CARAS

TRIANGULARES REGULARES

20 unidades

La forma y dimensiones se deducen de las del triángulo ABC de la figura 1, y se detallan en la figura 3.



PIEZA N° 3

20 (u)

Figura 3

Figura 3

PIEZA N° 4 REFUERZO NORMAL INTERIOR DE LAS CARAS

DECA GONALES

12 unidades

La forma y dimensiones se deducen de las del decágono



Figura 4

AB C D E F G H I J A la figura 4 se detallan en la figura 4

$$AB = BC = CD = DE = EF = FG = GH = HI = IJ = L10 = 37 \text{ mm}$$

PIEZA N° 4 12 (u)

Figura 4

PIEZA N° 5 UNIONES ADISTAS DE DOS CARAS DECAGONALES

30 unidades

La forma y dimensiones se detallan en la figura 5

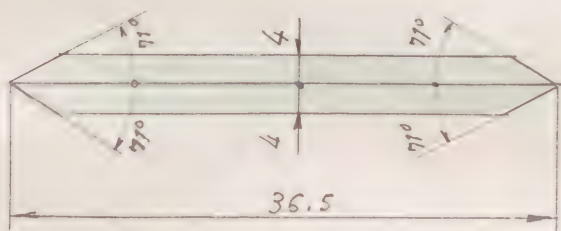


Figura 5

PIEZA N° 5 30 (u)

Figura 5

PIEZA N° 6 UNIONES ADISTAS DE UNA CARA DECAGONAL

Y OTRA TRIANGULAR

60 unidades

La forma y dimensiones se detallan en la figura 6

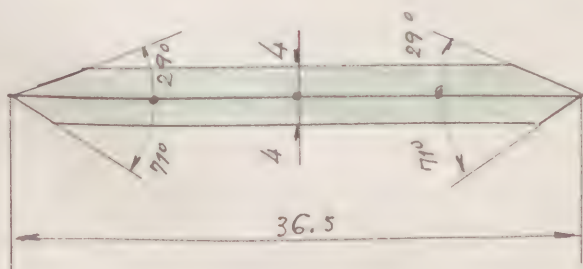


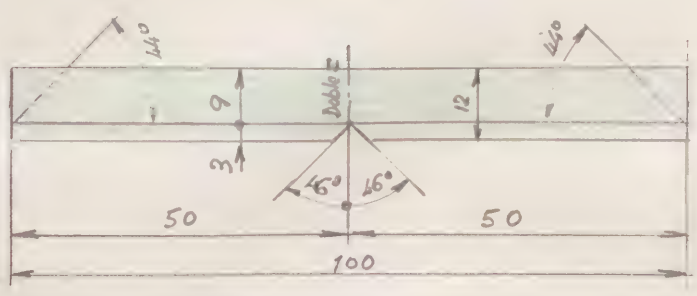
Figura 6

PIEZA N° 6 60 (u)

Figura 6

PIEZA N° 7 REFUERZO TRANSVERSAL INTERIOR DE LAS CADAS DECA-
GONALES 48 unidades

La forma y dimensiones se detallan en la figura 7; su colocación en la figura 4.



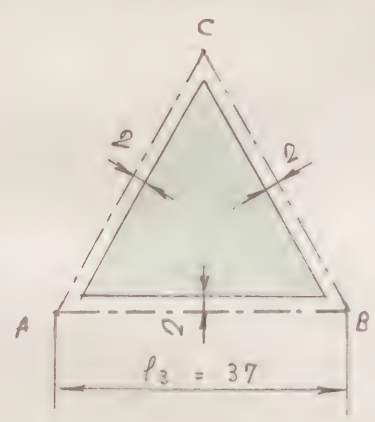
PIEZA N° 7 48(u)

Figura 7

Figura 7

PIEZA N° 8 FORRO COLOREADO EN CADAS TRIANGULARES
20 unidades

La forma y dimensiones se deducen de las del triángulo ABC de la figura 1, y se detallan en la figura 8



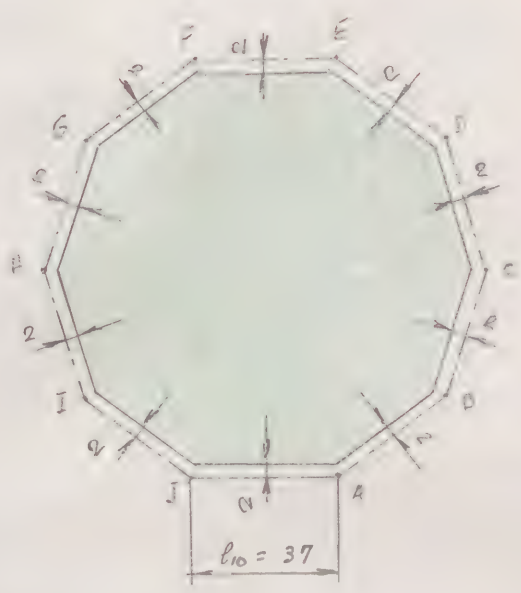
PIEZA N° 8 20(u)

Figura 8

Figura 8

PIEZA N° 9 FORRO COLOREADO EN CADAS DECAAGONALES
12 unidades

La forma y dimensiones se deducen de las del decaágono regular ABC... H I J de la figura 2, y se detallan en la figura n° 9



PIEZA N° 9

12 (11)

Figura 9

Figura 9

MODELO CORPÓREO DEL POLIEDRO CONVEXO
 DE CARAS VACIADAS "ARQUIMEDIANO IX",
 FORMADO POR VEINTE CARAS TRIANGULARES,
 REGULARES (C_3) Y DOCE CARAS DODECAÉ-
 DRICAS REGULARES (C_{12}), CONCURRIENDO EN
 CADA VÉRTICE $1 C_3 + 2 C_{12}$

Radio de la esfera circunscrita

$$r_{ec}^{\text{IX}} = 110 \text{ m m.}$$

ENUNCIADO: Construir el modelo corpóreo del poliedro convexo de caras vaciadas "ARQUIMEDIANO IX", formado por veinte caras triangulares regulares (C_3) y doce caras decagonales regulares convexas (C_{10}), concurrendo en cada vértice $1 C_3 + 2 C_{10}$.

Este modelo puede considerarse como una variante del M-41.1, de igual forma y dimensiones, pero con sus caras vaciadas.

Las propiedades de este poliedro, así como sus dimensiones, son las enunciadas y calculadas en el mencionado modelo M-41.1.

DATO ÚNICO DE ESTE EJERCICIO: r_{ec}^{IX} = radio de la esfera circunscrita:

$$r_{ec}^{IX} = 110 \text{ mm}$$

Para la construcción de este poliedro, son necesarias las siguientes piezas:

PIEZA N° 1 CARAS LATERALES TRIANGULARES REGULARES

20 unidades

La forma y dimensiones se detallan en la figura 1

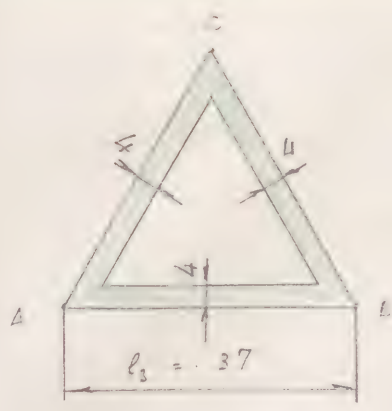


Figura 1

PIEZA N° 1

20 (u)

Figura 1

PIEZA N° 2 CARAS LATERALES DECAGONALES, REGULARES.

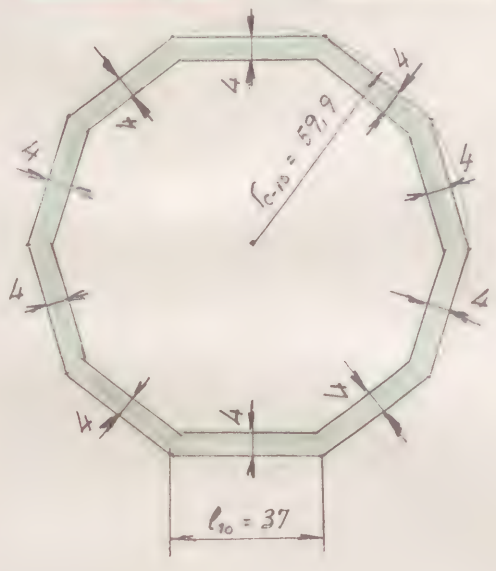


Figura 2

12 unidades

La forma y dimensiones se detallan en la figura 2.

PIEZA N° 2 12 (u)

Figura 2

PIEZA N° 3 UNIONES ARISTAS DE DOS CARAS DECAGONALES

30 unidades

La forma y dimensiones se detallan en la figura 3

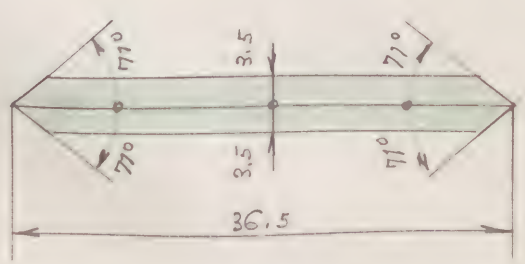


Figura 3

PIEZA N° 3 30 (u)

Figura 3

PIEZA Nº 4 UNIONES ABIERTAS DE UNA CADA DECAGONAL Y
OTRA TRIANGULAR 60 unidades

La forma y dimensiones se detallan en la figura 4

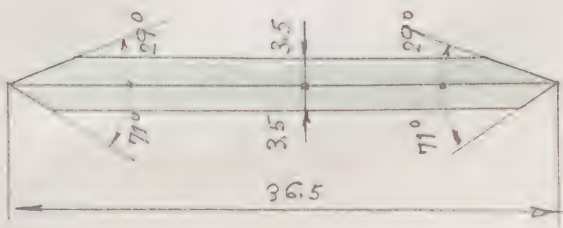


Figura 4

PIEZA Nº 4

60 (u)

Figura 4

VARIANTE DEL MODELO M-41.1,
DE IGUAL FORMA QUE ÉSTE, SIEN-
DO MÁS PEQUEÑO EL RADIO DE SU
ESFERA CIRCUNSCRITA.

Radio de la esfera circunscrita

$$r_{pe}^{IX} = 76,1 \text{ m m.}$$

ENUNCIADO: Construir el modelo corpóreo del poliedro convexo de caras macizas "ARQUIMEDIANO IX", formado por veinte caras triangulares regulares (C_3), y doce caras decagonales regulares (C_{10}), concurren-
do en cada vértice $1C_3 + 2C_{10}$.

Este modelo puede considerarse como una variante del modelo M-41.1, de igual forma que éste, siendo menor el radio de su esfera circunscrita ($r_{ec}^{IX} = 76,1 \text{ mm}$).

Para obtener el dibujo de este modelo, utilizaremos el mismo estudio analítico, hecho en el modelo M-41.1, determinando previamente el coeficiente "k" de reducción,
 $k = 76,1 : 110$, o relación de los radios correspondientes de sus respectivas esferas circunscritas.

DATO ÚNICO DE ESTE EJERCICIO

$$r_{ec}^{IX} = 76,1 \text{ mm}$$

COEFICIENTE DE REDUCCIÓN

$$k = \frac{76,1}{110} = 0,6918 \dots$$

A continuación presentamos diversas tablas de longitudes y ángulos, cuyas dimensiones han sido consignadas en las diferentes figuras del modelo M-41.1, y de los valores correspondientes a aplicar en la construcción de este nuevo modelo M-41.3, en el que son necesarias las siguientes piezas:

PIEZA N° 1 CADAS LATERALES TRIANGULARES REGULARES

20 unidades

La figura 1, ha de construirse con las siguientes cotas modificadas:

<u>FIGURA 1</u>	Longitudes m m	Cotas modificadas m m
<u>PIEZA N° 1</u> 20 (u)	37.0	25.6

PIEZA N° 2 CADAS LATERALES DECAAGONALES REGULARES

8 unidades

La figura 2, ha de construirse con las siguientes cotas modificadas:

<u>FIGURA 2</u>	Longitudes m m	Cotas modificadas m m
<u>PIEZA N° 2</u> 8 (u)	37.0 59.9	25.6 41.4

UNE A4-210 x 297



PIEZA N°3 REFUERZO NORMAL INTERIOR DE LAS CARAS TRIANGULARES REGULARES 20 unidades

La figura 3, ha de construirse con las siguientes cotas modificadas

<u>FIGURA 3</u>	<u>Longitudes</u> <u>m m</u>	<u>Cotas modificadas</u> <u>m m</u>
<u>PIEZA N°3</u>	37.0	25.6
20 (u)	5.5	4.0

PIEZA N° 4 REFUERZO NORMAL INTERIOR DE LAS CARAS DECA- GONALES 12 unidades

La figura 4, ha de construirse con las siguientes cotas modificadas :

<u>FIGURA 4</u>	<u>Longitudes</u> <u>m m</u>	<u>Cotas modificadas</u> <u>m m</u>
<u>PIEZA N° 4</u>	37.0	25.6
12 (u)	59.9	41.4
	5.5	4.0

PIEZA N° 5 UNIONES AISLADAS DE DOS CARAS DECAAGONALES 30 unidades

La figura 5, ha de construirse con las siguientes cotas mo-
dificadas :

<u>FIGURA 5</u>	<u>Longitudes</u> <u>m m</u>	<u>Cotas modificadas</u> <u>m m</u>
<u>PIEZA N° 5</u>	36.5	24.0
30 (u)	4.0	4.0
	71°	71°

PIEZA N° 6 UNIONES A RISTAS DE UNA CARA DECAAGONAL Y
OTRA TRIANGULAR 60 unidades

La figura 5, ha de construirse con las siguientes cotas modi-
ficadas

<u>FIGURA 6</u>	Longitudes m m	Cotas modificadas m m
<u>PIEZA N° 6</u>	36,5	24,0
60(u)	4,0	4,0
	29°	29°
	71°	71°

PIEZA N° 7 REFUERZO TRANSVERSAL INTERIOR DE LAS CARAS
DECA GONALES 48 unidades

La figura 7, ha de construirse con las siguientes cotas modificadas:

PIEZA N° 7	Longitudes m m	Cotas modificadas m m
	50,0	33,0
48 (u)	3,0	2,5
	9,0	7,5
	12,0	10,0
	100,0	66,0
	44°	44°
	46°	46°

PIEZA N° 8 FORRO COLOREADO EN CADA TRIANGULARES
20 unidades

La figura 8, ha de construirse con las siguientes cotas modificadas:

FIGURA 8	Longitudes m m	Cotas modificadas m m
PIEZA N° 8	37,0	25,6
20 (u)	2,0	2,0

PIEZA N° 3 FORRO COLOREADO EN CARAS DECAGONALES
12 unidades

La figura 9 ha de constuirse con las siguientes cotas modificadas.

FIGURA 9	Longitudes m m	Cotas modificadas m m
PIEZA N° 9	37,0	25,6
12 (u)	2,0	2,0

VARIANTE DEL MODELO M-41,2,

DE IGUAL FORMA QUE ÉSTE, SIEN-

DO MÁS PEQUEÑO EL RADIO DE SU

ESFERA CIRCUNSCRITA.

Radio de la esfera circunscrita:

$$r_{ec}^{IX} = 76.1 \text{ mm}$$



ENUNCIADO: Construir el modelo corpóreo del poliedro convexo de caras faciales ARQUIMEDIANO IX, formado por veinte caras triangulares regulares (C_3), y doce caras decagonales regulares (C_{10}), concurrendo en cada vértice $1 C_3 + 2 C_{10}$.

Este modelo puede considerarse como una variante del modelo M-41.2, de igual forma que este, pero siendo más pequeño el radio de su esfera circunscrita. ($r_e^{IX} = 76.1 < 110$)

Para obtener el despiece de este modelo, utilizaremos el mismo estudio analítico, desarrollado en el modelo M-41.2, determinando previamente el coeficiente "k" de reducción $k = 76.1 : 110$, o relación entre los radios correspondientes de sus respectivas esferas circunscritas.

DATO ÚNICO DE ESTE EJERCICIO

$$\frac{IX}{r_e} = 76,1 \text{ mm}$$

COEFICIENTE DE REDUCCIÓN

$$k = \frac{76,1}{110} = 0,69 \widehat{18} \dots$$



A continuación presentamos diversas tablas de longitudes y ángulos, cuyas dimensiones han sido acentuadas en las distintas figuras del modelo M-41.2, y de los valores correspondientes a aplicar en la construcción de este nuevo modelo M-41.4, en el que son necesarias las siguientes piezas:

PIEZA N° 1 CARAS LATERALES TRIANGULARES REGULARES
20 unidades

La figura 1, ha de construirse con las siguientes cotas modificadas:

<u>FIGURA 1</u>	<u>Longitudes</u> <u>m m</u>	<u>Cotas modificadas</u>
<u>PIEZA N° 1</u>	37,0	25,6
20(u)	4,0	3,0

PIEZA N° 2 CARAS LATERALES DECAAGONALES, REGULARES
12 unidades

La figura 2, ha de construirse con las siguientes cotas modificadas:

<u>FIGURA 2</u>	<u>Longitudes</u> <u>m m</u>	<u>Cotas modificadas</u> <u>m m</u>
<u>PIEZA N° 2</u>	37,0	25,6
12(u)	59,9	41,4
	4,0	3,0



PIEZA N° 3 UNIONES ADISTAS DE DOS CARAS DECAGONALES

30 unidades

La figura 3, ha de construirse con las siguientes cotas modificadas:

<u>FIGURA 3</u>	Longitudes m m	Cotas modificadas m m
<u>PIEZA N° 3</u>	36.5	25.0
30 (4)	3.5	2.5
	71°	41°

PIEZA N° 4 UNIONES ADISTAS DE UNA CARA DECAGONAL

Y OTRA TRIANGULAR

60 unidades

<u>FIGURA 4</u>	Longitudes m m	Cotas modificadas m m
<u>PIEZA N° 4</u>	36.5	25.0
60 (4)	3.5	2.5
	71°	41°
	29°	29°

MODELO CORPÓREO DEL "ARQUIMEDIANO IX", OB-
TENIDO POR TRUNCADURA DE VÉRTICES DE UN
DODECAEDRO REGULAR CONVEXO, de arista " a_{12} ",
AL TOMAR SOBRE CADA ARISTA, Y DESDE SU VÉR-
TICE, LA DISTANCIA " $x = \frac{1}{10} \times (5 - \sqrt{5}) a_{12}$ ". - EL
ARQUIMEDIANO OBTENIDO, SE CONSTRUIRÁ CON LAS
CARAS MACIZAS, Y EL DODECAEDRO REGULAR GE-
NERADOR, CON LAS CARAS VACIADAS.

Radio de la esfera circunscrita al dodecaedro
generador

$$r_{ec}^{12} = 110 \text{ m m.}$$

ENUNCIADO: Construir el modelo corpóreo del "ARQUIMEDIANO IX" obtenido por truncadura de vértices de un dodecaedro regular convexo, de arista " a_{12} ", al tomar sobre cada arista, y desde su vértice, la distancia " $x = \frac{1}{10} \times (5 - \sqrt{5}) a_{12}$ ". - Al Arquimediando obtenido, se construirá con las caras macizas, y el dodecaedro regular convexo generador, con las caras vaciadas.

DATO ÚNICO DE ESTE EJERCICIO: Γ_{ec}^{12} = radio de la esfera circunscrita al dodecaedro regular convexo generador:

$$\Gamma_{ec}^{12} = 110 \text{ mm}$$

Teniendo presente lo expuesto en las CONSIDERACIONES PREVIAS del ejercicio "modelo M-40.5" en las que se destaca el proceso geométrico denominado TRUNCADURA DE VÉRTICES de los poliedros regulares convexos, por el que se obtienen muchos de los POLIEDROS ARQUIMEDIANOS, entre los que se encuentra el "ARQUIMEDIANO IX" de este ejercicio, podemos establecer de inmediato las propiedades del poliedro núcleo que se obtiene por la truncadura de vértices del dodecaedro regular convexo a la distancia " $x = \frac{1}{10} \times (5 - \sqrt{5}) a_{12}$ ".

Al valor de " x " se deduce de las consideraciones geo-

métricas siguientes, cuando el plano secante produzca:

a) En las caras del dodecaedro generador, polígonos regulares convexos de doble número de lados que los de las mencionadas caras (decagonos regulares), cuyos lados son alternativamente coincidentes con los de las mismas, y cuyo número será, por consiguiente, el de caras del dodecaedro generador ($12 C_{10}$).

b) En los ángulos sólidos de los vértices, polígonos regulares convexos de tantos lados como caras concurren en los vértices de dichos ángulos sólidos (triángulos equiláteros) cuyo número será el de vértices del mencionado dodecaedro generador ($20 C_3$), y situados en el plano secante.

Estas dos condiciones, aplicadas al caso propuesto, nos permite conocer las características del poliedro núcleo resultante de esta truncadura de vértices, y al mismo tiempo comprobar la posición del plano secante que la produce.

En efecto: Por la condición "a", el poliedro núcleo tendrá doce caras decaagonales regulares convexas (C_{10}), situadas en las caras del dodecaedro generador, y

Por la condición "b", tendrá además veinte caras triangulares regulares (C_3) sobre el plano secante.

Consecuentemente, el poliedro núcleo resultante de esta truncadura de vértices, tendrá las siguientes características geométricas:

- 1) Número de caras decagonales regulares = $12 C_{10}$
- 2) Número de caras triangulares regulares = $20 C_3$
- 3) Número de vértices = $\frac{12 \times 10 + 20 \times 3}{3} = 60 V$
- 4) Número de aristas = $\frac{12 \times 10 + 20 \times 3}{2} = 90 A$
- 5) Número de caras en cada vértice = $1 C_3 + 2 C_{10}$

En consecuencia, y a la vista de los resultados anteriores, se deduce que el poliedro núcleo convexo, resultante de esta truncadura de vértices en el dodecaedro regular convexo, es un ARQUIMEDIANO IX estudiado y representado en el ejercicio G.E. n°--- - Lámina 41.

Vamos a proceder a continuación al cálculo analítico previo de las magnitudes necesarias para la construcción de este modelo M-41.5, en función del radio " r_{ec}^{12} " = 110 mm (dato del problema).

CÁLCULO ANALÍTICO DE LONGITUDES

- 1) Arista a_{12} del dodecaedro generador

UNE A4 210 x 297

(Eduardo)

Noviembre 1980

El valor se obtiene de la fórmula " $r_{ec}^{12} = \frac{\sqrt{15} + \sqrt{3}}{4} a_{12}$ ", deducido en el ejercicio G.E. n° --- Lámina 4. - Despejando en ella " a_{12} " tendremos:

$$\boxed{a_{12} = r_{ec}^{12} : \frac{\sqrt{15} + \sqrt{3}}{4} = \frac{4}{\sqrt{15} + \sqrt{3}} \cdot r_{ec}^{12} = \frac{4(\sqrt{15} - \sqrt{3})}{15 - 3} r_{ec}^{12} = \frac{\sqrt{15} - \sqrt{3}}{3} r_{ec}^{12}} \quad (1)$$

2) Radio " r_{c-5} " de la circunferencia circunscrita al pentágono regular convexo de una de las caras del dodecaedro generado, de arista " $a_{12} = l_5$ ".

Se obtiene de la fórmula " $r_{c-5} = \sqrt{\frac{5 + \sqrt{5}}{10}} l_5$ ". - Por fórmula (3) del ejercicio G.P. 1.400-44. - Sustituyendo en ella " l_5 " por " a_{12} ", por ser " $l_5 = a_{12}$ ", tendremos:

$$\boxed{r_{c-5} = \sqrt{\frac{5 + \sqrt{5}}{10}} a_{12}} \quad (2)$$

3) Radio " r_{i-5} " de la circunferencia inscrita al pentágono regular convexo de una de las caras del dodecaedro generado, de arista " $a_{12} = l_5$ ".

Se obtiene de la fórmula " $r_{i-5} = \sqrt{\frac{5 + 2\sqrt{5}}{20}} l_5$ ". - Por fórmula (5) del ejercicio G.P. 1400-44. - Sustituyendo en ella " l_5 " por " a_{12} ", por ser " $l_5 = a_{12}$ ", tendremos:

$$r_{i-5} = \sqrt{\frac{5 + 0\sqrt{5}}{20}} d_{12} \quad (3)$$

En la figura 1 representamos el pentágono regular convexo ABCDE, de una de las caras del dodecaedro generador de arista " d_{12} ", en la que acotamos las magnitudes (1), (2) y (3).

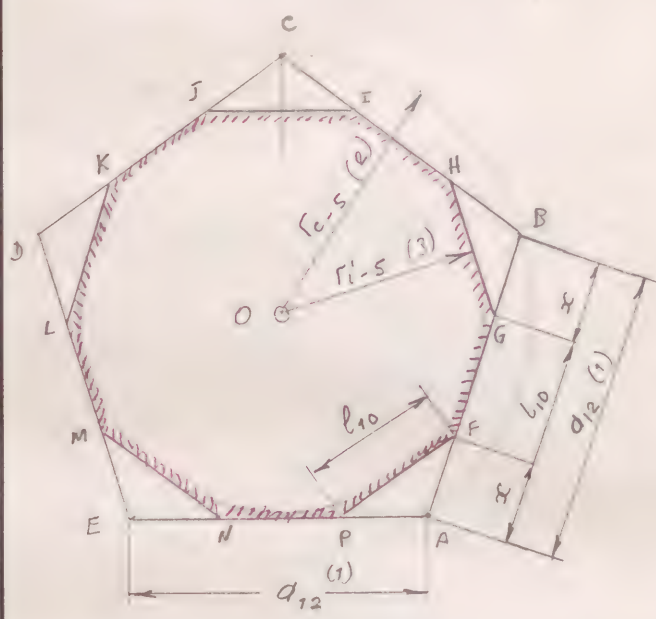


Figura 1

Para que el plano secante de la truncadura de vértices produzca en las caras del dodecaedro generador un decágono regular convexo (condición a), hoja 2), el centro "O" de éste ha de ser coincidente con el del pentágono ABCDE y por consiguiente han de tener coincidentes sus respectivas cir-

cunferencias inscritas. Esta condición nos permite calcular el lado $l_{10} = \overline{FG} = \overline{PF}$, y la distancia " $x = AF = GB$ " de la truncadura de vértices, que realizamos a continuación.

- 4) Radio " r_{i-10} " de la circunferencia inscrita en el decágono regular convexo de lado l_{10}



Se obtiene por la fórmula (2) del ejercicio G.P. 1400-47; su valor es:

$$\boxed{r_{i-10} = \frac{\sqrt{5+2\sqrt{5}}}{2} l_{10}} \quad (4)$$

5) Lado " l_{10} " del decágono regular convexo FGH...MNP (figura 1)

Según se ha indicado anteriormente, ha de ser

$$r_{i-5} = r_{i-10}$$

por lo que teniendo en cuenta los valores (3) y (4), tendremos:

$$\sqrt{\frac{5+2\sqrt{5}}{20}} a_{12} = \frac{\sqrt{5+2\sqrt{5}}}{2} l_{10}$$

y despejando en esta l_{10} , tendremos:

$$\begin{aligned} \boxed{l_{10}} &= \sqrt{\frac{5+2\sqrt{5}}{20}} a_{12} : \frac{\sqrt{5+2\sqrt{5}}}{2} = \left(\frac{\sqrt{5+2\sqrt{5}}}{2\sqrt{5}} : \frac{\sqrt{5+2\sqrt{5}}}{2} \right) a_{12} = \\ &= \frac{2\sqrt{5+2\sqrt{5}}}{2\sqrt{5} \times \sqrt{5+2\sqrt{5}}} a_{12} = \frac{1}{\sqrt{5}} a_{12} = \boxed{\frac{\sqrt{5}}{5} a_{12}} \quad (5) \end{aligned}$$

6) Arista " a_{IX} " del poliedro mideo ARQUIMEDIANO IX

Siendo $l_{10} = a_{IX}$, tendremos directamente

$$\boxed{a_{IX} = l_{10} = \frac{\sqrt{5}}{5} a_{12}} \quad (6)$$

en la que sustituyendo " a_{12} " por su valor (4), tendremos:

$$\boxed{a_{IX}} = \frac{\sqrt{5}}{5} a_{12} = \frac{\sqrt{5}}{5} \times \frac{\sqrt{15} - \sqrt{3}}{3} r_{ec}^{12} = \frac{\sqrt{75} - \sqrt{15}}{15} r_{ec}^{12} =$$

$$= \frac{5\sqrt{3} - \sqrt{15}}{15} r_{ec}^{12} \quad (7)$$

7) Distancia " x " de la truncadura de vértices.

De la figura 1, se deduce:

$$\overline{AB} = \overline{AF} + \overline{FG} + \overline{GB} \quad \text{de donde}$$

$$a_{12} = x + l_{10} + x = 2x + l_{10} \quad \text{y de aquí}$$

$l_{10} = a_{12} - 2x$, valor que sustituido en (5), nos dará:

$$a_{12} - 2x = \frac{\sqrt{5}}{5} a_{12} \quad \text{y despejando "x", será}$$

$$2x = a_{12} - \frac{\sqrt{5}}{5} a_{12} = \left(1 - \frac{\sqrt{5}}{5}\right) a_{12} = \frac{5 - \sqrt{5}}{5} a_{12} \quad \text{de donde}$$

$$\boxed{x} = \frac{5 - \sqrt{5}}{5} a_{12} : 2 = \frac{5 - \sqrt{5}}{10} a_{12} = \frac{1}{10} \times (5 - \sqrt{5}) a_{12} \quad (8)$$

Valor que justifica el enunciado de este ejercicio.

Las fórmulas anteriores aplicadas al modelo estudiado en el que $r_{ec}^{12} = 110 \text{ mm}$, nos dan los siguientes resultados numéricos:

1) Arista " a_{12} " del dodecaedro generador (fórmula (1))

$$a_{12} = \frac{\sqrt{15} - \sqrt{3}}{3} r_{ec}^{12} = \frac{\sqrt{15} - \sqrt{3}}{3} \cdot 110 \approx 0,712544179... \times 110 \approx 78,5 \text{ mm}$$

2) Arista a_{IX} del Arquimediano IX (fórmula (7))

$$a_{IX} = \frac{5\sqrt{3} - \sqrt{15}}{15} r_{ec}^{12} = \frac{5\sqrt{3} - \sqrt{15}}{15} r_{ec}^{12} \approx 0,319151380... \times 110 \approx 35,1 \text{ mm}$$

3) Radio " r_{i-10} " de la circunferencia inscrita en el decágono regular convexo de lado $l_{10} = a_{IX}$ (fórmulas (4) y (7))

$$r_{i-10} = \frac{\sqrt{5} + 2\sqrt{5}}{2} l_{10} = \frac{\sqrt{5} + 2\sqrt{5}}{2} \times \frac{5\sqrt{3} - \sqrt{15}}{15} r_{ec}^{12} = \sqrt{\frac{5 + \sqrt{5}}{30}} r_{ec}^{12} \approx 0,491123473... \times 110 \approx 54,0 \text{ mm}$$

4) Radio " r_{c-10} " de la circunferencia circunscrita al decágono regular convexo de lado " $l_{10} = a_{IX}$ " (fórm. 7)

$$r_{c-10} = \frac{\sqrt{5} + 1}{2} l_{10} = \frac{\sqrt{5} + 1}{2} \times \frac{5\sqrt{3} - \sqrt{15}}{15} r_{ec}^{12} = \frac{2\sqrt{15}}{15} r_{ec}^{12} \approx 0,516397780... \times 110 \approx 56,8 \text{ mm} \quad (9)$$

Los valores numéricos anteriores nos permiten efectuar la construcción del modelo propuesto, para lo cual son necesarias las siguientes piezas:

A) ARQUIMEDIANO IX, GENERADO DE CADAS MACIZAS



PIEZA N° 1 CARAS SUPERFICIALES TRIANGULARES REGULARES

20 unidades

La forma y dimensiones se detallan en la figura 1

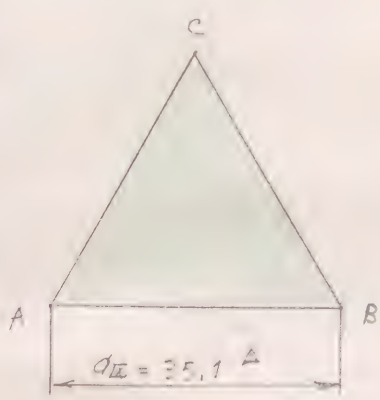


Figura 1

PIEZA N° 1

20 (u)

Figura 1

PIEZA N° 2 CARAS SUPERFICIALES DECAAGONALES REGULARES

12 unidades

$$AB = BC = CD = DE = EF = \dots = IJ = JA = 35,1 \text{ mm.}$$

La forma y dimensiones se detallan en la figura 2

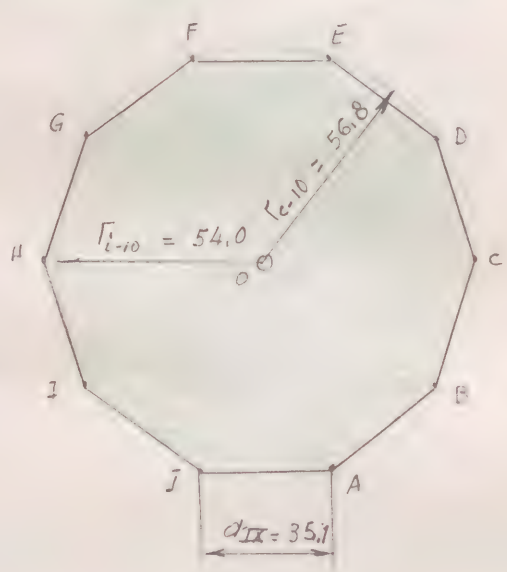


Figura 2

PIEZA N° 2

12 (u)

Figura 2

PIEZA N° 3 REFUERZO NORMAL INTERIOR DE LAS CARAS

TRIANGULARES REGULARES

20 unidades

La forma y dimensiones se deducen de las del triángulo equilátero ABC de la figura n° 1, y se detallan en la figura 3.

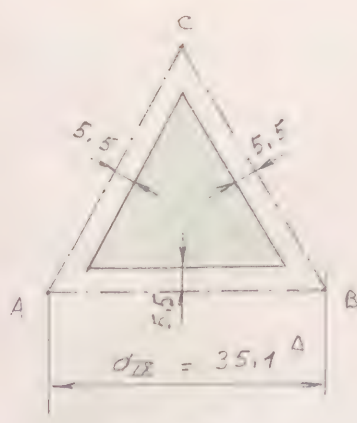


Figura 3

PIEZA N° 3 20 (u)

Figura 3

PIEZA N° 4 REFUERZO NORMAL INTERIOR DE LAS CADAS DE-
CAGONALES REGULARES 12 unidades

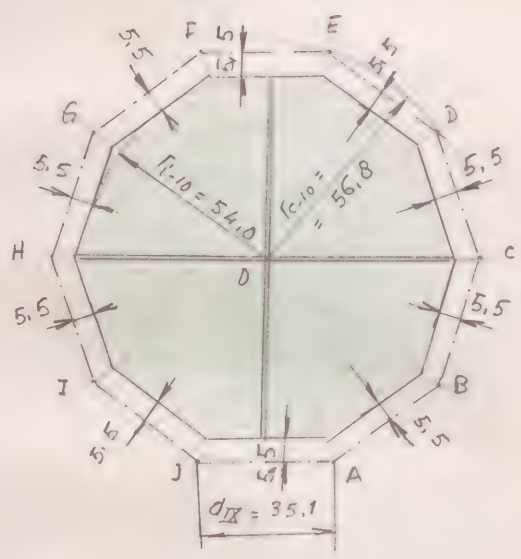


Figura 4

La forma y dimensiones se deducen del decágono regular con-
vencido A B C ... H I J de la figura 3,
y se detallan en la figura 4

PIEZA N° 4 12 (u)

Figura 4

PIEZA N° 5 REFUERZO TRANSVERSAL INTERIOR DE LAS CADAS
DECAGONALES REGULARES 48 unidades

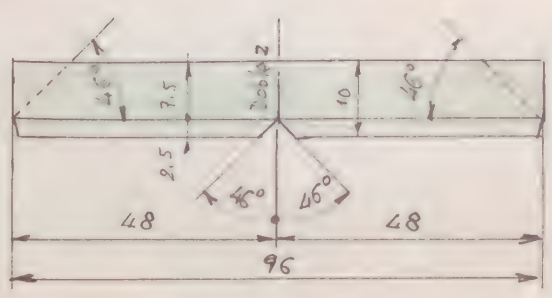


Figura 5

La forma y dimensiones, se de-
tallan en la figura 5; su colocación
en la figura 4

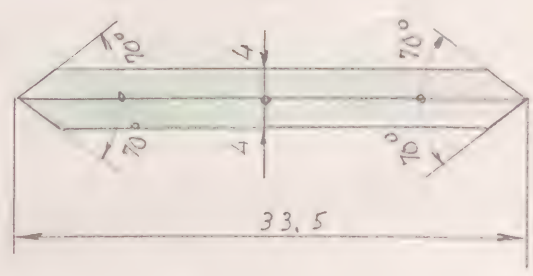
PIEZA N° 5 48 (u)

Figura 5

PIEZA N° 6 UNIONES ARISTAS EN DOS CARAS DECAgonALES

30 unidades

La forma y dimensiones se detallan en la figura 6



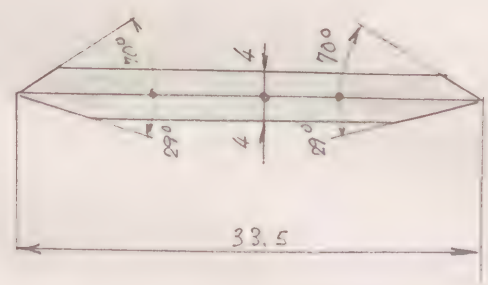
PIEZA N° 6 30 (u)

Figura 6

PIEZA N° 7 UNIONES ARISTAS DE UNA CARA TRIANGULAR Y OTRA DECAgonAL

60 unidades

La forma y dimensiones se detallan en la figura 7

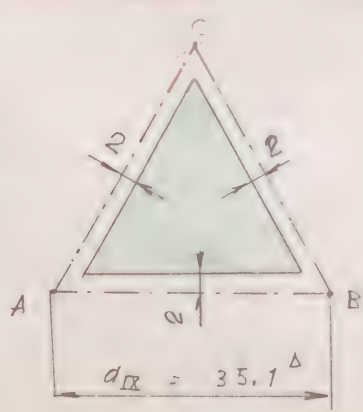


PIEZA N° 7 60 (u)

Figura 7

PIEZA N° 8 FORRO COLOREADO EN CARAS TRIANGULARES

20 unidades



La forma y dimensiones se deducen de las del triángulo ABC de la figura 1, y se detallan en la figura 8

PIEZA N° 8 20 (u)

Figura 8

PIEZA N° 9 FORRO COLOREADO EN CARAS DECAGONALES12 unidades

Figura 9

La forma y dimensiones se deducen de las del decágono ABC...JIA de la figura 2, y se detallan en la figura 9

PIEZA N° 9 12 (u)

Figura 9

B) DODECAEDRO GENERADOR DE CARAS VACIADAS

Queda reducido a veinte pirámides triangulares, rectas, regulares, cuyo desarrollo lateral es el siguiente:

PIEZA N° 10 DESARROLLO LATERAL DE LAS PIRÁMIDESTRIANGULARES20 unidades

La forma y dimensiones se detallan en la figura 10

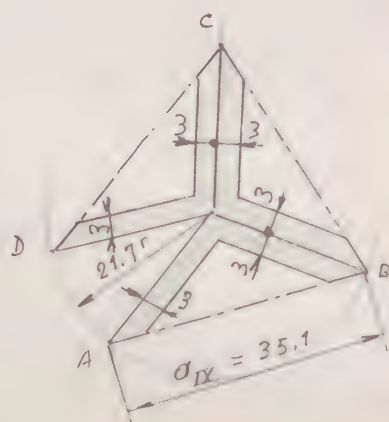


Figura 10

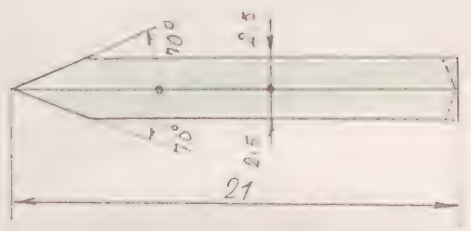
PIEZA N° 1020 (u)

Figura 10

PIEZA N° 11 UNIONES DISTAL

60 unidades

La forma y dimensiones se detallan en la Figura 11



PIEZA N° 11 60 (u)

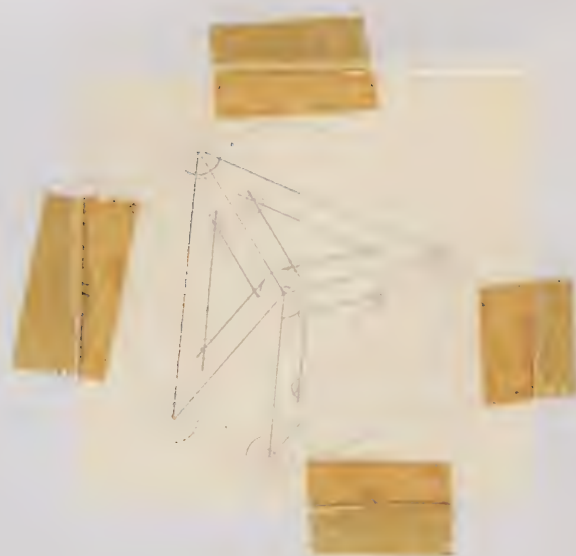
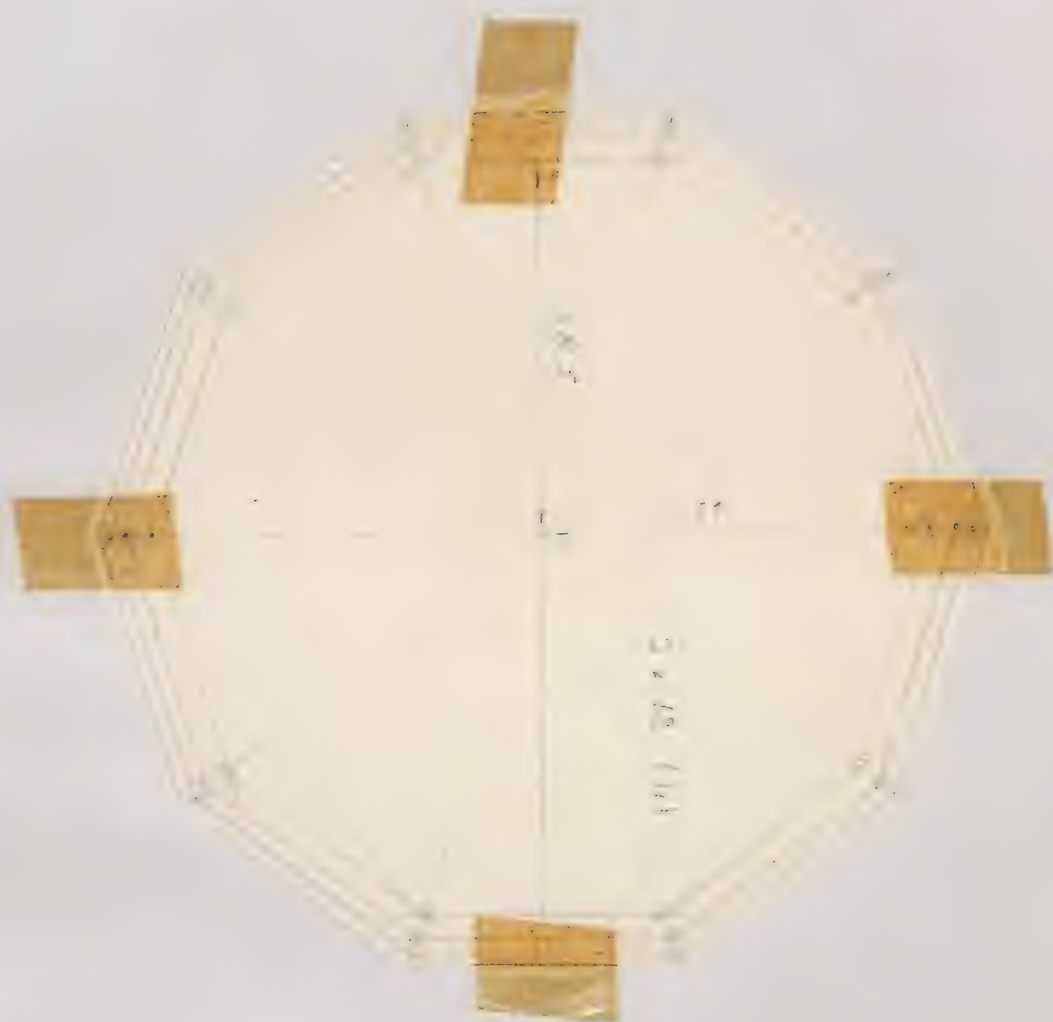
Figura 11

Figura 11



MODELO M-41-5

PATRONES



VARIANTE DEL MODELO CORPÓREO M-41.5, CONSISTENTE EN ADICIONAR AL MISMO, DOCE PIRÁMIDES RECTAS, REGULARES, DECAGONALES, DE CARAS VACIADAS, QUE TENGAN POR BASES LAS CARAS DECAGONALES DEL ADQUIMÉDIANO IX GENERADOR, Y POR VÉRTICES, LAS PROYECCIONES, SOBRE LA ESFERA CIRCUNSCRITA AL DODECAEDRO GENERADOR, DE LOS CENTROS DE LAS CARAS DECAGONALES, DESDE EL CENTRO DEL POLIEDRO GENERADOR.

Radio de la esfera circunscrita:

$$r_{ec}^{12} = 110 \text{ mm.}$$



ENUNCIADO: Construir el modelo corpóreo obtenido al adicionar al modelo M-41.5, doce pirámides rectas, regulares, decagonales, de caras vaciadas, que tengan por bases las caras decagonales del ARQUIMEDIANO IX generados, y por vértices, las proyecciones, sobre la esfera circunscrita al dodecaedro generador, de los centros de las caras decagonales, desde el centro "O" del poliedro generador.

Como se deduce de este enunciado, ha de construirse previamente un modelo igual al M-41.5, al cual ha de añadirse doce pirámides rectas, regulares, decagonales, y de caras vaciadas, cuyo desarrollo y dimensiones estudiamos a continuación.

La altura " h_{10} " de dichas pirámides, se obtiene como diferencia del radio " r_{ec}^{12} " de la esfera circunscrita al dodecaedro regular convexo generador, y del radio " r_{ei}^{IX-10} " de la esfera tangente a las caras decagonales del Arquimediario IX generado. Así pues, tendremos:

$$h_{10} = r_{ec}^{12} - r_{ei}^{IX-10} \quad (1)$$

El radio r_{ec}^{12} , se obtuvo en el ejercicio G. E. n.º --- Lámina 4, en función de la arista " a_{12} " del dodecaedro regular. Su valor es:

$$r_{ec}^{12} = \frac{\sqrt{15} + \sqrt{3}}{4} a_{12} \quad (2)$$



El radio r_{ei}^{IX-10} de la esfera tangente a las caras deagonal del dodecaedro IX , se obtuvo en el ejercicio G.E. n° ---
 - Lámina 41. Su valor, en función de su arista " a_{IX} ", es:

$$r_{ei}^{IX-10} = \sqrt{\frac{25 + 11\sqrt{5}}{8}} a_{IX} \quad (3)$$

y sustituyendo " a_{IX} " por su valor: " $a_{IX} = \frac{\sqrt{5}}{5} a_{12}$ " en la fórmula (6) del ejercicio M-41.5, tendremos:

$$\begin{aligned} r_{ei}^{IX-10} &= \sqrt{\frac{25 + 11\sqrt{5}}{8}} a_{IX} = \sqrt{\frac{25 + 11\sqrt{5}}{8}} \times \frac{\sqrt{5}}{5} a_{12} = \\ &= \sqrt{\frac{25 + 11\sqrt{5}}{8} \times \left(\frac{\sqrt{5}}{5}\right)^2} a_{12} = \sqrt{\frac{(25 + 11\sqrt{5}) \times 5}{8 \times 25}} a_{12} = \sqrt{\frac{25 + 11\sqrt{5}}{40}} a_{12} \quad (4) \end{aligned}$$

Sustituyendo en (1) los valores (2) y (4), tendremos:

$$\begin{aligned} h_{10} &= r_{ec}^{12} - r_{ei}^{IX-10} = \frac{\sqrt{15} + \sqrt{3}}{4} a_{12} - \sqrt{\frac{25 + 11\sqrt{5}}{40}} a_{12} = \\ &= \left[\frac{\sqrt{15} + \sqrt{3}}{4} - \sqrt{\frac{25 + 11\sqrt{5}}{40}} \right] a_{12} \quad (5) \end{aligned}$$

Sustituyendo en (5) el valor " $a_{12} = \frac{\sqrt{15} - \sqrt{3}}{3} r_{ec}^{12}$ ", en función del radio r_{ec}^{12} de la esfera circunscrita al dodecaedro generador (ver fórmula (1) del modelo M-41.5), tendremos:

$$\begin{aligned} h_{10} &= \left[\frac{\sqrt{15} + \sqrt{3}}{4} - \sqrt{\frac{25 + 11\sqrt{5}}{40}} \right] a_{12} = \left[\frac{\sqrt{15} + \sqrt{3}}{4} - \sqrt{\frac{25 + 11\sqrt{5}}{40}} \right] \times \left(\frac{\sqrt{15} - \sqrt{3}}{3} \right) r_{ec}^{12} = \\ &= \left(\frac{\sqrt{15} + \sqrt{3}}{4} \times \frac{\sqrt{15} - \sqrt{3}}{3} - \sqrt{\frac{25 + 11\sqrt{5}}{40}} \times \left(\frac{\sqrt{15} - \sqrt{3}}{3} \right) \right) r_{ec}^{12} = \end{aligned}$$



$$\begin{aligned}
 &= \left[\frac{(\sqrt{15} + \sqrt{3})(\sqrt{15} - \sqrt{3})}{4 \times 3} - \sqrt{\frac{25 + 11\sqrt{5}}{40} \times \frac{15 + 3 - 2\sqrt{45}}{9}} \right] r_{ec}^{12} = \\
 &= \left[\frac{15 - 3}{12} - \sqrt{\frac{25 + 11\sqrt{5}}{40} \times \frac{18 - 2 \times 3\sqrt{5}}{9}} \right] r_{ec}^{12} = \\
 &= \left[1 - \sqrt{\frac{25 + 11\sqrt{5}}{40} \times \frac{18 - 6\sqrt{5}}{9}} \right] r_{ec}^{12} = \left(1 - \sqrt{\frac{(25 + 11\sqrt{5})(18 - 6\sqrt{5})}{40 \times 9}} \right) r_{ec}^{12} = \\
 &= \left(1 - \sqrt{\frac{(25 + 11\sqrt{5})(3 - \sqrt{5})}{60}} \right) r_{ec}^{12} = \left(1 - \sqrt{\frac{75 + 33\sqrt{5} - 25\sqrt{5} - 55}{60}} \right) r_{ec}^{12} = \\
 &= \left(1 - \sqrt{\frac{20 + 8\sqrt{5}}{60}} \right) r_{ec}^{12} = \left(1 - \sqrt{\frac{5 + 2\sqrt{5}}{15}} \right) r_{ec}^{12}
 \end{aligned}$$

de donde se obtiene finalmente

$$h_{10} = \left(1 - \sqrt{\frac{5 + 2\sqrt{5}}{15}} \right) r_{ec}^{12} \quad (6)$$

Para obtener la longitud de la arista " a_{10} " de las pirámides decaagonales, rectas, regulares, tendremos en cuenta que " a_{10} " es la hipotenusa de un triángulo rectángulo, uno de cuyos catetos es " h_{10} ", y el otro el radio " r_{c-10} " de la circunferencia circunscrita a la cara decaogonal del Arquimedeano IX. Así pues, será:

$$a_{10} = \sqrt{(h_{10})^2 + (r_{c-10})^2} \quad (7)$$

Date	Page	No.

b) -radio " r_{c-10} " de la circunferencia circunscrita al decágono regular de una cara, de lado $l_{10} = a_{IX}$. (ver fórmula (1) G.P. 1.400-47)

$$r_{c-10} = \frac{\sqrt{5} + 1}{2} a_{IX} \quad (8)$$

y siendo $a_{IX} = \frac{5\sqrt{3} - \sqrt{15}}{15} r_{ec}^{12}$ (ver fórmula (7) del modelo M-41.5, valor que sustituido en (8), nos da:

$$\begin{aligned} r_{c-10} &= \frac{\sqrt{5} + 1}{2} a_{IX} = \frac{\sqrt{5} + 1}{2} \times \frac{5\sqrt{3} - \sqrt{15}}{15} r_{ec}^{12} = \frac{(5+1) \cdot (5\sqrt{3} - \sqrt{15})}{30} r_{ec}^{12} = \\ &= \frac{5\sqrt{15} + 5\sqrt{3} - \sqrt{75} - \sqrt{15}}{30} r_{ec}^{12} = \frac{4\sqrt{15} + 5\sqrt{3} - 5\sqrt{3}}{30} r_{ec}^{12} = \frac{4\sqrt{15}}{30} r_{ec}^{12} = \\ &= \frac{2\sqrt{15}}{15} r_{ec}^{12} \quad (\text{valor igual al de la fórmula (9), mod. M-41.5}) \quad (9) \end{aligned}$$

Sustituyendo en (7) los valores (6) y (9), tendremos:

$$\begin{aligned} a_{10} &= \sqrt{(h_{10})^2 + (r_{c-10})^2} = \sqrt{\left[\left(1 - \sqrt{\frac{5+2\sqrt{5}}{15}} r_{ec}^{12} \right)^2 + \left(\frac{2\sqrt{15}}{15} r_{ec}^{12} \right)^2 \right]} = \\ &= \sqrt{\left(1 - \frac{5+2\sqrt{5}}{15} \right)^2 + \frac{60}{15^2} r_{ec}^{12}} = \sqrt{\left(1 - \sqrt{\frac{5+2\sqrt{5}}{15}} \right)^2 + \frac{4}{15} r_{ec}^{12}} = \\ &= \sqrt{1 + \frac{5+2\sqrt{5}}{15} - 2\sqrt{\frac{5+2\sqrt{5}}{15}} + \frac{4}{15} r_{ec}^{12}} = \\ &= \sqrt{\frac{15+5+4+2\sqrt{5}}{15} - 2\sqrt{\frac{5+2\sqrt{5}}{15}} r_{ec}^{12}} = \sqrt{\frac{24+2\sqrt{5}}{15} - 2\sqrt{\frac{5+2\sqrt{5}}{15}} r_{ec}^{12}} \end{aligned}$$

de donde se obtiene finalmente:



$$\alpha_{10} = \sqrt{\frac{24 + 2\sqrt{5}}{15}} - 2 \sqrt{\frac{5 + 2\sqrt{5}}{15}} r_{ec}^{12} \quad (10)$$

Las fórmulas (7) del modelo M-41.5 y (10) de este modelo nos permiten calcular los elementos necesarios para el desarrollo lateral de las pirámides rectas, decagonales, regulares, que se adicionan al modelo M-41.5, para obtener el que se estudia:

Para este caso particular de $r_{ec}^{12} = 110 \text{ mm}$, será:

$$\alpha_{IX} = \frac{5\sqrt{3} - \sqrt{15}}{15} r_{ec}^{12} \approx 0,319151380... \times 110 \approx 35,1 \text{ mm.}$$

$$\alpha_{10} = \sqrt{\frac{24 + 2\sqrt{5}}{15}} - 2 \sqrt{\frac{5 + 2\sqrt{5}}{15}} r_{ec}^{12} \approx 0,555737858... \times 110 \approx 61,1 \text{ mm}$$

Para la construcción de este modelo, se precisan las siguientes piezas:

A) MODELO CORPÓREO DEL ARQUIMEDIANO IX, OBTENIDO POR TRUNCADURA DE VÉRTICES DE UN DODECAEDRO REGULAR CONVEXO, A LA DISTANCIA $x = \frac{1}{10} (5 - \sqrt{5}) a_{12}$

Piezas 1 al 11, iguales a las del modelo M-41.5

B) PIRÁMIDES RECTAS, DECAGONALES, REGULARES, DE CARAS YACIADAS, QUE SE ADICIONAN AL MODELO M-41.5

PIEZA N° 12 DESARROLLO LATERAL DE LAS PIRÁMIDES ADICIONADAS 12 unidades.

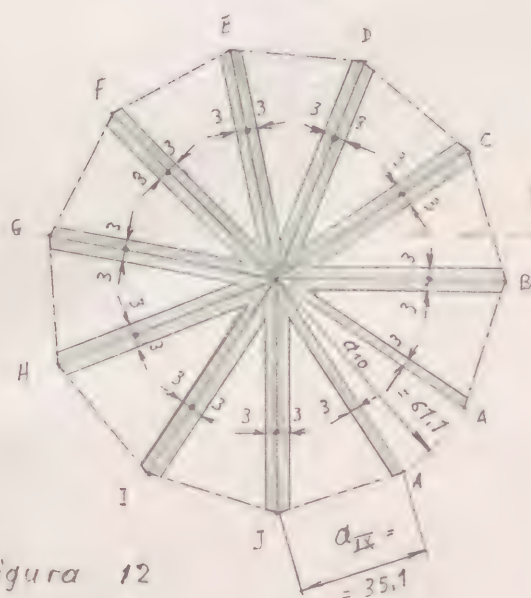


Figura 12

La forma y dimensiones se detallan en la figura 12.

$$\overline{AD} = \overline{BC} = \overline{CD} = \overline{DE} = \overline{EF} = \overline{FG} = \overline{GH} = \overline{HI} = \overline{IJ} = \overline{JA} = 35.1 \text{ mm} = a_{II}.$$

PIEZA N° 12 12 (u)

Figura 12

PIEZA N° 13 UNIONES ADISTAS 120 unidades

La forma y dimensiones se detallan en la figura 13

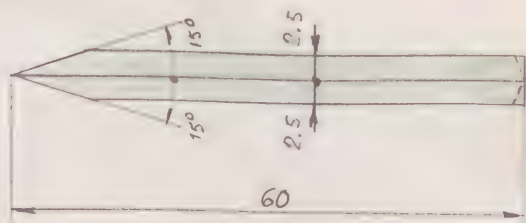


Figura 11

PIEZA N° 13 120 (u)

Figura 11



MODELO M - 41.6

Patrones



MODELO CORPÓREO DEL "ARQUIMEDIANO IX" OB-
 TENIDO POR TRUNCADURA DE VÉRTICES DE UN ICO-
 SAEDRO REGULAR CONVEXO, DE ARISTA " a_{20} ", AL
 TOMAR SOBRE CADA ARISTA, Y DESDE SU VÉRTICE, LA
 DISTANCIA $x = \frac{15 - \sqrt{5}}{22} a_{20}$. — EL ARQUIMEDIANO OBTENIDO,
 SE CONSTRUIRÁ CON LAS CARAS MACIZAS, Y EL ICO-
 SAEDRO GENERADOR, CON LAS CADAS VACIADAS EN LOS
 VÉRTICES TRUNCADOS.

Radio de la esfera circunscrita al icosaedro
 generador:

$$r_{ec}^{20} = 110 \text{ m m.}$$



ENUNCIADO:

Construir el modelo compuesto del ARQUIMEDIANO TX, obtenido por truncadura de vértices de un icosaedro regular convexo, de arista " a_{10} ", al tomar sobre cada arista, y desde su vértice, la distancia $x =$.-
El arquimediano obtenido, se construye con las caras macizas, y el icosaedro regular convexo generador, con las caras vaciadas en los vértices truncados.

DATO ÚNICO DE ESTE EJERCICIO: r_{ec}^{20} = Radio de la esfera circunscrita al icosaedro generador:

$$r_{ec}^{20} = 110 \text{ mm}$$

1) CONSIDERACIONES PREVIAS

El proceso geométrico denominado TRUNCADURA DE VÉRTICES de los poliedros regulares convexos, en virtud del cual se obtienen varios de los POLIEDROS SEMIREGULARES CONVEXOS, denominados también POLIEDROS ARQUIMEDIANOS, e igualmente pueden obtenerse también por dicho proceso los propios POLIEDROS REGULARES CONVEXOS, fue estudiado sistemáticamente y aplicado al TETRAEDRO REGULAR CONVEXO en los ejercicios M-39.1; M-39.5; M-39.7 y M-6.2.



En dicho estudio se aprecia que las distintas posiciones del plano secante dan lugar a la obtención de un poliedro núcleo, de muy variadas formas, dependientes de la posición del plano secante con respecto al tetraedro generador. La posición de dicho plano secante se fija por la condición de pasar por puntos situados a la distancia variable " x ", sobre las aristas que concurren en cada vértice del mencionado tetraedro generador.

Entre las diversas posiciones del plano secante, existen algunas notables en las que el poliedro núcleo resultante, es un POLIEDRO ARQUIMEDIANO, o también un POLIEDRO REGULAR CONVEXO.

Dichas posiciones notables, estudiadas en el TETRAEDRO REGULAR CONVEXO, se detallan resumidamente en el ejercicio M-40.5. El proceso de obtención, aplicado en el tetraedro regular convexo, puede hacerse extendiendo a los restantes poliedros regulares (escaedro, octaedro, dodecaedro e icosaedro), obteniéndose también de ellos un poliedro núcleo, que puede ser POLIEDRO ARQUIMEDIANO, o también POLIEDRO REGULAR CONVEXO.

El modelo que estudiamos en este ejercicio, puede obtenerse del modelo M-36.7, en el cual el poliedro núcleo obtenido por la TRUNCADURA DE VÉRTICES de un ICOSAEDRO REGULAR CONVEXO, a la distancia $x = \frac{1}{2} a_{20}$, es el ARQUIMEDIANO IV, de arista $a_{IV} = \frac{1}{2} a_{20}$



Por consiguiente, si suponemos que el plano secante π , varía de la posición $x = \frac{1}{2} a_{20}$, alejándose progresivamente del vértice correspondiente, dicho plano secante dará lugar a la formación de un poliedro núcleo irregular de las siguientes características geométricas:

- a) El plano secante produce en las caras del icosaedro generados triángulos equiláteros, cuyo lado van disminuyendo de longitud a medida que crece la distancia " $x > \frac{1}{2} a_{20}$ ".

En efecto, sea (figura 1), ABC una cara triangular re-

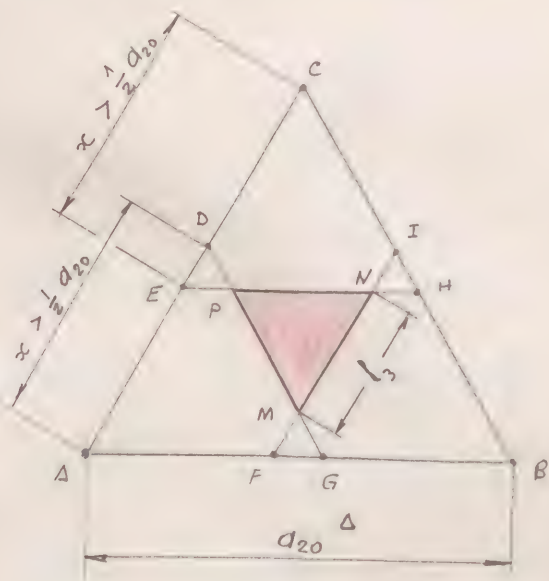


Figura 1

gular del icosaedro generador, de arista " a_{20} "; tomando, a partir de los vértices, distancias $x > \frac{1}{2} a_{20}$, obtendremos los puntos D, E, F, G, H, I, sobre los lados del triángulo ABC, que nos sitúan las rectas (o trasas) de intersección de los tres planos secantes con la considerada cara ABC.

Las intersecciones de dichas trasas dan lugar a la formación del triángulo equilátero MNP, cara del poliedro núcleo de lado $\overline{MN} = l_3$.

De la figura 1, se deducen las siguientes relaciones métricas:

$$\overline{AE} = \overline{DC} = \overline{AC} - \overline{EC} = a_{20} - x \quad \text{y también de ésta:}$$

$$\overline{ED} = \overline{EC} - \overline{DC} = x - (a_{20} - x) = 2x - a_{20} \quad \text{más siendo}$$

$$\overline{MI} = \overline{DC} \quad \text{y} \quad \overline{NI} = \overline{ED} \quad \text{y también:}$$

$$\overline{MN} = \overline{MI} - \overline{NI} = \overline{DC} - \overline{ED} = \overline{EC} - \overline{ED} - \overline{ED} = \overline{EC} - 2\overline{ED},$$

por lo que más:

$$\overline{MN} = l_3 = x - 2 \times (2x - a_{20}) = x - 4x + 2a_{20} = 2a_{20} - 3x$$

de donde se obtiene finalmente:

$$l_3 = 2a_{20} - 3x \quad (1)$$

fórmula que nos determina la longitud del lado " l_3 " del triángulo equilátero MNP , en función de la distancia " x " (variable) de la truncadura de vértices del icosaedro generador, y de la arista a_{20} de éste.

b) Por otra parte, el plano secante de dicha truncadura, produce en los ángulos sólidos de los vértices del icosaedro generador, pentágonos de lado $EH = x$ (ver figura 1) sobre los que se forman decaígonos equiángulos $PNQRSTUVXY$ (figura 2) cuyos lados alternativos \overline{PN} , \overline{QE} , \overline{ST} , \overline{UV} , \overline{XY} , son coincidentes con los lados de dichos pentágonos.

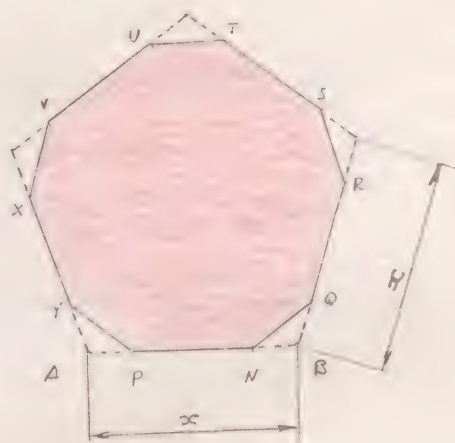


Figura 2

Los veinte triángulos equiláteros PNM (figura 1) y los doce decágonos equiláteros P, N, Q, ... R, S, T, U, V, XY (figura 2), con los contornos de las caras que limitan al poliedro resultante que se obtiene por truncadura de vértices del icosaedro regular generador, a la distancia " $x > \frac{1}{2} a_{20}$ ".

El decágono PQRSTUVXY, no es, en general, un decágono regular, salvo en una posición " x " del plano secante en que esto se produzca.

Dicha posición será aquel valor de " x " en la que el plano secante produzca en el plano de las caras triángulos PNM (fig. 1) regulares (siempre ocurre esto para cualquier valor de " x ") y al mismo tiempo los decágonos equiláteros PQRSTUVXY (figura 2) sean a su vez regulares. En estas condiciones habrán de ser iguales las longitudes " l_3 " y " l_{10} " de las respectivas secciones triangulares y decagonales ambas regulares.

En la fórmula (1), hemos ya deducido la magnitud del lado " l_3 " del triángulo PNM (fig. 1), en función de " x " y de " a_{20} ". Hagamos lo mismo con el decágono (fig. 2), e igualemos seguidamente los resultados para obtener ese valor particular de " x " que nos resuelva el problema planteado.



Sea (fig. 2) $\overline{PN} = l_{10}$ = (lado del decágono) y $AB = x$ = (lado del pentágono que se obtiene por la truncadura de vértices del icosaedro generados a la distancia "x")

La relación entre l_{10} y x ha sido deducida en la fórmula (5) del ejercicio M-41.5. Su valor es:

$$l_{10} = \frac{\sqrt{5}}{5} x \quad (2)$$

Igualando los valores (1) y (2), tendremos la ecuación

$$2a_{20} - 3x = \frac{\sqrt{5}}{5} x \quad \text{en la que despejaremos "x".}$$

$$2a_{20} - 3x = \frac{\sqrt{5}}{5} x ; \quad 2a_{20} = \frac{\sqrt{5}}{5} x + 3x = \left(\frac{\sqrt{5}}{5} + 3\right)x = \frac{15 + \sqrt{5}}{5} x ;$$

$$\text{de donde } \boxed{x = 2a_{20} : \frac{15 + \sqrt{5}}{5}} = \frac{10}{15 + \sqrt{5}} a_{20} = \frac{10(15 - \sqrt{5})}{15^2 - 5} a_{20} =$$

$$= \frac{10(15 - \sqrt{5})}{220} a_{20} = \boxed{\frac{15 - \sqrt{5}}{22} a_{20}} \quad \text{de donde se obtiene finalmente}$$

$$\boxed{x = \frac{15 - \sqrt{5}}{22} a_{20}} \quad (3)$$

La ecuación (3) nos demuestra que la truncadura de vértices de un icosaedro regular convexo de arista " a_{20} ", a la distancia " $x = \frac{15 - \sqrt{5}}{22} a_{20}$ ", da lugar a la formación de un poliedro núcleo, semiregular, convexo, compuesto de veinte caras triangulares regulares (ver características a) y de diez caras pentagonales regulares (ver

características b), o sea que dicho poliedro niches es un "ARQUIMEDIANO IX" estudiado en el ejercicio G.E. n°...
= Lámina 41.

Las características geométricas del Arquimédiano IX, son las siguientes:

- | | |
|--|------------------|
| 1) Número de caras triangulares | $C_3 = 20$ |
| 2) Número de caras decagonales | $C_{10} = 12$ |
| 3) Número de vértices = $\frac{20 \times 3 + 12 \times 10}{3}$ | $V = 60$ |
| 4) Número de aristas = $\frac{20 \times 3 + 12 \times 10}{2}$ | $A = 90$ |
| 5) Número de caras en cada vértice = | $1C_3 + 2C_{10}$ |

La longitud de la arista " $a_{IX} = l_3 = l_{10}$ ", se obtiene sustituyendo en (1) o en (2) el valor de (3).- Así pues, tendremos:

$$\boxed{a_{IX}} = 2 a_{20} - 3x = 2 a_{20} - 3 \times \frac{15 - \sqrt{5}}{22} a_{20} = \left(2 - \frac{3(15 - \sqrt{5})}{22} \right) a_{20} =$$

$$= \frac{44 - 45 + 3\sqrt{5}}{22} a_{20} = \boxed{\frac{3\sqrt{5} - 1}{22} a_{20}} \quad (4)$$

Fórmula que nos da la magnitud de la arista " a_{IX} " del Arquimédiano IX generado, en función de la arista " a_{20} " del icosaedro generador.



Como resumen de lo expuesto anteriormente establecemos la siguiente proposición que justifica el enunciado dado en este modelo

El poliedro obtenido por la TRUNCADURA DE VÉRTICES DE UN ICOSAEDRO REGULAR CONVEXO, a la distancia $x = \frac{15 - \sqrt{5}}{22} a_{20}$, es un ARQUIMEDIANO IX, de arista igual a $a_{IX} = \frac{3\sqrt{5} - 1}{22} a_{20}$

2) CÁLCULO ANALÍTICO DE LONGITUDES (en función de r_{ec}^{20})

2.1) Arista a_{20} del icosaedro regular convexo generador.

Se obtiene de la fórmula $r_{ec}^{20} = \frac{\sqrt{10 + 2\sqrt{5}}}{4} a_{20}$ deducida en el ejercicio G.E. n° --- Lámina 5. Despejando en ella " a_{20} ", tendremos:

$$\begin{aligned} a_{20} &= r_{ec}^{20} \cdot \frac{\sqrt{10 + 2\sqrt{5}}}{4} = \frac{4}{\sqrt{10 + 2\sqrt{5}}} r_{ec}^{20} = \frac{4 \sqrt{10 + 2\sqrt{5}}}{10 + 2\sqrt{5}} r_{ec}^{20} = \\ &= \frac{2 \sqrt{10 + 2\sqrt{5}}}{5 + \sqrt{5}} r_{ec}^{20} = 2 \sqrt{\frac{2(5 + \sqrt{5})}{(5 + \sqrt{5})^2}} r_{ec}^{20} = 2 \sqrt{\frac{2}{5 + \sqrt{5}}} r_{ec}^{20} = 2 \sqrt{\frac{2(5 - \sqrt{5})}{20}} r_{ec}^{20} \\ &= \left[2 \sqrt{\frac{5 - \sqrt{5}}{10}} r_{ec}^{20} \right] \quad (5) \end{aligned}$$



$$= \frac{1}{11} \sqrt{\frac{(5-\sqrt{5})(230-30\sqrt{5})}{10}} r_{ec}^{20} = \frac{1}{11} \sqrt{(5-\sqrt{5})(23-3\sqrt{5})} r_{ec}^{20} =$$

$$= \frac{1}{11} \sqrt{115 - 23\sqrt{5} - 15\sqrt{5} + 15} r_{ec}^{20} = \frac{1}{11} \sqrt{130 - 38\sqrt{5}} r_{ec}^{20} =$$

$$= \boxed{\frac{1}{11} \sqrt{2 \cdot (65 - 19\sqrt{5})} r_{ec}^{20}} \quad (7)$$

2.4) Radio " r_{cc}^{10} " de la circunferencia circunscrita al decágono regular de una cara " C_{10} " del Arquimediano IX, de arista " $a_{IX} = \frac{1}{11} \sqrt{\frac{2(65-19\sqrt{5})}{5}} r_{ec}^{20}$ ".

Se obtiene de la fórmula " $r_{cc}^{10} = \frac{\sqrt{5}+1}{2} l_{10}$ ", obtenida en el ejercicio G.P. 1.400-47 (7), haciendo $l_{10} = a_{IX} = \frac{1}{11} \sqrt{\frac{2(65-19\sqrt{5})}{5}} r_{ec}^{20}$

$$\boxed{r_{cc}^{10}} = \frac{\sqrt{5}+1}{2} l_{10} = \frac{\sqrt{5}+1}{2} \times \frac{1}{11} \sqrt{\frac{2(65-19\sqrt{5})}{5}} r_{ec}^{20} = \frac{1}{22} \sqrt{\frac{2 \cdot (65-19\sqrt{5})(\sqrt{5}+1)^2}{5}} r_{ec}^{20}$$

$$= \frac{1}{22} \sqrt{\frac{2 \cdot (65-19\sqrt{5})(6+2\sqrt{5})}{5}} r_{ec}^{20} = \frac{1}{22} \sqrt{\frac{2 \times 2 \times (65-19\sqrt{5})(3+\sqrt{5})}{5}} r_{ec}^{20} =$$

$$= \frac{2}{22} \sqrt{\frac{195 - 57\sqrt{5} + 65\sqrt{5} - 95}{5}} r_{ec}^{20} = \frac{1}{11} \sqrt{\frac{100 + 8\sqrt{5}}{5}} r_{ec}^{20} =$$

$$= \frac{1}{11} \sqrt{\frac{4 \cdot (25 + 2\sqrt{5})}{5}} r_{ec}^{20} = \boxed{\frac{2}{11} \sqrt{\frac{25 + 2\sqrt{5}}{5}} r_{ec}^{20}} \quad (8)$$

2.5) Radio " r_{ci}^{IX-10} " de la esfera tangente a las caras decagonales del ARQUIMEDIANO IX generado

(sigue)



Dicho radio se obtiene, en función de d_{IX} , en el ejercicio G.E. n° ---- Lámina 41. Su valor es " $r_{ei}^{IX-10} = \sqrt{\frac{25+11\sqrt{5}}{8}} d_{IX}$ ".
Sustituyendo en ella d_{IX} por su valor obtenido en (6), tendremos

$$\begin{aligned} r_{ei}^{IX-10} &= \sqrt{\frac{25+11\sqrt{5}}{8}} \times \frac{1}{11} \sqrt{\frac{3 \times (65-19\sqrt{5})}{5}} r_{ec}^{20} = \frac{1}{11} \sqrt{\frac{25+11\sqrt{5}}{8} \times \frac{2 \times (65-19\sqrt{5})}{5}} r_{ec}^{20} \\ &= \frac{1}{11} \sqrt{\frac{(25+11\sqrt{5})(65-19\sqrt{5})}{20}} r_{ec}^{20} = \frac{1}{11} \sqrt{\frac{1625 + 715\sqrt{5} - 475\sqrt{5} - 1045}{20}} r_{ec}^{20} \\ &= \frac{1}{11} \sqrt{\frac{580 + 240\sqrt{5}}{20}} r_{ec}^{20} = \frac{1}{11} \sqrt{29 + 12\sqrt{5}} r_{ec}^{20} = \left[\begin{array}{l} \text{Por ser} \\ 29^2 = 841 \\ (12\sqrt{5})^2 = -720 \\ 121 = 11^2 \end{array} \right] \\ &= \frac{1}{11} \left(\sqrt{\frac{29+11}{2}} + \sqrt{\frac{29-11}{2}} \right) r_{ec}^{20} = \frac{1}{11} (\sqrt{20} + \sqrt{9}) r_{ec}^{20} = \frac{2\sqrt{5}+3}{11} r_{ec}^{20} \quad (9) \end{aligned}$$

2.6) Altura " h_{10} " de las pirámides auxiliares, rectas, decagonales regulares.

Se obtiene como diferencia del radio " r_{ec}^{20} " de la esfera circunscrita al icosaedro generador (dato del ejercicio), y del radio r_{ei}^{IX-10} (fórmula 9).- Así pues, será:

$$\begin{aligned} h_{10} &= r_{ec}^{20} - \frac{2\sqrt{5}+3}{11} r_{ec}^{20} = \left(1 - \frac{2\sqrt{5}+3}{11} \right) r_{ec}^{20} = \frac{11-2\sqrt{5}-3}{11} r_{ec}^{20} \\ &= \frac{8-2\sqrt{5}}{11} r_{ec}^{20} \quad (10) \end{aligned}$$



2.7) Arista " a'_{10} " de las pirámides auxiliares, rectas, decagonales.

su valor es el de la hipotenusa de un triángulo rectángulo, siendo sus catetos: Uno, la altura " $h_{10} = \frac{8-2\sqrt{5}}{11} r_{ec}^{20}$ ", (fórmula (10)), y el otro, el radio " $r_{ec}^{10} = \frac{2}{11} \sqrt{\frac{25+2\sqrt{5}}{5}} r_{ec}^{20}$ " (ver fórmula (8)).- Así pues, sera:

$$\begin{aligned}
 a'_{10} &= \sqrt{(h_{10})^2 + (r_{ec}^{10})^2} = \sqrt{\left(\frac{8-2\sqrt{5}}{11} r_{ec}^{20}\right)^2 + \left(\frac{2}{11} \sqrt{\frac{25+2\sqrt{5}}{5}} r_{ec}^{20}\right)^2} = \\
 &= \sqrt{\left(\frac{8-2\sqrt{5}}{11}\right)^2 + \left(\frac{2}{11} \sqrt{\frac{25+2\sqrt{5}}{5}}\right)^2} r_{ec}^{20} = \frac{1}{11} \sqrt{\frac{5 \times (8-2\sqrt{5})^2 + 4 \times (25+2\sqrt{5})}{5}} r_{ec}^{20} = \\
 &= \frac{1}{11} \sqrt{(8-2\sqrt{5})^2 + \frac{4 \times (25+2\sqrt{5})}{5}} r_{ec}^{20} = \frac{1}{11} \sqrt{\frac{5 \times (8-2\sqrt{5})^2 + 4 \times (25+2\sqrt{5})}{5}} r_{ec}^{20} = \\
 &= \frac{1}{11} \sqrt{\frac{5 \times (64 + 20 - 32\sqrt{5}) + 100 + 8\sqrt{5}}{5}} r_{ec}^{20} = \frac{1}{11} \sqrt{\frac{5 \times (84 - 32\sqrt{5}) + 100 + 8\sqrt{5}}{5}} r_{ec}^{20} = \\
 &= \frac{1}{11} \sqrt{\frac{420 - 160\sqrt{5} + 100 + 8\sqrt{5}}{5}} r_{ec}^{20} = \frac{1}{11} \sqrt{\frac{520 - 152\sqrt{5}}{5}} r_{ec}^{20} = \\
 &= \frac{1}{11} \sqrt{\frac{8 \times (65 - 19\sqrt{5})}{5}} r_{ec}^{20} = \left[\frac{2}{11} \sqrt{\frac{2 \times (65 - 19\sqrt{5})}{5}} r_{ec}^{20} \right] \quad (11)
 \end{aligned}$$

Las magnitudes necesarias para la construcción de este modelo, se deducen de las fórmulas (5), (6), (11) y (8).

Para $r_{ec}^{20} = 110$ mm, sus valores numéricos son:



a) Arista "a₂₀" (fórmula 5)

$$a_{20} = 2 \sqrt{\frac{5-15}{10}} r_{ec}^{20} \approx 1,05 \ 14 \ 62 \ 22 \ 4... \times 110 \approx 115,7 \text{ mm}$$

b) Arista "a'₁₀" (fórmula 11)

$$a'_{10} = \frac{2}{11} \sqrt{\frac{2 \times (65 - 19\sqrt{5})}{5}} r_{ec}^{20} = 0,54 \ 56 \ 32 \ 80 \ 0... \times 110 = 60,0 \text{ mm}$$

c) Arista "a_{IX}" (fórmula 8)

$$a_{IX} = \frac{1}{11} \sqrt{\frac{2 \times (65 - 19\sqrt{5})}{5}} r_{ec}^{20} \approx 0,27 \ 28 \ 26 \ 40 \ 0... \times 110 \approx 30,0 \text{ mm}$$

d) Radio "r_{cc}¹⁰" (fórmula 8)

$$r_{cc}^{10} = \frac{2}{11} \sqrt{\frac{25 + 2\sqrt{5}}{5}} r_{ec}^{20} \approx 0,44 \ 14 \ 26 \ 20 \ 8... \times 110 \approx 48,6 \text{ mm}$$

NOTA.- Comparando los resultados anteriores, obsérvese la siguiente relación: " $a'_{10} = 2 a_{IX}$ "

3). CONSTRUCCIÓN DEL MODELO CORPÓREO

Para la construcción del presente modelo, son necesarias las siguientes piezas en

A) ICOSAEDRO REGULAR CONVEXO GENERADOR, DE CARAS VACIADAS.



PIEZA N° 1 CARAS SUPERFICIALES TRIANGULARES REGULARES 20 unidades

Iguales a la pieza n° 1 del modelo M-5.102

PIEZA N° 2 UNIONES ARISTAS 30 unidades

Iguales a la pieza n° 2 del modelo M-5.102

B) ARQUIMEDIANO IX GENERADO, DE CARAS MACIZAS

PIEZA N° 3 CARAS SUPERFICIALES TRIANGULARES REGULARES. 20 unidades

La forma y dimensiones se detallan en la figura 3.

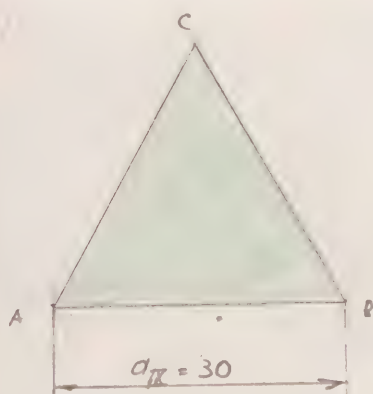


Figura 3

PIEZA N° 3

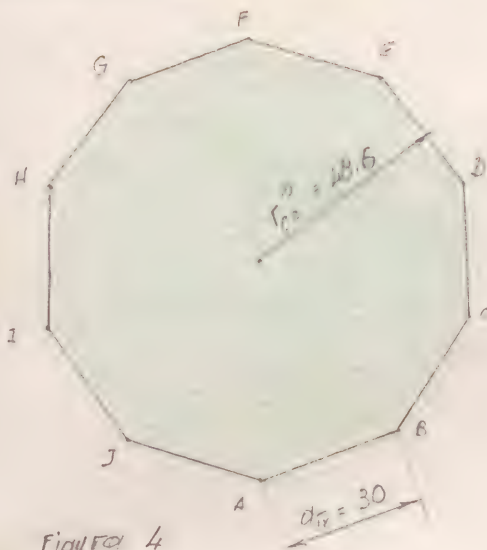
20 (u)

Figura 3

PIEZA N° 4 CARAS SUPERFICIALES DECAAGONALES REGULARES 12 unidades

La forma y dimensiones se detallan en la figura 4





$$AB = BC = CD = DE = EF = FG = GH = HI =$$

$$= IJ = JA = 30 \text{ mm}$$

$$r_c^{10} = 1,618 \times 30 \approx 48,5 \text{ mm}$$

PIEZA N° 4 12 unidades

Figura 4

PIEZA N° 5 REFUERZO NORMAL INTERIOR DE LAS CARAS SUPERFICIALES
TRIANGULARES REGULARES 20 unidades

La forma y dimensiones se deducen de las del triángulo ABC de la figura 3, y se detallan en la figura 5

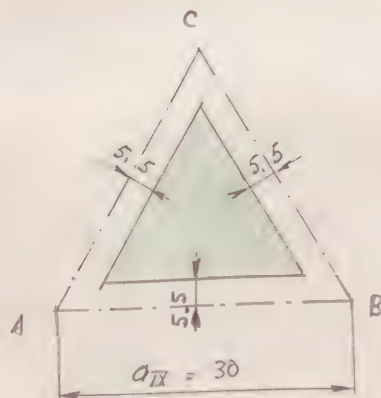


Figura 5

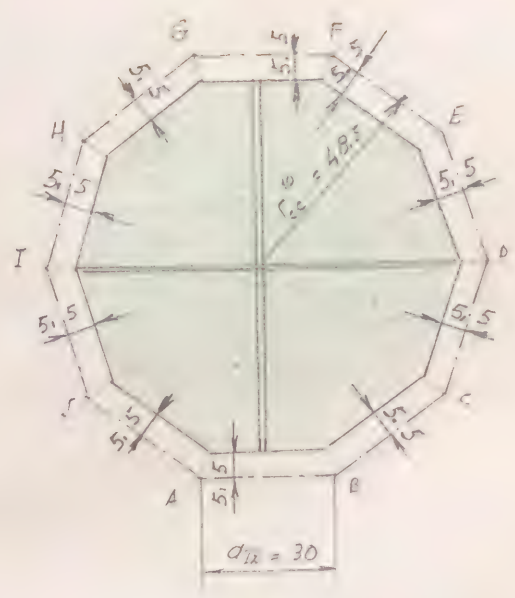
PIEZA N° 5 20 (u)

Figura 5

PIEZA N° 6 REFUERZO NORMAL INTERIOR DE LAS CARAS SUPERFICIALES
DECAGONALES REGULARES 12 unidades

La forma y dimensiones se deducen de las del decágono ABC... IJA de la figura n° 4, y se detallan en la figura 6





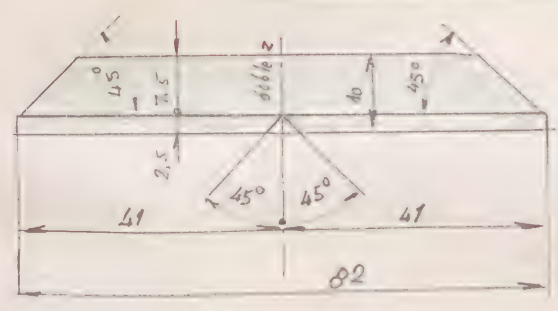
PIEZA N° 6

12 (u)

Figura 6

Figura 6

PIEZA N° 7 REFUERZO TRANSVERSAL INTERIOR DE LAS CADAS
SUPERFICIALES REGULARES 48 unidades



La forma y dimensiones se detallan en la figura 7

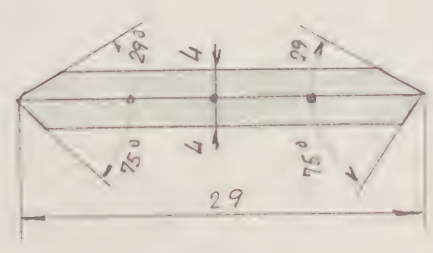
PIEZA N° 7 48 (u)

Figura 7

Figura 7

PIEZA N° 8 UNIONES ARISTAS 90 unidades

La forma y dimensiones se detallan en la figura 8



PIEZA N° 8

90 (u)

Figura 8

Figura 8





C) PIRÁMIDES AUXILIARES REGULARES, DECA GONALES, DE CARAS VACIADAS

PIEZA N° 11 DESARROLLO LATERAL 12 unidades

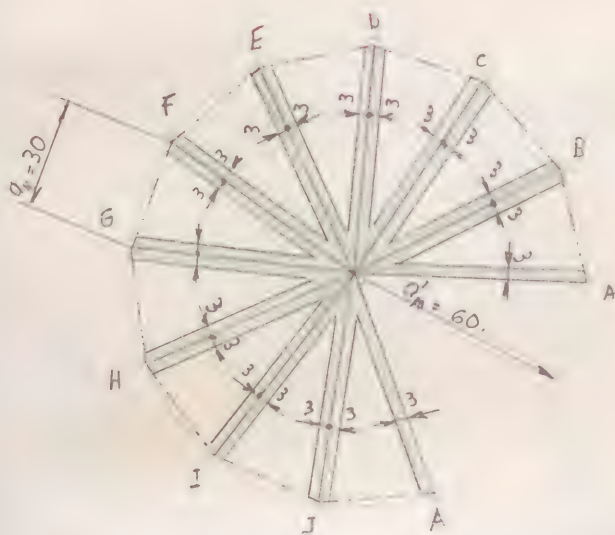


Figura 11

La forma y dimensiones se detallan en la figura 11

$$AB = BC = CD = \dots = IJ = JA =$$

$$a'_{10} = 30 \text{ m.m.}$$

$$r'_{10} = 60 \text{ m.m.}$$

PIEZA N° 11 12 (u)

Figura 11

PIEZA N° 12 UNIONES ARISTAS 120 unidades

La forma y dimensiones se detallan en la figura 12

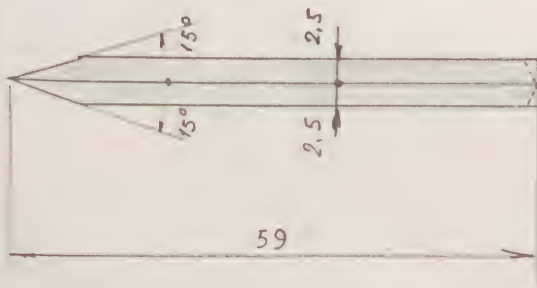


Figura 12

PIEZA N° 12

120 (u)

Figura 12



MODELO M-41,7

Patrones



valores comprobados

$$d_c = \frac{1}{11} \sqrt{2(65 - 19\sqrt{5})} r_{ec}^{20} \approx 0,610036016... \times 110 \approx 67,1 \text{ mm}$$

$$d_{20} = 2 \sqrt{\frac{5 - \sqrt{5}}{10}} r_{ec}^{20} \approx 1,051462224... \times 110 \approx 115,7 \text{ mm}$$

$$d_{1x} = \frac{1}{11} \sqrt{\frac{2(65 - 19\sqrt{5})}{5}} r_{ec}^{20} \approx 0,272816400 \times 110 \approx 30,0 \text{ mm}$$

$$r_{ec}^{10} = \frac{2}{11} \sqrt{\frac{25 + 2\sqrt{5}}{5}} r_{ec}^{20} \approx 0,441426208... \times 110 \approx 48,6 \text{ mm}$$

$$r_{ei}^{1x-10} = \frac{2\sqrt{5} + 3}{11} r_{ec}^{20} \approx 0,679285087... \times 110 \approx 74,7 \text{ mm}$$

$$h_{10} = \frac{8 - 2\sqrt{5}}{11} r_{ec}^{20} \approx 0,320714913... \times 110 \approx 35,3 \text{ mm}$$

$$d'_{10} = \sqrt{35,3^2 + 48,6^2} = 60,07$$

$$d'_{10} = \frac{2}{11} \times \sqrt{\frac{2 \times (65 - 19\sqrt{5})}{5}} r_{ec}^{20} \approx 0,545632800... \times 110 \approx 60,02 \text{ mm} = 60,0 \text{ mm}$$

(ver dibujo al dorso)

Q

$$9.87 = 2.2$$

$$1.10 = 35.3$$

Q

$$1.109 = 6.01$$

10

$$d_{12} = 30$$

EV 100

MODELO CORPÓREO DEL POLIEDRO CONVEXO DE
CARAS MACIZAS " ARQUIMEDIANO \overline{X} ", FOR-
MADO POR SEIS CARAS CUADRADAS (C_4) Y OCHO CA-
RAS EXAGONALES REGULARES (C_6), CONCU-
RIENDO EN CADA VÉRTICE $1 C_4 + 2 C_6$.

Radio de la esfera circunscrita:

$$r' = 110 \text{ m m.}$$

ENUNCIADO:

Construir el modelo corpóreo del poliedro convexo de caras onácicas "ARQUIMEDIANO X" formado por seis caras cuadradas (C_4) y ocho caras hexagonales (C_6), concuorriendo en cada vértice $1 C_4 + 2 C_6$.

Este poliedro ha sido estudiado analíticamente en el ejercicio G.E. n.º --- Lámina 42, y representado en sus vistas principal, superior y lateral izquierda en la mencionada Lámina 42, a escala 1:1, con el radio r_{ec}^x de su esfera circunscrita, de $r_{ec}^x = 55 \text{ mm}$.

DATO ÚNICO DE ESTE EJERCICIO: Radio de la esfera circunscrita

$$r_{ec}^x = 110 \text{ mm}$$

Las características geométricas del ARQUIMEDIANO X, son las siguientes:

Número de caras cuadradas $C_4 = 6$

Número de caras hexagonales regulares $C_6 = 8$

Número de vértices = $\frac{6 \times 4 + 8 \times 6}{3} = \underline{\hspace{2cm}}$ $V = 24$

Número de aristas = $\frac{6 \times 4 + 8 \times 6}{2} = \underline{\hspace{2cm}}$ $A = 36$

Número de caras de caras de un

ángulo sólido = $\underline{\hspace{2cm}}$ $1 C_4 + 2 C_6$



Para poder obtener el desarrollo de este poliedro, calculemos previamente la longitud " a_X " de la arista del mismo, en función del radio " r_{ec}^X " de su esfera circunscrita. Para ello utilizaremos la fórmula: " $r_{ec}^X = \frac{\sqrt{10}}{2} a_X$ " deducida en el mencionado ejercicio G.E. n°... - Lámina 42, que nos da el valor del radio de la esfera circunscrita en función de la arista a_X del Arquimediano X. Despejando en ella a_X , tendremos:

$$\boxed{a_X} = r_{ec}^X : \frac{\sqrt{10}}{2} = \frac{2}{\sqrt{10}} r_{ec}^X = \frac{2\sqrt{10}}{10} r_{ec}^X = \boxed{\frac{\sqrt{10}}{5} r_{ec}^X} \quad (1)$$

Para el caso estudiado, tendremos ($r_{ec}^X = 110 \text{ mm}$)

$$\boxed{a_X} = \frac{\sqrt{10}}{5} \times 110 \approx 0,632455532... \times 110 \approx \boxed{69,6 \text{ mm}}$$

Esta sola magnitud nos permite la construcción del poliedro estudiado, para lo cual son necesarias las siguientes piezas:

PIEZA N° 1 CARAS LATERALES CUADRADAS

6 unidades

La forma y dimensiones se detallan en la figura 1

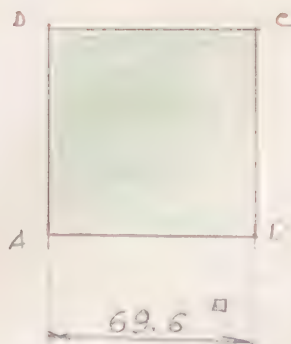


Figura 1

PIEZA N° 1 6 (u)

Figura 1

PIEZA N° 2 CARAS LATERALES EXAGONALES, REGULARES

8 unidades

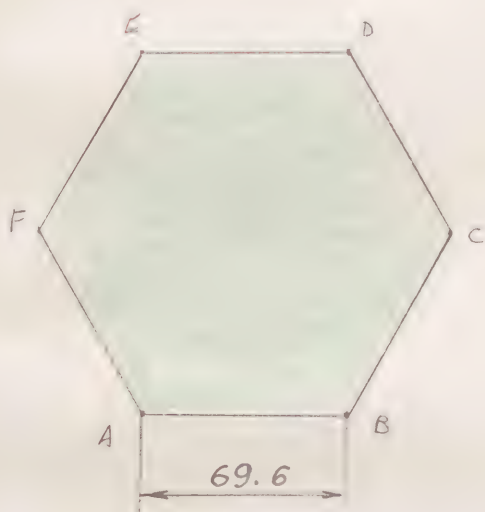


Figura 2

La forma y dimensiones se detallan en la figura 2

PIEZA N° 2 8 (u)

Figura 2

PIEZA N° 3 REFUERZO NORMAL INTERIOR DE LAS CARAS CUADRADAS

6 unidades

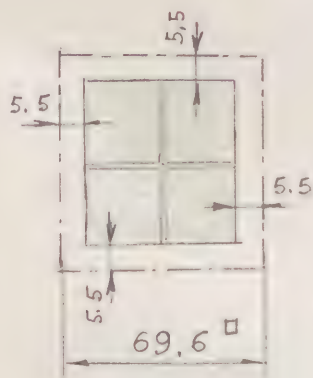


Figura 3

La forma y dimensiones se deducen de las del cuadrado ABCD de la figura 1, y se detallan en la figura 3

PIEZA N° 3 6 (u)

Figura 3

PIEZA N° 4REFUERZO NORMAL INTERIOR DE LAS CARAS EXAGONALES REGULARES8 unidades

Figura 4

La forma y dimensiones se deducen de las del escáfono regular ABCDEF de la figura 2, y se detallan en la figura 4

PIEZA N° 48 (u)

Figura 4

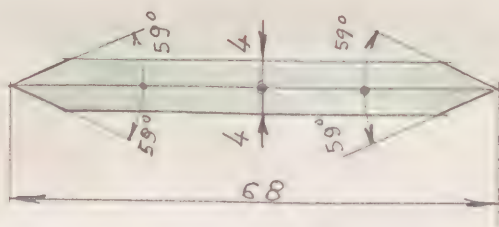
PIEZA N° 5UNIONES DE ARISTAS DE DOS CARAS EXAGONALES12 unidades

Figura 5

La forma y dimensiones se detallan en la figura 5

PIEZA N° 512 (u)

Figura 5

PIEZA N° 6UNIONES DE ARISTAS DE UNA CARA EXAGONAL Y OTRA CUADRADA24 unidades

La forma y dimensiones se detallan en la figura 6

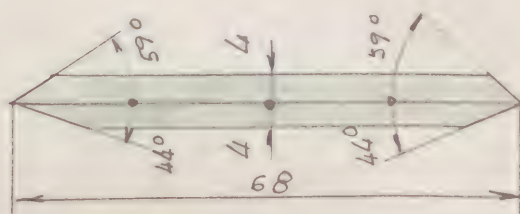


Figura 6

PIEZA N° 624 (u)

Figura 6

PIEZA N° 7 REFUERZO TRANSVERSAL INTERIOR DE LAS CARAS CUADRADAS 24 unidades

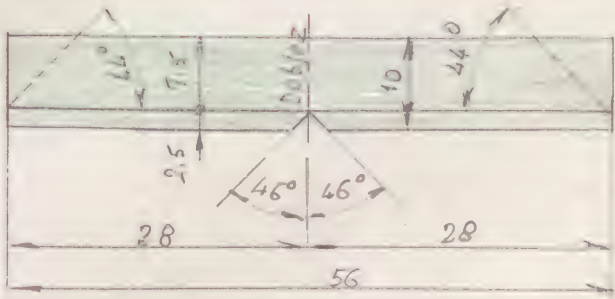


Figura 7

La forma y dimensiones se detallan en la figura 7; en colocación en la figura 3

PIEZA N° 7 24 (u)

Figura 7

PIEZA N° 8 REFUERZO TRANSVERSAL INTERIOR DE LAS CARAS EXAGONALES REGULARES 24 unidades

La forma y dimensiones se detallan en la figura 8; su colocación en la figura 4,

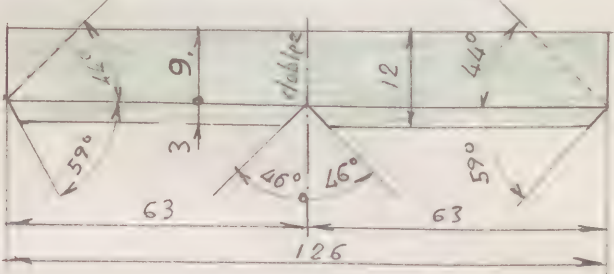


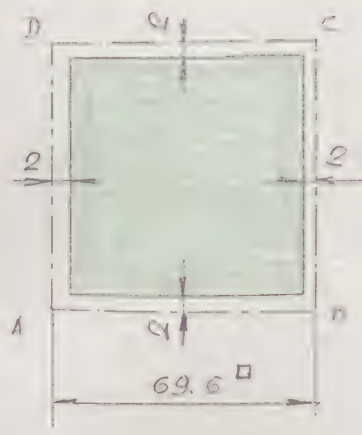
Figura 8

PIEZA N° 8 24 (u)

Figura 8

PIEZA N° 9 FORRO COLOREADO EN CARAS CUADRADAS 6 unidades

La forma y dimensiones se detallan en la figura 9; y se deducen de las del cuadrado ABCD de la figura 1

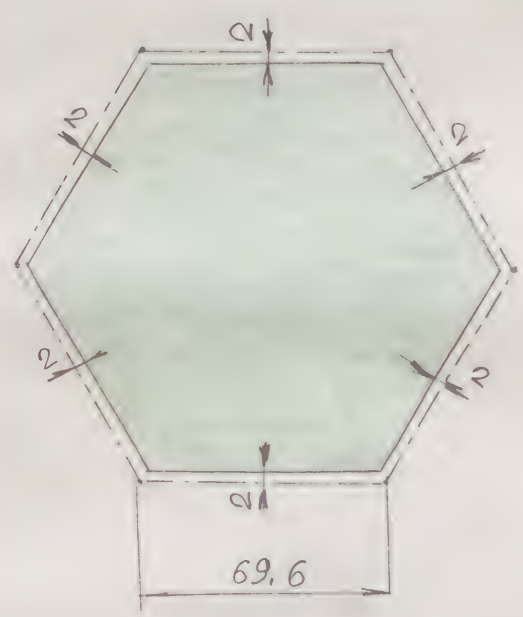


PIEZA N° 9 6 (u)

Figura 9

Figura 9

PIEZA N° 10 FORRO COLOCADO EN CARAS EXAGONALES
REGULARES 8 unidades



La forma y dimensiones se detallan en la figura 10, y se deducen de las del hexágono ABCDEF de la figura 2

PIEZA N° 10 8 (u)

Figura 10

Figura 10

MODELO CORPÓREO DEL POLIEDRO CON-

VEJO DE CARAS VACIADAS " ARQUIME -

DIANO X ", FORMADO POR OCHO CARAS EXA-

GONALES REGULARES (C_6) Y SEIS CARAS CUA-

DRADAS (C_4), CONCURRIENDO EN CADA VÉR-

TICE $1 C_4 + 2 C_6$.

Radio de la esfera circunscrita

$$r' = 110 \text{ m m.}$$

ENUNCIADO: Construir el modelo corpóreo del poliedro convexo de caras variadas "ARQUIMEDIANO X", formado por seis caras cuadradas (C_4), y ocho caras triangulares regulares (C_3), concurrendo en cada vértice $1 C_4 + 2 C_3$.

Este modelo puede considerarse como una variante del M-42.1, de igual forma y dimensiones, pero con sus caras variadas.

Las propiedades de este poliedro, así como sus dimensiones, son las enunciadas y calculadas en el mencionado modelo M-42.1

DATO ÚNICO DE ESTE EJERCICIO: r_{ec}^X = radio de la esfera circunscrita:

$$r_{ec}^X = 110 \text{ mm}$$

Para la construcción de este poliedro, son necesarias las siguientes piezas:

PIEZA N° 1 CARAS LATERALES CUADRADAS Unidades

La forma y dimensiones se detallan en la figura 1

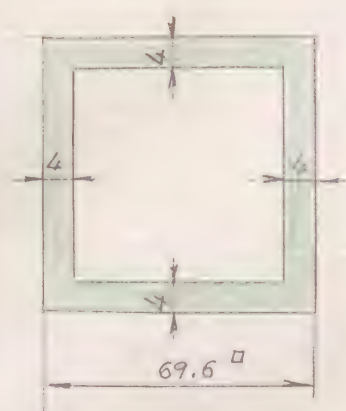


Figura 1

PIEZA N° 1 6 (u)

Figura 1

PIEZA N° 2 CARAS LATERALES EXAGONALES, REGULARES

8 unidades

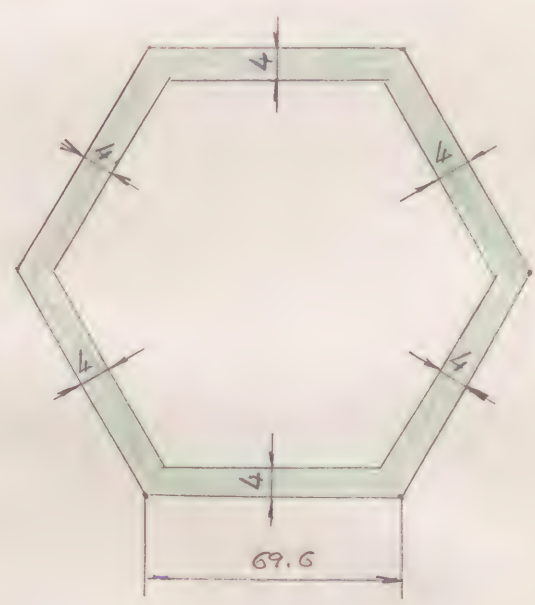


Figura 2

La forma y dimensiones se detallan en la figura 2

PIEZA N° 2

8 (u)

Figura 2

PIEZA N° 3 UNIONES ADISTAS DE DOS CARAS EXAGONALES

12 unidades

La forma y dimensiones se detallan en la figura 3

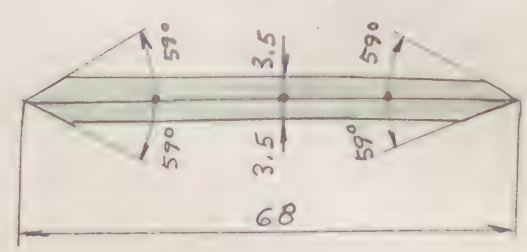


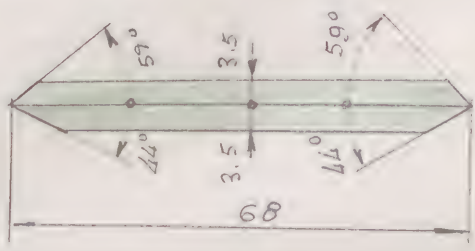
Figura 3

PIEZA N° 3 12 (u)

Figura 3

PIEZA N° 4 UNIONES ARISTAS DE UNA CARA EXAGONAL
y OTRA CUADRADA 24 unidades

La forma y dimensiones se detallan en la figura 4



PIEZA N° 4 24(u)

Figura 4

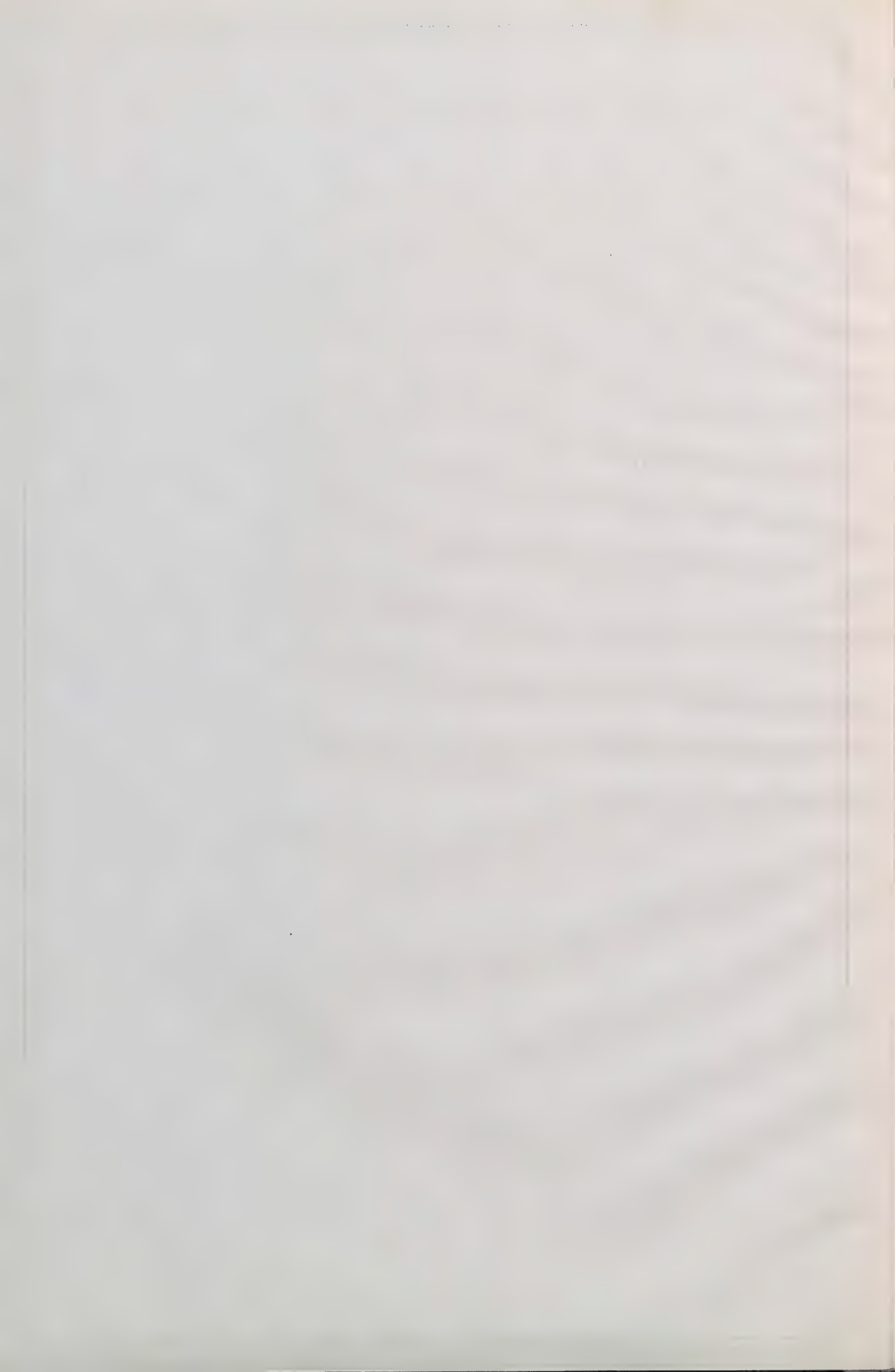
Figura 4

EJECUTIVO

VARIANTE DEL MODELO M-42-1,
DE IGUAL FORMA QUE ÉSTE, SIEN-
DO MÁS PEQUEÑO EL RADIO DE SU
ESFERA CIRCUNSCRITA

Radio de la esfera circunscrita:

$$r' = 76,1 \text{ mm}$$



ENUNCIADO: Construir el modelo corpóreo del poliedro convexo de caras macizas "ARQUIMEDIANO X'' ", formado por seis caras cuadradas (C_4) y ocho caras octagonales regulares (C_8), concurrendo en cada vértice 1 $C_4 + 2 C_8$.

Este modelo puede considerarse como una variante del modelo M-42.1, de igual forma que éste, siendo menor el radio de su esfera circunscrita ($r_{ec}^X = 76.1 \text{ mm}$)

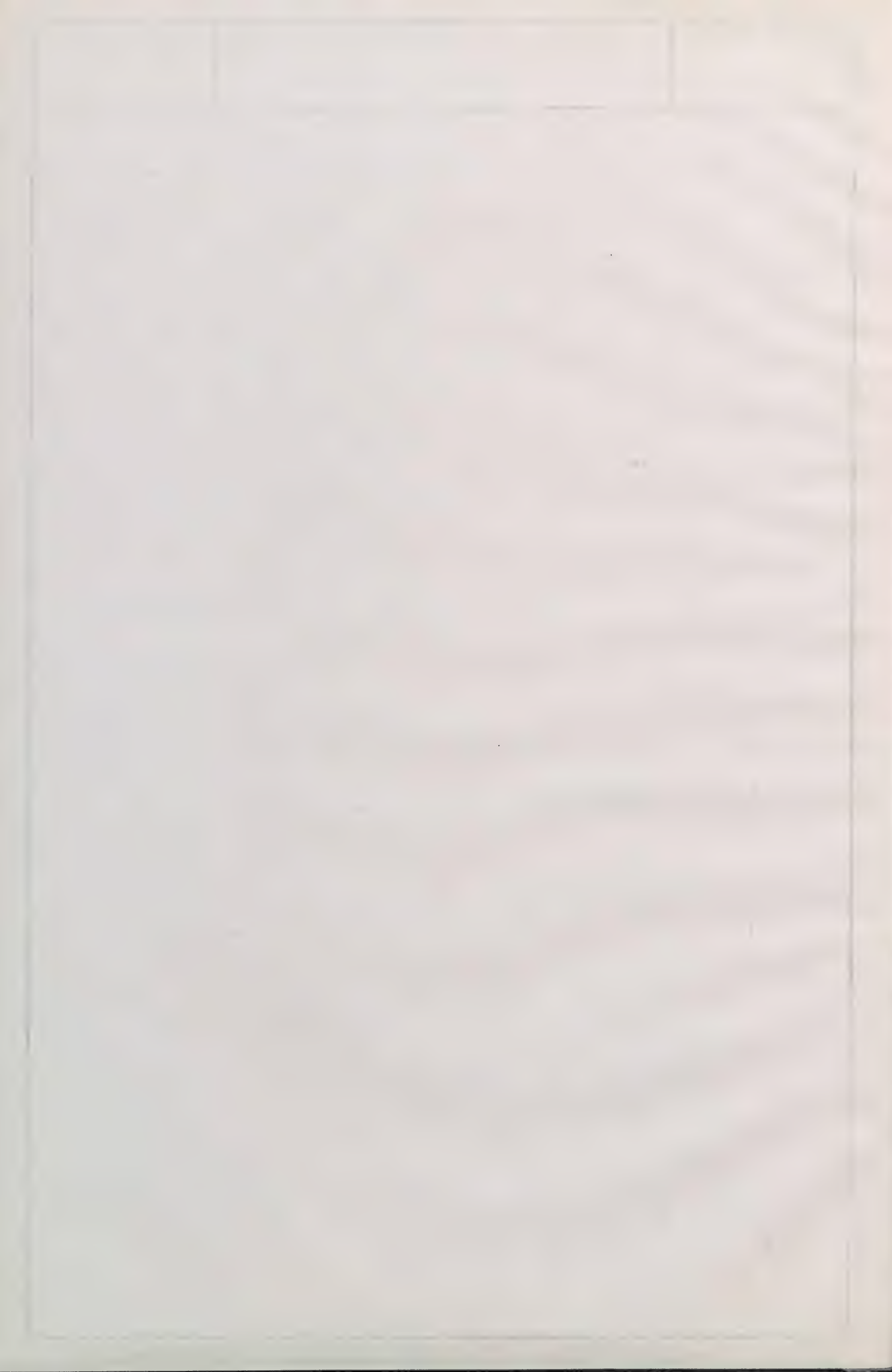
Para obtener el despiece de este modelo, utilizaremos el mismo estudio analítico, hecho en el modelo M-42.1, determinando previamente el coeficiente "k" de reducción $K = 76.1 : 110$, o relación entre los radios correspondientes de sus respectivas esferas circunscritas.

DATO ÚNICO DE ESTE EJERCICIO

$$r_{ec}^X = 76,1 \text{ mm}$$

COEFICIENTE DE REDUCCIÓN

$$K = \frac{76,1}{110} = 0,6918 \dots$$



A continuación presentamos diversas tablas de longitudes y ángulos, cuyas dimensiones han sido consignadas en las diferentes figuras del modelo M-42.1, y de los valores correspondientes a aplicar en la construcción de este nuevo modelo M-42.3, en el que son necesarias las siguientes piezas:

PIEZA N° 1 CARAS LATERALES CUADRADAS

6 unidades

La figura 1, ha de construirse con las siguientes cotas modificadas:

<u>FIGURA 1</u>	Longitudes m m	Cotas modificadas m m
<u>PIEZA N° 1</u> 6 (u)	69,6	48,1

PIEZA N° 2 CARAS LATERALES EXAGONALES REGULARES

8 unidades

La figura 2, ha de construirse con las siguientes cotas modificadas:

<u>FIGURA 2</u>	Longitudes m m	Cotas modificadas m m
<u>PIEZA N° 2</u> 8 (u)	69,6	48,1

PIEZA N° 3 REFUERZO NORMAL INTERIOR DE LAS CARAS
CUADRADAS 6 unidades

La figura 3, ha de construirse con las siguientes cotas modificadas:

<u>FIGURA 3</u>	Longitudes mm	Cotas modificadas mm
PIEZA N° 3	69.6	48.1
6 (u)	5.5	5

PIEZA N° 4 REFUERZO NORMAL INTERIOR DE LAS CA-
RAS EXAGONALES REGULARES
8 unidades

La figura 4, ha de construirse con las siguientes cotas modificadas:

<u>FIGURA 4</u>	Longitudes mm	Cotas modificadas mm
PIEZA N° 4	69.6	48.1
8 (u)	5.5	5

PIEZA N° 5 UNIONES ADISTAS DE DOS CARAS EXAGONA-
LES REGULARES 12 unidades

La figura 5 ha de constar con las siguientes cotas modificadas

FIGURA 5	Longitudes mm	Cotas modificadas
PIEZA N°5	68	47
12 (u)	4	4
	59°	59°

PIEZA N° 6 UNIONES DE ARISTAS DE UNA CARA EXAGONAL Y OTRA CUADRADA 24 unidades

La figura 6 ha de constar con las siguientes cotas modificadas:

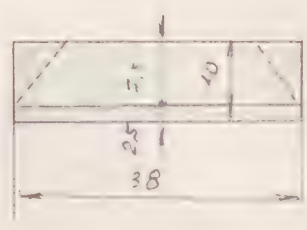
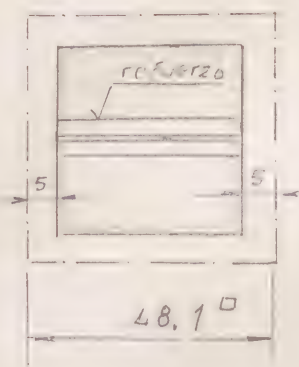
FIGURA 6	Longitudes mm	Cotas modificadas mm
PIEZA N°6	68	47
24 (u)	4	4
	44°	44°
	59°	59°

PIEZA N° 7 REFUERZO TRANSVERSAL INTERIOR DE LAS CARAS CUADRADAS 12 unidades

Por ser de muy pequeño tamaño estas caras, su refuerzo transversal se reduce de tamaño y se coloca en la cara según se indica en la siguiente figura 1, que sustituye a la fig. 7 del modelo M-42.1.

Alvar

Octubre 1980



PIEZA N° 7

12 (u)

Figura 1

Figura 1

PIEZA N° 8 REFUERZO TRANSVERSAL INTERIOR DE LAS CARAS EXAGONALES REGULARES 24 unidades

La figura 8 ha de constar con las siguientes cotas modificadas:

FIGURA 8	Longitudes mm	Cotas modificadas mm
<u>PIEZA N° 8</u>	126	84
24 (u)	63	42
	3	2.5
	9	7.5
	12	10
	44°	44°
	59°	59°

PIEZA N° 9 FORRO COLOREADO EN CARAS CUADRADAS 6 unidades

La figura 9 ha de constar con las siguientes cotas modificadas:

FIGURA 9	Longitudes m m	Cotas modificadas
PIEZA N° 9	69.6	48.1
.6 (u)	2	2

PIEZA N° 10 FORRO COLODEADO EN CARAS EXAGONALES
REGULARES 8 unidades

La figura 10 ha de construirse con las siguientes cotas modificadas:

FIGURA 10	Longitudes m m	Cotas modificadas m m
PIEZA N° 10	69.6	48.1
8 (u)	2	2

EJECUTADO

VARIANTE DEL MODELO M-42.2

DE IGUAL FORMA QUE ÉSTE, SIEN-

DO MÁS PEQUEÑO EL RADIO DE SU

ESFERA CIRCUNSCRITA,

Radio de la esfera circunscrita:

$$r' = 76.1 \text{ m m}$$

ENUNCIADO: Construir el modelo corpóreo del poliedro con-
sistente de caras faciales "ADQUIMEDIANO X",
formado por seis caras cuadradas (C_4), y
ocho caras hexagonales regulares (C_6), concu-
riendo en cada vértice $1C_4 + 2C_6$.

Este modelo puede considerarse como una variante
del modelo M-42.2, de igual forma que éste, pero sien-
do más pequeño el radio de su esfera circunscrita
($r_{ec}^X = 76.1 \text{ mm}$)

Para obtener el despiece de este modelo, utilizare-
mos el mismo estudio analítico, desarrollado en el
modelo M-42.2, determinando previamente el coefi-
ciente "k" de reducción $k = 76.1 : 110$ o relación en-
tre los radios correspondientes de sus respectivas esferas cir-
cunscritas.

DATO ÚNICO DE ESTE EJERCICIO

$$r_{ec}^X = 76.1 \text{ mm}$$

COEFICIENTE DE REDUCCIÓN

$$k = \frac{76.1}{110} = 0.6918 \dots$$

A continuación presentamos diversas tablas de longitudes y ángulos, cuyas dimensiones han sido reseñadas en las distintas figuras del modelo M-42,2, y de los valores correspondientes a aplicar en la construcción de este nuevo modelo M-42,4, en el que son necesarias las siguientes piezas:

PIEZA N° 1 CARAS LATERALES CUADRADAS 6 unidades

La figura 1, ha de construirse con las siguientes cotas modificadas:

FIGURA 1	Longitudes m m	Cotas modificadas m m
<u>Pieza n° 1</u>	69.6	48.1
6 (u)	4	3.0

PIEZA N° 2 CARAS LATERALES EXAGONALES REGULARES
8 unidades

La figura 2, ha de construirse con las siguientes cotas modificadas:

FIGURA 2	Longitudes m m	Cotas modificadas m m
<u>Pieza n° 2</u>	69.6	48.1
8 (u)	4	3.0

PIEZA N° 3 UNIONES ARISTAS DE DOS CARAS EXAGONALES

12 unidades

La figura 3 ha de construirse con las siguientes cotas (modificadas):

FIGURA 3	Longitudes m m	Cotas modificadas m m
Pieza n° 3	68	47
12 (u)	3,5	2,5
	59°	59°

PIEZA N° 4 UNIONES ARISTAS DE UNA CARA EXAGONAL

Y OTRA CUADRADA

24 unidades

La figura 4 ha de construirse con las siguientes cotas (modificadas):

FIGURA 4	Longitudes m m	Cotas modificadas m m
Pieza n° 4	68	47
24 (u)	3,5	2,5
	44°	44°
	59°	59°

MODELO CORPÓREO DEL "ARQUIMEDIANO

X'' OBTENIDO POR TRUNCADURA DE VÉRTI-

CES DE UN EXAEDRO REGULAR CONVEXO,

DE ARISTA " a_6 ", AL TOMAR SOBRE CADA

ARISTA, Y DESDE SU VÉRTICE, LA DISTAN-

CIA $\frac{3}{4} a_6$. - EL ARQUIMEDIANO OBTENIDO,

SE CONSTRUIRÁ CON LAS CARAS MACIZAS,

Y EL EXAEDRO REGULAR GENERADOR, CON

LAS CARAS VACIADAS EN LOS VÉRTICES TRUN-

CADOS.

Radio de la esfera circunscrita al exaedro

generador

$$r_e^6 = 110 \text{ mm}$$



ENUNCIADO: Construir el modelo corpóreo del "ARQUIMEDIANO X", obtenido por truncadura de vértices de un escaedro regular convexo, de arista " a_6 ", a la distancia $x = \frac{3}{4} a_6$. El Arquimediario generado se construirá con las caras macizas, y el escaedro regular generador, con las caras vaciadas en los vértices truncados.

DATO ÚNICO DE ESTE EJERCICIO: r_{ec}^6 = radio de la esfera circunscrita al escaedro generador:

$$r_{ec}^6 = 110 \text{ mm}$$

1) CONSIDERACIONES PREVIAS

El proceso geométrico denominado de TRUNCADURA DE VÉRTICES de los poliedros regulares convexos, por el cual se obtienen varios de los POIEDROS SEMI-REGULARES CONVEXOS, denominados también POLIEDROS ARQUIMEDIANOS, obteniéndose también por dicho proceso los propios poliedros regulares convexos, fue estudiado sistemáticamente y aplicado al TETRAEDRO REGULAR CONVEXO, en los ejercicios M-39.1; M-39.5; M-39.7 y M-6.2



En dicho estudio se aprecia que las distintas posiciones del plano secante dan lugar a la obtención de un poliedro núcleo, de muy variadas formas, dependientes de la posición del plano secante con respecto al tetraedro generador. La posición de dicho plano secante se fija por la condición de pasar por puntos situados a la distancia variable "x", sobre las aristas que concurren en cada vértice del mencionado tetraedro generador.

Entre las diversas posiciones del plano secante, existen algunas notables en que el poliedro núcleo resultante es un POLIEDRO ARQUIMEDIANO, o también un POLIEDRO REGULAR CONVEXO.

Dichas posiciones notables estudiadas en el TETRAEDRO REGULAR CONVEXO, se detallan resumidamente en el ejercicio M-40,5. El proceso de obtención aplicado en el tetraedro regular convexo, puede hacerse extensivo a los restantes poliedros regulares convexos (escaedro, octaedro, dodecaedro e icosaedro), obteniéndose también en ellos un poliedro núcleo que puede ser un POLIEDRO ARQUIMEDIANO, o también un POLIEDRO REGULAR CONVEXO.

El modelo que estudiamos en este ejercicio, puede obtenerse ^{partiendo} del modelo M-35,5 en el cual el poliedro núcleo obtenido por la TRUNCADURA DE VÉRTICES

Alfonso

Julio 1980

de un EXAEDRO REGULAR CONVEXO, a la distancia $x = \frac{1}{2} a_6$, era el ARQUIMEPIADO III de arista $a_{III} = \frac{\sqrt{2}}{2} a_6$

Ahora bien, si suponemos que el plano secante, varía su posición, o distancia $x = \frac{1}{2} a_6$, alejándose del vértice correspondiente, dicho plano secante da lugar a un poliedro cóncavo irregular de las siguientes características geométricas:

- a) El plano secante produce en las caras del exaedro generador, cuadrados, cuyos lados van disminuyendo de longitud a medida que crece la distancia "x".

En efecto, sea (figura 1), ABCD una cara del exaedro generador de arista a_6 ;

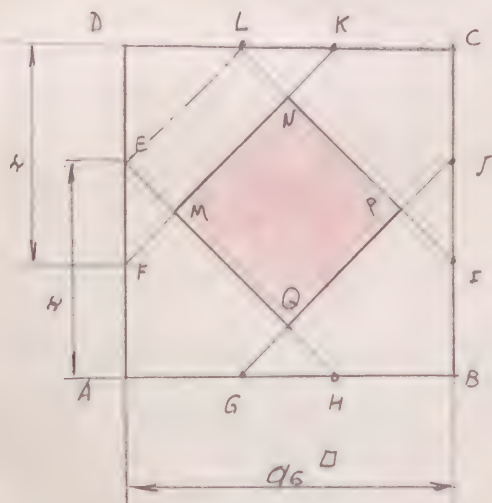


Figura 1

tomando, a partir de los vértices, distancias $x > \frac{1}{2} a_6$, obtendremos los puntos E, F, G, H, I, J, K, L, que nos sitúan las rectas (o trazar) de intersección de los cuatro planos secantes con la considerada cara ABCD.

Las intersecciones de dichas trazar dan lugar a la formación del cuadrado MNPQ, cara del poliedro mi-

des, de lado $MN = l_4$

De la figura 1, deducimos las siguientes relaciones métricas:

$$\overline{AF} = \boxed{\overline{ED}} = \overline{AD} - \overline{FD} = \boxed{a_6 - x}$$

y siendo $\overline{MN} = l_4 =$ lado del cuadrado $MNPQ$, tendremos también:

$$\overline{EL} = \overline{MN} = \boxed{l_4} = \overline{ED} \times \sqrt{2} = \boxed{(a_6 - x) \sqrt{2}} \quad \text{o sea:}$$

$$\boxed{l_4 = (a_6 - x) \sqrt{2}} \quad (1)$$

fórmula que nos determina la longitud del lado del cuadrado $MNPQ$, en función de la distancia "x" (variable) de la truncadura de vértices, del escaudo generador.

b) Por otra parte, el plano secante de dicha truncadura produce en los ángulos sólidos de los vértices del poliedro generador, triángulos regulares de lado \overline{FK} (fig. 1) sobre los que se forman escaudos regulares $MNRSTU$ (figura 2) cuyos lados alternativos \overline{MN} ; \overline{RS} ; \overline{TU} ; son coincidentes con los lados de dichos triángulos regulares.

Los cuatro cuadrados $MNPQ$ (fig. 1) y los ocho esca-

(Calles)

Julio 1980

los triángulos $MNRSTU$ (figura 2) son las caras que limitan al poliedro núcleo que se obtiene de la truncadura de vértices del octaedro regular convexo generado a la distancia $x > \frac{1}{2} a_0$.

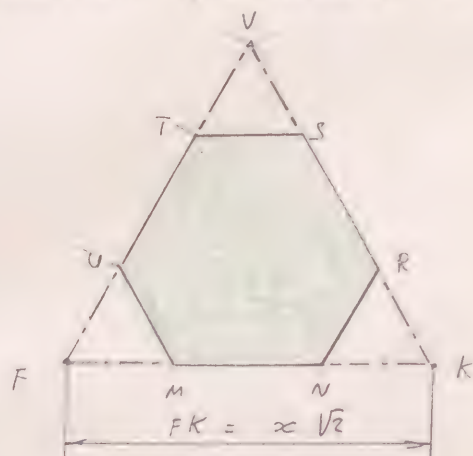


Figura 2

El octágono $MNRSTU$, no es, en general, un octágono regular, salvo en una posición tal del plano secante en la cual ello se produzca.

Para ello será necesario que se verifique la condición de ser

$$\overline{MN} = \frac{1}{3} \overline{FK} \quad (2)$$

la que se puede alcanzar, ya que \overline{MN} varía desde la longitud $\overline{MN} = \overline{FK}$ hasta $\overline{MN} = 0$, por ir creciendo los lados \overline{MN} al aumentar " x ."

De la figura 1, se deduce que:

$$\overline{FK} = \overline{DF} \times \sqrt{2} = x \sqrt{2} \quad (3)$$

por lo que el octágono $MNRSTU$, (fig. 2), será regular cuando se cumpla la condición (2) es decir, cuando se verifique que

$$\frac{\overline{FK}}{3} = \frac{x \sqrt{2}}{3} = l_4 \quad (4)$$

Resolviendo el sistema formado por las dos ecuaciones de primer grado. (1) y (4), tendremos las siguientes relaciones métricas:

$$l_4 = (a_6 - x) \sqrt{2} \quad (1)$$

$$l_4 = \frac{\sqrt{2}}{3} x \quad (4)$$

de donde:

$$(a_6 - x) \sqrt{2} = \frac{\sqrt{2}}{3} x \quad \text{"} \quad a_6 - x = \frac{x}{3} \quad \text{"}$$

$$a_6 = \frac{x}{3} + x = \left(\frac{1}{3} + 1 \right) x = \frac{4}{3} x \quad \boxed{x = a_6 : \frac{4}{3} =}$$

$$= \boxed{\frac{3}{4} a_6} \quad \text{o sea que}$$

$$\boxed{x = \frac{3}{4} a_6} \quad (5)$$

La ecuación (5) nos demuestra que la truncadura de vértices de un escaedo regular convexo, a la distancia $x = \frac{3}{4} a_6$, da lugar a la formación de un poliedro semiregular convexo compuesto de seis caras cuadradas (ver características a) y de ocho caras octagonales regulares (ver características b) o sea que dicho poliedro mideo es un "AR-QUIMEDIANO X", estudiado en el ejercicio

Calvario

Julio 1980



G.E. n°.....- Lámina 42, de las características siguientes:

Número de caras cuadrados $C_4 = 6$

Número de caras hexagonales $C_6 = 8$

$$\text{Número de vértices} = \frac{6 \times 4 + 8 \times 6}{3} = V = 24$$

$$\text{Número de aristas} = \frac{6 \times 4 + 8 \times 6}{2} = A = 36$$

Número de caras de un ángulo sólido $1 C_4 + 2 C_6$

La longitud de la arista $a_x = l_4$ se obtiene, substituyendo en (4) el valor de (5)

$$l_4 = \frac{\sqrt{2}}{3} x = \frac{\sqrt{2}}{3} \times \frac{3}{4} \times a_6 = \boxed{\frac{\sqrt{2}}{4} a_6 = a_x} \quad (6)$$

fórmula que nos da la magnitud de la arista " a_x " del triquimediano X generado, en función de la arista " a_6 " del escudo generador.

Así pues, y como resumen de lo expuesto anteriormente, podemos establecer el siguiente enunciado que justifica el del modelo estudiado:

El poliedro núcleo obtenido por la TRUNCADURA DE VÉRTICES de un EXAEDRO REGULAR CONVEXO, a la distancia $x = \frac{3}{4} a_6$, es un ARQUIMEDIANO \bar{X} , de arista igual a $a_{\bar{X}} = \frac{\sqrt{2}}{2} a_6$

2) CÁLCULO ANALÍTICO DE LONGITUDES

2.1) Arista " a_6 " del exaedro regular convexo generador

Se obtiene de la fórmula " $r_{ec}^6 = \frac{\sqrt{3}}{2} a_6$ " deducida en el ejercicio G.E. n°....- Lámina 2. Despejando en ella " a_6 ", tendremos:

$$a_6 = r_{ec}^6 : \frac{\sqrt{3}}{2} = \frac{2}{\sqrt{3}} \times r_{ec}^6 = \frac{2\sqrt{3}}{3} r_{ec}^6 \quad (7)$$

2.2) Arista " $a_{\bar{X}}$ " del Arquimediano generado.

Se deduce de la fórmula (6), sustituyendo en ella el valor de " a_6 " obtenido en (7).- Tendremos pues:

$$a_{\bar{X}} = \frac{\sqrt{2}}{4} a_6 = \frac{\sqrt{2}}{4} \times \frac{2\sqrt{3}}{3} r_{ec}^6 = \frac{\sqrt{6}}{6} r_{ec}^6 \quad (8)$$



2.3) Distancia " x " en que la truncadura de vértices del exaedro regular convexo produce el ARQUIMEDIANO \overline{X}

Se obtiene de la fórmula (5) sustituyendo en ella " a_6 " por su valor obtenido en (7). Así pues:

$$x = \frac{3}{4} a_6 = \frac{3}{4} \times \frac{2\sqrt{3}}{3} r_{ec}^6 = \frac{\sqrt{3}}{2} r_{ec}^6 \quad (9)$$

2.4) Radio " r_{c-6} " de la circunferencia circunscrita al exágono regular de una cara C_6 del Arquimodiano generado, de arista " $a_x = \frac{\sqrt{6}}{6} r_{ec}^6$ " (ver fórmula (8))

$$r_{c-6} = a_x = \frac{\sqrt{6}}{6} r_{ec}^6 \quad (10)$$

2.5) Radio " r_{el}^{X-6} " de la esfera tangente a las caras exagonales del Arquimodiano generado

Dicho radio se obtuvo en el ejercicio G.E. n.º... - Lámina 42, en función de su arista. Su valor es " $r_{el}^{X-6} = \frac{\sqrt{6}}{2} a_x$ ". Sustituyendo en ella a_x por su valor obtenido en (8), resulta:

$$r_{el}^{X-6} = \frac{\sqrt{6}}{2} a_x = \frac{\sqrt{6}}{2} \times \frac{\sqrt{6}}{6} r_{ec}^6 = \frac{1}{2} r_{ec}^6 \quad (11)$$

2.6) Altura "h₆" de las pirámides auxiliares, rectas, exagonales regulares

Se obtiene como diferencia del radio r_{ec}^6 de la esfera circunscrita al escaedo generador (dato del ejercicio), y del radio $r_{ei}^{6.6}$ (fórmula 11).- Así pues, será:

$$h_6 = r_{ec}^6 - r_{ei}^{6.6} = r_{ec}^6 - \frac{1}{2} r_{ec}^6 = \boxed{\frac{1}{2} r_{ec}^6} \quad (12)$$

2.7) Arista "a₆" de las pirámides auxiliares, rectas, exagonales, regulares

El valor es el de la hipotenusa de un triángulo rectángulo, siendo sus catetos: Uno, la altura $h_6 = \frac{1}{2} r_{ec}^6$ (ver fórmula 12), y el otro, el radio " $r_{c-6} = \frac{\sqrt{6}}{6} r_{ec}^6$ " (ver fórmula (10).- Así pues, tendremos:

$$\begin{aligned} a_6 &= \sqrt{(h_6)^2 + (r_{c-6})^2} = \sqrt{\left(\frac{1}{2} r_{ec}^6\right)^2 + \left(\frac{\sqrt{6}}{6} r_{ec}^6\right)^2} = \sqrt{\frac{1}{4} + \frac{1}{6}} r_{ec}^6 = \\ &= \sqrt{\frac{6+4}{24}} r_{ec}^6 = \sqrt{\frac{10}{24}} r_{ec}^6 = \boxed{\sqrt{\frac{5}{12}} r_{ec}^6} \quad (13) \end{aligned}$$

Las magnitudes necesarias para la construcción de este modelo, se deducen de las fórmulas (7), (8) y (13). Para $r_{ec}^6 = 110 \text{ mm}$, sus valores son:

1) Arista "a₆" del exaedro generador (fórmula 7)

$$a_6 = \frac{2\sqrt{3}}{3} \times r_{ec}^6 \approx 1,154700539... \times 110 = 127 \text{ mm}$$

2) Arista "a_X" del Arquimediano generado (fórm. 8)

$$a_X = \frac{\sqrt{6}}{6} r_{ec}^6 \approx 0,408248291... \times 110 = 44,9 \text{ mm}$$

3) Arista "a₆" de las pirámides auxiliares, rectas, exagonales, regulares (fórmula 13)

$$a_6 = \sqrt{\frac{5}{12}} r_{ec}^6 \approx 0,645497224... \times 110 \approx 71 \text{ mm}$$

Para la construcción de este modelo, son necesarias las siguientes piezas:

4) EXAEDRO REGULAR CONVEXO GENERADOR, DE CARAS VACIADAS

PIEZA N° 1 CARAS SUPERFICIALES 6 unidades

Iguales a la pieza n° 1 del modelo M-2.102

PIEZA N° 2

UNIONES ARISTAS

12 unidades

Iguales a la pieza n° 2 del modelo M-2,102

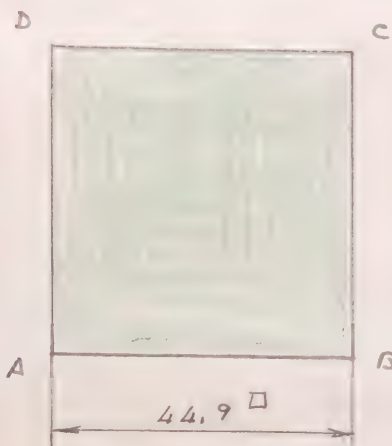
B) ARQUIMEDIANO X GENERADO, DE CARAS MACIZAS.

PIEZA N° 3

CARAS SUPERFICIALES

CUADRADAS

6 unidades



La forma y dimensiones se detallan en la figura 1

PIEZA N° 3 6(u)

Figura 1

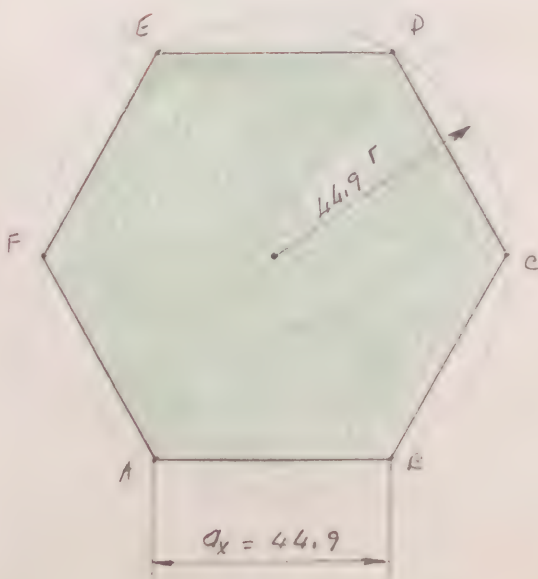
Figura 1

PIEZA N° 4

CARAS SUPERFICIALES

EXAGONALES REGULARES

8 unidades



La forma y dimensiones se detallan en la figura 2

PIEZA N° 4 8(u)

Figura 2

Figura 2

PIEZA N° 5 REFUERZO NORMAL INTERIOR DE LAS CARAS
SUPERFICIALES CUADRADAS 6 unidades

La forma y dimensiones se deducen de las del cuadrado ABCD de la figura 2, y se detallan en la figura 3

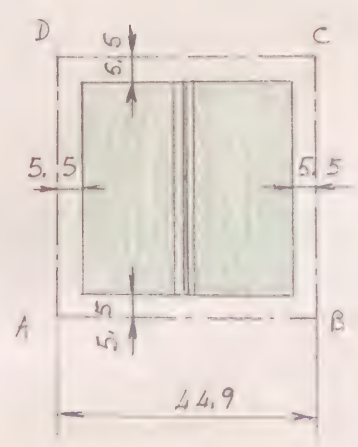


Figura 3

PIEZA N° 5 6 (u)

Figura 3

PIEZA N° 6 REFUERZO NORMAL INTERIOR DE LAS CARAS
SUPERFICIALES EXAGONALES REGULARES
8 unidades

La forma y dimensiones se deducen de las del hexágono ABCDEF de la figura 2, y se detallan en la figura 4,

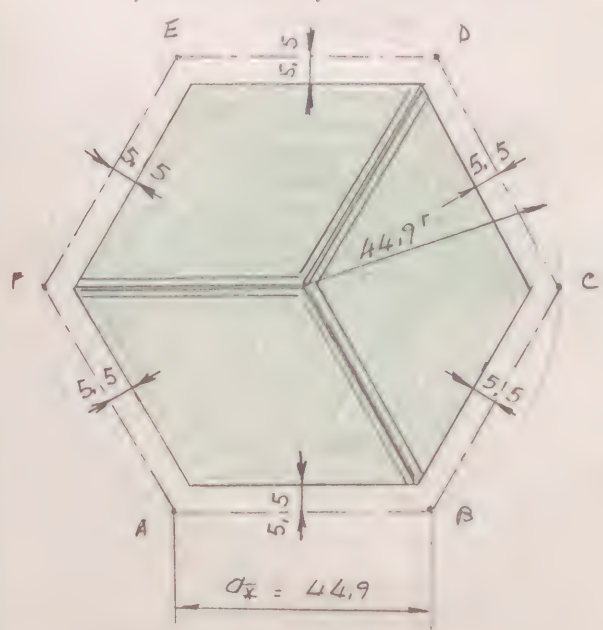


Figura 4

PIEZA N° 6

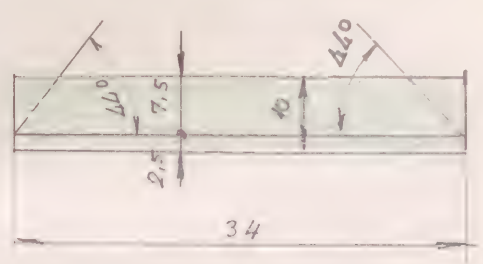
8 (u)

Figura 4

PIEZA N° 7 REFUERZO TRANSVERSAL INTERIOR DE LAS
CARAS SUPERFICIALES CUADRADAS.

12 unidades

La forma y dimensiones se detallan en la figura
 n° 5; su colocación en la figura 3.



PIEZA N° 7 12(u)

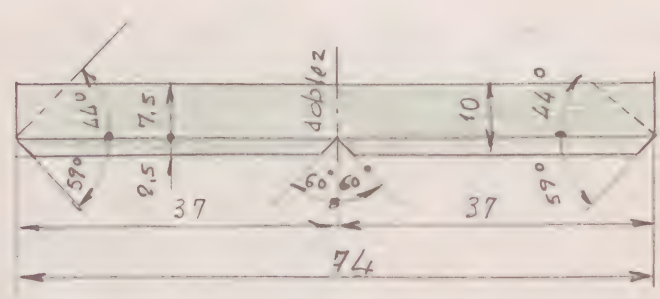
Figura 5

Figura 5

PIEZA N° 8 REFUERZO TRANSVERSAL INTERIOR DE LAS
CARAS SUPERFICIALES EXAGONALES REGULARES

24 unidades

La forma y dimensiones se detallan en la figura 6;
 su colocación en la figura 4.



PIEZA N° 8

24 (u)

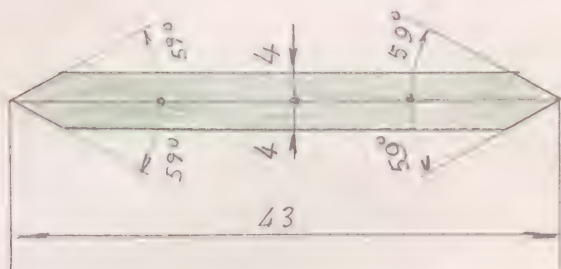
Figura 6

Figura 6

PIEZA N° 9 UNIONES A RISTAS EN DOS CARAS EXA-
GONALES

12 unidades

La forma y dimensiones se detallan en la figura 7.



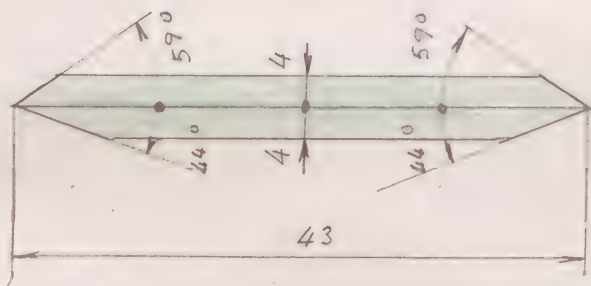
PIEZA N° 9 12 (u)

Figura 7

Figura 7

PIEZA N° 10 UNIONES ARISTAS DE UNA CARA CUADRADA CON OTRA EXAGONAL 24 unidades

La forma y dimensiones se detallan en la figura 8



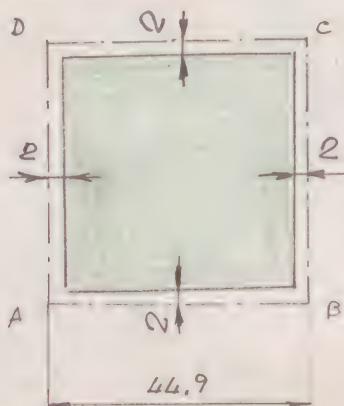
PIEZA N° 10

24 (u)

Figura 8

Figura 8

PIEZA N° 11 FORRO COLOREADO EN CARAS CUADRADAS 6 unidades



La forma y dimensiones se deducen de las del cuadrado ABCD de la figura 1, y se detallan en la figura 9

PIEZA N° 11 6 (u)

Figura 9

Figura 9

PIEZA N° 12 FORRO COLOREADO EN CARAS EXAGONALES
REGULARES 8 unidades

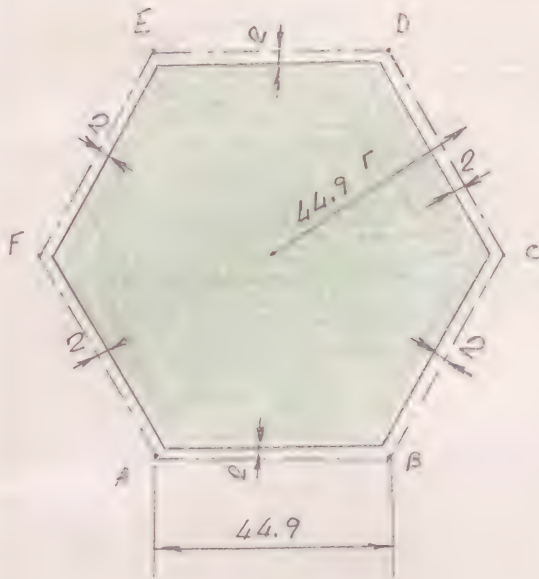


Figura 10

La forma y dimensiones se deducen de las del escaño regular convexo ABCDEF de la figura 2, y se detallan en la figura 1.

PIEZA N° 12 8 (u)

Figura 10

c) PIRÁMIDES AUXILIARES, REGULARES, EXAGONALES, Y
DE CARAS VACIADAS

PIEZA N° 13 DESARROLLO LATERAL 8 unidades

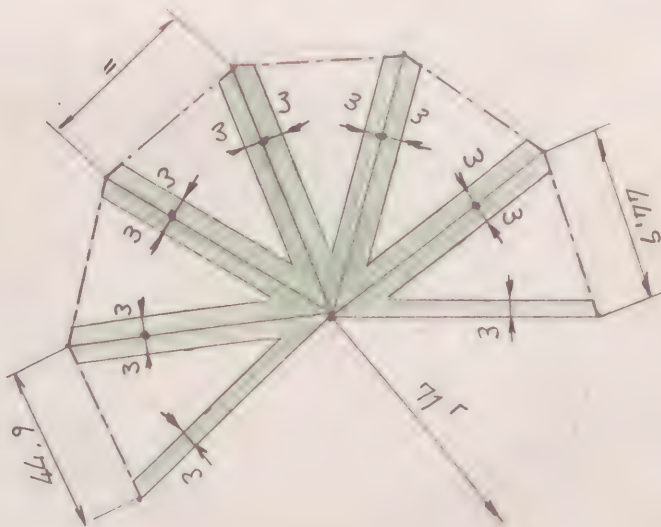


Figura 11

La forma y dimensiones se detallan en la figura 11

PIEZA N° 13

8 (u)

Figura 11



PIEZA N° 14

UNIONES ADISTAS

48 unidades

La forma y dimensiones se detallan en la figura 12

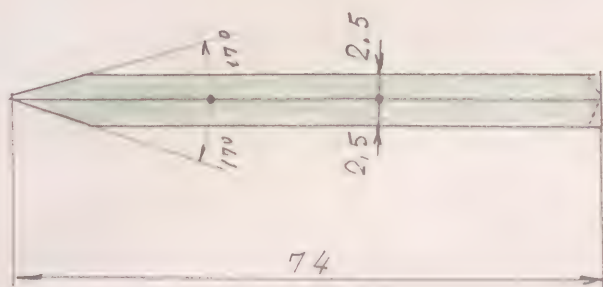


Figura 12

PIEZA N° 14

48 (u)

Figura 13



MODELO M - 42.5

PATRONES



EJECUTIVO

VARIANTE DEL MODELO CORPÓREO M-42.5, CONSISTENTE EN ADICIONAR AL MISMO, SEIS PIRÁMIDES RECTAS, CUADRADAS, DE CARAS VACIADAS, QUE TENGAN POR BASES LAS CARAS CUADRADAS DEL "ARQUIMEDIANO X" GENERADO, Y POR VÉRTICES LAS PROYECCIONES SOBRE LA ESFERA CIRCUNSCRITA AL EXAEDRO GENERADOR, DE LOS CENTROS DE LAS CARAS CUADRADAS, DESDE EL CENTRO "O" DEL POLIEDRO GENERADOR.

Radio de la esfera circunscrita,

$$r_{ec}^e = 110 \text{ m m.}$$

ENUNCIADO:

Construir el modelo corpóreo obtenido al adicionar al modelo M-42.5, seis pirámides rectas, cuadradas, de caras vaciadas, que tengan por bases las caras cuadradas del "Arquimediano X" generado, y por vértices, las proyecciones sobre la esfera circunscrita al escaedro generador, de los centros de las caras cuadradas, desde el centro "O" del escaedro generador.

Como se deduce de este enunciado, ha de construirse previamente un modelo igual al M-42.5, el cual ha de añadirse seis pirámides, rectas, de base cuadrada, y de caras vaciadas, cuyo desarrollo y dimensiones estudiamos a continuación:

La altura " h_u " de dichas pirámides, se obtiene como diferencia del radio " r_{ec}^6 " de la esfera circunscrita al escaedro regular convexo generador, y del radio " r_{ei}^{X-4} " de la esfera tangente a las caras cuadradas del Arquimediano generado. Así pues, tendremos:

$$h_u = r_{ec}^6 - r_{ei}^{X-4} \quad (1)$$

El radio r_{ec}^6 , se obtuvo en el ejercicio G.E. n°... Lám. 2,



en función de la arista " a_6 " del escaudo generador. Su valor es:

$$\boxed{r_{ec}^6 = \frac{\sqrt{3}}{2} a_6} \quad (2)$$

El radio " r_{ei}^{x-4} " de la esfera tangente a las caras cuadradas del Arquimédiano IX, se obtuvo en el ejercicio G.E. n°.... Lámina 42. Su valor, en función de la arista " a_x " de dicho Arquimédiano, es:

$$\boxed{r_{ei}^{x-4} = \sqrt{2} a_x} \quad (3)$$

y sustituyendo a_x por su valor $\frac{\sqrt{2}}{4} a_6 = a_x$ (ver fórmula (6) del ejercicio M-42.5), tendremos:

$$\boxed{r_{ei}^{x-4} = \sqrt{2} \times \frac{\sqrt{2}}{4} a_6 = \frac{1}{2} a_6} \quad (4)$$

Sustituyendo en (1) los valores (2) y (4), tendremos:

$$\boxed{h_4 = r_{ec}^6 - r_{ei}^{x-4} = \frac{\sqrt{3}}{2} a_6 - \frac{1}{2} a_6 = \left(\frac{\sqrt{3}}{2} - \frac{1}{2} \right) a_6 = \frac{\sqrt{3} - 1}{2} a_6} \quad (5)$$

Sustituyendo en (5) el valor de $a_6 = \frac{2\sqrt{3}}{3} r_{ec}^6$, en función del radio r_{ec}^6 de la esfera circunscrita al escaudo generador, (ver fórmula (7) del modelo M-42.5), tendremos:

$$\boxed{h_4 = \frac{\sqrt{3} - 1}{2} \times a_6 = \frac{\sqrt{3} - 1}{2} \times \frac{2\sqrt{3}}{3} \times r_{ec}^6 = \frac{3 - \sqrt{3}}{3} r_{ec}^6} \quad (6)$$



Para obtener la longitud de la arista " α_4 " de las pirámides cuadradas, tendremos en cuenta que " α_4 " es la hipotenusa de un triángulo rectángulo, uno de cuyos catetos es " h_4 ", y el otro el radio " r_{c-4} " de la circunferencia circunscrita a la cara cuadrada del isohedro I. Así pues, será:

$$\alpha_4 = \sqrt{(h_4)^2 + (r_{c-4})^2} \quad (7)$$

El radio " r_{c-4} " de la circunferencia circunscrita a un cuadrado de lado l_4 , es: (ver fórmula (1) del ejercicio G.P. 1,400-43)

$$r_{c-4} = \frac{\sqrt{2}}{2} l_4 \quad (8)$$

En la fórmula (8), aplicada a este estudio, tendremos $l_4 = \alpha_x$, siendo a su vez $\alpha_x = \frac{\sqrt{2}}{4} \alpha_6$ (ver fórmula (6) del modelo M-42.5), y también será $\alpha_6 = \frac{2\sqrt{3}}{3} r_{ec}^6$ (ver fórmula (7) del modelo M-42.5), por lo que sustituyendo valores, tendremos:

$$l_4 = \alpha_x = \frac{\sqrt{2}}{4} \alpha_6 = \frac{\sqrt{2}}{4} \times \frac{2\sqrt{3}}{3} \times r_{ec}^6 = \left[\frac{\sqrt{6}}{6} r_{ec}^6 \right] \quad (9)$$

valor que sustituido en (8), nos dará:

$$r_{c-4} = \frac{\sqrt{2}}{2} l_4 = \frac{\sqrt{2}}{2} \times \frac{\sqrt{6}}{6} \times r_{ec}^6 = \left[\frac{\sqrt{3}}{6} r_{ec}^6 \right] \quad (10)$$



Sustituyendo en (9) los valores (6) y (10), tendremos:

$$\begin{aligned}
 a_4 &= \sqrt{(h_u)^2 + (r_{ec-u})^2} = \sqrt{\left(\frac{3-\sqrt{3}}{3} r_{ec}^6\right)^2 + \left(\frac{\sqrt{3}}{6} r_{ec}^6\right)^2} = \\
 &= \sqrt{\left(\frac{3-\sqrt{3}}{3}\right)^2 + \left(\frac{\sqrt{3}}{6}\right)^2} r_{ec}^6 = \sqrt{\frac{(3-\sqrt{3})^2}{9} + \frac{3}{36}} r_{ec}^6 = \\
 &= \sqrt{\frac{4 \times (3-\sqrt{3})^2}{36} + 3} r_{ec}^6 = \sqrt{\frac{4 \times (9+3-6\sqrt{3})}{36} + 3} r_{ec}^6 = \\
 &= \sqrt{\frac{4 \times (12-6\sqrt{3})}{36} + 3} r_{ec}^6 = \sqrt{\frac{48-24\sqrt{3}}{6} + 3} r_{ec}^6 = \sqrt{\frac{51-24\sqrt{3}}{6}} r_{ec}^6 = \\
 &= \frac{\sqrt{3 \times (17-8\sqrt{3})}}{6} r_{ec}^6 \text{ de donde se obtiene finalmente:}
 \end{aligned}$$

$$a_4 = \frac{\sqrt{3 \times (17-8\sqrt{3})}}{6} r_{ec}^6 \quad (11)$$

Las formulas (9) y (11) nos permiten calcular los elementos necesarios para el desarrollo lateral de las pirámides cuadradas que se adicionan al modelo M-42.5, para obtener el que se estudia.

Para este caso particular en el que es $r_{ec}^6 = 110 \text{ mm}$, será:

$$l_4 = a_x = \frac{\sqrt{6}}{6} r_{ec}^6 \approx 0.408248291 \dots \times 110 \approx 44.9 \text{ mm}$$

$$a_4 = \frac{\sqrt{3 \times (17-8\sqrt{3})}}{6} r_{ec}^6 \approx 0.51826268 \dots \times 110 \approx 56.3 \text{ mm}$$



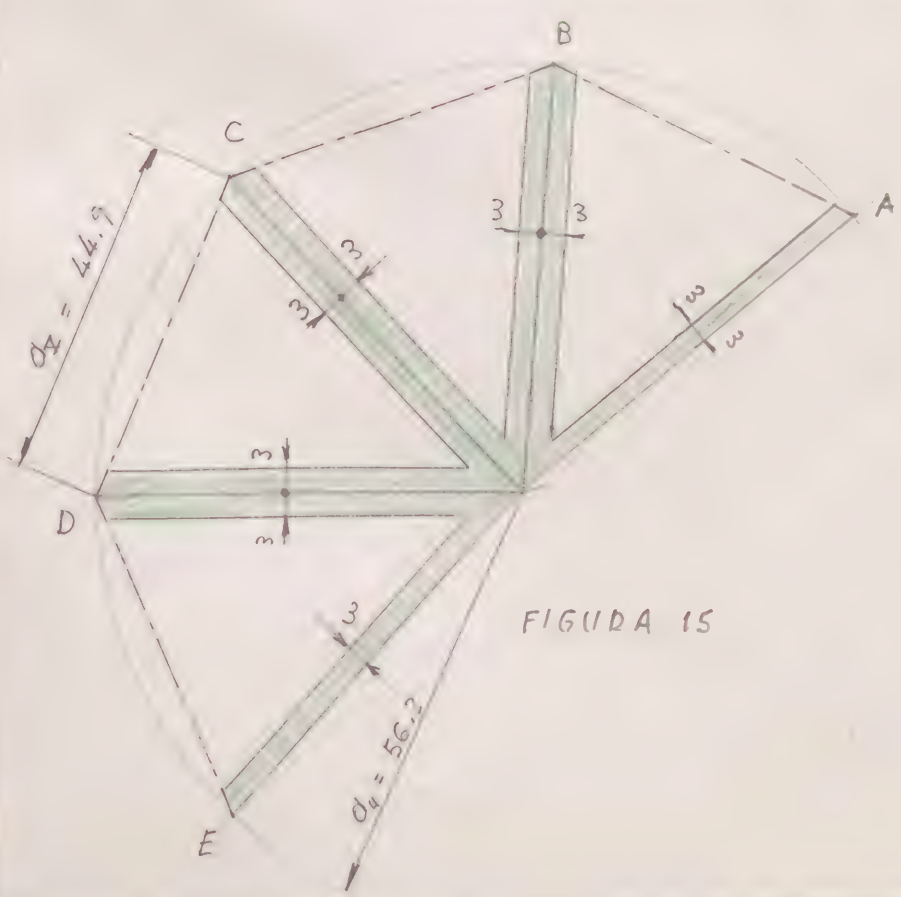
Para la construcción de este modelo, se necesitan las siguientes piezas:

A) MODELO CORPÓREO DEL ARQUIMEDIANO X, OBTENIDO POR TRUNCADURA DE VÉRTICES DE UN EXAEDRO REGULAR CONVEXO, A LA DISTANCIA $\frac{3}{4} d_6$

Piezas 1 al 14, iguales a las del modelo M-42.5

B) PIRÁMIDES RECTAS, CUADRADAS, DE CARAS VACIADAS, QUE SE ADICIONAN AL MODELO M-42.5

PIEZA Nº 15 DESARROLLO LATERAL DE LAS PIRÁMIDES ADICIONADAS. 6 unidades



La forma y dimensiones se detallan en la figura 15

$$AB = BC = CD = DE = 44.9 \text{ mm}$$

PIEZA Nº 15

6 (u)

Figura 15

UNE A4 210 x 297

PIEZA N° 16.UNIONES ARISTAS24 unidades

La forma y dimensiones se detallan en la figura
n° 16

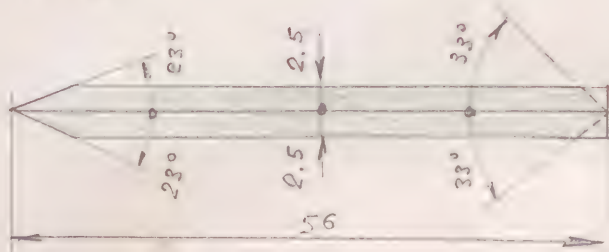
PIEZA N° 1624 (u)Figura 16

Figura 16

ESTUDIO COMPLEMENTARIO

Si unimos cada vértice de las pirámides adicionales de la figura 15, con los cuatros que los rodean en el espacio, se nos formará un octaedro regular convexo, conjugado del escaedro generador, cuyas aristas se cruzan perpendicularmente con las de dicho escaedro. Este octaedro regular convexo, estará inscrito en la misma esfera circunscrita al escaedro generador.

La longitud de su arista α_8 se deduce de la fórmula " $r_{ec}^8 = \frac{\sqrt{2}}{2} \alpha_8$ " deducida en el ejercicio G.E. n° Lámina 3, despejando en ella α_8 . Su valor será pues:

$$\boxed{\alpha_8} = r_{ec}^8 : \frac{\sqrt{2}}{2} = \sqrt{2} r_{ec}^8 = \sqrt{2} \times 110 = \boxed{155,6 \text{ mm}}$$

Esta propiedad se ha destacado en el presente modelo

(Eguren) Septiembre 1980

MODELO M - 42.6

PATRONES



MODELO CORPÓREO DEL "ARQUIMEDIANO X ", OBTENIDO POR TRUNCADURA DE VÉRTICES DE UN OCTAEDRO REGULAR CONVEXO, DE ARISTA " a_8 ", AL TOMAR SOBRE CADA ARISTA, Y DESDE SU VÉRTICE, LA DISTANCIA " $\frac{1}{3} a_8$ ". - EL ARQUIMEDIANO OBTENIDO, SE CONSTRUIRÁ CON LAS CARAS MACIZAS, Y EL OCTAEDRO REGULAR CONVEXO GENERADOR, CON LAS CARAS VACÍAS EN LOS VÉRTICES TRUNCADOS.

Radio de la esfera circunscrita al octaedro generador

$$r_{ec}^8 = 110 \text{ mm}$$

ENUNCIADO: Construir el modelo compuesto del "ARQUIMEDIANO NO X" obtenido por truncadura de vértices de un octaedro regular convexo de arista " a_8 ", al tomar sobre cada arista, y desde su vértice, la distancia $x = \frac{1}{3} a_8$. El Arquimediáno obtenido se constancará con las caras macizas, y el octaedro regular convexo generador, con las caras vaciadas en los vértices truncados.

DATO ÚNICO DE ESTE EJERCICIO: r_{ec}^8 = radio de la esfera circunscrita al octaedro regular generador

$$r_{ec}^8 = 110 \text{ mm}$$

Remiendo presente lo expuesto en las CONSIDERACIONES PREVIAS del ejercicio "modelo M-40.5" en las que se destaca el proceso geométrico denominado TRUNCADURA DE VÉRTICES de los poliedros regulares convexos, por el que se obtienen muchos de los POLIEDROS ARQUIMEDIANOS entre los que se encuentra el ARQUIMEDIANO X, de este ejercicio, podemos establecer de inmediato las siguientes propiedades del poliedro núcleo que se obtiene por la truncadura de vértices del octaedro regular a la distancia $x = \frac{1}{3} a_8$.

El valor de " x " se obtiene por las condiciones geométricas

siguientes, cuando el plano secante produzca:

- a) En las caras del octaedro generador, polígonos regulares convexos de doble número de lados que los de las mencionadas caras, cuyos lados son alternativamente coincidentes con los de las mismas, y cuyo número será, por consiguiente, el de caras del mencionado octaedro generador.
- b) En los ángulos sólidos de los vértices, polígonos regulares convexos de tanto lados como caras concurren en los vértices de dichos ángulos sólidos, y situados en el plano secante.

Estas dos condiciones aplicadas al caso propuesto, nos permiten conocer las características del poliedro núcleo resultante en esta truncadura de vértices, y al mismo tiempo comprobar la posición del plano secante que la produce.

En efecto; Por la condición a), el poliedro núcleo tendrá ocho caras octogonales regulares convexas, (C_8) sobre las caras del poliedro generador, y

Por la condición b), tendrá también seis caras cuadradas, (C_6) sobre el plano secante.

Consecuentemente, el poliedro núcleo resultante de



esta truncadura de vértices, tendrá las siguientes características geométricas:

- 1) Número de caras hexagonales regulares _____ = $8 C_6$
- 2) Número de caras cuadradas _____ = $6 C_4$
- 3) Número de vértices = $\frac{8 \times 6 + 6 \times 4}{3}$ = $24 V$
- 4) Número de aristas = $\frac{8 \times 6 + 6 \times 4}{2}$ = $36 A$
- 5) Número de caras en cada vértice = $1 C_4 + 2 C_6$

En consecuencia, y a la vista de los resultados anteriores, se deduce que el poliedro cóncavo convexo, resultante de esta truncadura de vértices en el octaedro regular convexo, es un ARQUIMEDIANO X, estudiado y representado en el ejercicio, G.E. n° ----.- Lámina 42.

Finalmente observemos que para obtener en un triángulo equilátero, un esca'gono regular convexo de lados alternativamente coincidentes con los del mencionado triángulo, hay que truncarse los vértices de éste, a las distancias $\frac{1}{3} l_3$ (la demostración es elemental).

Las conclusiones anteriores justifican el anunciado de este ejercicio

CÁLCULO ANALÍTICO DE LONGITUDES

Calculemos previamente las siguientes magnitudes:

1.) Arista " a_8 " del octaedro generador

Se deduce de la fórmula " $r_{ec}^8 = \frac{\sqrt{2}}{2} a_8$ ", deducida en el ejercicio G.E. n°... Lámina 3. Despejando en ella " a_8 ", tendremos:

$$\boxed{a_8} = r_{ec}^8 : \frac{\sqrt{2}}{2} = \frac{2}{\sqrt{2}} r_{ec}^8 = \frac{2\sqrt{2}}{2} r_{ec}^8 = \boxed{\sqrt{2} r_{ec}^8} \quad (1)$$

2.) Distancia " x " en que la truncadura de vértices del octaedro regular convexo, produce el ARQUIMEDIANO X

$$\boxed{x} = \frac{1}{3} a_8 = \frac{1}{3} \times \sqrt{2} \times r_{ec}^8 = \boxed{\frac{\sqrt{2}}{3} \times r_{ec}^8} \quad (2)$$

3.) Arista " a_X " del ARQUIMEDIANO X

$$\boxed{a_X} = x = \frac{1}{3} a_8 = \boxed{\frac{\sqrt{2}}{3} r_{ec}^8} \quad (3)$$

Las fórmulas anteriores aplicadas al modelo estudiado en el que es $r_{ec}^8 = 110$ m m. nos da los siguientes valores numéricos:

$$1) \quad \boxed{a_8} = \sqrt{2} r_{ec}^8 \approx 1.414213562... \times 110 \approx \boxed{155.6 \text{ m m}}$$

$$2) \quad \boxed{x} = \frac{\sqrt{2}}{3} \times r_{ec}^s \approx 0,471404521... \times 110 \approx \boxed{51,9 \text{ mm}}$$

$$3) \quad \boxed{d_x} = \frac{\sqrt{2}}{3} \times r_{ec}^s \approx 0,471404521... \times 110 \approx \boxed{51,9 \text{ mm}}$$

Conocidos los valores numéricos anteriores, puede efectuarse la construcción del modelo propuesto, para lo cual son necesarias las siguientes piezas:

A) ARQUIMEDIANO X, GENERADO, DE CARAS MACIZAS.

PIEZA N° 1 CARAS SUPERFICIALES CUADRADAS 6 unidades

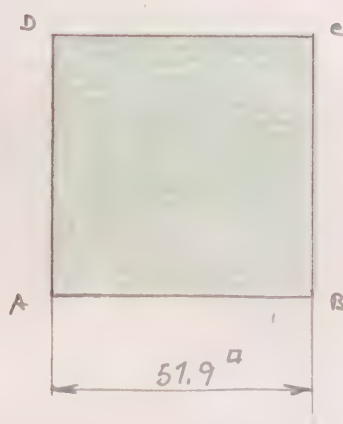


Figura 1

La forma y dimensiones se detallan en la figura 1

PIEZA N° 1 6 (u)

Figura 1

PIEZA N° 2 CARAS SUPERFICIALES EXAGONALES REGULARES

8 unidades

La forma y dimensiones se detallan en la figura 2



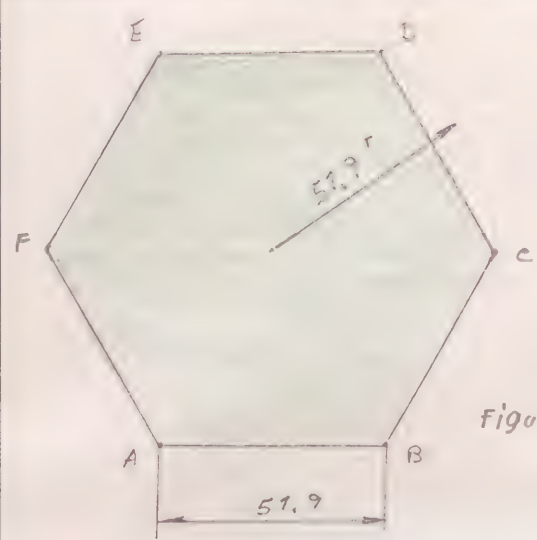


Figura 2

PIEZA N° 2

8 (u)

Figura 2

PIEZA N° 3 REFUERZO NORMAL INTERIOR DE LAS CARAS

SUPERFICIALES CUADRADAS

6 unidades

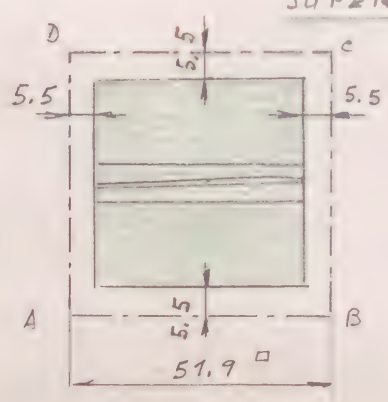


Figura 3

La forma y dimensiones se deducen de las de cuadrado ABCD de la figura 1, y se detallan en la figura 3

PIEZA N° 3

6 (u)

Figura 3

PIEZA N° 4 REFUERZO NORMAL INTERIOR DE LAS CARAS

EXAGONALES REGULARES

8 unidades

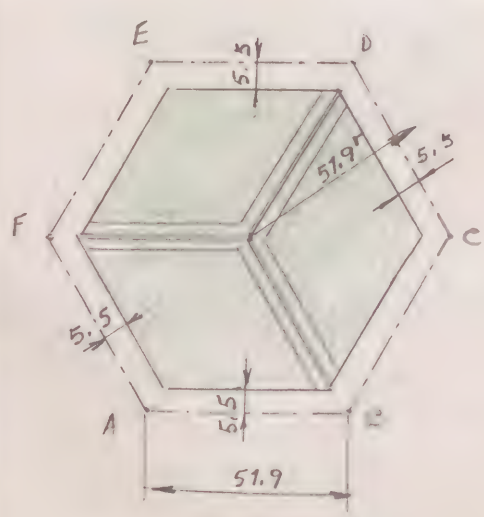


Figura 4

La forma y dimensiones se deducen de las del hexágono regular ABCDEF de la figura 2, y se detallan en la figura 4

PIEZA N° 4

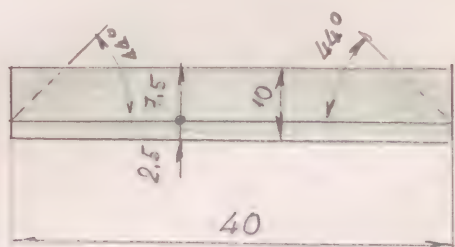
8 (u)

Figura 4



PIEZA N° 5 REFUERZO TRANSVERSAL INTERIOR DE LAS CA-
RAS CUADRADAS 12 unidades

La forma y dimensiones se detallan en la figura 5;
su colocación en la figura 3



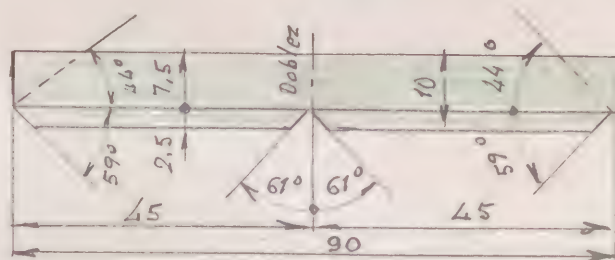
PIEZA N° 5 12 (u)

Figura 5

Figura 5

PIEZA N° 6 REFUERZO TRANSVERSAL INTERIOR DE LAS CA-
RAS EXAGONALES REGULARES 24 unidades

La forma y dimensiones se detallan en la figura 6;
su colocación en la figura 4



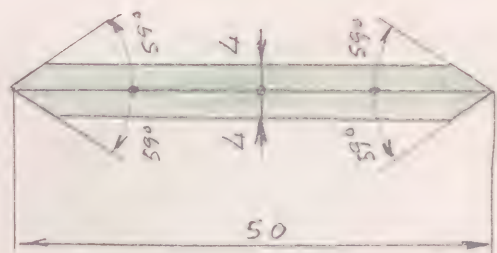
PIEZA N° 6 24 (u)

Figura 6

Figura 6

PIEZA N° 7 UNIONES ADITAS EN DOS CARAS EXAGONALES
12 unidades

La forma y dimensiones se detallan en la figura 7



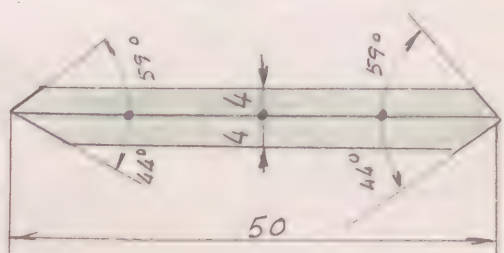
PIEZA N° 7 12 (u)

Figura 7

Figura 7

PIEZA N° 8 UNIONES ARISTAS DE UNA CARA CUADRADA, CON OTRA EXAGONAL 24 unidades

La forma y dimensiones se detallan en la figura 8

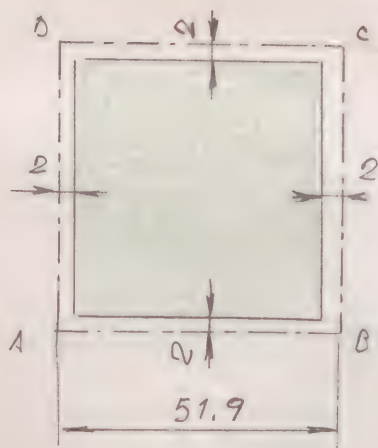


PIEZA N° 8 24 (u)

Figura 8

Figura 8

PIEZA N° 9 FORRO COLOREADO EN CARAS CUADRADAS 6 unidades



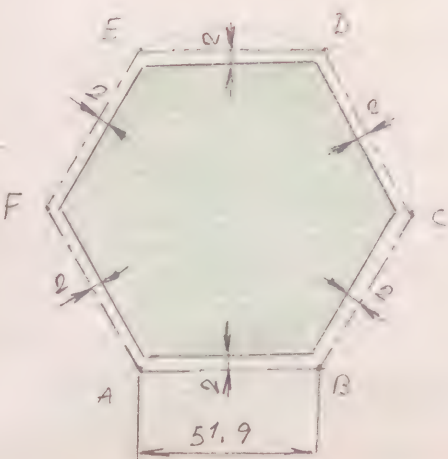
La forma y dimensiones se deducen de las del cuadrado ABCD de la figura 1, y se detallan en la figura 9

PIEZA N° 9 6 (u)

Figura 9

Figura 9

PIEZA N° 10 FORRO COLOREADO EN CARAS EXAGONALES REGULARES 8 unidades



La forma y dimensiones se deducen de las del octágono regular ABC, DEF de la figura 2, y se detallan en la figura 10

PIEZA N° 10 8 (u)

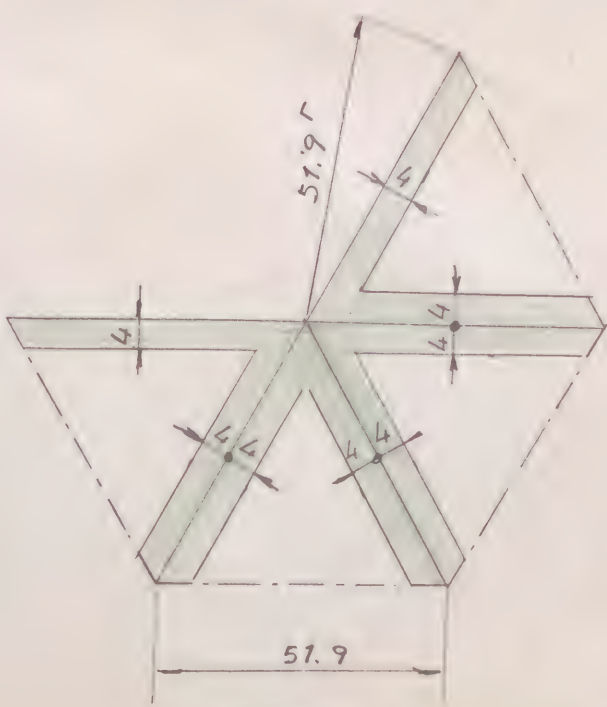
Figura 10

Figura 10

B) OCTAEDRO GENERADOR DE CARAS VACIADAS

Queda reducido a seis pirámides triangulares, rectas, regulares, cuyo desarrollo lateral es el siguiente:

PIEZA N° 11 DESARROLLO LATERAL DE LAS SEIS PIRÁMIDES TRIANGULARES 6 unidades



La forma y dimensiones se detallan en la figura 11

PIEZA N° 11

6 (u)

Figura 11

Figura 11

PIEZA N° 12 UNIONES ARISTAS.24 unidades

La forma y dimensiones se detallan en la figura 12

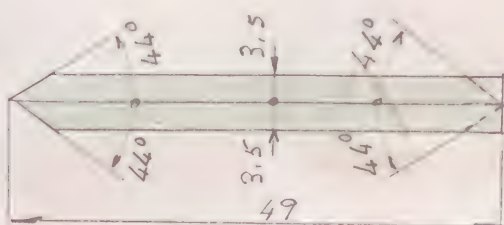
PIEZA N° 12 24 (u)

Figura 11

Figura 12



MODELO M-42.7.

PATRONES



ESQUEMA

VARIANTE DEL MODELO CORPÓREO M-42.7, CON-

SISTENTE EN ADICIONAR AL MISMO, SEIS PIRÁMI-

DES RECTAS, EXAGONALES, REGULARES, DE CA-

RAS VACIADAS, QUE TENGAN POR BASES LAS

CARAS EXAGONALES, REGULARES DEL ARQUIME-

DIANO χ GENERADO, Y POR VÉRTICES LAS PRO-

YECCIONES, SOBRE LA ESFERA CIRCUNSCRITA

AL OCTAEDRO GENERADOR, DE LOS CENTROS DE

LAS CARAS EXAGONALES, DESDE EL CENTRO DEL

POLIEDRO GENERADOR.

Radio de la esfera circunscrita:

$$r_{oc}^B = 110 \text{ mm.}$$

ENUNCIADO: Construir el modelo corpóreo obtenido al adicionar al modelo M-42.7, seis pirámides rectas, exagonales, regulares, de caras saciadas, que tengan por bases las caras exagonales del Arquimédiano X generado, y por vértices las proyecciones, sobre la esfera circunscrita al octaedro generador, de los centros de las caras hexagonales, desde el centro "O" del poliedro generador.

Como se deduce de este enunciado, ha de construirse previamente un modelo igual al M-42.7, al cual ha de añadirse seis pirámides exagonales, rectas y de caras vaciadas, cuyo desarrollo y dimensiones estudiamos a continuación.

La altura " h_6 " de dichas pirámides, se obtiene como diferencia del radio " r_{ec}^8 " de la esfera circunscrita al octaedro regular convexo generador, y del radio " r_{ei}^{X-6} " de la esfera tangente a las caras hexagonales del Arquimédiano generado. Así pues, tendremos:

$$h_6 = r_{ec}^8 - r_{ei}^{X-6} \quad (*)$$

El radio r_{ec}^8 , se obtiene en el ejercicio G.E. nº... Lámina 3, en función de la arista " a_8 " del octaedro regular. En va-

Por lo es:

$$\boxed{r_{ec}^8 = \frac{\sqrt{2}}{2} a_8} \quad (2)$$

El radio " $r_{ei}^{\bar{x}-6}$ " de la esfera tangente a las caras esangonales del Arquimédiano \bar{X} , se obtuvo en el ejercicio G.E. n° --- Lámina 42. Su valor, en función de la arista " a_x " de dichos Arquimédianos, es:

$$\boxed{r_{ei}^{\bar{x}-6} = \frac{\sqrt{6}}{2} a_x} \quad (3)$$

y sustituyendo a_x por su valor " $a_x = \frac{1}{3} a_8$ " (ver fórmula (3) del ejercicio M-42.7, tendremos:

$$\boxed{r_{ei}^{\bar{x}-6} = \frac{\sqrt{6}}{2} \times \frac{1}{3} a_8 = \frac{\sqrt{6}}{6} a_8} \quad (4)$$

Sustituyendo en (1) los valores (2) y (4), tendremos:

$$\boxed{h_6 = \frac{\sqrt{2}}{2} a_8 - \frac{\sqrt{6}}{6} a_8 = \frac{3\sqrt{2} - \sqrt{6}}{6} a_8} \quad (5)$$

Sustituyendo en (5) el valor de $a_8 = \sqrt{2} r_{ec}^8$, en función del radio r_{ec}^8 de la esfera circunscrita al octaedro generador (ver fórmula (1) del modelo M-42.7), tendremos:

$$\boxed{h_6 = \frac{3\sqrt{2} - \sqrt{6}}{6} a_8 = \frac{3\sqrt{2} - \sqrt{6}}{6} \times \sqrt{2} r_{ec}^8 = \frac{6 - \sqrt{12}}{6} r_{ec}^8 = \frac{3 - \sqrt{3}}{3} r_{ec}^8} \quad (6)$$

Para obtener la longitud de la arista " a_6 " de los pirámidi-

des exagonales, rectas, regulares, tendremos en cuenta que " a_6 " es la hipotenusa de un triángulo rectángulo, uno de cuyos catetos es " h_6 ", y el otro el radio " r_{c-6} " de la circunferencia circunscrita a la cara exagonal del Aquismediano X. Así pues, será:

$$a_6 = \sqrt{(h_6)^2 + (r_{c-6})^2} \quad (7)$$

El radio " r_{c-6} " de la circunferencia circunscrita al exágono de lado " l_6 ", es

$$r_{c-6} = l_6 \quad (8)$$

En la fórmula (8), aplicada a este estudio, es $l_6 = a_x$, siendo a su vez $a_x = \frac{1}{3} a_8$ (ver fórmula (3) del modelo M-42.7), y siendo $a_8 = \sqrt{2} r_{ec}^8$ (ver fórmula (1) del modelo M-42.6), valores que sustituidos en (8), nos da:

$$l_6 = a_x = \frac{1}{3} a_8 = \frac{1}{3} \sqrt{2} r_{ec}^8 = \left[\frac{\sqrt{2}}{3} r_{ec}^8 \right] \quad (9)$$

valor que sustituido en (8), nos dará:

$$r_{c-6} = l_6 = \left[\frac{\sqrt{2}}{3} r_{ec}^8 \right] \quad (10)$$

Sustituyendo en (7) los valores (6) y (10), tendremos:

$$a_6 = \sqrt{(h_6)^2 + (r_{c-6})^2} = \sqrt{\left(\frac{3-\sqrt{3}}{3} r_{ec}^8 \right)^2 + \left(\frac{\sqrt{2}}{3} r_{ec}^8 \right)^2} =$$

$$= \sqrt{\left(\frac{3-\sqrt{3}}{3}\right)^2 + \left(\frac{\sqrt{2}}{3}\right)^2} r_{ec}^8 = \sqrt{\frac{(3-\sqrt{3})^2}{9} + \frac{2}{9}} r_{ec}^8 =$$

$$= \sqrt{\frac{(3-\sqrt{3})^2 + 2}{9}} r_{ec}^8 = \sqrt{\frac{9+3-6\sqrt{3}+2}{9}} r_{ec}^8 = \sqrt{\frac{14-6\sqrt{3}}{9}} r_{ec}^8$$

de donde se obtiene finalmente:

$$a_6 = \sqrt{\frac{14-6\sqrt{3}}{9}} r_{ec}^8 \quad (11)$$

Las fórmulas (9) y (11) nos permiten calcular los elementos necesarios para el desarrollo lateral de las pirámides hexagonales, regulares, rectas, que se adicionan al modelo M-42.7, para obtener el que se estudia.

Para este caso particular de $r_{ec}^8 = 110 \text{ mm}$, será:

$$a_x = \frac{\sqrt{2}}{3} \times r_{ec}^8 \approx 0,471404521... \times 110 \approx 51,9 \text{ mm}$$

$$a_6 = \sqrt{\frac{14-6\sqrt{3}}{9}} r_{ec}^8 \approx 0,633131121... \times 110 \approx 69,6 \text{ mm}$$

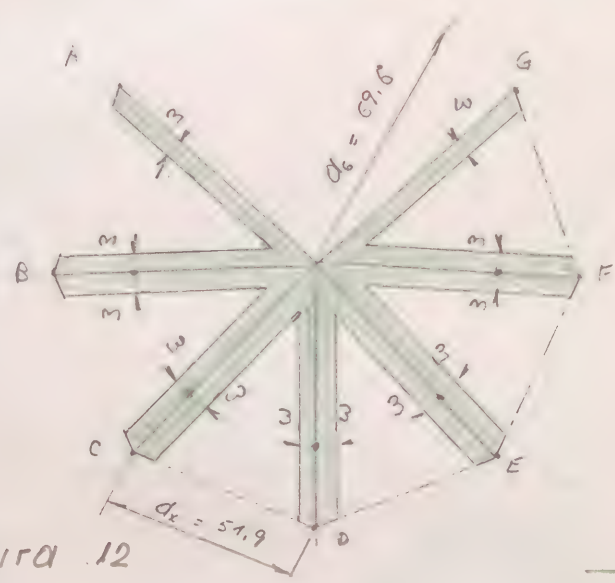
Para la construcción de este modelo, se precisan las siguientes piezas:

- A) MODELO CORPÓREO DEL ARQUIMEDIANO X, OBTENIDO POR TRUNCADURA DE VÉRTICES DE UN OCTAEDRO REGULAR CONVEXO A LA DISTANCIA $x = \frac{1}{3} a_8$

Piezas 1 al 11, iguales a las del modelo M-42.7

B) PIRÁMIDES RECTAS, EXAGONALES, REGULARES, DE CARAS VACIADAS, QUE SE ADICIONAN AL MODELO M-42.7

PIEZA N° 12 DESARROLLO LATERAL DE LAS PIRÁMIDES ADICIONADAS 8 unidades



La forma y dimensiones se detallan en la figura 12

$$\overline{AB} = \overline{BC} = \overline{CD} = \overline{DE} = \overline{EF} = \overline{FG} \\ = 51.9 = d_x$$

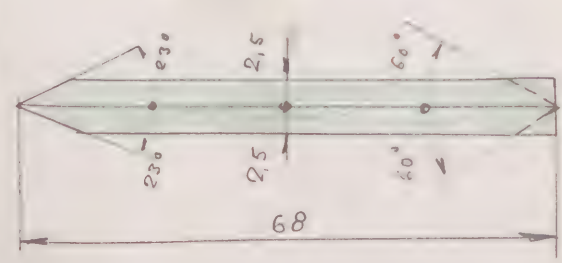
PIEZA N° 12 8 (u)

Figura 12

Figura 12

PIEZA N° 13° UNIONES ARISTAS 48 unidades

La forma y dimensiones se detallan en la figura 13



PIEZA N° 13 48 (u)

Figura 13

Figura 13

MODELO M - 42.8

PATRONES



INTRODUCCIÓN A LOS MODELOS SOBREPOLIEDROS SEMI-REGULARES CONVEXOS, O"POLIEDROS ARQUIMEDIANOS"ESTUDIO PREVIO A LA CONSTRUCCIÓN DE LOS MISMOS.-RESUMEN DE LOS ARQUIMEDIANOS DERIVADOS DE LOS

CINCO POLIEDROS REGULARES CONVEXOS Y OBTENIDOS

DE LOS MISMOS POR LOS PROCESOS A) TRUNCA-

DURA DE VÉRTICES, Y B) TRUNCADURA DE VÉRTI-

CES, SEGUIDO DE UNA TRUNCADURA PARALELA DE

ARISTAS.

Los Arquimedianos obtenidos están representados en las Láminas 38 al 45 (ambas inclusive).

ENUNCIADO:

Estudio previo a la construcción de los poliedros Arquimedianos..- Resumen de los derivados de los cinco poliedros regulares convexos y obtenidos de los mismos por los procesos A) "Truncadura de vértices" y B) "Truncadura de vértices", seguido de una "Truncadura paralela de aristas".

1) GENERALIDADES

En el ESTUDIO PREVIO al modelo M-39.1, hemos establecido las "definiciones" (párrafo 2.), "propiedades" (párrafo 3.) y "clasificación" (párrafo 4.) de los poliedros Arquimedianos. También en su párrafo 5. han sido reseñados los distintos "procesos de obtención" de los mismos, a aplicar sobre los cinco poliedros regulares convexos.

Estos procesos, aplicados sistemáticamente a cada uno de los poliedros regulares convexos, dan lugar a la formación de un "poliedro núcleo convexo" que en general es un "Arquimediano" y en algunos casos particulares es un "poliedro regular convexo, conjugado del generador".

2.) RESUMEN DE LOS POLIEDROS ARQUIMEDIANOS OBTENIDOS POR EL PROCESO DE "TRUNCADURA DE VÉRTICES."



La operación geométrica denominada "TRUNCADURA DE VÉRTICES" de un poliedro regular convexo, ha sido definida en el párrafo 2) del ESTUDIO PREVIO al ejercicio M-39.5 y aplicada sistemáticamente a cada uno de los cinco poliedros regulares convexos, en posteriores ejercicios.

A continuación resumimos los resultados obtenidos:

2.1) POLIEDROS NÚCLEOS OBTENIDOS POR LA TRUNCADURA DE VÉRTICES DEL "TETRAEDRO REGULAR CONVEXO P_4 " DE ARISTA " a_4 " A LA DISTANCIA " x "

2.11) Para " $x = \frac{1}{3} a_4$ ", se obtiene el ACQUIMEDIANO VII formado por $4 C_3 + 4 C_6$ (ver Lámina 39).- Modelo M-39.5

2.12) Para " $x = \frac{1}{2} a_4$ ", se obtiene el OCTAEDRO REGULAR CONVEXO formado por $8 C_3$ (Ver Lámina 3).- Modelo M-3.7

2.13) Para " $x = \frac{3}{5} a_4$ ", se obtiene el ACQUIMEDIANO VII formado por $4 C_3 + 4 C_6$ (Ver Lámina 39).- Modelo M-39.7.

2.14) Para " $x = \frac{2}{3} a_4$ ", se obtiene el TETRAEDRO REGULAR CONVEXO formado por $4 C_3$ (Ver Láminas 1 y 6).- Modelos M-1.13 y M-6.2.



2.2) POLIEDROS NÚCLEOS, OBTENIDOS POR LA TRUNCADURA DE VÉRTICES DEL "OCTAEDRO REGULAR CONVEXO P_6 " DE ARISTA " a_6 " A LA DISTANCIA " x ".

2.21) Para " $x = \frac{2-\sqrt{2}}{2} a_6$ ", se obtiene el ARQUIMEDIANO VIII, formado por $8C_3 + 6C_8$ (Ver Lámina 40).- Modelo M-40.5.

2.22) Para " $x = \frac{1}{2} a_6$ ", se obtiene el ARQUIMEDIANO III, formado por $8C_3 + 6C_4$ (Ver Lámina 35).- Modelo M-35.5

2.23) Para " $x = \frac{3}{4} a_6$ ", se obtiene el ARQUIMEDIANO X, formado por $6C_4 + 8C_6$ (Ver Lámina 42).- Modelo M-42.5

2.24) Para " $x = a_6$ ", se obtiene el OCTAEDRO REGULAR CONVEXO, formado por $8C_3$ (Ver Láminas 3 y 7).- Modelos M-3.8 y M-7.2.

2.3) POLIEDROS NÚCLEOS OBTENIDOS POR LA TRUNCADURA DE VÉRTICES DEL "OCTAEDRO REGULAR CONVEXO P_8 " DE ARISTA " a_8 " A LA DISTANCIA " x ".

2.31) Para " $x = \frac{1}{3} a_8$ ", se obtiene el ARQUIMEDIANO X formado por $6C_4 + 8C_6$ (Ver Lámina 42). Modelo



Lo M-42.7

2.32) Para " $x = \frac{1}{2} d_8$ ", se obtiene el ARQUIMEDIANO III, formado por $8 C_6 + 6 C_4$ (Ver Lámina 35).- Modelo M-35.7.

2.33) Para " $x = (2 - \sqrt{2}) d_8$ ", se obtiene el ARQUIMEDIANO VIII, formado por $8 C_3 + 6 C_8$ (Ver Lámina 40).- Modelo M-40.7

2.34) Para " $x = \frac{2}{3} d_8$ ", se obtiene el "EXAEDRO REGULAR CONVEXO", formado por $6 C_4$ (Ver Láminas 2 y 6).- Modelos 2.24 y 8.2

2.4) POLIEDROS NÚCLEOS OBTENIDOS POR LA TRUNCADURA DE VÉRTICES DEL "DODECAEDRO REGULAR CONVEXO P_{12} " DE ARISTA " d_{12} " A LA DISTANCIA " x ".

2.41) Para " $x = \frac{5 - \sqrt{5}}{10} d_{12}$ ", se obtiene el ARQUIMEDIANO IX, formado por $20 C_3 + 12 C_{10}$ (Ver Lámina 41).- Modelo M-41.5

2.42) Para " $x = \frac{1}{2} d_{12}$ ", se obtiene el ARQUIMEDIANO IV, formado por $20 C_3 + 12 C_5$ (Ver Lámina 36).- Modelo M-36.5



2.43) Para " $x = \frac{27 + 3\sqrt{5}}{38} \alpha_{12}$ ", se obtiene el ARQUIMEDIANO NO XIII, formado por $12 C_5 + 20 C_6$ (Ver Lámina 45).
Modelo M-45,5

2.44) Para " $x = \frac{5 + \sqrt{5}}{5} \alpha_{12}$ ", se obtiene el ICOSAEDRO REGULAR CONVEXO, formado por $20 C_3$ (Ver Láminas 4 y 9).- Modelos 4.17 y 9.2

2.5) POLIEDROS NÚCLEOS OBTENIDOS POR LA TRUNCADURA DE VÉRTICES DEL "ICOSAEDRO REGULAR CONVEXO P_{20} ", DE ARISTA " α_{20} " A LA DISTANCIA " x "

2.51) Para " $x = \frac{1}{3} \alpha_{20}$ ", se obtiene el ARQUIMEDIANO XIII, formado por $12 C_5 + 20 C_6$ (Ver Lámina 45).- Modelo M-45,7

2.52) Para " $x = \frac{1}{2} \alpha_{20}$ ", se obtiene el ARQUIMEDIANO IV, formado por $20 C_3 + 12 C_5$ (Ver Lámina 36).
Modelo M-36,7

2.53) Para " $x = \frac{15 - \sqrt{5}}{22} \alpha_{20}$ ", se obtiene el ARQUIMEDIANO IX, formado por $20 C_3 + 12 C_{10}$ (Ver Lámina 41).
Modelo M-41,7

2.54) Para " $x = \frac{2}{3} \alpha_{20}$ ", se obtiene el DODECAEDRO RE-



ULAR CONVEXO, formado por 20 C_5 (Ver Láminas 5 y 10). - Modelo 5.7 y 10.2

3) RESUMEN DE LOS POLIEDROS ARQUIMEDIANOS OBTENIDOS POR EL PROCESO DE "TRUNCADURA DE VÉRTICES" SEGUIDO DE "TRUNCADURA PARALELA DE ARISTAS" (O VICEVERSA).

Los Arquimedianos obtenidos por este proceso, que reseñamos a continuación, son aquellos en que los planos secantes π_1 y π_2 de ambas truncaduras, al cortar el plano de cada cara del poliedro generador, forman en ellas polígonos regulares convexos semejantes a los de la cara, siendo paralelos los lados de ambos polígonos (el de la cara y el engendrado).

Pueden obtenerse también por este mismo proceso, poliedros Arquimedianos diferentes a los anteriores, que ya estudiaremos posteriormente, en el párrafo 4) siguiente.

3.1) POLIEDRO NÚCLEO OBTENIDO POR LA TRUNCADURA DE VÉRTICES DEL "TETRAEDRO REGULAR CONVEXO P_4 " DE ARISTA " a_4 " A LA DISTANCIA " x ", SEGUIDO DE TRUNCADURA PARALELA DE ARISTAS (O VICEVERSA), A LA DISTANCIA " y " ($x = 2y$)

Para " $x = \frac{1}{2} a_4$ " y " $y = \frac{1}{4} a_4$ ", se obtiene el ARQUIMEDIANO III, formado por $8C_3 + 6C_4$ (Ver Lámina 35.- Modelo M-35.10

3.2) POLIEDRO NÚCLEO OBTENIDO POR LA TRUNCADURA DE VÉRTICES DEL "EXAEDRO REGULAR CONVEXO P_6 " DE ARISTA " a_6 " A LA DISTANCIA " x ", SEGUIDO DE TRUNCADURA PARALELA DE ARISTAS (O VICEVERSA), A LA DISTANCIA " y " ($x = 2y$)

Para " $x = (2 - \sqrt{2}) a_6$ " e " $y = \frac{2 - \sqrt{2}}{2} a_6$ ", se obtiene el ARQUIMEDIANO V , formado por $8 C_3 + 18 C_4$ (Ver Lámina 37.- Modelo M-37.5)

3.3) POLIEDRO NÚCLEO OBTENIDO POR LA TRUNCADURA DE VÉRTICES DEL "OCTAEDRO REGULAR CONVEXO P_8 " DE ARISTA " a_8 " A LA DISTANCIA " x ", SEGUIDO DE TRUNCADURA PARALELA DE ARISTAS (O VICEVERSA), A LA DISTANCIA " y " ($x = 2y$)

Para " $x = \frac{6 - 2\sqrt{2}}{7} a_8$ " e " $y = \frac{3 - \sqrt{2}}{7} a_8$ ", se obtiene el ARQUIMEDIANO V , formado por $8 C_3 + 18 C_4$ (Ver Lámina 37.- Modelo M-37.6)

3.4) POLIEDRO NÚCLEO OBTENIDO POR LA TRUNCADURA DE VÉRTICES DEL "DODECAEDRO REGULAR CONVEXO P_{12} ", DE ARISTA " a_{12} " A LA DISTANCIA " x ", SEGUIDO DE TRUNCADURA PARALELA DE ARISTAS (O VICEVERSA), A LA DISTANCIA " y " ($x = 2y$)



Para " $x = \frac{2}{3} a_{12}$ " e " $y = \frac{1}{3} a_{12}$ ", se obtiene el ARQUIMEDIANO VI, formado por $20 C_3 + 30 C_4 + 12 C_5$ (Ver Lámina 38.- Modelo M-38.5)

3.5) POLIEDRO NÚCLEO OBTENIDO POR LA TRUNCADURA DE VÉRTICES DEL "ICOSAEDRO REGULAR CONVEXO P_{20} ", DE ARISTA " a_{20} " A LA DISTANCIA " x ", SEGUIDO DE TRUNCADURA PARALELA DE ARISTAS (O VICEVERSA), A LA DISTANCIA " y " ($x = 2y$)

Para " $x = \frac{7-\sqrt{5}}{11} a_{20}$ " e " $y = \frac{7-\sqrt{5}}{22} a_{20}$ ", se obtiene el ARQUIMEDIANO VI, formado por $20 C_3 + 30 C_4 + 12 C_5$ (Ver Lámina 38.- Modelo M-38.6)

4). NUEVOS POLIEDROS ARQUIMEDIANOS DIFERENTES A LOS RESUMIDOS EN EL PÁRRAFO 3) E IGUALMENTE OBTENIDOS POR EL PROCESO DE "TRUNCADURA DE VÉRTICES" SEGUIDO DE "TRUNCADURA PARALELA DE ARISTAS" (O VICEVERSA).

La operación geométrica denominada "TRUNCADURA DE VÉRTICES" de un poliedro regular convexo, fue definida y estudiada en el ESTUDIO PREVIO, correspondiente al modelo M-39.5.

La operación geométrica denominada "TRUNCADURA PARALELA DE ARISTAS", fue a su vez definida y estudiada en el ESTUDIO PREVIO, correspondiente al modelo M-35.10.

También estudiamos en el mencionado EJERCICIO PREVIO al

(Calle) Abril 1982

modelo M-35.10 que la aplicación a un poliedro regular convexo de una "truncadura paralela de aristas", seguida de una "truncadura de vértices" (o viceversa), daba lugar a la formación de un POLIEDRO NÚCLEO cuyas características geométricas se detallaban en el párrafo 3) de dicho modelo M-35.10. También vimos que en una "posición especial" de los planos π_1 y π_2 de las dos truncaduras, el poliedro núcleo resultante se transforma en un POLIEDRO ARQUIME-
DIANO", en el que las caras de éste, que se forman sobre las del poliedro regular generador, tienen por contornos polígonos regulares semejantes, concéntricos, y de lados paralelos.

No obstante, y según veremos seguidamente, puede existir otras posiciones distintas de los planos secantes π_1 y π_2 que den lugar a la formación en las caras del poliedro regular generador, de polígonos regulares de doble número de lados que los de éste, con lados alternativos paralelos. Los polígonos de las caras del poliedro generador P_n y estos últimos, (generados), serán concéntricos.

En efecto: Supongamos (fig. 1) una cara ABC...DEA de un poliedro regular convexo, en cuyos vértices efectuamos una "truncadura paralela de aristas" producida por planos " π_1 ", a la distancia "y" de sus vértices. Dichas truncaduras darán lugar a la formación del polígono A'B'C'...D'E'A'. Los polígonos regulares ABC...DEA y A'B'C'...D'E'A' son pues, por construcción, semejantes, concéntricos y de lados paralelos.



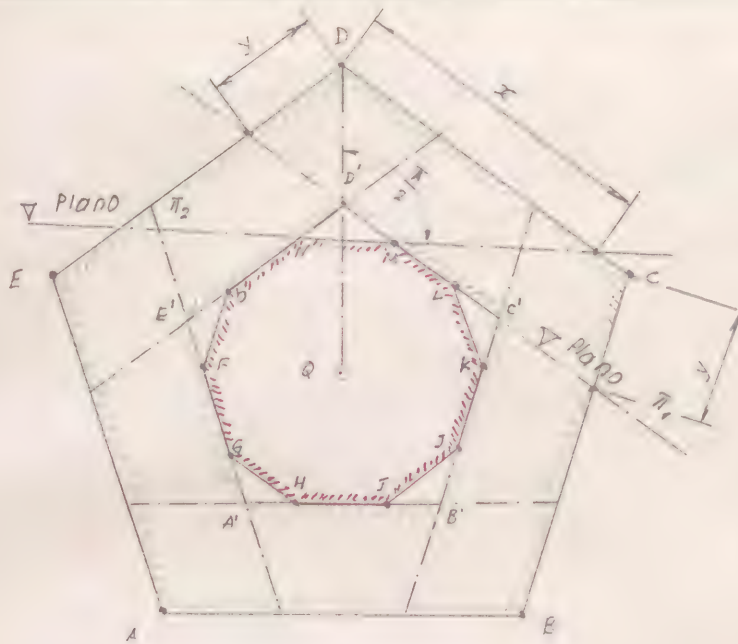


Figura 1

Imaginemos a continuación que efectuamos una truncadura de vértices, producida por planos π_2 a la distancia "x" de sus vértices. Estas nuevas truncaduras darán lugar a la formación del polígono FGH I... MN OF, equiángulo y concéntrico con el primitivo ABC... DEA, siendo en

lado alternativos FG, HI, JK, LM, NO, paralelos a EA, AB, BC, CD, DE respectivamente, y los restantes lados, perpendiculares a los radios AQ, BQ, CQ, DQ, EQ. En una "posición especial" de las truncaduras fijadas por las cotas "x" e "y", el polígono FGH I... MN OF, puede ser regular, en cuyo caso, el poliedro resultante al aplicar sucesivamente ambas truncaduras, será un poliedro ARQUIMEDIANO, de las siguientes características geométricas:

- a) Los planos secantes " π_1 " de la truncadura paralela de aristas y los " π_2 " de la de vértices, dan lugar en sus múltiples intersecciones a la formación, en las caras ABC... DEA del poliedro generador, de polígonos regulares convexos FGH... MN OF de doble número de lados que los de dichas caras, que a su vez son concéntricos con ellas y de lados alternativamente paralelos.



b) Igualmente, dichos planos secantes " π_1 " y " π_2 ", formarán con sus mutuas intersecciones, en cada vértice del poliedro generador, nuevos polígonos regulares cuyo número de lados será el doble del número de caras que concurren en cada vértice, y situados en el plano " π_2 " (fig. 4).

c) Finalmente, los planos secantes " π_1 ", al cortar a dos caras contiguas, darán lugar a la formación de cuadrados paralelos a las aristas y situados en el plano " π_1 ".

El conjunto de las caras limitadas por los polígonos descritos en a), b) y c), forman un POLIEDRO ARQUIMEDIANO.

Como resumen de lo expuesto anteriormente, podemos establecer que una posición especial de los planos " π_1 " y " π_2 " en una "brunquadura paralela de aristas" seguida de una "brunquadura de vértices" de cualquier poliedro regular convexo, da lugar a la formación de un POLIEDRO ARQUIMEDIANO.

En el estudio analítico que realizamos a continuación obtendremos fórmulas generales de los valores " y " y " x " en dicha posición especial, así como de las magnitudes de



sus respectivas aristas y otras magnitudes necesarias para la construcción de dichos ARQUIMEDIANOS.

5) ESTUDIO ANALÍTICO DE MAGNITUDES DE POLIEDROS ARQUIMEDIANOS DERIVADOS DE LOS POLIEDROS REGULARES CONVEXOS, NECESARIAS PARA LA CONSTRUCCIÓN DE LOS MISMOS.

Como consecuencia de lo expuesto en el párrafo 4) de este ESTUDIO PREVIO, deducimos las siguientes relaciones métricas:

Sea (Fig. 2) p.e. $\triangle ABC \dots$ una cara de un poliedro

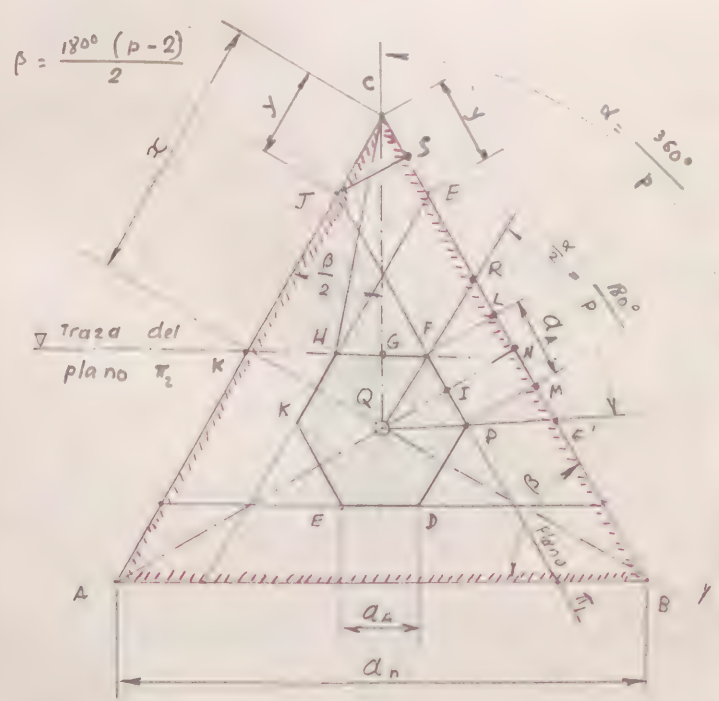


Figura nº 2

" P_n " regular convex generado de arista " a_n " ($n = 4, 6, 8, 12, 20$) y centro Q (en el ejemplo de la figura 2, $n = 4, 8$, ó 20 y P_n , tetraedro, octaedro o icosaedro). Una- mos " Q " con sus " p " vértices ($p = 3, 4, 6, 8, 12, 20$) A, B, C, \dots . Los segmentos $\overline{QA}, \overline{QB}, \overline{QC}, \dots$ serán todos iguales; bisec- trices de los ángulos $\angle AQC,$

$\angle CQB,$ $\angle BQA$ y mediatrices de los lados $\overline{AB}, \overline{BC}, \overline{CA}, \dots$ de los po- liedros regulares de " p " lados. Los ángulos centrales de estos poli-



gonos tendrán una amplitud $\alpha = \frac{360^\circ}{p}$. Los ángulos interiores de los mismos, otra de $\beta = \frac{180^\circ}{p} = \frac{\alpha}{2}$.

Construyamos a continuación un polígono regular convexo de lado arbitrario, y de doble número de lados que el que limita la cara $ABC\dots$, y situemos dicho polígono, concéntrico con éste de forma que los lados alternativos del primero sean paralelos a los del segundo (polígono $HFPDEK$ y centro Q). Con esta construcción los radios $QA, QB, QC\dots$ del polígono de la cara serán perpendiculares a cada par de lados opuestos del polígono construido.

Partiquemos dos segmentos consecutivos (\overline{HF} y \overline{FP} p.e.) hasta que corten a los lados del polígono $ABC\dots$ de la cara con lo que se obtendrán los puntos K y J en el lado AC . Los segmentos $\overline{CT} = y$ y $\overline{CK} = x$ fijarán las posiciones de los planos π_1 y π_2 de la truncadura de vértices y aristas respectivamente. Hacemos también por F, J y P perpendiculares al lado CB , lo que nos determinará los puntos L, S, M , siendo el segmento $\overline{LM} = a_\Delta$. Uniendo los vértices F y P con el centro Q , se nos formará el ángulo central \widehat{FQP} , cuya amplitud será: $\angle FQP = \frac{360^\circ}{2p} = \frac{360^\circ}{p} : 2 = \frac{\alpha}{2} = \frac{180^\circ}{p}$

Consideremos ahora, en el poliedro regular generador P_n , la cara contigua a la $ABC\dots$ de arista común \overline{BC} , y en la que supondremos efectuadas todas las construcciones realizadas en la $ABC\dots$. Ambas caras formarán entre sí un ángulo diédrico " 2φ ", medido por su rectilíneo correspondiente.



En la figura 3 representamos el diedro que forman dos caras iguales de arista común \overline{BC} (fig. 2), por su rectilíneo correspondiente "2 φ ". (φ es distinto en cada poliedro generador).

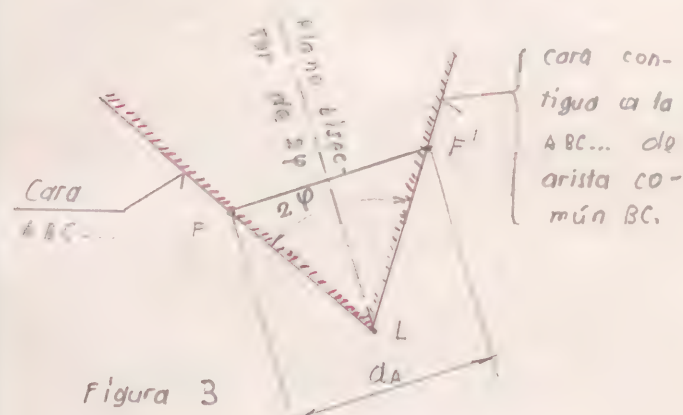


Figura 3

pondiente "2 φ ". (φ es distinto en cada poliedro generador).

Traslademos a esta figura 5, a partir de L, el segmento FL de la figura 4, y determinemos a continuación

el punto F', simétrico del F con respecto al plano bisector del diedro 2 φ .

El segmento $\overline{FF'}$ será uno de los lados de las caras cuadradas producidas por el proceso c) del párrafo 4.

Teniendo presente ahora los conceptos desarrollados en el párrafo 4 con sus figuras adaratorias nº 2 y 3, calculamos seguidamente las siguientes magnitudes:

4.1) ARISTA "a_A" DEL ARQUIMEDIANO NÚCLEO.

Del triángulo isósceles FLF' de la figura 3, se deduce:

a) $\overline{FL} \operatorname{sen} \varphi = \frac{\overline{FF'}}{2}$

Establezcamos ahora la condición de m (fig. 2 y 3)

b) $\overline{FF'} = \overline{FP} = a_A$



De las fórmulas a) y b) se deduce:

$$c) \quad \overline{FL} = \frac{\overline{FF'}}{2} : \text{sen } \varphi = \frac{a_A}{2 \text{ sen } \varphi}$$

De la figura 2, se deduce:

$$d) \quad \overline{QN} = \overline{QI} + \overline{IN} \quad \text{en la que}$$

$$e) \quad \overline{QN} = \overline{NB} \text{ ctg } \angle NQB = \frac{a_n}{2} \text{ ctg } \frac{\alpha}{2}$$

$$f) \quad \overline{QI} = \overline{IP} \times \text{ctg } \angle IQP = \frac{a_A}{2} \text{ ctg } \frac{\alpha}{4} \quad \text{y también: (ver c)}$$

$$g) \quad \overline{IN} = \overline{FL} = \frac{a_A}{2 \text{ sen } \varphi}$$

Substituyendo en d) los valores e), f) y g), tendremos la ecuación:

$$h) \quad \frac{a_n}{2} \text{ ctg } \frac{\alpha}{2} = \frac{a_A}{2} \text{ ctg } \frac{\alpha}{4} + \frac{a_A}{2 \text{ sen } \varphi} = a_A \left[\frac{\text{ctg } \frac{\alpha}{4}}{2} + \frac{1}{2 \text{ sen } \varphi} \right]$$

y despejando en ésta el valor de " a_A ", tendremos finalmente:

$$\boxed{a_A} = \frac{a_n \text{ ctg } \frac{\alpha}{2}}{2} : \left[\frac{\text{ctg } \frac{\alpha}{4}}{2} + \frac{1}{2 \text{ sen } \varphi} \right] = \frac{\text{ctg } \frac{\alpha}{2} : 2}{\frac{\text{ctg } \frac{\alpha}{4}}{2} + \frac{1}{2 \text{ sen } \varphi}} a_n =$$

$$= \frac{\frac{\text{ctg } \frac{\alpha}{2}}{2}}{\frac{\text{ctg } \frac{\alpha}{4}}{2} \times 2 \text{ sen } \varphi + 2} a_n = \frac{\text{ctg } \frac{\alpha}{2} \times 4 \text{ sen } \varphi}{\text{ctg } \frac{\alpha}{4} \times 4 \text{ sen } \varphi + 4} a_n = \boxed{\frac{\text{ctg } \frac{\alpha}{2} \times \text{sen } \varphi}{\text{sen } \varphi \text{ ctg } \frac{\alpha}{4} + 1}} a_n$$

de donde finalmente deducimos la fórmula general
(sigue)

$$d_A = \frac{\sigma_2^{\frac{\alpha}{2}} \times \text{sen } \varphi}{\text{sen } \varphi \times \text{ctg } \frac{\alpha}{4} + 1} \sigma_n \quad (1)$$

4.2) DISTANCIA "y" QUE FIJA LA POSICIÓN DEL PLANO SECANTE "π₁" EN LA TRUNCADURA PARALELA DE ARISTAS.

De la figura 2, obtenemos las siguientes relaciones:

En el triángulo CJS, tendremos:

$$a) \quad \overline{CJ} = JS : \text{sen } \alpha \quad JCS = \frac{\overline{JS}}{\text{sen } \beta} = y$$

También es:

$$b) \quad \overline{JS} = \overline{IN} = \overline{QN} - \overline{QI}$$

y siendo

$$c) \quad \overline{QN} = \text{Radio de la circunferencia inscrita al polígono ARC- de la cara de "p" lado} = r_{ci}^p \quad \text{y también}$$

$$d) \quad \overline{QI} = \text{Radio de la circunferencia inscrita al polígono interior de 2p lados} = r_{ci}^{2p}$$

Sustituyendo los valores c) y d) en b), será

$$e) \quad \overline{JS} = r_{ci}^p - r_{ci}^{2p}$$

y sustituyendo en a) el valor e), tendremos finalmente

$$y = \frac{r_{ci}^p - r_{ci}^{2p}}{\text{sen } \beta} \quad (2)$$

4.3) DISTANCIA "x" QUE FIJA LA POSICIÓN DEL PLANO SECANTE "T₂" EN LA TRUNCADURA DE VÉRTICES.

Del triángulo rectángulo KCG de la figura 2, se deduce:

$$a) \quad \overline{CK} = y = \frac{\overline{CG}}{\cos \angle KCG} = \frac{CG}{\cos \frac{\beta}{2}}$$

siendo β el ángulo interior del polígono de "p" lados de una cara del poliedro generador

$$b) \quad \overline{CG} = \overline{CQ} - \overline{GQ}$$

en la que \overline{CQ} = Radio de la circunferencia circunscrita al polígono de la cara de "p" lados = r_{cc}^p . y también \overline{GQ} = Radio de la circunferencia inscrita al polígono interior de "2p" lados = r_{ci}^{2p} . Sustituyendo estos valores en a) y b), tendremos finalmente

$$x = \frac{r_{cc}^p - r_{ci}^{2p}}{\cos \frac{\beta}{2}} \quad (3)$$

4.4) ARISTA LATERAL "α_l" DE LAS PIRÁMIDES AUXILIARES QUE FIJAN LA POSICIÓN DE LOS VÉRTICES DEL POLIEDRO REGULAR GENERADOR "P_h", CON RESPECTO AL ADQUIMEDIANO GENERADO.

Dicha arista es el segmento \overline{CH} de la figura 2, y a su vez hipotenusa del triángulo rectángulo CHG.

De la figura 2 se deduce

$$a) \quad CH = \sqrt{\overline{CG}^2 + \overline{HG}^2} \quad \text{en la que } \overline{CG} = \overline{CQ} - \overline{QG} = r_{cc}^p - r_{ci}^{2p}$$

$$\text{y } \overline{HG} = \frac{\overline{HF}}{2} = \frac{a_A}{2} \quad \text{y tambien } CH = a_\ell$$

Substituyendo valores en a), tendremos finalmente

$$a_\ell = \sqrt{(r_{cc}^p - r_{ci}^{2p})^2 + \left(\frac{a_A}{2}\right)^2} \quad (4)$$

Con los conceptos desarrollados en este ESTUDIO PREVIO, y aplicando a cada poliedro regular convexo P_n , las fórmulas generales (1), (2), (3) y (4), podemos construir el siguiente modelo M-42.9 (P_n), correspondiente al enunciado explícito del mismo, que desarrollamos a continuación.



EXHIBICIÓN

MODELO CORPÓREO DEL "ARQUIMEDIANO X" OBTENIDO POR TRUNCADURA PARALELA DE ARISTAS DE UN TETRAEDRO REGULAR CON VEXO DE ARISTA " a_4 ", A LA DISTANCIA " $y = \frac{1}{6} a_4$ " SEGUIDA DE UNA TRUNCADURA DE VÉRTICES (O VICEVERSA), A LA DISTANCIA " $x = \frac{1}{2} a_4$ ", AL TOMAR SOBRE CADA ARISTA, Y DESDE SU VÉRTICE, LAS DISTANCIAS " y " Y " x " RESPECTIVAMENTE. EL ARQUIMEDIANO OBTENIDO, SE CONSTRUIRÁ CON LAS CARAS MACIZAS, Y EL TETRAEDRO REGULAR CONVEXO GENERADOR, CON LAS CARAS VACIADAS.

Radio de la esfera circunscrita al tetraedro regular:

$$r_{ec}^4 = 110 \text{ mm.}$$

ENUNCIADO: Construir el modelo corpóreo del "ARQUIMEDIANO X", obtenido por "truncadura paralela de aristas" de un tetraedro regular convexo de arista " a_4 ", a la distancia " $y = \frac{1}{6} a_4$ ", seguida de una "truncadura de vértices" (o viceversa), a la distancia " $x = \frac{1}{2} a_4$ ", al tomar desde cada arista, y desde su vértice, las distancias " y " y " x " respectivamente. El Arquimediario obtenido, se construirá con las caras macizas, y el tetraedro regular convexo generador, con las caras vaciadas.

DATO ÚNICO DE ESTE EJERCICIO: r_{ec}^4 = Radio de la esfera circunscrita al tetraedro regular generador:

$$r_{ec}^4 = 110 \text{ mm}$$

1). GENERALIDADES

En el ESTUDIO PREVIO realizado anteriormente, desarrollamos y aplicamos a continuación, una variante al proceso geométrico denominado "TRUNCADURA PARALELA DE ARISTAS" seguida de una "TRUNCADURA DE VÉRTICES" de un poliedro regular convexo, diferente al estudiado en el ejercicio M-35.10.

Esta nueva aplicación de dicho proceso, da lugar también a la formación de un poliedro núcleo convexo, cuyas características geométricas, detallamos en el párrafo 4.

(Alvarez)

Abril 1982

En el caso especial descrito en este enunciado, dicho poliedro prismatico, es un ARQUIMEDIANO.

Las características geométricas de este Arquimiliano, serán pues las siguientes:

- Los planos secantes " π_1 " de la truncadura paralela de aristas, y los " π_2 " de la de vértices, dan lugar a la formación de 4 escágonos regulares de lado " $l_6 = d_6$ ", situados en las caras del tetraedro generador.
- Igualmente dichos planos " π_1 " y " π_2 " formarán con sus mutuas intersecciones, otros 4 escágonos regulares de lado " $l_6 = d_6$ ", en cada vértice, e iguales a los anteriores.
- Los planos secantes " π_1 " producen a su vez 6 cuadrados paralelos a las aristas, situados en " π_1 " y de lado " $l_4 = d_4$ ".

Por consiguiente, el poliedro que está limitado por OCHO CADAS EXAGONALES REGULARES, Y SEIS CUADRADAS todas de igual lado.

Estas son las características geométricas del ARQUIMEDIANO X, estudiado y representado en el ejercicio G.E. n.º... Lámina 42, que detallamos en la siguiente página:

ARQUIMEDIANO X

- 1) Número de caras hexagonales $C_6 = 8$
- 2) Número de caras cuadrados $C_4 = 6$
- 3) Número de vértices $V = 24$
- 4) Número de aristas $A = 36$
- 5) Número de caras en cada vértice $2C_6 + 1C_4$

2) POSICIÓN DE LOS PLANOS SECANTES " π_1 " Y " π_2 "

La posición de los planos secantes " π_1 " con los que se obtiene la "truncadura paralela de aristas", y la de los " π_2 " para la "truncadura de vértices" con respecto al poliedro generador, se obtiene mediante las distancias " y " y " x " respectivamente, tomadas sobre las aristas y a partir de sus vértices. Para esto se han obtenido anteriormente, fórmulas generales que aplicaremos a este ejercicio.

2.1) Distancia " y " que fija la posición del plano " π_1 " en la truncadura paralela de aristas:

Se obtiene, en función de la arista " a_6 " del poliedro generador, de la fórmula general (2), deducida en el estudio previo). Su valor, es:

$$y = \frac{r_{ci}^p - r_{ci}^{2p}}{\text{sen } \beta} a_n \quad (2)$$

En esta fórmula sustituiremos los valores generales de sus variables, por los particulares siguientes, correspondientes al tetraedro regular curvoso generador:

- a) $n =$ Número de caras del tetraedro $= 4$
- b) $p =$ Número de lados de los polígonos de una cara del tetraedro generador $= 3$
- c) $r_{ci}^p = r_{ci}^3 =$ Radio de la circunferencia inscrita al triángulo de una cara del tetraedro, de lado " a_4 "
- d) $r_{ci}^{2p} = r_{ci}^6 =$ Radio de la circunferencia inscrita al octógono regular de una cara del Arquimedeano X, de arista " a_X "
- e) $\beta =$ Ángulo interior del polígono de una cara
- $$= \frac{180}{3} = 60^\circ$$

De estos valores se deduce:

f) $\boxed{\text{sen } \beta} = \text{sen } 60^\circ = \boxed{\frac{\sqrt{3}}{2}} \quad (\text{Ver G.P. 1006})$

g) $\boxed{r_{ci}^p} = r_{ci}^3 = \boxed{\frac{\sqrt{3}}{6} a_4} \quad (\text{Ver G.P. 1.400-42 (3)})$

h) $\boxed{r_{ci}^{2p}} = r_{ci}^6 = \frac{\sqrt{3}}{2} a_X = \frac{\sqrt{3}}{2} \times \frac{1}{6} a_4 = \boxed{\frac{\sqrt{3}}{12} a_4} \quad (\text{Ver G.P. 1400-45 (3)})$

Calvaire

Abril 1982

(El valor de $a_x = \frac{1}{6} a_4$ se deduce posteriormente en el párrafo 3.21).

Sustituyendo los valores f), g), h) en (2), tendremos:

$$y = \frac{\frac{\sqrt{3}}{4} a_4 - \frac{\sqrt{3}}{12} a_4}{\frac{\sqrt{3}}{2}} = \frac{\frac{2\sqrt{3}}{12} - \frac{\sqrt{3}}{12}}{\frac{\sqrt{3}}{2}} a_4 = \frac{\sqrt{3}}{12} : \frac{\sqrt{3}}{2} a_4 = \boxed{\frac{1}{6} a_4}$$

De donde se obtiene finalmente:

$$y = \frac{1}{6} a_4$$

Este valor de "y" justifica el expresado en el enunciado

2.2) Distancia "x" que fija la posición del plano " π_2 " en la Truncadura de vértices.

Se obtiene, en función de la arista " a_n " del poliedro generador, de la fórmula general (3) deducida en el estudio previo.

$$x = \frac{\sqrt{c_c^p} - \sqrt{c_i^{2p}}}{\omega \frac{\beta}{2}} \quad (3)$$

En esta fórmula sustituiremos los valores generales de sus variables, por los particulares siguientes, correspondientes al tetraedro regular generador:

a) $n = \text{Número de caras del Tetraedro} = 4$

b) $a_h = a_u = \text{Arista del tetraedro}$

c) $p = \text{Número de lados de los polígonos de las caras del tetraedro} =$
generador = 3

d) $\Gamma_{cc}^p = \Gamma_{cc}^3 = \text{Radio de la circunferencia circunscrita al}$
triángulo de una cara del tetraedro, de lado " a_u ".

e) $\Gamma_{ci}^{2p} = \Gamma_{ci}^6 = \text{Radio de la circunferencia inscrita al octógono}$
regular de una cara del Arquimedeano X, de
arista " a_x ".

f) $\beta = \text{Ángulo interior de una cara del tetraedro} = \frac{180^\circ}{3} = 60^\circ$

De estos valores se deduce

g) $\cos \frac{\beta}{2} = \cos \frac{60^\circ}{2} = \cos 30^\circ = \frac{\sqrt{3}}{2}$ (Ver G.P. 1.006)

h) $\Gamma_{cc}^p = \Gamma_{cc}^3 = \frac{\sqrt{3}}{3} a_u$ (Ver G.P. 1.400-42 (2))

i) $\Gamma_{ci}^{2p} = \Gamma_{ci}^6 = \frac{\sqrt{3}}{2} a_x = \frac{\sqrt{3}}{2} \times \frac{1}{6} a_u = \frac{\sqrt{3}}{12}$ (Ver G.P. 1.400-45 (3))

(El valor de $a_x = \frac{1}{6} a_u$ se deduce posteriormente en el párrafo 3.21)

Substituyendo los valores g), h), i), en (3), tendremos:

$$x = \frac{\frac{\sqrt{3}}{3} a_u - \frac{\sqrt{3}}{12} a_u}{\frac{\sqrt{3}}{2}} = \frac{\frac{4\sqrt{3}}{12} - \frac{\sqrt{3}}{12}}{\frac{\sqrt{3}}{2}} a_u = \frac{\sqrt{3}}{4} : \frac{\sqrt{3}}{2} a_u = \left[\frac{1}{2} a_u \right]$$

de donde se obtiene finalmente



$$x = \frac{1}{2} a_4$$

Este valor de "x" justifica el expresado en el enunciado.

3) CONSTRUCCIÓN DE ESTE MODELO

Para la construcción de este modelo son necesarias las siguientes piezas:

3.1) TETRAEDRO REGULAR GENERADOR, DE CARAS VACIADAS

El valor se obtiene de la fórmula " $r_{ec}^4 = \frac{\sqrt{6}}{4} a_4$ ", deducida en el ejercicio G.E. n° --- Lámina 1. Despejando en ella " a_4 ", más:

$$|a_4| = r_{ec}^4 : \frac{\sqrt{6}}{4} = \frac{4}{\sqrt{6}} r_{ec}^4 = \frac{4\sqrt{6}}{6} r_{ec}^4 = \frac{2\sqrt{6}}{3} r_{ec}^4$$

PIEZA N° 1 CARAS SUPERFICIALES 4 unidades

La forma y dimensiones son iguales a la de la figura 1 del ejercicio M-1.102

PIEZA N° 2 UNIONES A DISTAS 6 unidades

La forma y dimensiones son iguales a la de la figura 2 del ejercicio M-1.102

3.2) ARQUIMEDIANO \overline{X} (NÚCLEO DEL TETRAEDRO GENERADOR), DE CARAS MACIZAS, INCLUIDO LAS PIRÁMIDES AUXILIARES DE FIJACIÓN DE LOS VÉRTICES DEL TETRAEDRO GENERADOR A LAS CADAS EXAGONALES DEL ARQUIMEDIANO \overline{X} .

3 - 2.1) Longitud " a_x " de la arista del Arquimédiano \overline{X} engendrado por el tetraedro regular P_4 .

Se obtiene, en función de la arista " a_4 " del tetraedro generador, de la fórmula (1) deducida en el estudio previo

$$a_x = \frac{\operatorname{ctg} \frac{\alpha}{2} \operatorname{sen} \varphi}{\operatorname{sen} \varphi \operatorname{ctg} \frac{\alpha}{2} + 1} a_n \quad (1)$$

En esta fórmula, sustituiremos los valores generales de sus variables por los particulares siguientes, correspondientes al tetraedro regular convexo generador:

a) $n = \text{Número de caras del tetraedro} = 4$

b) $a_n = a_4 = \text{Arista del tetraedro}$

c) $\alpha = \text{Ángulo central del triángulo de una cara del tetraedro} = \frac{360^\circ}{3} = 120^\circ$

d) $\varphi = \text{Semiángulo del diedro formado por dos caras contiguas del tetraedro}$

De estos valores se deduce:

e) $\operatorname{sen} \varphi = \frac{\sqrt{3}}{3} \quad (\text{Ver G.P. n}^\circ \dots \text{ Lámina 1})$



$$f) \quad \operatorname{ctg} \frac{\alpha}{2} = \operatorname{ctg} \frac{120^\circ}{2} = \operatorname{ctg} 60^\circ = 1 : \sqrt{3} = \frac{\sqrt{3}}{3} \quad (\text{Ver G.P. 1006})$$

$$g) \quad \operatorname{ctg} \frac{\alpha}{2} = \operatorname{ctg} \frac{120^\circ}{4} = \operatorname{ctg} 30^\circ = 1 : \frac{\sqrt{3}}{3} = \sqrt{3} \quad (\text{Ver G.P. 1006})$$

Substituyendo los valores e), f), g) en (i), tendremos:

$$\boxed{a_x} = \frac{\frac{\sqrt{3}}{3} \times \frac{\sqrt{3}}{3}}{\frac{\sqrt{3}}{3} \times \sqrt{3} + 1} a_4 = \frac{\frac{1}{3}}{2} a_4 = \boxed{\frac{1}{6} a_4}$$

Puede obtenerse " a_x " en función de r_{ec}^4 (dato de este modelo), substituyendo " $a_4 = \frac{2\sqrt{6}}{3} r_{ec}^4$ ". Este valor se obtiene de la fórmula " $r_{ec}^4 = \frac{\sqrt{6}}{4} a_4$ " deducida en el ejercicio G.E. n° --- Lámina 1 despejando en ella " a_4 ". Substituyendo dicho valor, tendremos:

$$\boxed{a_x} = \frac{1}{6} a_4 = \frac{1}{6} \times \frac{2\sqrt{6}}{3} r_{ec}^4 = \boxed{\frac{\sqrt{6}}{9} r_{ec}^4}$$

El valor numérico de la arista a_x , se obtiene de la fórmula anterior

$$a_x = \frac{\sqrt{6}}{9} \times 110 \approx 0,272165527... \times 110 \approx 29,9 \approx 30,0 \text{ mm}$$

PIEZA N° 3 CARAS SUPERFICIALES EXAGONALES

8 unidades

Su forma y dimensiones se detallan en la figura n° 1

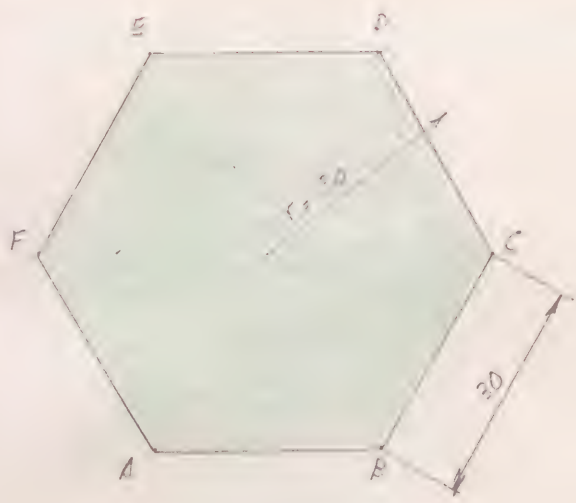


Figura 1

$$AE = EC = CE = DE = EF = 30$$

PIEZA N° 3

8(u)

Figura 1

PIEZA N° 4 CADA SUPERFICIALES CUADRADAS 6 unidades

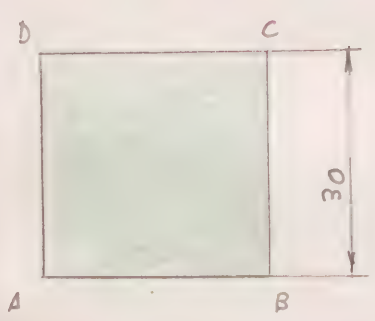


Figura 2

La forma y dimensiones se detallan en la figura 2

PIEZA N° 4 6(u)

Figura 2

PIEZA N° 5 UNIONES ARISTAS 36 unidades

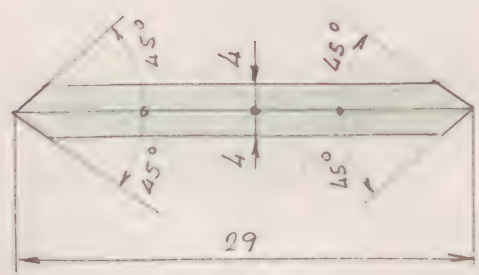


Figura 3

La forma y dimensiones se detallan en la figura 3

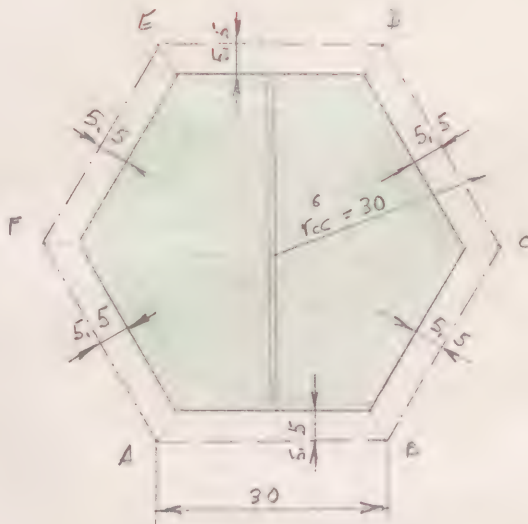
PIEZA N° 5

36(u)

Figura 3

PIEZA N° 6 REFUERZO NORMAL EN CARAS EXAGONALES

8 unidades



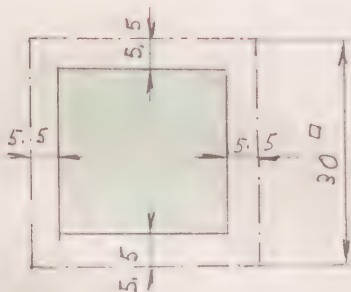
La forma y dimensiones se detallan en la figura 4

PIEZA N° 6 8(u)

Figura 4

PIEZA N° 7 REFUERZO NORMAL EN CARAS CUADRADAS

6 unidades



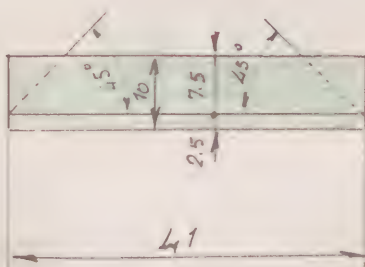
La forma y dimensiones se detallan en la figura 5

PIEZA N° 7 6(u)

Figura 5

PIEZA N° 8 REFUERZO TRANSVERSAL EN CARAS EXAGONALES

16 unidades



La forma y dimensiones se detallan en la figura 6

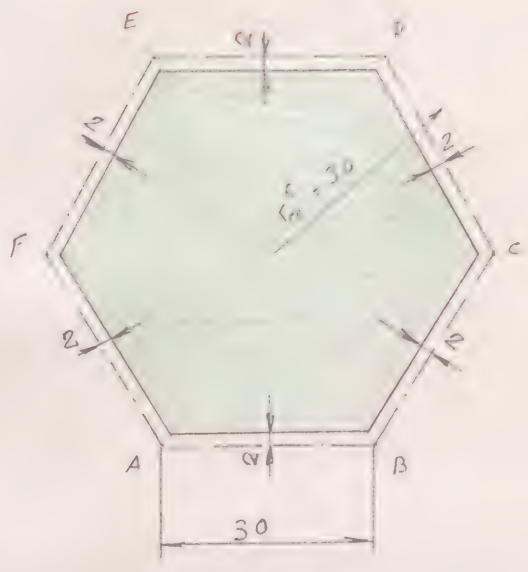
PIEZA N° 8 16(u)

Figura 6

Figura 6

PIEZA N° 9 FORRO COLOREADO EN CARAS EXAGONALES

8 unidades



La forma y dimensiones se detallan en la figura 9

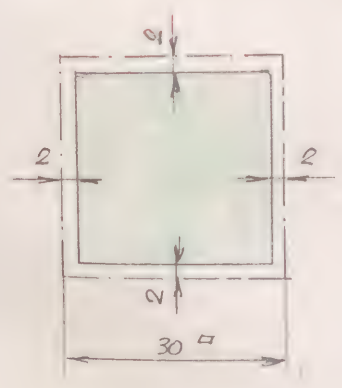
PIEZA N° 9 8 (u)

Figura 7

Figura 7

PIEZA N° 10 FORRO COLOREADA EN CARAS CUADRADAS

6 unidades



La forma y dimensiones se detallan en la figura 8

PIEZA N° 10 6 (u)

Figura 10

Figura 8

3. - 2.2) Arista lateral "a_l" de los pirámides auxiliares exagonales que fijan la posición de los vértices del tetraedro generador con respecto al ARQUIMEDIANO X.

Se obtiene, en función de la arista "a_n" del tetraedro generador, de la fórmula (4), deducida en el estudio previo.

$$a_l = \sqrt{\left(r_{cc}^p - r_{ci}^{2p}\right)^2 + \left(\frac{a_A}{2}\right)^2}$$

(4)

En esta fórmula, sustituiremos los valores generales de sus variables, por los particulares siguientes, correspondientes al tetraedro regular generador:

a) $n = \text{Número de caras del tetraedro.} = 4$

b) $a_n = a_4 = \text{Arista del tetraedro}$

c) $p = \text{Número de lados de los polígonos de las caras del tetraedro} = 3$

d) $r_{cc}^p = r_{cc}^3 = \text{Radio de la circunferencia circunscrita al triángulo de una cara del tetraedro, de lado "a}_4\text{"}$

e) $r_{ci}^{2p} = r_{ci}^6 = \text{Radio de la circunferencia inscrita al hexágono regular de una cara del Arquimediaco X, de arista "a}_x\text{"}$

f) $a_A = \text{Arista del Arquimediaco}$

De estos valores se deduce

g) $a_A = a_x = \frac{1}{6} a_4 \quad (\text{Ver párrafo 3-2.1})$

h) $r_{cc}^p = r_{cc}^3 = \frac{\sqrt{3}}{3} a_4 \quad (\text{Ver G.P. 1.400-42 (2)})$

i) $r_{ci}^{2p} = r_{ci}^6 = \frac{\sqrt{3}}{2} a_x = \frac{\sqrt{3}}{2} \times \frac{1}{6} a_4 = \frac{\sqrt{3}}{12} a_4 \quad (\text{Ver G.P. 1.400-45 (3)})$

Sustituyendo los valores g), h), i), en (4), tendremos:

$$a_e = \sqrt{\left(\frac{\sqrt{3}}{3} a_4 - \frac{\sqrt{3}}{12} a_4\right)^2 + \left(\frac{\frac{1}{6} a_4}{2}\right)^2} = \sqrt{\left(\frac{\sqrt{3}}{3} - \frac{\sqrt{3}}{12}\right)^2 a_4^2 + \left(\frac{1}{12}\right)^2 a_4^2} =$$

$$= \sqrt{\left(\frac{4\sqrt{3}-\sqrt{3}}{12}\right)^2 + \left(\frac{1}{12}\right)^2} a_4 = \sqrt{\left(\frac{3\sqrt{3}}{12}\right)^2 + \frac{1}{12^2}} a_4 = \sqrt{\frac{27}{12^2} + \frac{1}{12^2}} a_4 =$$

$$= \frac{\sqrt{28}}{12} a_4 = \frac{2\sqrt{7}}{12} a_4 = \boxed{\frac{\sqrt{7}}{6} a_4}$$

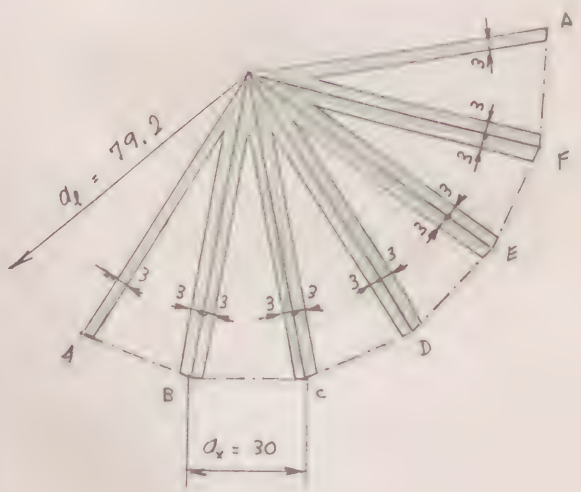
Puede obtenerse " a_e " en función de r_{ec}^4 , (dato de este ejercicio), sustituyendo " $a_4 = \frac{2\sqrt{6}}{3} r_{ec}^4$ ", valor obtenido en el párrafo 3.1 de este ejercicio. Así pues será:

$$\boxed{a_e} = \frac{\sqrt{7}}{6} a_4 = \frac{\sqrt{7}}{6} \times \frac{2\sqrt{6}}{3} r_{ec}^4 = \dots\dots\dots = \boxed{\frac{\sqrt{42}}{9} r_{ec}^4}$$

El valor numérico, será:

$$\boxed{a_e} = \frac{\sqrt{42}}{9} r_{ec}^4 \approx 0.720082300\dots \times 110 \approx \boxed{79.2 \text{ mm}}$$

PIEZA N° 11 DESARROLLO LATERAL DE LAS PIRÁMIDES AUXILIARES EXAGONALES 4 unidades



La forma y dimensiones se detallan en la figura 9.

$$\overline{AB} = \overline{BC} = \overline{CD} = \overline{DE} = \overline{EF} = \overline{FA} = 30 \text{ mm}$$

PIEZA N° 11 4(u)

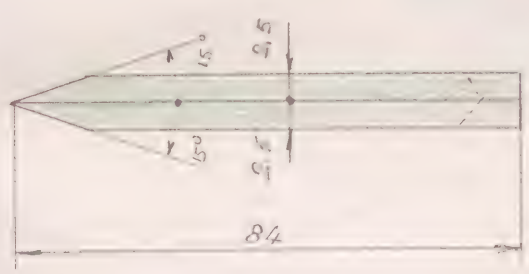
Figura 9

Figura 9

PIEZA N° 11 UNIONES ADISTAS DE LAS PIRÁMIDES EXAGONALES

24 unidades

La forma y dimensiones se detallan en la figura 10



PIEZA N° 11 24 (U)

Figura 10

Figura 10





MODELO

M - 42.9

Patrones



MODELO CORPÓREO DEL POLIEDRO CONVEXO DE CARAS

MACIZAS "ARQUIMEDIANO $\overline{\text{XI}}$ ", FORMADO POR OCHO CA-

RAS EXAGONALES (C_6); DOCE CARAS CUADRADAS (C_4) Y SEIS

CARAS OCTOGONALES (C_8), CONCURRIENDO EN CADA VÉR-

TICE 1 C_4 ; 1 C_6 y 1 C_8 .

Radio de la esfera circunscrita :

$$r_{e_c}^{\overline{\text{XI}}} = 110 \text{ mm}$$

ENUNCIADO: Construir el modelo corpóreo del poliedro convexo de caras mixtas "ARQUIMEDIANO XI", formado por 12 caras cuadradas C_4 ; 8 hexágonos C_6 y 6 octógonos C_8 , concurrendo en cada vértice $1 C_4 + 1 C_6 + 1 C_8$.

Este poliedro ha sido estudiado analíticamente en el ejercicio G.E. n°... - Lomina 43, y representado en sus vistas principal, superior y lateral izquierda, a escala 1:1, siendo $r_{ec}^{XI} = 55 \text{ mm}$.

DATO ÚNICO DE ESTE EJERCICIO: Radio de la esfera circunscrita

$$r_{ec}^{XI} = 110 \text{ mm}$$

Las características geométricas de este Arquimedeano XI, son:

- 1) Número de caras cuadradas $C_4 = 12$
- 2) Número de caras hexagonales regulares $C_6 = 8$
- 3) Número de caras octogonales regulares $C_8 = 6$
- 4) Número de vértices = $\frac{12 \times 4 + 8 \times 6 + 6 \times 8}{3} = V = 48$
- 5) Número de aristas = $\frac{12 \times 4 + 8 \times 6 + 6 \times 8}{2} = A = 72$
- 6) Número de caras en cada vértice $1 C_4 + 1 C_6 + 1 C_8$

Para obtener el despiece de este poliedro, calculemos previamente la longitud " a_{XI} " de la arista del mismo, en función del radio " r_{ec}^{XI} " de su esfera circunscrita.

El valor se deduce de la fórmula " $r_{ec}^{XI} = \frac{\sqrt{11 + 5\sqrt{5}}}{2} a_{XI}$ ", siendo



de en el mencionado ejercicio G.E. n°... - lámina 42. Despejando en ella a_{x1} , tendremos:

$$\boxed{a_{x1}} = r_{ec}^{x1} : \frac{\sqrt{13+6\sqrt{2}}}{2} = \frac{2}{\sqrt{13+6\sqrt{2}}} r_{ec}^{x1} = \frac{2\sqrt{13+6\sqrt{2}}}{13+6\sqrt{2}} r_{ec}^{x1} =$$

$$= 2 \sqrt{\frac{13+6\sqrt{2}}{(13+6\sqrt{2})^2}} r_{ec}^{x1} = 2 \sqrt{\frac{1}{13+6\sqrt{2}}} r_{ec}^{x1} = \boxed{2 \sqrt{\frac{13-6\sqrt{2}}{97}} r_{ec}^{x1}}$$

El valor numérico será pues:

$$\boxed{a_{x1}} = 2 \sqrt{\frac{13-6\sqrt{2}}{97}} \times 110 \cong 0,431478811... \times 110 \cong 47,46 \cong \boxed{47,5 \text{ mm}}$$

Esta sola magnitud nos permite la construcción del poliedro estudiado, para lo cual son necesarias las siguientes piezas:

PIEZA N° 1 CARAS SUPERFICIALES CUADRADAS, 12 unidades

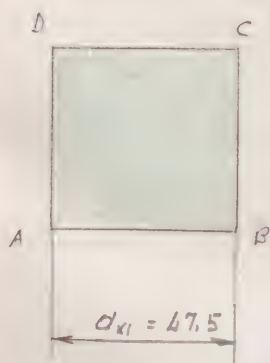


Figura 1

La forma y dimensiones se detallan en la figura 1

PIEZA N° 1 12 (u)

Figura 1

PIEZA N° 2 CARAS SUPERFICIALES EXAGONALES REGULARES

8 unidades.

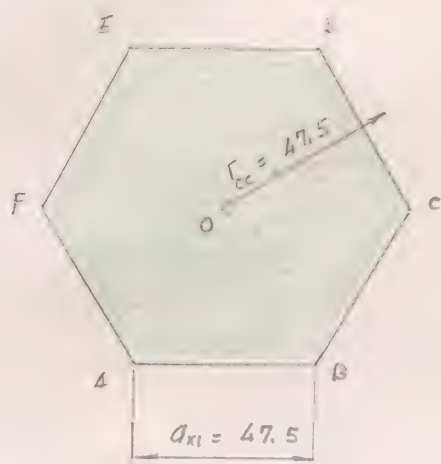


Figura 2

La forma y dimensiones se detallan en la figura 2

PIEZA N° 2 8(u)

Figura 2

PIEZA N° 3 CARAS SUPERFICIALES OCTOGONALES REGULARES

6 unidades

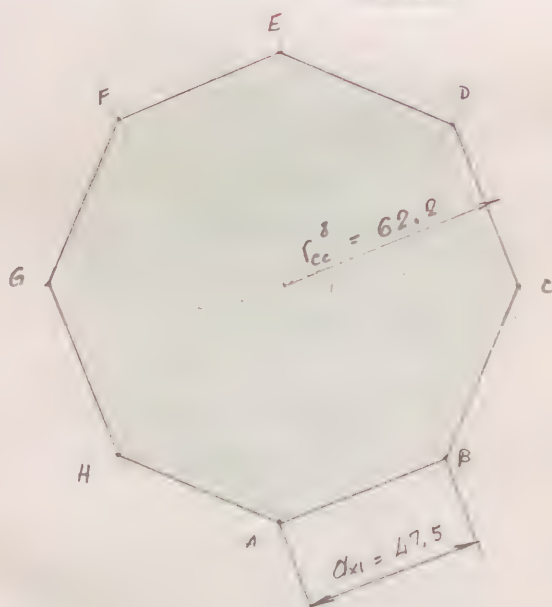


Figura 3

$$r_{cc}^8 = 1,3066 \times 47.5 = 62.2 \text{ mm}$$

La forma y dimensiones se detallan en la figura 3

PIEZA N° 3

6(u)

Figura 3

PIEZA N° 4 REFUERZO NORMAL EN CARAS CUADRADAS 12 unidades

La forma y dimensiones se deducen de las del cuadrado ABCD de la figura 1, y se detallan en la figura n° 4

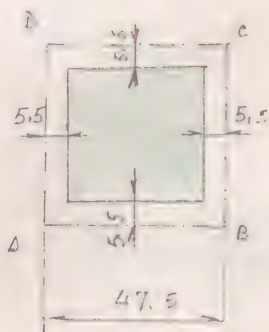


Figura 4

PIEZA N° 4 12 (u)

Figura 4

PIEZA N° 5 REFUERZO NORMAL EN CARAS EXAGONALES REGU-
LARES 8 unidades

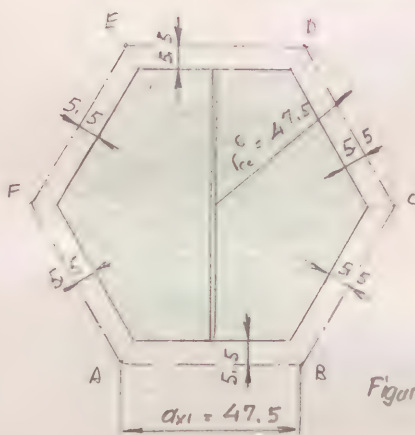


Figura 5

La forma y dimensiones se deducen de las del escágono ABCDEF de la fig. 2 y se detallan en la figura 5

PIEZA N° 5 8 (u)

Figura 5

PIEZA N° 6 REFUERZO NORMAL EN CARAS OCTOGONALES RE-
GULARES 6 unidades

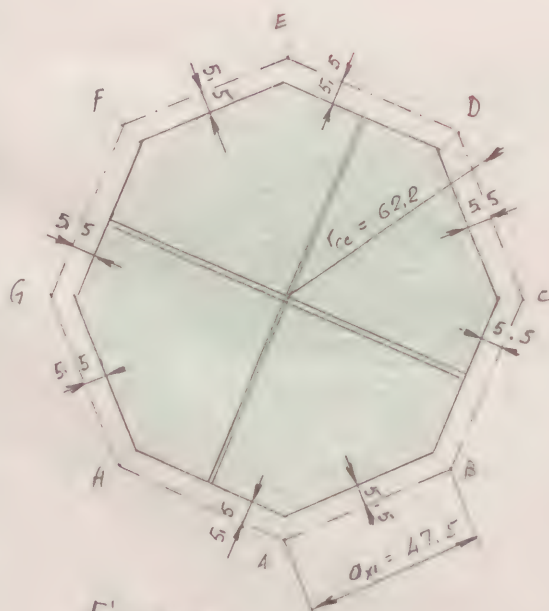


Figura 6

La forma y dimensiones se deducen de las del octógono ABCD... EFGH de la figura 3, y se detallan en la figura 6

PIEZA N° 6

6 (u)

Figura 6

PIEZA N° 7 REFUERZO NORMAL EN CARAS EXAGONALES REGULARES

16 unidades

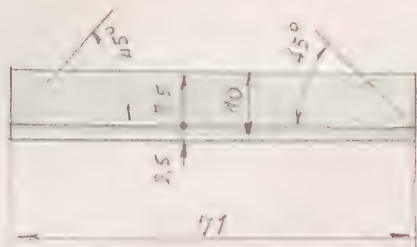


Figura 7

La forma y dimensiones se detallan en la figura 7; su colocación en la figura 5

PIEZA N° 7 16 (u)

Figura 7

PIEZA N° 8 REFUERZO NORMAL EN CARAS OCTOGONALES REGULARES

24 unidades

La forma y dimensiones se detallan en la figura 8; su colocación en la figura 6

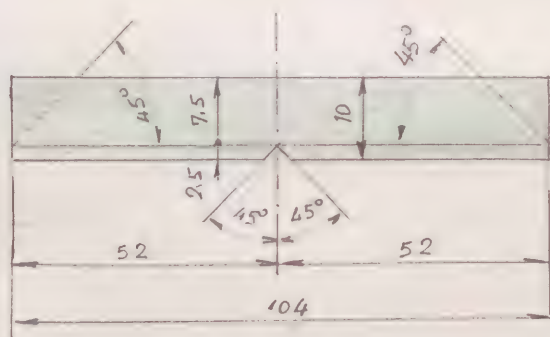


Figura 8

PIEZA N° 8 24 (u)

Figura 8

PIEZA N° 9 UNIONES AOSTAS

72 unidades

La forma y dimensiones se detallan en la figura 9

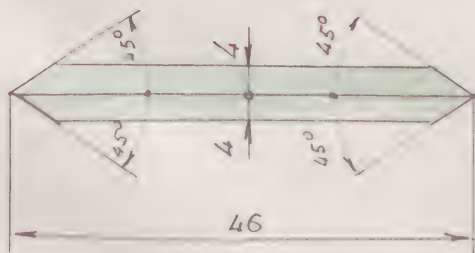


Figura 9

PIEZA N° 9 72 (u)

Figura 9



PIEZA N° 10

FORRO COLOREADO EN CARAS CUADRADAS

12 unidades

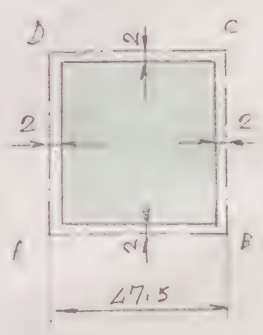


Figura 10

La forma y dimensiones se deducen de las del cuadrado ABCD de la figura 1, y se detallan en la figura 10.

PIEZA N° 10 12 (u)

Figura 10

PIEZA N° 11

FORRO COLOREADO EN CARAS EXAGONALES REGULARES

8 unidades

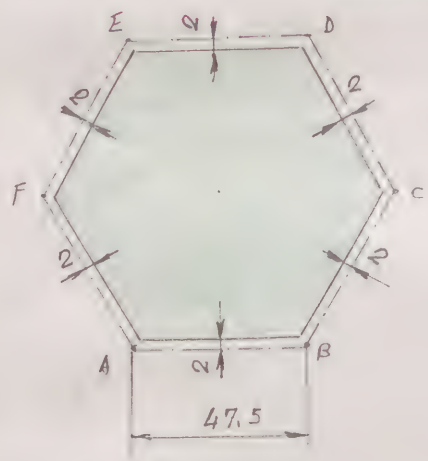


Figura 11

La forma y dimensiones se deducen de las del hexágono ABCDEF de la figura 2, y se detallan en la figura 11

PIEZA N° 11 8 (u)

Figura 11

PIEZA N° 12

FORRO COLOREADO EN CARAS OCTOGONALES REGULARES

6 unidades



Figura 12

La forma y dimensiones se deducen de las del octógono ABCDEF GH de la figura 3, y se detallan en la figura 12

PIEZA N° 12 6 (u)

Figura 12

EN FIGURAS

MODELO CORPÓREO DEL POLIEDRO CONVEXO DE CADAS

VACIADAS "ARQUIMEDIANO XI ", FORMADO POR OCHO

CARAS EXAGONALES (C_6); DOCE CARAS CUADRADAS (C_4),

Y SEIS CADAS OCTOGONALES (C_8), CONCURRIENDO EN

CADA VÉRTICE $1 C_4 + 1 C_6 + 1 C_8$.

Radio de la esfera circumsrita

$$r_{ec}^{\text{XI}} = 110 \text{ mm}$$

ENUNCIADO:

Construir el modelo corpóreo del poliedro conocido de caras variadas "ARQUIMEDIANO XI" formado por ocho caras hexagonales (C_6); doce caras cuadradas (C_4); y seis caras octogonales, concurrendo en cada vértice $1C_4 + 1C_6 + 1C_8$.

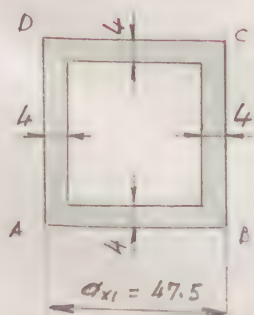
Este modelo puede considerarse como una variante del modelo M-43.1, de igual forma y dimensiones, pero con sus caras variadas.

DATO ÚNICO DE ESTE EJERCICIO: r_{ec}^{x1} = Radio de la esfera circunscrita:

$$r_{ec}^{x1} = 110 \text{ mm}$$

Para la construcción de este modelo, son necesarias las siguientes piezas:

PIEZA N° 1 CARAS SUPERFICIALES CUADRADAS 12 unidades



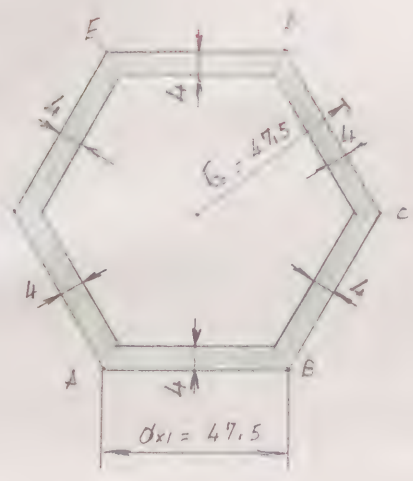
La forma y dimensiones se detallan en la figura 1

PIEZA N° 1 12 (u)

Figura 1

Figura 1

PIEZA N° 2 CARAS INTERFITUALES EXAGONALES REGULARES
8 unidades



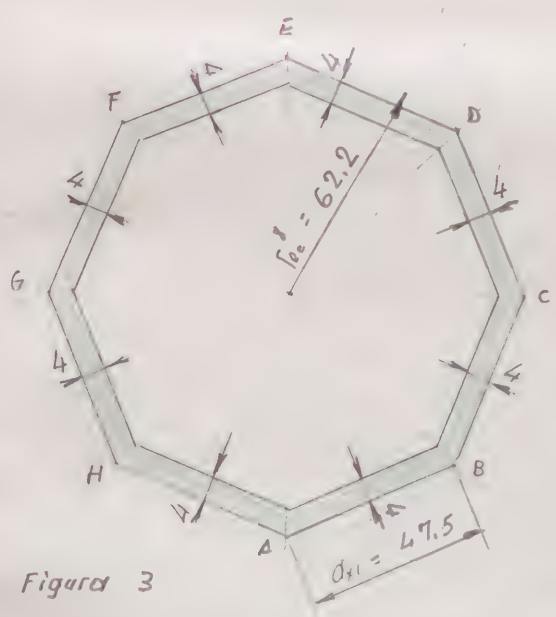
La forma y dimensiones se detallan en la figura 2

PIEZA N° 2 8 (u)

Figura 2

Figura 2

PIEZA N° 3 CARAS SUPERFICIALES OCTOGONALES REGULARES
6 unidades



La forma y dimensiones se detallan en la figura 3

PIEZA N° 3 6 (u)

Figura 3

Figura 3

PIEZA N° 4 UNIONES ADISTAS 72 unidades

La forma y dimensiones se detallan en la figura 4

PIEZA N° 4 72 (u)

Figura 4

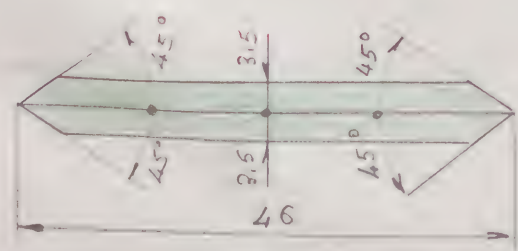


Figura 4

EJEMPLO

VARIANTE DEL MODELO M-43.1, DE IGUAL

FORMA QUE ÉSTE, SIENDO MÁS PEQUEÑO EL

RADIO DE SU ESFERA CIRCUNSCRITA.

Radio de la esfera circunscrita:

$$r_{ec}^{xl} = 76.1 \text{ mm}$$

ENUNCIADO:

Construir el modelo corpóreo del poliedro convexo de caras macizas "ARQUIMEDIANO XI", formado por doce caras cuadradas (C_4); ocho caras hexagonales regulares (C_6) y seis caras octogonales (C_8), concurrendo en cada vértice

$$1 C_4 + 1 C_6 + 1 C_8$$

Este modelo puede considerarse como una variante del modelo M-43.1, de igual forma y de menor longitud el radio de su esfera circunscrita ($r_{ec}^M = 76.1 \text{ mm} < 110 \text{ mm}$).

Para obtener el despiece de este modelo, utilizaremos el mismo estudio analítico, realizado en M-43.1, determinando previamente el coeficiente "k" de reducción "k = 76.1 : 110" o relación entre los radios correspondientes de las respectivas esferas circunscritas.

DATO ÚNICO DE ESTE EJERCICIO

$$r_{ec}^M = 76.1 \text{ mm}$$

COEFICIENTE DE REDUCCIÓN

$$k = \frac{76.1}{110} = 0.6918...$$

A continuación presentamos diversas tablas de longitudes y ángulos, cuyas dimensiones han sido reseñadas en las distintas figuras del modelo M-43.1, y de los valores correspondientes a aplicar en la construcción de este nuevo modelo M-43.3, en el que son necesarias las siguientes piezas:

PIEZA N° 1 CARAS SUPERFICIALES CUADRADAS 12 unidades

La figura 1, ha de construirse con las siguientes cotas modificadas:

<u>FIGURA 1</u>	Longitudes m m	Cotas modificadas m m
<u>Pieza n° 1</u> 12 (u)	47,5	32,8

PIEZA N° 2 CARAS SUPERFICIALES EXAGONALES REGULARES
8 unidades

La figura 2, ha de construirse con las mismas cotas modificadas de la figura 1 (47,5 → 32,8)

PIEZA N° 3 CARAS SUPERFICIALES OCTOGONALES REGULARES
6 unidades

La figura 3, ha de construirse con las siguientes cotas modificadas:

<u>FIGURA 3</u>	Longitudes mm	Cotas modificadas "
<u>Pieza n° 3</u>	47.5	32.8
6(u)	62.2	43.0

PIEZA N° 4 REFUERZO NORMAL EN CARAS CUADRADAS

12 unidades

La figura 4 ha de construirse con las siguientes cotas modificadas:

<u>FIGURA 4</u>	Longitudes mm	Cotas modificadas mm
<u>Pieza n° 4</u>	47.5	32.8
12(u)	5.5	4.5

PIEZA N° 5 REFUERZO NORMAL EN CARAS EXAGONALES

REGULARES.

8 unidades

La figura 5, ha de construirse con las mismas cotas modificadas de la figura 4 (47.5 → 32.8 " 5.5 → 4.5)

PIEZA N° 6 REFUERZO NORMAL EN CARAS OCTOGONALES

REGULARES

6 unidades

La figura 6, ha de construirse con las siguientes cotas modificadas:

<u>FIGURA 6</u>	Longitudes mm	Cotas modificadas mm
<u>Pieza n° 6</u>	47.5	32.8
6 (u)	62.2	43.0
	5.5	4.5

PIEZA N° 7 REFUERZO NORMAL EN CARAS EXAGONALES RE-
GULARES 12 unidades

La figura 7, ha de construirse con las siguientes cotas modificadas:

<u>FIGURA n° 7</u>	Longitudes mm	Cotas modificadas mm
<u>Pieza n° 7</u>	71	43
12 (u)	10	10
	2.5	2.5
	7.5	7.5
	45°	45°

PIEZA N° 8 REFUERZO NORMAL EN CARAS OCTOGONALES RE-
GULARES 24 unidades

La figura 8, ha de construirse con las siguientes cotas modificadas:

<u>FIGURA N° 8</u>	Longitudes mm	Cotas modificadas mm
<u>Pieza n° 8</u>	104	64
24 (u)	52	32
	2.5	2.5
	7.5	7.5
	10	10
	45°	45°

PIEZA N° 9 UNIONES ARISTAS 72 unidades

La figura 9, ha de constuirse con las siguientes cotas modificadas:

<u>FIGURA N° 9</u>	Longitudes mm	Cotas modificadas mm
<u>Pieza n° 9</u>	46	31,5
72 (U)	4	3,5
	45°	45°

PIEZA N° 10 FORRO COLOREADO EN CARAS CUADRADAS 12 unidades

La figura 10, ha de constuirse con las siguientes cotas modificadas:

<u>FIGURA N° 10</u>	Longitudes mm	Cotas modificadas mm
<u>Pieza n° 10</u>	47,5	32,8
12 (U)	2	2

PIEZA N° 11 FORRO COLOREADO EN CARAS EXAGONALES REGU-
LARES 8 unidades

La figura 11, ha de constuirse con las mismas cotas modi-
ficadas de la figura 10 (47,5 → 32,8 " 2 → 2)

PIEZA N° 12 FORRO COLOREADO EN CARAS OCTOGONALES REGU-
LARES 6 unidades

La figura 12, ha de constuirse con las siguientes cotas modificadas:

<u>FIGURA N° 11</u>	Longitudes mm	Cotas modificadas mm
<u>Pieza n° 11</u>	47,5	32,8
6 (U)	62,2	43,0
	2	2

colorchecker classic



calibrite